# Федеральное государственное бюджетное образовательное учреждение высшего профессионального образования «САНКТ-ПЕТЕРБУРГСКИЙ ГОСУДАРСТВЕННЫЙ АРХИТЕКТУРНО-СТРОИТЕЛЬНЫЙ УНИВЕРСИТЕТ»

На правах рукописи

#### Рагех Басем Осами Саиед

## ЧИСЛЕННЫЙ ЭНЕРГЕТИЧЕСКИЙ МЕТОД В ПРИЛОЖЕНИИ К БОЛЬШЕПРОЛЕТНЫМ ВАНТОВЫМ МОСТАМ

Специальность 05.23.17 – Строительная механика

Диссертация

на соискание ученой степени кандидата технических наук

Научный руководитель:

заслуженный деятель науки и техники РФ

д.т.н., проф. Масленников А.М.

Начало XXI века сопровождается по-прежнему развитием технического прогресса, в том числе и в строительстве. Возводятся всё более высокие сооружения и строятся большепролетные мосты, основную часть которых составляют вантовые мосты. Причина этого кроется в том, что в таких мостах главными несущими элементами служат ванты, испытывающие продольные усилия; а это случай, когда прочностные свойства конструкции используются наиболее полно. Вследствие этого вантовые мосты экономичнее, хотя уступают другим мостам по жесткости. Мосты являются важным элементом в развитии транспортной структуры страны и часто имеют стратегическое значение. Разрушение моста ведёт к серьезным экономическим последствиям. Поэтому всевозможные исследования по оценке надёжности моста и его живучести можно считать актуальными.

наиболее настоящего исследования заключается В выявлении оптимального натяжения вант, обеспечивающих наименьшие прогибы балки жёсткости моста, что повышает его эксплуатационные качества. Рассматриваются три типа, наиболее часто встречающихся схем вант: арфа, веерная и радиальная. Задача решена путем условной оптимизации целевой функции, в качестве которой принимается потенциальная энергия всей системы от заданной неподвижной нагрузки. Минимизация энергии осуществляется методом сопряженных градиентов. В работе также исследовались динамические свойства оценка живучести при внезапном обрыве моста, его вант другие характеристики.

#### СОДЕРЖАНИЕ

| BBE  | ДЕНИЕ7  |
|------|---|
| ГЛА  | ВА.1. КРАТКАЯ ИСТОРИЯ ВОЗВЕДЕНИЯ ВАНТОВЫХ МОСТОВ                      |
| ИИХ  | Х НЕЛИНЕЙНЫХ РАСЧЕТОВ16   |
| 1.1. | Краткий обзор возведения вантовых мостов в мире16                     |
| 1.2. | Схемы расположения вант19   |
|      | 1.2.1. Система «арфа»   |
|      | 1.2.2. Система «радиальная»19   |
|      | 1.2.3. Система «веер»   |
| 1.3. | Нелинейное поведение вантовых мостов                                  |
|      | 1.3.1. Исторический обзор нелинейных расчётов вантовых мостов21       |
|      | 1.3.2. Причины нелинейного поведения вантового моста23                |
|      | 1.3.3. Нелинейное поведение вант                                      |
| 1.4. | Методы оптимизации для оценки оптимального предварительного           |
|      | натяжения вант и достижения минимальных деформаций вантовых-          |
|      | мостов  |
|      | 1.4.1. Значимость оценки оптимального предварительного натяжения вант |
|      | при анализе вантовых мостов   |
|      | 1.4.2. Исторический обзор методов для оценки оптимального             |
|      | предварительного натяжения вант                                       |
|      | F   |
|      | 1.4.3.Алгоритм определения величины оптимального предварительного     |
|      | натяжения вант, Хассан. М, 201027                                     |
| 1.5. | Обобщение энергетического метода и метода сопряжённых градиентов при  |
|      | разработке алгоритмов диссертации30                                   |
|      | 1.5.1. Общая потенциальная энергия элементов вантового моста30        |
|      | 1.5.2 Минимизация потенциальной энергии моста методом сопряженных     |
|      | градиентов  |
| ГЛА  | .BA 2. ЭНЕРГЕТИЧЕСКИЙ ПОДХОД ДЛЯ ОЦЕНКИ ОПТИМАЛЬНОГО                  |

| ПРЕДВАРИТЕЛЬНОГО НАТЯЖЕНИЯ ВАНТ ПРИ СТАТИЧЕСКОМ АНАЛИЗЕ                     |
|---|
| BAHTOBЫХ CXEM MOCTOB  |
| 2.1. Предложенный алгоритм для оценки оптимального предварительного         |
| натяжения вант  |
| 2.2. Геометрическая схема и расчетные данные рассмотренных вариантов        |
| изучаемого моста  |
| 2.3. Виляние изменения геометрии моста на деформации изгибных элементов при |
| выполнении процедуры алгоритма  |
| 2.3.1. Оценка прогиба балки жёсткости при процедуре алгоритма41             |
| 2.3.2. Оценка перемещения пилона при процедуре алгоритма                    |
| 2.3.3. Оценка оптимального предварительного натяжения вант в конце          |
| процесса алгоритма46  |
| 2.4. Отношение перемещений балка жёсткости - пилон при нелинейном           |
| статическом анализе вантовых мостов   |
| 2.5. Виляние схем вант на деформации изгибных элементов моста при процедуре |
| алгоритма   |
| 2.5.1. Оценка прогиба балки жёсткости при применении разных схем вант       |
| 48  |
| 2.5.2. Оценка перемещения пилона при применении разных схем вант            |
| 52  |
| 2.5.3. Оценка оптимального предварительного натяжения вант при              |
| применении разных схем вант53   |
| 2.6. Достоверность результатов предлагаемого алгоритма54                    |
| 2.6.1. Геометрическая схема и расчетные данные изучаемого моста55           |
| 2.6.2. Сравнение двух алгоритмов для оценки деформаций моста57              |
| 2.6.3. Сравнение двух алгоритмов для оценки оптимального                    |
| предварительного натяжения вант   |
| 2.7. Достоверность предлагаемого уравнения для нахождения отношения         |
| перемещений балка жесткости - пилон при нелинейном статическом анализе      |
| *   |

| вантовых мостов. 60   |  |  |
|---|--|--|
| Выводы  |  |  |
| ГЛАВА 3. СВОБОДНЫЕ КОЛЕБАНИЯ И ВЕТРОВОЙ РЕЗОНАНС ВАНТОВЫХ               |  |  |
| MOCTOB64  |  |  |
| 3.1. Определение частоты свободных колебаний вантовых мостов            |  |  |
| 3.1.1. 3D моделирование вантовых мостов с различными схемами вант с     |  |  |
| помощью SAP 2000 для определения частот свободных колебаний (численный  |  |  |
| метод)  |  |  |
| 3.1.2. Определение частоты свободных колебаний для разных схем вантовых |  |  |
| мостов  |  |  |
| 3.2. Приближенная оценка достоверности результатов частот свободных     |  |  |
| колебаний энергетическим методом. (Аналитический метод)                 |  |  |
| 3.2.1. Определение низшей частоты горизонтальных свободных              |  |  |
| колебаний73   |  |  |
| 3.2.2. Определение низшей частоты вертикальных колебаний балки          |  |  |
| жёсткости   |  |  |
| 3.3. Ветровой резонанс вант   |  |  |
| 3.3.1. Оценка окончательного деформированного вида моста, натяжение и   |  |  |
| провеса вант80  |  |  |
| 3.3.2. Определение критической скорости ветра для зоны резонанса82      |  |  |
| 3.4. Скорости ветра, вызывающие резонанс вантовых мостов                |  |  |
| 3.4.1. Ветровой резонанс среднего пролета моста                         |  |  |
| Выводы  |  |  |
| ГЛАВА 4. ВЛИЯНИЕ ВНЕЗАПНОГО ОБРЫВА ВАНТ НА                              |  |  |
| ДИНАМИЧЕСКИЙ ОТКЛИК ВАНТОВЫХ МОСТОВ                                     |  |  |
| 4.1. Значимость изучения влияния внезапного обрыва вант на динамический |  |  |
| отклик вантовых мостов  |  |  |
| 4.2. Обобщение энергетического метода, используемого в разработке       |  |  |
| предлагаемого алгоритма   |  |  |

| 4.3. Предлагаемый алгоритм для вычисления динамического отклика вантовых |
|--|
| мостов при внезапном обрыве вант   |
| 4.4. Сценарий обрыва вант  |
| 4.5 Оценка деформаций моста при обрыве вант                              |
| 4.5.1. Оценка прогиба балки жёсткости при рассмотренных сценария:        |
| обрыва вант100   |
| 4.5.2. Оценка перемещения пилона при рассмотренных сценариях обрыва      |
| вант   |
| 4.5.3. Динамический эффект для оценки деформации моста при               |
| рассмотренных сценариях обрыва вант                                      |
| 4.6. Влияние внезапного обрыва вант на увлечение растягивающей силы      |
| смежных вантах   |
| 4.6.1. Оценка натяжений в смежных вантах при рассмотренных сценария:     |
| обрыва вант106   |
| 4.6.2. Предлагаемый динамический коэффициент для смежных вант при        |
| рассмотренных сценариях обрыва вант108                                   |
| Выводы109  |
| ЗАКЛЮЧЕНИЕ   |
| СПИСОК ЛИТЕРАТУРЫ 112  |
| ПРИЛОЖЕНИЯ124  |
| <b>ПРИЛОЖЕНИЕ.1</b> 124  |
| <b>ПРИЛОЖЕНИЕ.2</b> 143  |
| <b>ПРИЛОЖЕНИЕ.3</b> 150  |

#### **ВВЕДЕНИЕ**

Анализ существующего мостостроения свидетельствует о том, что для перекрытий больших пролётов возводят, как правило, висячие либо вантовые мосты. Вызвано это местными условиями, техническими возможностями и др. Но главная причина вызвана снижением материалоёмкости конструкций таких мостов. Объясняется это тем, что в этих мостах основные несущие элементы испытывают только растяжение, при котором наиболее полно используются прочностные свойства материала в поперечном сечении элементов (канаты, ванты). Одним из ярких примеров является висячий мост пролетом 1280 м через пролив Золотые ворота в Сан-Франциско. Мост был построен в 1937 году.

Однако, за последние 30-40 лет получили широкое распространение вантовые мосты при строительстве большепролётных мостов. Так, одним из последних был построен вантовый мост с максимальным пролётом 1104 м во Владивостоке через пролив Босфор Восточный. В предыдущие годы подобные мосты были построены и в других странах с максимальными пролетами: в Китайской Народной Республике - пролетом 1088 м, в Японии - 890 м.

Вантовые мосты по своим эксплуатационным качествам имеют определенные преимущества по сравнению с висячими мостами. Они более жёсткие из-за наличия продольных сил в балке жесткости и, главное, более надёжные, что особенно ценно в наше неспокойное время. Обрыв одного или нескольких вант моста ещё не приводит к его катастрофическому обрушению. В висячих мостах обрыв канатов недопустим.

Настоящая работа посвящена статическому и динамическому расчёту вантовых мостов, наиболее интересных для расчета с позиций строительной механики. Большепролётный вантовый мост представляет собой многократную статически неопределимую систему. Расчёт такой системы классическими методами сил или перемещений при нелинейной зависимости между натяжением вант и деформациями балки жёсткости приводит к многократному пересчёту, не всегда ведущему к наиболее рациональному решению.

В диссертации предложен энергетический численный метод для вычисления оптимального предварительного натяжения вант и уменьшения деформации моста, когда составляется выражение полной энергии для всех элементов моста. Затем, в соответствии с общим свойством потенциальной энергии, вычисляется её минимум. Для вычисления минимума реализуется метод сопряжённых градиентов в численном виде.

Идеи этого метода использованы при решении задач динамики по оценке живучести вантового моста при частичном разрыве вант. Вычисление проводится по собственной программе, составленной на языке ФОРТРАН. В диссертации рассмотрены и другие аспекты вантового моста: ветровой резонанс вант и балки жёсткости максимального пролета. С целью верификации собственных частот, полученных численным методом с помощью программы *SAP* 2000, аналитически приближённо определены низшие частоты собственных колебаний максимального пролета моста.

Актуальность исследования. В последние годы в мировой практике для перекрытия больших пролетов всё чаще стали применять вантовые покрытия как промышленном, гражданском строительстве, так и в мостостроении. Привлекательность вантовых строений вызвана уменьшением материалоёмкости при их возведении. В таких конструкциях основными несущими элементами являются ванты, работающие, как правило, на растяжение. При таком напряжённом состоянии материал конструкции используется наиболее полно. В какой - то мере сдерживающим фактором их дальнейшего развития и обеспечения их надёжности является податливость вантовых сооружений. Они значительно страдают от ветрового воздействия, действующего совместного с другими нагрузками. В этой связи, естественно, требуются дополнительные исследования в области определения напряжённого и деформированного состояния таких конструкций, как большепролётные вантовые мосты. Например, в Египте обсуждается идея о строительстве вантового моста длиной более одного километра через залив Акаба непосредственно из Египта в Саудовскую Аравию,

что естественно, оживило интерес к вантовым мостам и сделало тему исследования актуальной.

Степень разработанности темы исследования. В России на эту тему наиболее известны работы ученых В.К. Качурина, А.В. Брагина, А.А. Петропавловского, В.А. Смирнова, С.А. Бахтина, В.И. Кириенко, Е.И. Крыльцова, И.Г. Овчинникова, Ю.М. Сильницкого, Н.М. Кирсанова, А.М. Кушнерева и др. В работах этих авторов приводятся не только расчеты вантовых мостов, но и вопросы их проектирования и даже возведения. Вопросам аэродинамической неустойчивости посвящены статьи М.И. Казакевича. Расчётам мостов на подвижную нагрузку уделено много внимания сотрудниками кафедры строительной механики Воронежского ГАСУ (А.Д. Барченков, В.С. Сафронов и др.).

Методам оптимизации по достижению минимальных деформаций вантовых мостов, оценкам оптимального предварительного натяжения вант уделили внимание зарубежные авторы Ванг и др. (Wang et al), 1993 г.; Саймос и Неграо (Simoes and Negrao), 2000 г.; Щен и др. (Chen et al), 2000 г.; Жанжис и др. (Janjic et al), 2003 г.; Ли и др. (Lee et al), 2008 г. Наиболее близка по теме диссертации последняя работа Хассана М (*Hassan*. M), 2010 г. В работе Хассана разработан новый алгоритм, использующий В-сплайн функции и метод конечных элементов при нелинейном статическом анализе моста. В работе минимизировались прогибы балки жесткости и перемещения пилона для веер-образной схемы вантого моста. Применение алгоритма Хассана достаточно сложное. Чтобы получить подходящую кривую В-сплайна, обеспечивающую минимальные деформации моста, необходимы многократные расчеты. Для вантового продолжения исследования этого вопроса в настоящей диссертации предложен алгоритм, где при минимизации энергии на каждом шаге интегрирования нелинейных дифференциальных уравнений реализован метод сопряженных градиентов.

Определением частот свободных колебаний вантовых мостов с помощью различных программ МКЭ в последнее время занимались многие авторы: С.Н. Горелов, В.И. Жаданов, М.А. Аркаев, 2012, Г.М. Кадисов, В.В. Чернышов, 2013.

В диссертации численный анализ динамики моста проведён с использованием известной программы *SAP 2000*. С целью верификации результатов численного определения частот свободных колебаний в диссертации использован аналитический метод, основанный на свойствах потенциальной энергии. Расчёт выполнен с учётом продольных усилий в балке жесткости. Аналитический метод в ряде случаев целесообразно использовать при предварительном моделировании мостов.

Изучение поведения вантовых мостов при внезапном разрыве вант является первом шагом в разработке актуальных методов, которые могут увеличить долговечность И живучесть вантовых мостов И предотвратить катастрофического крушения. В последние несколько лет исследования по этой теме были проведены следующими специалистами: У. Старусек (*U. Starossek*), 2006.; К. Щин Щинг и др. (Chin- Shing, Kao et al), 2010.; М. Волф и др. (Wolff, M et al), 2010.; Жиан Гио, Цай и др. (Jian-guo, Cai et al), 2012.; Ким и др. (YuHee, Kim et al), 2012. Выполненные названными авторами исследования не в полной мере охватили вопросы живучести вантовых мостов. В предлагаемой диссертации для решения вопросов надёжности предложен новый алгоритм, основанный на энергетическом методе, и разработанный для исследования динамического поведения вантовых мостов при внезапном разрыве вант.

#### Цель и задачи исследования.

*Цель исследования* — создание эффективного алгоритма по сравнению с алгоритмами, предложенными другими авторами, для определения оптимального натяжения вант большепролётного вантового моста и специального алгоритма для оценки надежности и живучести моста при обрыве вант, реализованных в энергетическом численном методе.

#### Задачи исследования:

- 1. Изучить современные нелинейные методы расчёта большепролётных вантовых мостов.
- 2. Создать алгоритм определения оптимального натяжения вант на основе нелинейного математического моделирования.

- 3. Создать программу для ЭВМ на языке ФОРТРАН, реализующую предлагаемый метод в численном виде для различных схем вант с учётом их провеса.
- 4. Исследовать эффективности трех схем вант: "арфа", "веер" и радиальная при нелинейном расчёте.
- 5. С целью установления достоверности результатов работы сравнить их с последними подобными работами других авторов.
- 6. Установить универсальную зависимость между прогибами балки жёсткости и пилонами, необходимую при предварительном проектировании вантовых мостов.
- 7. Исследовать динамические характеристики трех схем вантового моста с использованием программы *SAP 2000*.
- 8. Для верификации численных результатов приближённым аналитическим методом вычислить частоты собственных колебаний и привести процедуру расчёта на ветровой резонанс вант и среднего пролета моста.
- 9. Разработать нелинейный динамический анализ и на его основе исследовать живучесть моста при внезапном обрыве вант.

**Объект исследования:** Большой трёхпролетный вантовый мост с железобетонными пилонами, стальной балкой жесткости и гибкими вантами.

**Предмет исследования:** Оптимальное натяжение разных схем вант при действии неподвижной нагрузки, выявление динамических характеристик моста, исследование живучести моста при внезапном обрыве вант.

#### Научная новизна диссертационной работы заключается в следующем:

1. На основе нелинейного математического моделирования разработан энергетический численный метод определения оптимального натяжения вант, обеспечивающий минимальные деформации моста. Для реализации этого метода создан собственный более совершенный алгоритм и программа на языке ФОРТРАН, позволяющая получить деформации моста с большей точностью.

- 2. Исследована эффективность несущей способности трёх схем вант: "Арфа", "веер" и радиальная и выявлено, что радиальная схема вант является наиболее эффективной при минимизации деформация моста.
- 3. Выполнено специальное детальное сопоставление результатов предлагаемого метода с одной из последних работ Хассана, М., показавшее преимущество предлагаемого метода при минимизации потенциальной энергии.
- 4. Установлена новая универсальная зависимость между прогибами балки жёсткости и пилонами.
- 5. Впервые аналитическим методом исследовано влияние продольных усилий в балке жёсткости на значения частот свободных колебаний вантовых мостов. Вычисления выполнены для радиальной схемы вант с целью верификации результатов, полученных по программе SAP 2000. Определены критические скорости ветра при ветровом резонансе для вант и среднего пролета моста.
- 6. Разработан новый специальный алгоритм и программа нелинейного динамического расчёта на языке ФОРТРАН для исследования живучести вантового моста при внезапном обрыве вант, выявлен динамический эффект этого воздействия, предложен динамический коэффициент для смежных вант при обрыве для рассматриваемой ситуации.

**Методологической основой** диссертационного исследования послужило использование математического моделирования, методов строительной механики и теории упругости, включая метод сопряженных градиентов и метод конечных элементов.

**Личный вклад соискателя**. Постановка задачи и новые результаты диссертационной работы принадлежат лично автору. Во всех работах, опубликованных в соавторстве, автору принадлежит большая часть формулировки задачи и её решение.

**Область исследования** соответствует паспорту специальности 05.23.17 - Строительная механика, пункт 4 «Численные методы расчёта сооружений и их элементов»; пункт 5 «Теория и методы оптимизации сооружений»; пункт 7

«Теория и методы расчёта сооружений в экстремальных ситуациях (землетрясения, ураганы, взрывы, и так далее).

Практическая ценность диссертационной работы заключается в возможности использования предложенного в диссертации метода оптимизации натяжения вант вместе с составленной программой для ЭВМ при проектировании большепролетных вантовых мостов. Результаты по исследованию живучести моста могут быть использованы для оценки состояния моста при чрезвычайных ситуациях.

#### Апробация работы.

Результаты диссертационной работы докладывались и обсуждались на международных конференциях:

- Международная научно-практическая конференция «Актуальные проблемы современного строительства и пути их эффективного решения», СПбГАСУ, 10 12 апреля 2012 года;
- Международная научно-практическая конференция студентов, аспирантов, молодых ученых и докторантов «Актуальные проблемы строительства и архитектуры», СПбГАСУ, 10-12 октября 2012 года;
- Международная научно-практическая конференция студентов, аспирантов, молодых ученых и докторантов «Актуальные проблемы строительства и архитектуры», СПбГАСУ, 10 12 апреля 2013 года;
- V-я Международная конференция «Актуальные проблемы архитектуры и строительства», СПбГАСУ, 25 28 июня 2013 года;
- 25-я Международная конференция BEM&FEM «Математическое моделирование в механике деформируемых тел и конструкций. Методы граничных и конечных элементов», СПбГАСУ, 23-26 сентября 2013 года.

#### Публикации

Основные положения диссертационной работы опубликованы в 11 печатных работах, общим объемом 3,65 п.л., ( лично автору принадлежит 2,9 п.л.),

из них 4 статьи в журналах, включенных в перечень рецензируемых изданий, утвержденный ВАК.

**Внедрение научных результатов** диссертации. Университет г. Мансура (Египет) выдал декларацию о дееспособности составленной программы на языке ФОРТРАН и о научной ценности результатов диссертации.

Структура и объём работы. Диссертационная работа состоит из введения, четырех глав, заключения и приложений, изложенных на 152 страницах, содержит 54 рисунка, 7 таблиц; список литературы состоит из 121 наименования, в том числе 78 — на иностранном языке.

<u>Во введении</u> сформулирована проблема и обоснована актуальность проводимых исследований, определены цель и задачи, научная и практическая значимость диссертационной работы.

<u>В первой главе</u> представлен краткий обзор строительства вантовых мостов и их нелинейных расчетов, а также методы оптимизации для оценки оптимального предварительного натяжения вант. В конце главы представлено обобщение энергетического метода и метода сопряженных градиентов, используемых в разработке алгоритмов диссертации.

<u>Во второй главе</u> предложен алгоритм для вычисления оптимального предварительного натяжения вант, обеспечивающих минимальные деформации моста, выполнено моделирование исследуемых схем вант большепролётных мостов с учётом эффекта геометрической нелинейности энергетическим методом, в котором для минимизации энергии использован метод сопряжённых градиентов, а также предложена новая универсальная зависимость между прогибами балки жесткости и пилонами.

<u>В тремьей главе</u> приведена процедура расчёта на ветровой резонанс отдельных вант и среднего пролёта моста. Также предложен аналитический расчёт для определения частоты свободных колебаний вантовых мостов с целью экономии времени в процессе моделировании моста и верификации результатов

численного метода КЭ; выполнено определение частот приближённым аналитическим методом для радиальной схемы вант.

<u>В четвертой главе</u> исследована живучесть вантового моста при внезапном обрыве вант. Разработан специальный алгоритм нелинейного динамического расчёта, выявлен динамический эффект вследствие внезапного обрыва вант, предложен динамический коэффициент для смежных вант при обрыве.

### ГЛАВА 1. КРАТКАЯ ИСТОРИЯ ВОЗВЕДЕНИЯ ВАНТОВЫХ МОСТОВ И ИХ НЕЛИНЕЙНЫХ РАСЧЕТОВ

#### 1.1. Краткий обзор возведения вантовых мостов в мире

Вантовые мосты являются многократными статически неопределимыми конструкциями и, вследствие этого, представляют собой более сложную задачу при их расчётах, чем другие традиционные мосты. Структурная система вантового моста состоит из трёх основных несущих элементов: балка жёсткости, пилоны и наклонные ванты. Взаимосвязь этих элементов делает структурное поведение вантовых мостов эффективным для большепролётных сооружений. Балка жёсткости работает как неразрезная балка. Она поддерживается вантами, которые подсоединены к пилонам. Балка жёсткости передаёт нагрузку на пилоны через ванты, которые испытывают растяжение (рис.1.1), а балка жёсткости воспринимает изгиб и продольные усилия. Сжатый пилон передаёт нагрузку на фундамент.

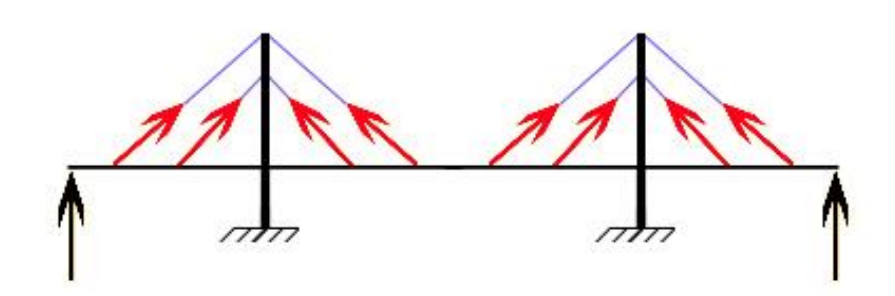


Рис.1.1. Схема растянутых и сжатых элементов вантовых мостов

Вантовые мосты приобрели популярность во всем мире как жизнеспособная конструкция для средних и длинных пролетов. Их эстетическая форма и быстрый монтаж являются главными причинами их широкой популярности.

История строительства вантовых мостов датируются многими веками. Идея вант использовалась египтянами для своих парусных судов. История вантовых мостов началось, когда были введены первые понятия вантового моста, согласно

работы Подольный и Флеминг [111]. В 1784 г. немецкий плотник С.Т. Лёшер спроектировал вантовый мост полностью из древесины [112], как показано на рис.1.2. Вантовые мосты стали популярными после второй мировой войны. Первый современный вантовый мост, который ознаменовал начало впечатляющего развития вантовой системы, был Стромсунд мост в Швеции [106], открытый в 1956 г. (рис.1.3) с главным пролетом 183 м. Этот мост был действительно первым крупным вантовым мостом в мире. В настоящее время существует более 600 вантовых мостов во всем мире, и это число быстро возрастает. С 1955 года пролёты вантовых мостов значительно увеличились. Мост Нойенкамп в Германии с главным пролётом 350 м был самым длинным вантовым мостом в начале 1970-х. Первое применение большого количества вант с двойными плоскостями кабельных систем сделано в Köhlbrand мосту, Гамбург (1974 г.) [82], с использованием веер-образной схемы для расположения вант. В середине 1980-х, мост на Анис остров был завершён с основным пролетом 465 м. В 1994 году ещё два мега моста были завершены, мост Нормандия и Янпу мост с основными пролетами 856 м и 602 м, соответственно. Татара мост, Япония, был самым длинным вантовым мостом в мире в 1999 г, с общим пролётом 1480 м и центральным пролетом 890 м, что больше на 34 м, чем мост Нормандии во Франции. В 2009 году был построен Сутун мост с центральным пролетом 1088 м. В том году он являлся самым длинным мостом в мире [54, 106].

В России наибольший интерес представляют вантово-балочные мосты [3]: Череповец, мост через р. Шексну построен в 1983 г. с пролетом 194 м, система «веер» с малым числом вант. В 2000 г. в постоянную эксплуатацию введён мост с одним пилоном через р. Обь у г. Сургут с основным пролетом 408 м, система многовантовая, «веер». В 2002 г в Санкт-Петербурге, построен вантовый мост через р. Неву с основным пролетом 382 м. В 2012 году был построен вантовый мост во Владивостоке через пролив Босфор Восточный с максимальным пролетом 1104 м, который является самым длинным вантовым мостом в мире до сих пор.

В Египте 6 октября мост, построенный в 1996 году, считается первым современном вантовым мостом в Египте с пролетом 128 м и шириной 10.9 м. Пилон моста имеет двухстоечную форму со схемой вант «арфа». Второй вантовый мост построен в 2002 году через Суэцкий канал с центральным пролётом 404 м. В настоящее время в Египте обсуждается идея о строительстве вантового моста длиной более одного километра через залив Акаба непосредственно из Египта в Саудовскую Аравию, что естественно, оживило интерес к вантовым мостам.

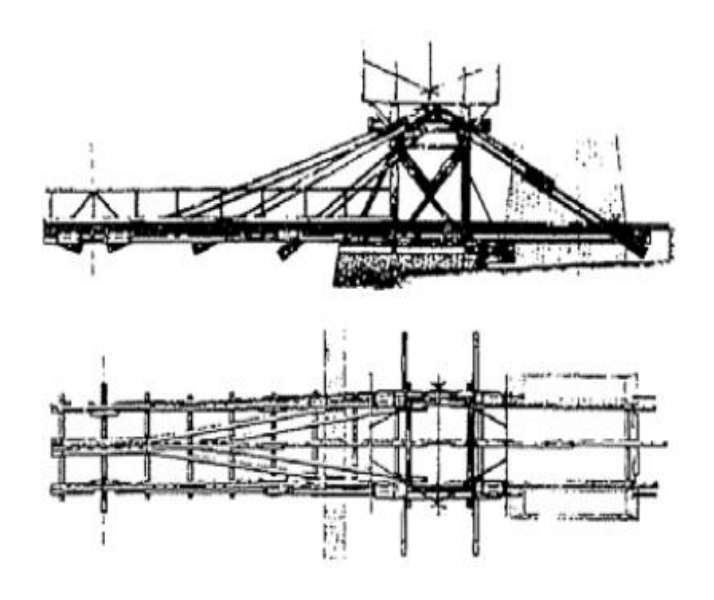


Рис.1.2. Мост Лёшера, Германия, 1784 [112]



Рис.1.3. Стромсунд мост, Швеция, 1955 [106]

#### 1.2. Схемы расположения вант

Выбор схемы расположения вант является фундаментальным вопросом при анализе вантовых мостов. Схемы классифицируются следующим образом [6, 64]:

#### 1.2.1. Система «арфа»

Система «арфа» является наиболее привлекательной схемой, обеспечивающей элегантность и баланс в структуре моста. В соответствии с расположением вант в этой системе параллельные ванты закреплены по всей поверхности пилонов (рис.1.4) и расположены друг относительно друга под постоянным углом.

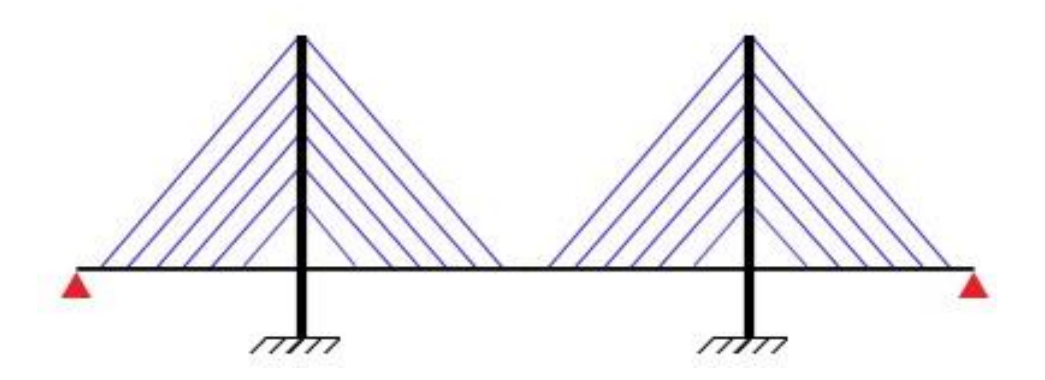


Рис.1.4. Система «арфа»

#### 1.2.2. Система «радиальная»

При радиальной схеме все ванты прикреплены к верхней части пилона, как показано на рис 1.5. Все ванты имеют свой максимальный наклон, поэтому объём материала для балки жёсткости уменьшается. Однако, выбор этой схемы может вызвать проблемы с креплением вант в одном месте, что является достаточно сложным.

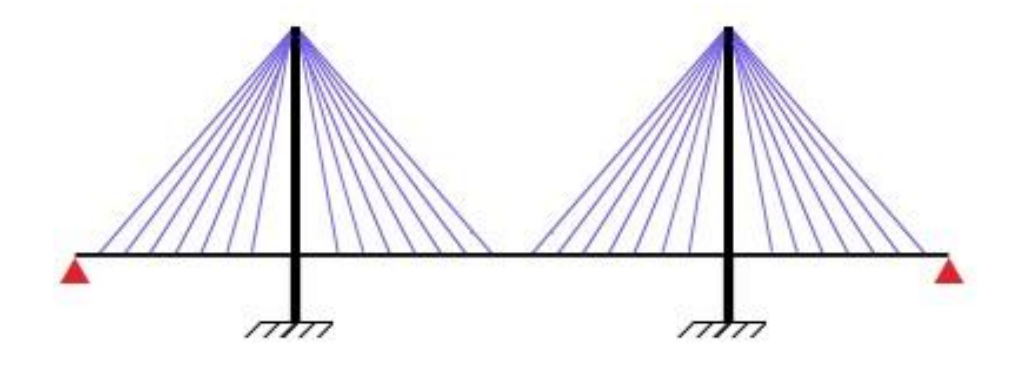


Рис.1.5. Система «радиальная»

#### 1.2.3. Система «веер»

Система «веер» является комбинацией арфы и радиальной схем (рис. 1.6). Согласно этой схеме, ванты распространены в верхней части пилонов, обеспечивая, таким образом, лучшие концевые крепления вант с пилонами. Закрепление первого ванта на пилон при монтаже обычно делается сверху, обеспечивая большее расстояние между вантами, чем для остальных шагов вант по всей части моста. Кроме того, расположение вант близко друг к другу на пилонах в итоге уменьшает горизонтальные силы, возникающие в пилонах, предлагая большую свободу при различных движениях балки жесткости.

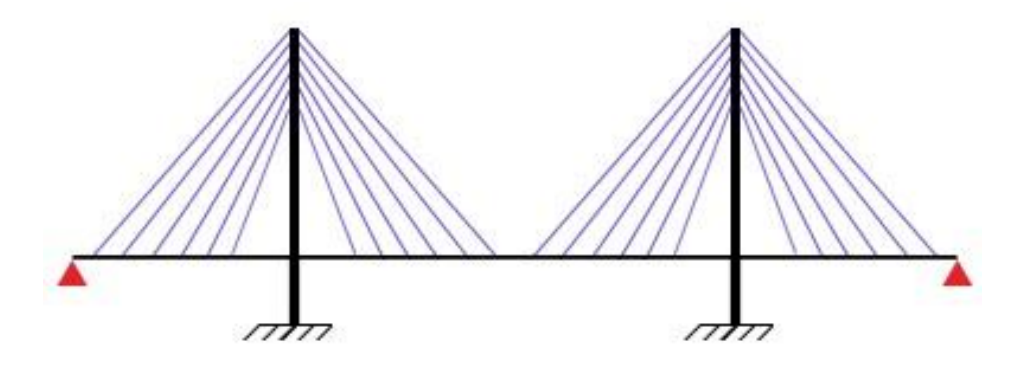


Рис.1.6. Система «веер»

#### 1.3. Нелинейное поведение вантовых мостов

#### 1.3.1. Исторический обзор нелинейных расчетов вантовых мостов

В России наиболее известны на эту тему работы ученых В.К. Качурина, А.В. Брагина, А.А. Петропавловского, В.А. Смирнова, С.А. Бахтина, В.И. Кириенко, Е.И. Крыльцова, И.Г. Овчинникова, Ю.М. Сильницкого, Н.М. Кирсанова, А.М. Кушнерева и др [5, 15, 16, 17, 20, 21, 29, 31, 32, 42]. В работах этих авторов приводятся не только расчёты вантовых мостов, но и вопросы проектирования и даже возведения. Вопросам аэродинамической неустойчивости посвящены статьи М.И Казакевича, расчётам мостов на подвижную нагрузку много внимания сотрудниками кафедры строительной механики Воронежского ГАСУ (А.Д Барченков, В.С. Сафронов и др.). Среди зарубежных авторов необходимо выделить Смит Б С (Smith B S), Ф. Барон (F. Baron), С.Ю. Лиен (S.Y. Lien), Флеминг Ж.Ф (Fleming J.F), М.С. Танг (M.C. Tang), Троицкий М. S (Troitsky M. S), P. Волтер (R. Walter), Жимсинг Н.Ж (Gimsing N.J), Ванг П.Х (Wang P.H), Янг С.Ж (Yang C.G), Щунг М.с (Cheung M.S) и др. [48, 57, 62, 65, 101, 102, 108, 110, 112, 115]. В работах этих авторов приводятся статический и динамический расчёты вантовых и висячих мостов, расчёт на аэродинамическую неустойчивость и расчёты мостов на подвижную нагрузку.

Строительные инженеры в течение многих лет пользовались линейными решениями. Линейный анализ сооружений означает, что перемещения являются линейной функцией от нагрузок. Такое предположение можно принимать при расчётах простых систем потому, что во-первых, большинство обычных сооружений под прикладываемой нагрузкой ведут себя довольно линейно, вовторых, линейное решение гораздо проще, чем нелинейное. Линейный анализ определяет деформации на основе исходной геометрии и предполагает, что можно пренебречь отклонениями от начальной геометрии.

Сафан [98] разработал физическое понятие, которое может позволить выполнить нелинейный анализ путём последовательных итераций линейных

подпрограмм. В своём анализе вектор перемещений определяется на основе начальной геометрии системы и внешних нагрузок. На втором этапе деформации, определенные на первом этапе, используются для создания матрицы жёсткости. Итерационная процедура продолжается, и каждый шаг будет использовать данные, определённые в предыдущем шаге. Итерация останавливается, когда последний вектор перемещений представляет незначительную часть от общего перемещения.

Вантовые мосты обычно имеют нелинейное поведение при разных видах Исследования нелинейного поведения вантовых были мостов проведены с 1970-х гг. В 1971 г. Танг [108] провёл линейный и нелинейный анализ вантовых мостов. Через год Лазарь [79] применил метод жёсткости при нелинейном анализе вантовых мостов. Это было существенным прогрессом в разработке методов для анализа каркасных конструкций с учётом нелинейности из-за больших перемещений и нелинейности вант. В 1973 г. Барон и Лянь [48] предложили нелинейный расчёт, в котором метод конечных элементов был использован для определения влияния разных статических нагрузок на отклик моста. Флеминг [62] провёл в 1979 г. нелинейный статический анализ вантовых мостов в виде плоской рамно-ферменной конструкции. Процедура комбинированной с возрастающим итерационным подходом. В статье Астиза и Мантерола [46] был представлен общий метод, основанный на алгоритме Ньютона-Рафсона в 1980. В том же году Раджараман и др. [96] предложили подход для нелинейного анализа вантовых мостов. Они приняли расчётную модель моста в виде плоской рамно-ферменной конструкции при вычислении деформаций. Все геометрические нелинейности были включены в анализ. Деформации были использованы для управления итерационной процедурой. Метод жёсткости был использован для исследования поведения веер-образной схемы вантового моста. В 1982 г, Бахтин С.А. [4] изучал геометрическую нелинейность при оптимальном проектировании висячих пролетных строений мостов. В 1986 г. Хеджаб [71] предложил использовать метод потенциальной

энергии при анализе вантовых мостов. Пилоны не были включены в уравнении энергии для моста. В статье Хеджаба предложен деформационный расчёт для определения прогибов балки жёсткости моста. В начале 1990-х г, Назми и Абдель-Гаффаром [87] провели нелинейный статический анализ трёхмерных большепролётных вантовых мостов под действием собственного веса и предварительного натяжения вант с учётом всех геометрических нелинейностей. В 2006 году А.М.S. Фрейере, Ж.Н.О. Негро и А.В. Лопез исследовали геометрическую нелинейность при статическом анализе вантовых мостов [63]. Они пришли к выводу, что линейный анализ современных большепролетных вантовых мостов, которые имеют большую гибкость, не даёт удовлетворительных результатов по сравнению с полученными результатами, которые включают геометрические нелинейности. Они также указали, что провисание вант имеет наиболее важное нелинейное поведение и может являться решающим вопросом в глобальном поведении вантовых мостов.

#### 1.3.2. Причины нелинейного поведения вантового моста

Методы расчёта вантовых мостов можно разделить на две категории: линейный анализ и нелинейный анализ. В линейном анализе статический отклик вантового моста можно получить, если рассчитывать балку жёсткости как неразрезную балку на жёстких опорах (ванты анкеры). Чтобы получить более высокую точность в анализе, балка жесткости рассматривается, как балка на упругом основании. Смит [101] предложил линейный подход, в котором перемещения и силы представлялись в матричной форме, чтобы получить неизвестные из системы уравнений. Другие различные методы, такие как метод сил, метод перемещения и аналитические методы, могут применяться для решения проблемы. Статический анализ вантовых и висячих мостов был изложен в различных известных литературных источниках, где использовались метод сил, метод перемещения и аналитические методы [9, 11, 15, 31, 37, 40, 65, 112].

Большие перемещения вызывают нелинейности при изменении геометрии сооружения, при которой её жёсткость была изначально рассчитана. Большие

перемещения сооружения и нелинейные свойства вант считаются основными причинами нелинейного поведения вантовых мостов [115]. Статический расчёт нелинейных ните-стержневых систем и расчётные модели гибкой нити изложены в [2, 12, 41, 72, 73].

Несколько исследователей изучали нелинейное поведение вантовых мостов [44, 45, 63, 76, 77, 78, 113], и в последнее время в [51].

#### 1.3.3. Нелинейное поведение вант

Когда вант подвешивается за концы, под собственным весом и действием осевой растягивающей силы он провисает в виде цепной линии. Осевая жёсткость вант будет меняться при изменении провисания. При увеличении осевого натяжения вант провис вант становится меньше. При использовании прямого элемента для моделирования вант необходимо учитывать эффект провисания. При изучении нелинейности от провисания наклонных вант удобно использовать эквивалентный модуль упругости для моделирования характеристик вант. Эрнст [60] изучал влияние провисания вант на его осевую жёсткость. Если рассмотрим наклонный вант под его собственным весом, то принимаем эквивалентный модуль упругости следующим образом:

$$E_{eq} = \frac{E}{1 + \frac{(w_c \cdot L^2) \cdot A_C \cdot E}{12T^3}}$$
(1.1)

Где E - эффективный модуль упругости,  $E_{eq}$  - эквивалентный модуль упругости, A- площадь поперечного сечения ванта, w- погонный вес ванта, L- горизонтальная проекция длины ванта и T- усилие натяжения в ванте.

Эквивалентный модуль упругости сочетает в себе эффекты деформации материала и геометрической нелинейности. Величина эквивалентного модуля зависит от веса и натяжения вант. Рис 1.7 четко представляет нелинейное поведение вантовых и стандартных сооружений [86]. Учёт нелинейности вант обрабатывается в данном исследовании с использованием формулы Эрнста.

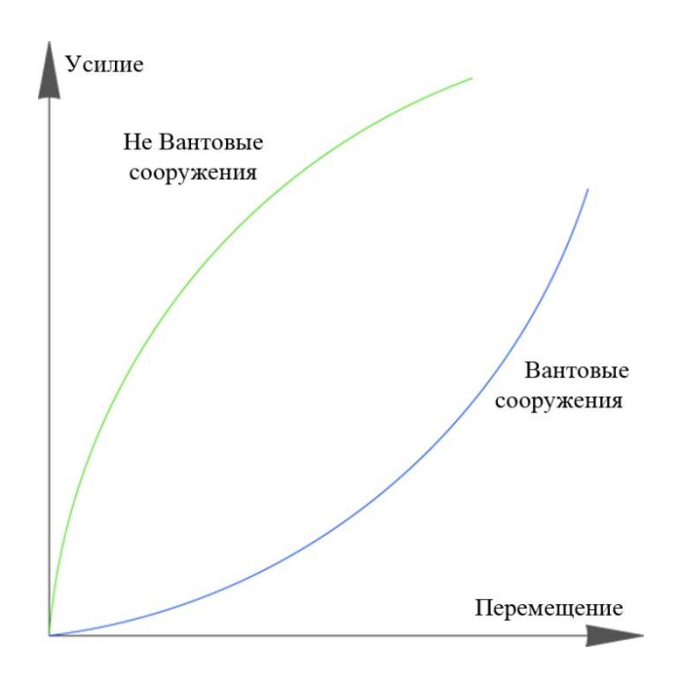


Рис.1.7. Нелинейности вантового сооружения [86]

### 1.4. Методы оптимизации для оценки оптимального предварительного натяжения вант и достижения минимальных деформаций вантовых мостов

### 1.4.1. Значимость оценки оптимального предварительного натяжения вант при анализе вантовых мостов

Статический отклик вантовых мостов существенно зависит ОТ нагрузки между тремя основными частями моста (балка распределения жесткости, ванты и пилоны). Предварительное натяжение вант обеспечивает главную роль в изменении распределения нагрузки на мост с различными значениями натяжения. Оценивая соответствующее предварительное натяжение каждого ванта, можно улучшить распределение нагрузки на мост и, таким образом, уменьшить прогиб балки жёсткости, который считается одной из основных задач при проектировании этого типа мостов. Кроме того, перемещение пилона также уменьшается; следовательно, вторичного момента пилона можно избежать. Это может привести к более экономичной конструкции. Поэтому определение оптимального предварительного натяжения является одним из важных вопросов в расчётах вантовых мостов.

### 1.4.2. Исторический обзор методов оценки оптимального предварительного натяжения вант

Ванг и др. в 1993 г. [114] предложили метод нулевого перемещения для определения предварительного натяжения вант и деформаций вантового моста под действием собственного веса. Метод учитывает нелинейность из-за эффекта провисания вант. В этом методе не задаются величинами предварительного натяжения вант в начале итерационного процесса. Предполагается, что желаемое значение прогиба балки жёсткости является нулевым при равновесном положении вантового моста под действием собственного веса, при итерационном процессе. Хотя первое деформированное состояние моста, полученное через итерационный процесс, удовлетворяет условиям равновесия, оно не приводит к нулевому прогибу.

В методе оптимизации, предложенном Неграо и Саймос, в 1997 г. [88] и Саймос и Неграо, в 2000 г. [100], предварительные натяжения вант определяются с помощью минимизации выпуклой скалярной функции. Эта функция объединяет размеры сечений элементов моста, общую геометрию и предварительное натяжение, где максимальные и минимальные допустимые натяжения в вантах и прогиб палки жёсткости ограничены. Алгоритмы программирования, используемые в этом методе, запирают получение оптимального решения. Кроме того, они очень чувствительны к ограничениям, которые должны быть наложены очень осторожно, чтобы получить желаемые результаты (Щен. и др. 2000) [55].

Щен и др. в 2000 г. [55] предложили метод баланса силы. В этом методе усилия натяжения в ванте рассматриваются как независимые переменные для достижения целевых изгибающих моментов в балки жёсткости. Целевые моменты определяются при замене всех вант, которые поддерживают балки жёсткости с жёсткими простыми опорами. Затем вычисляются коэффициенты, которые представляют изгибающие моменты в узлах, соединяющих балки жёсткости и ванты при единичном значении силы в каждом ванте. Оценку предварительного натяжения вант можно получить, рассматривая равновесие на предыдущем этапе.

Рассчитанные силы натяжения вант используются для обновления изгибающих моментов в балке жёсткости, которые затем используются для обновления натяжения вант. Последние два шага повторяются до тех пор, пока изгибающие моменты не сойдутся к целевому значению изгибающего момента. В этом методе трудно контролировать изгибающие моменты в соединении (пилон - балка жесткости).

Жанжис и др. в 2003 г. [74] предложили метод единичной силы (ULM). Метод учитывает эффект геометрической нелинейности. Жанжис и др. представили эффектную схему для получения оптимального предварительного натяжения вант. Кроме того, изгибающие моменты, находящиеся на соединении вант – балка жесткости, используются для достижения этой цели.

Ли и др. в 2008 г. [80] предложили оптимизацию стратегии натяжения вант для асимметричного вантового моста и её эффект на процесс строительства моста.

Новый алгоритм, разработанный Хассаном. М, в 2010 г. [70], использует Всплайн функцию и метод конечных элементов при нелинейном статическом анализе моста. В работе минимизировались прогибы балки жёсткости и перемещения пилона для веер-образной схемы вантового моста.

### 1.4.3. Алгоритм определения величины оптимального предварительного натяжения вант, Хассан. М, 2010

Хассан. М., 2010 [70] разработал новый алгоритм, использующий В-сплайн функции, где математическая модель моста анализируется методом конечных элементов. Свойства и преимущества кривых В-сплайн функции приведены в работах Пигла, 1991 [89] и Поразади, 2000 [90].

В данном алгоритме кривые В-сплайн выбирают так, чтобы представить предварительное вынужденное натяжение в каждом ванте, как показано на рис. 1.8. Степень кривой В-сплайна C(u), определяется следующим образом:

$$C(u) = \sum_{i=0}^{n} N_{i, p}(u) p_{i}, \quad 0 \le u \le 1$$
(1.2)

$$N_{i,p}(u) = \frac{u - u_i}{u_{i+p} - u_i} N_{i,p-1}(u) + \frac{u_{i+p+1} - u}{u_{i+p+1} - u_{i+1}} N_{i+1,p-1}(u)$$
(1.3)

где u независимые переменные, а  $p_i$ , являются контрольными точками. Полигон, образованный контрольными точками  $p_i$ , называется контрольным полигоном. Представление усилий натяжения вант с помощью кривых В-сплайн показаны на рис.1.8.

Шаги для определения местоположения точек на кривой B-сплайна при определенном значений u детализируются таким образом:

Определить количество контрольных точек (p)

Определить координаты контрольных B-сплайн точек (u).

Вычислить функцию (1.3).

Умножить значения  $N_{i,p(u)}$  на соответствующие контрольные точки по (1.2). Процедуры алгоритма показаны на рис.1.9.

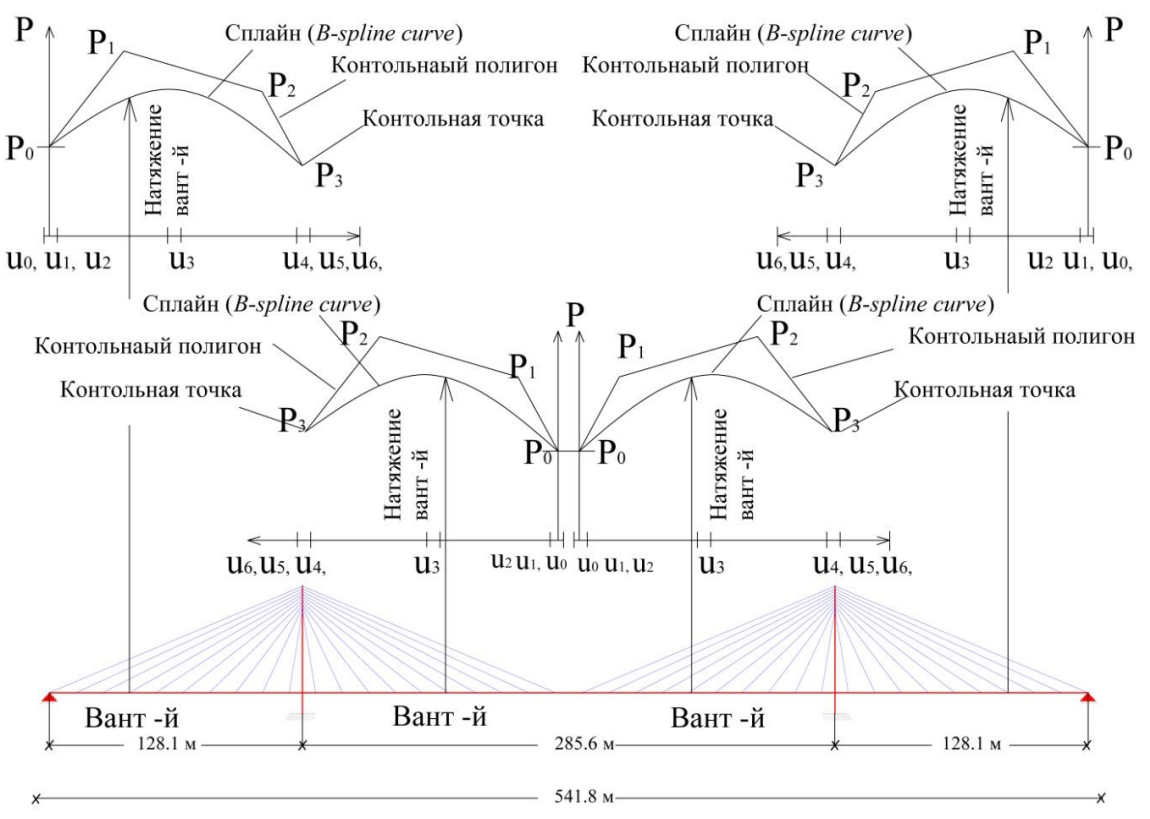


Рис.1.8. Представление усилий натяжения вант кривыми В-сплайн

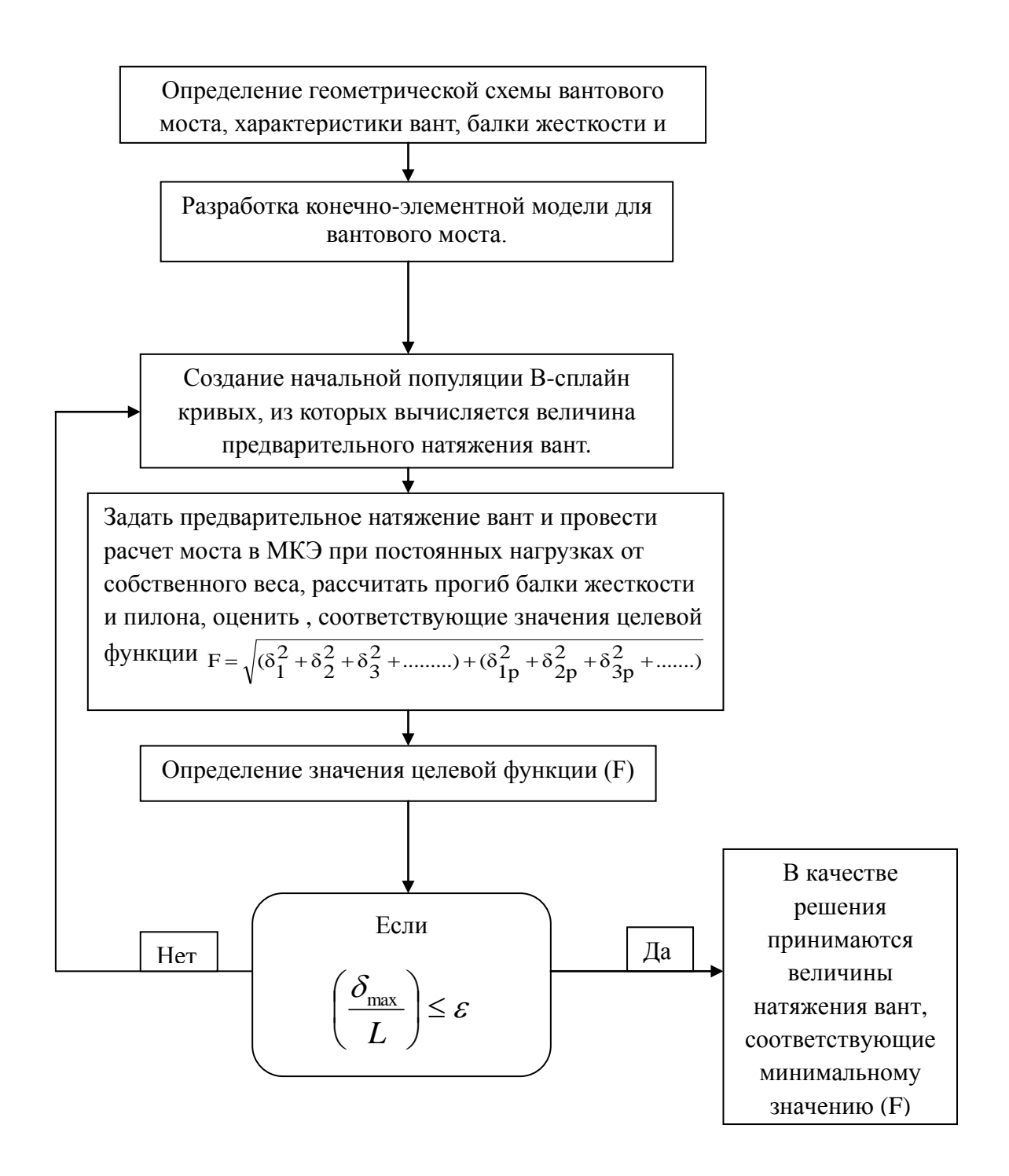


Рис. 1.9. Алгоритм определения величины оптимального предварительного натяжения вант, Хассан М, 2010

Согласно предыдущему алгоритму  $\delta_{1,}\delta_{2}$  вертикальный прогиб балки жесткости,  $\delta_{1p,}\delta_{2p}$  перемещения пилона,  $\epsilon$  =1.5x10<sup>-4</sup>,  $\it L$  – главный пролет моста.

### 1.5. Обобщение энергетического метода и метода сопряженных градиентов при разработке алгоритмов диссертации

#### 1.5.1. Общая потенциальная энергия элементов вантового моста

Вантовые конструкции обладают геометрически нелинейным поведением, они являются очень гибкими и испытывают большие перемещения при достижении их равновесия. В связи с этим, по своей сути нелинейного поведения, обычный линейный анализ, который предполагает малые перемещения, часто не применяется [87]

В настоящей диссертационной работе энергетический метод проводится для решения некоторых статических и динамических задач, относящихся к вантовым мостам.

Энергетический метод действительно является достаточно обоснованным при расчете небольших и крупных сооружений. Физическая и геометрическая нелинейности непосредственно включается в выражения метода, тем самым учитываются большие перемещения и деформации, а также изменения конфигурации сооружения за счёт её отклика [85]. В [69] приведён расчёт вантовых конструкций с использованием энергетического метода.

При статическом нелинейном анализе геометрических схем вантовых мостов [52, 53] выражение полной потенциальной энергии имеет вид

$$W = \sum_{n=1}^{f} \sum_{s=1}^{6} \sum_{r=1}^{6} \left( \frac{1}{2} x_s k_{sr} x_r \right)_n + \sum_{n=1}^{p} \left( T_{\circ} e + \frac{EA}{2L_{\circ}} e^2 \right)_n - \sum_{n=1}^{N} F_n x_n.$$
 (1.4)

где f — число изгибных элементов;  $x_s$ ,  $x_r$  — векторы перемещений изгибных элементов с учетом эффекта предварительного натяжения вант;  $k_{sr}$  — матрица жёсткости изгибных элементов в глобальной системе координат; р — количество вант;  $T_0$  — усилие предварительного натяжения в ванте при предварительном натяжении; е — удлинение ванта при приложении нагрузок; E — модуль упругости; A — площадь сечения ванты;  $L_0$  — длина недеформированного ванта;

N — общее количество степеней свободы всей системы;  $F_n$  — вектор усилий элементов прикладываемых нагрузок;  $x_n$  — вектор перемещений элементов под прикладываемой нагрузкой.

Координаты и силы вантового элемента jn натянутого и незагруженного, а также натянутого и загруженного в итерационном процессе показаны на рис. 1.10.

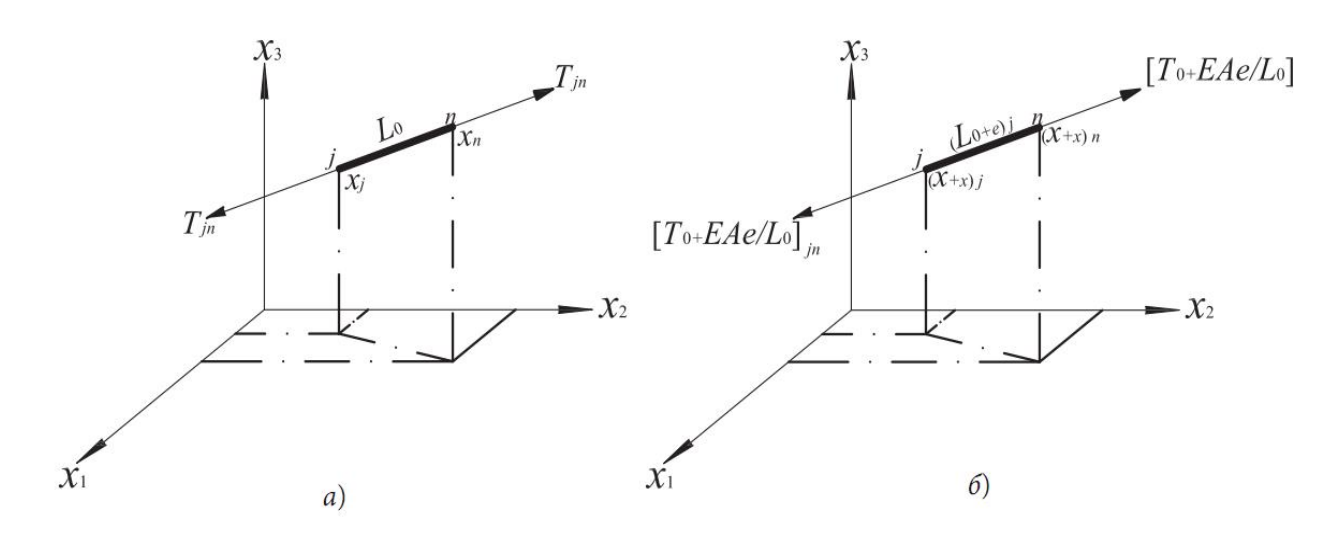


Рис. 1.10. Схемы координат и сил вантового элемента јп

(а) не загружен (б) загружен

Полное удлинение ванты выражается таким образом:

$$e_{jn} = e_{\circ} + e = \frac{1}{L_{\circ}} \left\{ \sum_{i=1}^{2} \left[ \left( X_{ni} - X_{ji} \right) \left( x_{ni} - x_{ji} \right) + \frac{1}{2} \left( x_{ni} - x_{ji} \right)^{2} \right] + \frac{L_{\circ}^{2} T_{\circ}}{EA} \right\}.$$
 (1.5)

где  $e_0$  — удлинение ванта при предварительном натяжении; i — одно из направлений перемещений, например точки n;  $X_{ni}$ ,  $X_{ji}$  — координаты соответственно точек n, j по направлению i;  $x_{ni}$ ,  $x_{ji}$  — перемещение соответственно точек n, j по направлению i.

### 1.5.2 Минимизация потенциальной энергии моста методом сопряжённых градиентов.

Процедуры анализа осуществляются до достижения равновесия конструкции с помощью итерационного процесса, чтобы минимизировать полную потенциальную энергию методом сопряжённых градиентов [43, 104, 105]. Равновесие достигается, когда полная потенциальная энергия становится

минимумом. Общая потенциальная энергия получается суммированием энергии каждого элемента.

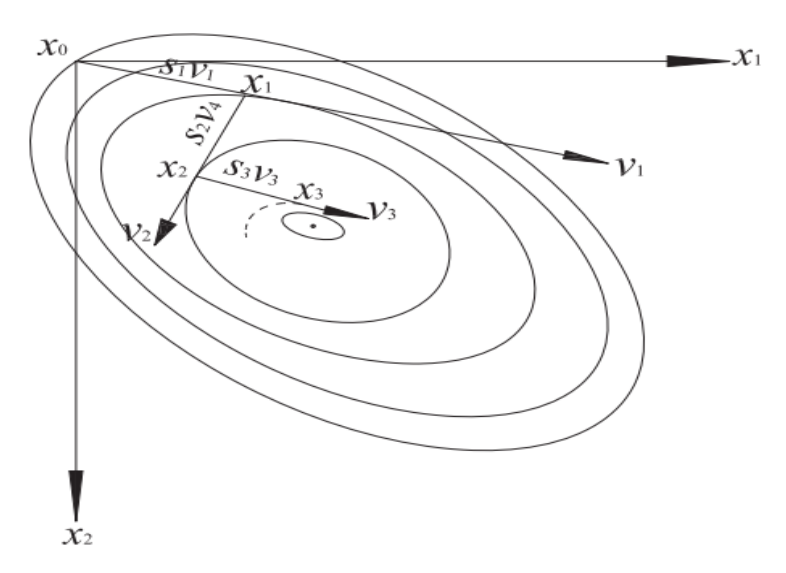


Рис. 1.11. Контурные линии на топографической карте

На рис. 1.11 схема представляет собой контурные линии на топографической карте. Все точки на любой контурной линии являются перемещениями, при которых полная потенциальная энергия W постоянная. Точка для минимальной W определяет положение равновесия загруженных элементов, условие равновесия в направлении i в точке j выражается как

$$\frac{\partial W}{\partial x_{ji}} = \left[ g_{ji} \right] = 0$$

$$i = 1, 2, 3$$
(1.6)

где  $g_{ji}$  — вектор градиента поверхностной энергии; градиент g представляет вектор силы, необходимого для поддержания равновесия в пространстве перемещений x. Местоположение минимума W достигается перемещением вниз по поверхности энергии вдоль вектора спуска v на расстояние Sv, пока W не будет минимальной в рассматриваемом направлении. Метод схематично показан на рис. 1.11 и математически выражается вектором перемещения в k-й итерации:

$$[x]_{k+1} = [x]_k + S_k v_k. (1.7)$$

где  $[x]_k$  — вектор перемещений на шаге итераций k;  $S_k$  — длина шага определяется расстоянием по  $S_k$ , k имеет вид: k=0, 1, 2, 3, ..., n);  $v_k$  — вектор спуска в k-й

итерации с  $x_k$  в пространстве перемещении x. В методе сопряженных градиентов, вектор спуска определяется рядом линейных комбинаций такого вида:

$$[v]_{k+1} = -[g]_{k+1} + \beta[v]_{k},$$

$$\beta_{k} = \frac{[g]_{k+1}^{T} \{[g]_{k+1} - [g]_{k}\}}{[v]_{k}^{T} \{[g]_{k+1} - [g]_{k}\}}.$$
(1.8)

где  $\beta_k$  — коэффициент, зависящий от вектора градиента и вектора спуска.

Дифференцируя уравнения (1.4) относительно  $x_s$ , получим

$$[g_{i}]_{n} = \sum_{n=1}^{f_{n}} \sum_{r=1}^{6} (k_{nr} x_{r})_{n} + \sum_{n=1}^{p_{n}} \left( T_{\circ} + \frac{EA}{L_{\circ}} e \right) \left[ \frac{\partial e_{n}}{\partial x_{i}} \right]_{n} - [F_{i}]_{n}.$$
(1.9)

Дифференцируя первую часть уравнения (1.5) относительно  $x_{ii}$ , будем иметь

$$g_{ni} = \sum_{n=1}^{f_n} \sum_{r=1}^{6} (k_{nr} x_r)_n - \sum_{n=1}^{p_n} (t_{jn} (X_{ni} + x_{ni} - X_{ji} - x_{ji})) - F_{ni}.$$
 (1.10)

где  $t_{jn}$  — коэффициент натяжения вантового элемента jn:

$$t_{jn} = \left[ \left( T_{\circ} + EA / L_{\circ} \right) / L_{\circ} \right]_{jn}. \tag{1.11}$$

Подставляя выражение (1.7)  $[x]_{k+1}$  в уравнение (1.5) получим в виде выражения

$$e_{jn} = \frac{1}{L_{\circ}} \left\{ \sum_{i=1}^{2} \left[ \left( X_{ni} - X_{ji} \right) \left( x_{ni} + Sv_{ni} - x_{ji} - Sv_{ji} \right) + \frac{1}{2} \left( x_{ni} + Sv_{ni} - x_{ji} - Sv_{ji} \right)^{2} \right] + \frac{L_{\circ}^{2} T_{\circ}}{EA} \right\}.$$

$$(1.12)$$

Это выражение можно упростить, если ввести обозначения

$$a_{1} = \sum_{i=1}^{2} \left[ \left( X_{ni} - X_{ji} \right) + \frac{1}{2} \left( x_{ni} - x_{ji} \right) \right] \left( x_{ni} - x_{ji} \right) + L_{\circ}^{2} \frac{T_{\circ}}{EA},$$

$$a_{2} = \sum_{i=1}^{2} \left[ \left( X_{ni} - X_{ji} \right) + \left( x_{ni} - x_{ji} \right) \right] \left( v_{ni} - v_{ji} \right), a_{3} = \sum_{i=1}^{2} \frac{1}{2} \left( v_{ni} - v_{ji} \right)^{2}.$$

$$(1.13)$$

Тогда, 
$$e_{jn} = \frac{(a_1 + a_2 S + a_3 S^2)}{L_{\circ}}$$
.

коэффициент натяжения вантового элемента jn на шаге итераций k+1

$$(t_{jn})_{k+1} = (t_{jn})_k + \frac{EA}{(L_o^3)_{jn}} (a_1 + a_2 S + a_3 S^2)_{jn}.$$
(1.14)

Подставляя выражение (1.7)  $[x]_{k+1}$  в уравнение (1.4) получим в виде выражения

$$W = \sum_{n=1}^{f} \sum_{s=1}^{6} \sum_{r=1}^{6} \left( \frac{1}{2} (x + Sv) k_{sr} (x + Sv)_r \right)_n + \sum_{n=1}^{p} \left( T_{\circ} e + \frac{EA}{2L_{\circ}} e^2 \right) - \sum_{n=1}^{N} F_n (x + Sv)_n.$$
 (1.15)

Подставляя выражение  $e_{jn}$  из уравнения (1.13) в уравнение (1.15) и выполняя необходимые умножения, приходим к полиному относительно S:

$$W = C_4 S^4 + C_3 S^3 + C_2 S^2 + C_1 S + C_2, (1.16)$$

где коэффициенты C:

$$C_{4} = \sum_{n=1}^{p} \left( \frac{EAa_{3}^{2}}{2L_{\circ}^{3}} \right)_{n}, C_{3} = \sum_{n=1}^{p} \left( \frac{EAa_{2}a_{3}}{L_{\circ}^{3}} \right)_{n},$$

$$C_{2} = \sum_{n=1}^{p} \left( t_{\circ}a_{3} + \frac{EA(a_{2}^{2} + 2a_{1}a_{3})}{2L_{\circ}^{3}} \right)_{n} + \sum_{n=1}^{f} \sum_{s=1}^{6} \sum_{r=1}^{6} \left( \frac{1}{2}v_{s}k_{sr}v_{r} \right)_{n},$$

$$C_{1} = \sum_{n=1}^{p} \left( t_{\circ}a_{2} + \frac{EAa_{1}a_{2}}{2L_{\circ}^{3}} \right)_{n} + \sum_{n=1}^{f} \sum_{s=1}^{6} \sum_{r=1}^{6} \left( \frac{1}{2}v_{s}k_{sr}v_{r} \right)_{n} - \sum_{n=1}^{N} F_{n}v_{n},$$

$$C_{\circ} = \sum_{n=1}^{p} \left( t_{\circ}a_{1} + \frac{EAa_{1}^{2}}{2L_{\circ}^{3}} \right)_{n} + \sum_{n=1}^{f} \sum_{s=1}^{6} \sum_{r=1}^{6} \left( \frac{1}{2}x_{s}k_{sr}x_{r} \right)_{n} - \sum_{n=1}^{N} F_{n}v_{n}.$$

$$(1.17)$$

Из уравнения (1.16), получим длину шага *S*:

$$S_{k+1} = S_k - \frac{\partial W/\partial S}{\partial W^2/\partial S^2}; \quad S_{k+1} = S_k - \frac{4C_4S^3 + 3C_3S^2 + 2C_2S + C_1}{12C_4S^2 + 6C_3S + 2C_2}.$$
 (1.18)

### Глава 2. ЭНЕРГЕТИЧЕСКИЙ ПОДХОД ДЛЯ ОЦЕНКИ ОПТИМАЛЬНОГО ПРЕДВАРИТЕЛЬНОГО НАТЯЖЕНИЯ ВАНТ ПРИ СТАТИЧЕСКОМ АНАЛИЗЕ ВАНТОВЫХ СХЕМ МОСТОВ

### 2.1. Предложенный алгоритм для оценки оптимального предварительного натяжения вант

Вантовые мосты нашли широкое применение во всем мире в последние несколько десятилетий. Быстрый прогресс оправдан возможностью анализа и проектирования этого типа гибких сооружений. В работах [1, 22, 28] были усовершенствованы программы проектирования сталежелезобетонных двухпилонных автодорожных мостов с применением персональных компьютеров. Был применён инженерный метод последовательных приближений к искомому решению с целью повышения производительности труда проектировщиков, качества проектной документации и сокращения срока проектирования. В этих работах оптимизация за счёт достижения минимальной деформации по оценке оптимального предварительного натяжения вант отсутствует. В некоторых исследованиях, таких как [47, 99, 109], были проведены анализы минимизации деформации вантовых мостов по оптимизации предварительного натяжения вант. В этих статьях решение задачи основано на методике авторов (см. глава. 1, раздел 1.4.2).

В самом последнем исследовании М. Хассан, (2010) [70] отметил, что все методы оценки предварительного натяжении вант приводят к следующим выводам:

- Существующие коммерческие программные пакеты не могут использоваться непосредственно для оценки оптимального предварительного натяжения вант. Соответственно, специальный алгоритм должен быть разработан дизайнером для решения этой задачи, которая требует значительных навыков программирования.
- Оценка оптимального предварительного натяжения вант требует разработки полной численной модели моста.

- Входные и выходные данные, связанные со всеми этими методами, являются большим и утомительным трудом, включая их интерпретацию.
- Все методы являются сложными (Сунг 2006 [107] ) и (Лии., 2008 [80]), поскольку они являются итерационными и требуют широкого знания многих математических и численных методов.
- Увеличение количества вант усложняет расчеты, и делает их более сложными, чтобы найти подходящее решение.

Чтобы продолжить изучение этого вопроса в этой главе, предложен алгоритм для достижения минимальной деформации вантовых мостов по оценке оптимального предварительного натяжения вант, где при минимизации энергии на каждом шаге интегрирования нелинейных дифференциальных уравнений реализован метод сопряженных градиентов

Для проверки эффективности предложенного алгоритма осуществляется также сравнение результатов, полученных в работе с результатами М. Хассан [70]

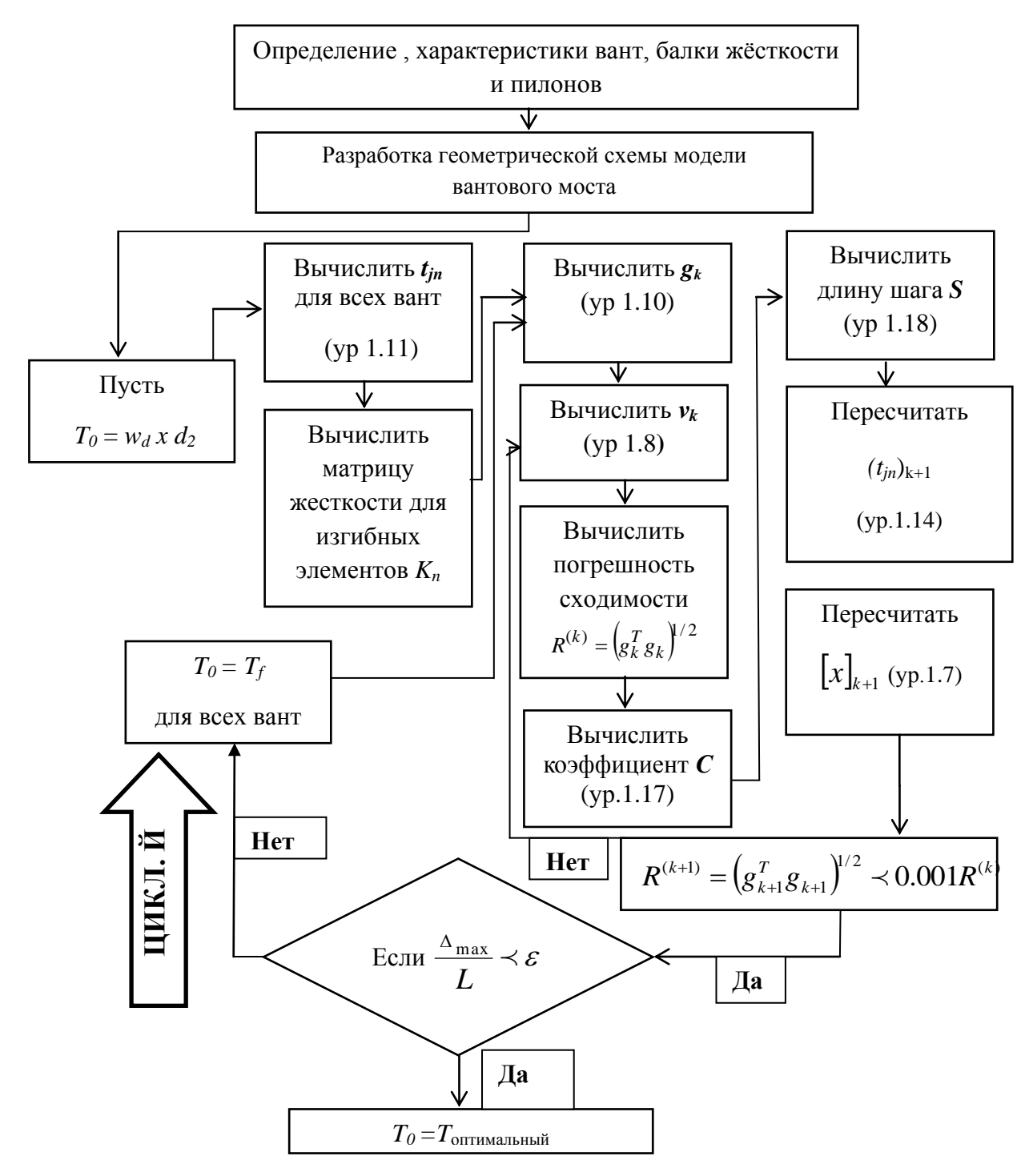


Рис. 2.1. Предложенный алгоритм для оценки оптимального предварительного натяжения вант

В предложенном алгоритме, как показано на рис. 2.1, предлагается значение предварительного  $(T_0)$ назначать начальное натяжения вант постоянными для всех вант. Натяжение, в основном, зависит от собственного веса балки жёсткости  $(w_d)$  и расстояния между вантами  $(d_2)$ . Такое предположение проводится в первом цикле итерационного процесса, чтобы избежать трудности в сходимости итераций, когда используются различные величины предварительного натяжения для каждого ванта. В каждом итерационном процессе с использованием метода сопряженных градиентов сходимость задачи проверке погрешности сходимости достигаться при минимизация потенциальной энергии для всех элементов моста осуществляется в конце итерации каждого цикла. Чтобы определить, окончательное это натяжение вант или нет, в каждом цикле значения обрабатываются предложенной в алгоритме величиной малого значения (є). Это значение получается путём деления максимального прогиба балки жёсткости в центральном пролете ( $\Delta_{\rm m}$ ) на расстояние между пилонами (L). Необходимые циклы для достижения этой цели будут повторяться до тех пор, пока не получится желаемое значение (ε). Особенности использования метода сопряженных градиентов заключатся в том. что можно получить небольшое значение (ε), меньше чем 10<sup>-4</sup>, которое очень популярно в других процедурах алгоритмов. Преимущество этого метода особенно возрастает с увеличением пролётов мостов. В настоящем исследовании значение ( $\epsilon$ ) =  $4 \times 10^{-5}$  можно рассматривать как оптимальное значение. Однако в результатах анализа это значение может стать меньше в зависимости от геометрии и схем вант моста. Если не получаем в первом цикле оптимального предварительного натяжения каждого ванта, то во второй цикл вводится окончательные натяжения всех вант, полученные из первого цикла, предварительные натяжения второго цикла и так далее.

В предложном алгоритме, перемещение точек балки жёсткости и пилона являются переменными в оптимизационном процедуре [39].

## 2.2. Геометрическая схема и расчетные данные рассмотренных вариантов изучаемого моста

Мост с общей длиной 800 м состоит из трех пролётов, где центральный пролёт между двумя пилонами имеет 400 м и 200 м для двух боковых пролётов, как показано на рис. 2.2. Балка жёсткости моста из стали с шириной 20,8 м и высотой 3,2 м (рис. 2.3), где момент инерции  $(I_x)$ , момент инерции  $(I_y)$ , площадь поперечного сечения  $(A_d)$  и модуль упругости  $(E_d)$  составляют 2.199 м<sup>4</sup>, 48.95 м<sup>4</sup>,  $1.325 \text{ м}^2$  и  $2.1 \times 10^8 \text{ кH/м}^2$ , соответственно. Собственный вес балки жёсткости ( $w_d$ ) имеет 87.32 кН/м. Пилоны состоять из двух частей: нижняя часть под уровнем балки жёсткости состоит из двух сечений, каждый из которых имеет 7.3 м × 5 м с толщиной 0.7 м и 40 м высотой, верхняя часть пилонов имеет 6.7 м × 3 м с толщиной 0,5 м и высоте 80 м над уровнем балки жёсткости, как показано на рис. 2.4. Модуль упругости бетона для пилонов ( $E_c$ ) имеет  $3 \times 10^7$  кН/м<sup>2</sup>. Ванты имеют постоянные площади поперечного сечения  $(A_c)$  0.01105 м<sup>2</sup>, где модуль упругости  $(E_{cs})$ , разрушающая сила  $(T_{ult})$  и погонный вес  $(w_{cs})$  вант составляют 14720 кH/см<sup>2</sup>, 9500 кН и 0.891 кН/м, соответственно. Расстояние между вантами вдоль верхней части пилонов имеет 2 м. Все изгибные элементы моста (балка жёсткости и пилоны) рассматриваются как 2D балочные элементы. Каждый узел балочного элемента имеет три степени свободы для вычисления матрицы жёсткости (k) и вектор градиента (д). Граничные условия основания пилонов ограничены во всех направлениях перемещения и поворота.

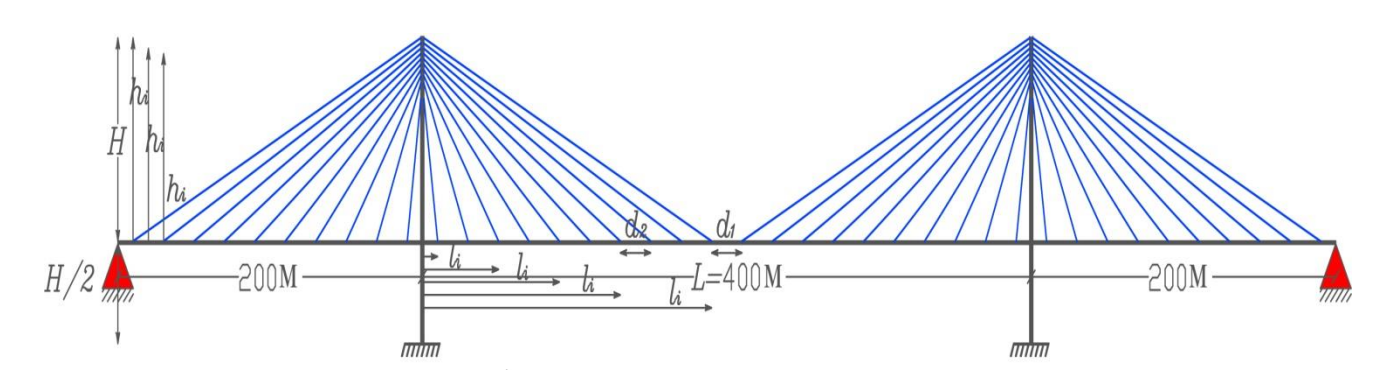


Рис. 2.2. Схема моста, система «веер»

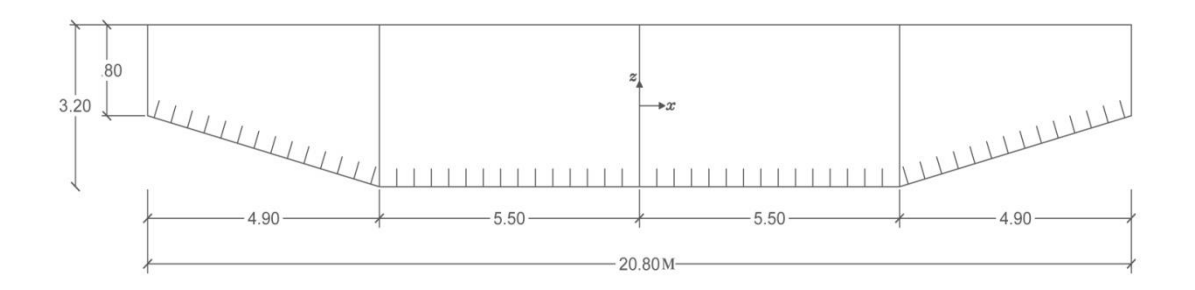


Рис. 2.3. Поперечное сечение балки жесткости

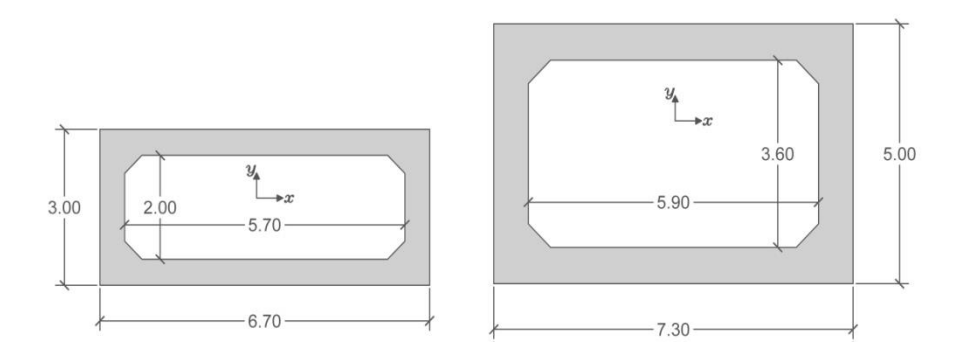


Рис. 2.4. Сечения пилона над балкой жесткости

и под ней

Мост разделяется на идеализированные элементы, где модель моста образована путём соединения этих элементов в конечном числе (см. приложение.1, пример H/L=1/5, схема веер). 2-D анализ позволит сократить вычисление в случае симметричной плоскости моста. Балка жёсткости и пилоны моделируются с помощью балочных элементов, где площади поперечного сечения и моменты инерции приняты как в соответствующих балочных элементах в модели.

В приложении 1 также представлены значения деформации моста и соответствующих натяжений вант при процедуре алгоритма, показывающие уменьшение этих значений (пример H/L=1/5, схема веер).

## 2.3. Виляние изменения геометрии моста на деформации изгибных элементов при выполнении процедуры алгоритма

Отношение высоты пилона относительно длины среднего пролёта моста (H/L) можно считать одним из главных геометрических факторов, который имеет

значительное влияние на деформации вантовых мостов и натяжения вант. Следовательно, этот фактор тоже влияет и на процедуру нахождения вант. В этом разделе влияние этого оптимального натяжения фактора ориентировано на вычисление деформаций моста (балка жёсткости и пилоны) и Чтобы более оценку оптимального натяжения вант. сделать глубокие исследования, прогибы балки жёсткости и перемещения пилонов представляются в рамках процедур алгоритма (при каждом цикле итерации).

#### 2.3.1. Оценка прогиба балки жёсткости при процедуре алгоритма

В таблице 2.1 рассмотрим два варианта вантового моста. В первом варианте предложим, что  $(d_1 = d_2)$ , где все расстояния между вантами одинаковы, а во втором варианте принимаем расстояние между двумя вантами центрального пролета моста  $(d_1)$  значительно больше, чем  $(d_2)$  (см. рис.2.2). Проведём анализ второго варианта моста с целью проверки эффективности предлагаемого алгоритма, чтобы выяснить, влияет ли это на сходимости итераций.

Таблица 2.1

| Наименование |               | Расстояние<br>между<br>вантами | Схема вант моста | высоты пилона относительно среднего пролета моста $H/L$ |     |     |  |
|--------------|---------------|--------------------------------|------------------|---|-----|-----|--|
| Вариант 1    | $d_1 = d_2$   | 20 м                           | веер             | 1/5   | 1/6 | 1/7 |  |
| Вариант 2    | $d_1 >>> d_2$ |                                | веер             | 1/5   | 1/6 | 1/7 |  |

Нелинейный статический анализ проводился для двух вариантов вантового моста, представленных в таблице 2.1. Оценка прогиба балки жёсткости вдоль пролёта моста получается в рамках процедуры алгоритма. Как показано на рис. (2.5, 2.6, 2.7), количество необходимых циклов для получения минимального прогиба балки жёсткости при H/L = 1/5, 1/6 и 1/7 увеличивается при варианте 2 с трёх до пяти, от четырёх до шести и с пяти до семи, соответственно. Таким

образом, вычисление сходимости каждой итерации становится сложнее при вычислении минимальной потенциальной энергии для всех элементов моста. Также можно отметить, что когда уменьшаем высоту пилона, увеличиваются необходимые циклы итерации. В середине центрального пролета  $(l_i / L) = 0.5$ , прогиб балки жёсткости уменьшается в каждом цикле по ( $\epsilon$ ). В последнем цикле, получили самый минимальный прогиб, когда находим ( $\epsilon$ ) меньше, чем  $10^{-4}$ , что указывает на наличие небольшого прогиба около нуля. В целом, прогиб балки жёсткости снижается в зависимости от высоты пилона. При нелинейном анализе моста (вариант.1 и вариант.2), H/L=1/5 даёт лучшие результаты, чем H/L=1/6 и 1/7, Кроме того, сходимость итерации достигается быстрее и легче.

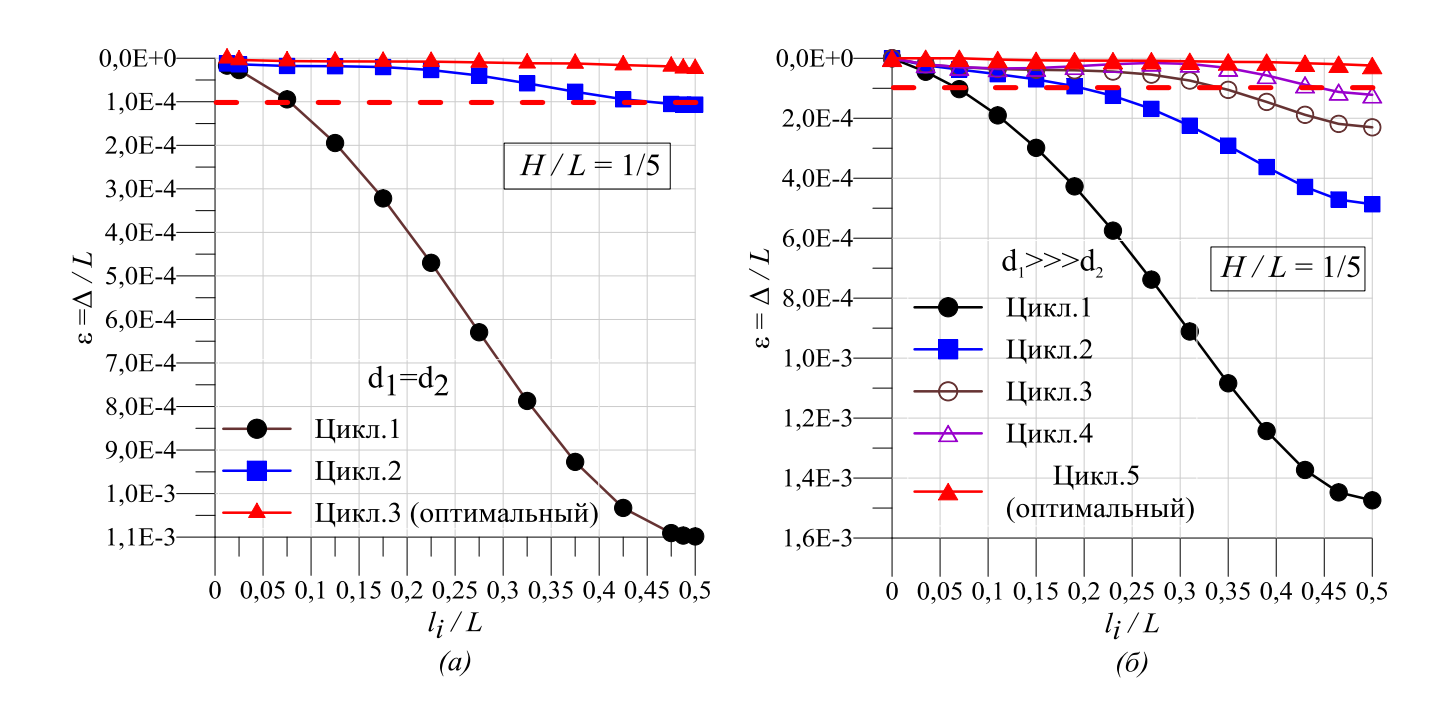


Рис. 2.5. Оценка прогиба балки жесткости ( $\epsilon$ ) при H/L=1/5 a) вариант 1  $\delta$ ) вариант 2

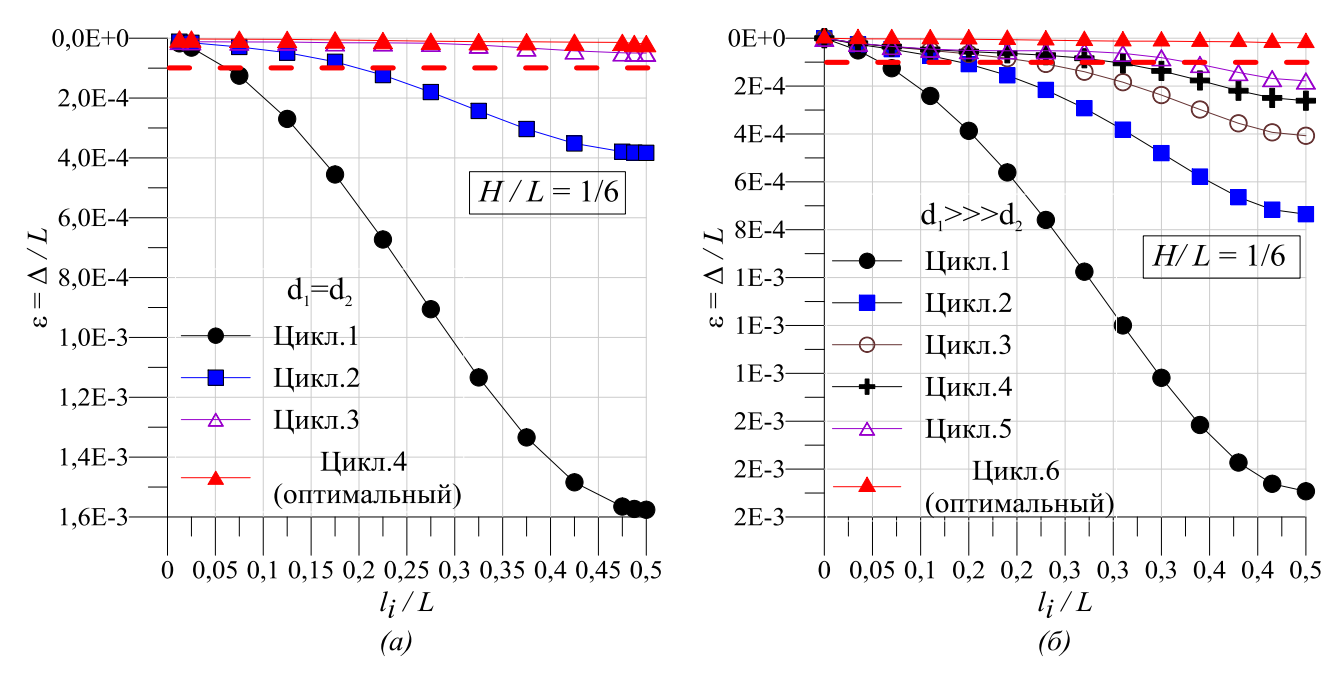


Рис. 2.6. Оценка прогиба балки жесткости ( $\epsilon$ ) при H/L=1/6

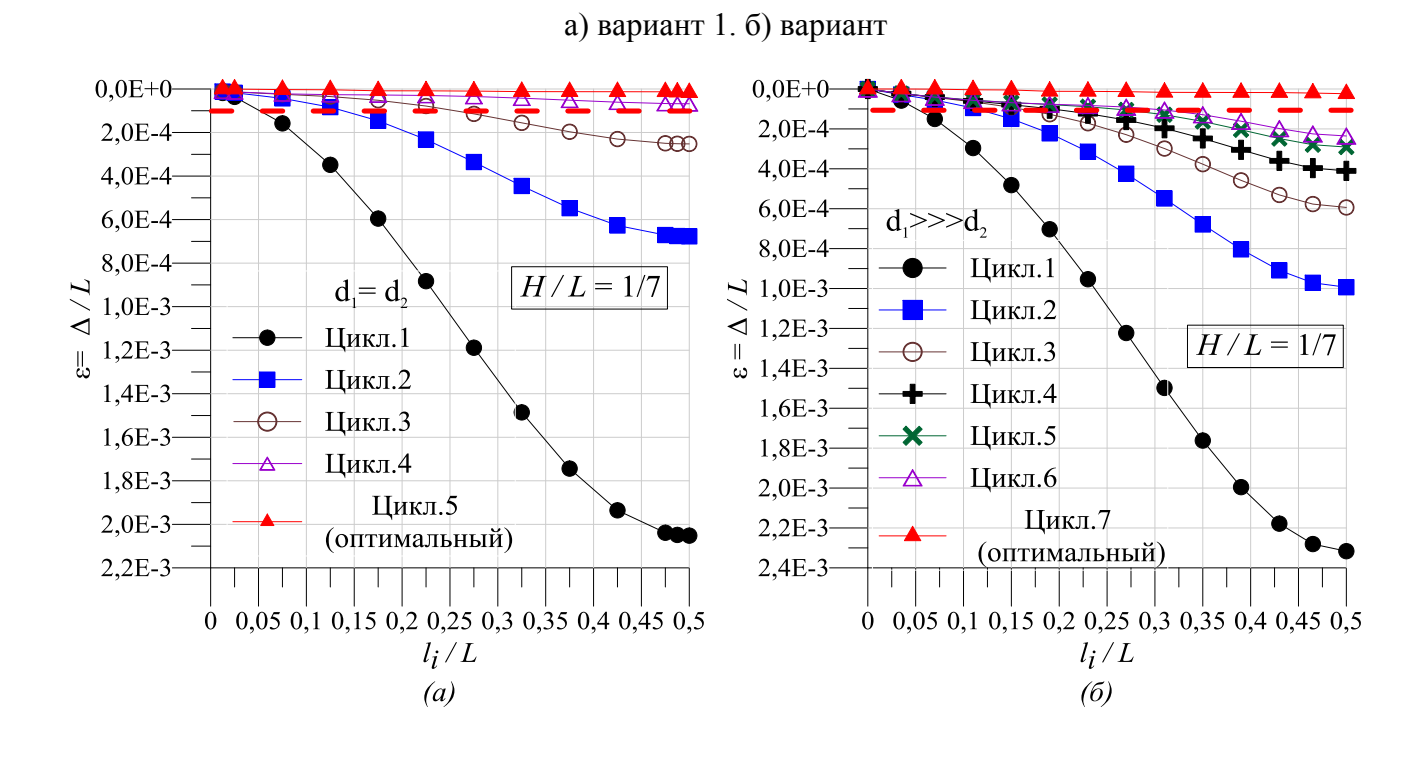


Рис. 2.7. Оценка прогиба балки жесткости ( $\epsilon$ ) при H/L=1/7 а) вариант 1. б) вариант 2

#### 2.3.2. Оценка перемещения пилона при процедуре алгоритма

В процедурах алгоритма, когда уменьшаем прогиб балки жёсткости, уменьшается соответственно перемещение пилона. Перемещение точек пилона, где прикреплены ванты, вырастет и падает с другого конца ванта на балке

жёсткости. Как показано на рисунках 2.8, 2.9, 2.10, перемещение пилона ( $\delta$ ) при вариантах 1, 2 и при H/L=1/5 меньше, чем получения при H/L=1/6, H/L=1/7. Количество необходимых циклов для получения минимального перемещения пилона при H/L = 1/5, 1/6 и 1/7 увеличивается при варианте 2 с трёх до пяти, от четырёх до шести и от пяти до семи, соответственно, так же, как в предыдущих процедурах, чтобы получить оптимальное значение ( $\epsilon$ ). Результаты показывают, что перемещение пилона, где подкреплены ванты, вырастет и падает в соответствующих точках второго конца ванта на балке жёсткости. Получение минимального перемещения верха пилона ( $h_i/H$ =0.5) около нуля считается очень важным шагом при проектировании пилона, так как позволяет избежать вторичного момента, что приводит к более экономичному решению.

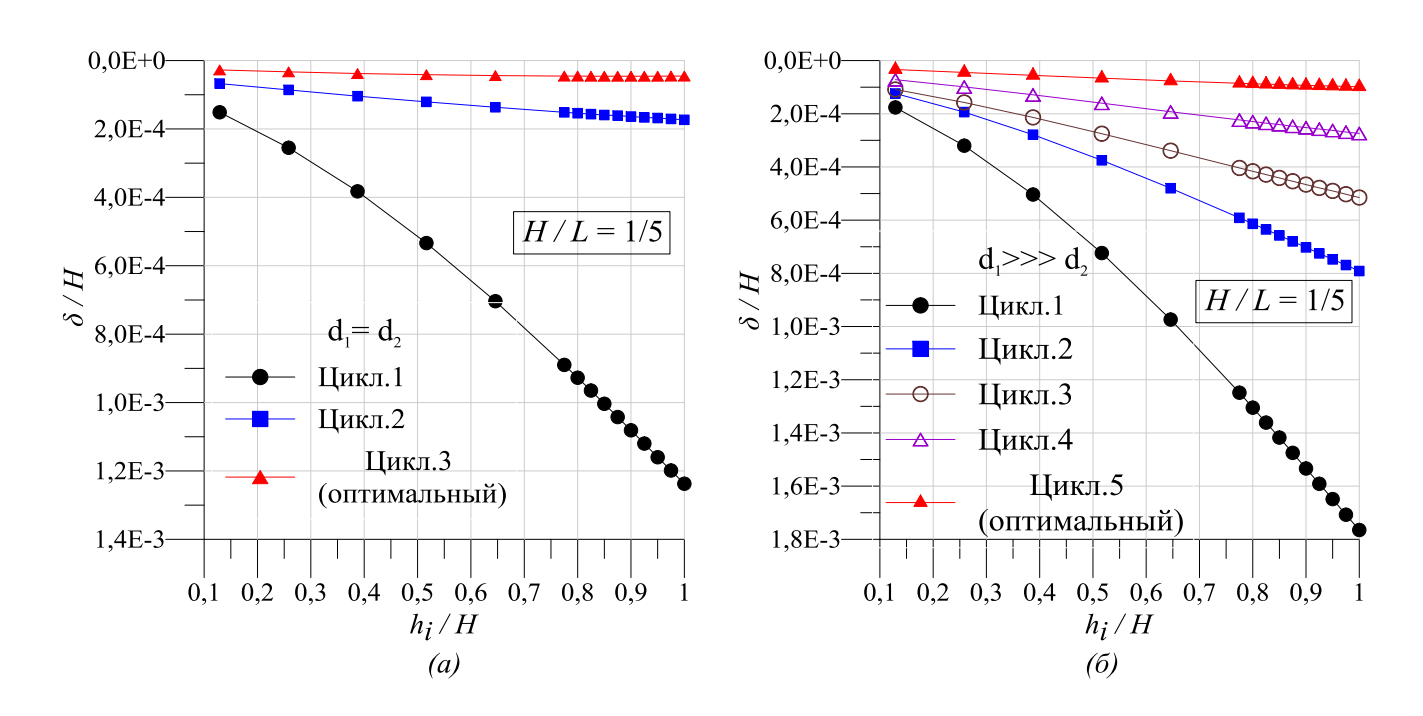


Рис. 2.8. Оценка перемещения пилона ( $\delta/H$ ) при H/L=1/5 а) вариант 1. б) вариант 2

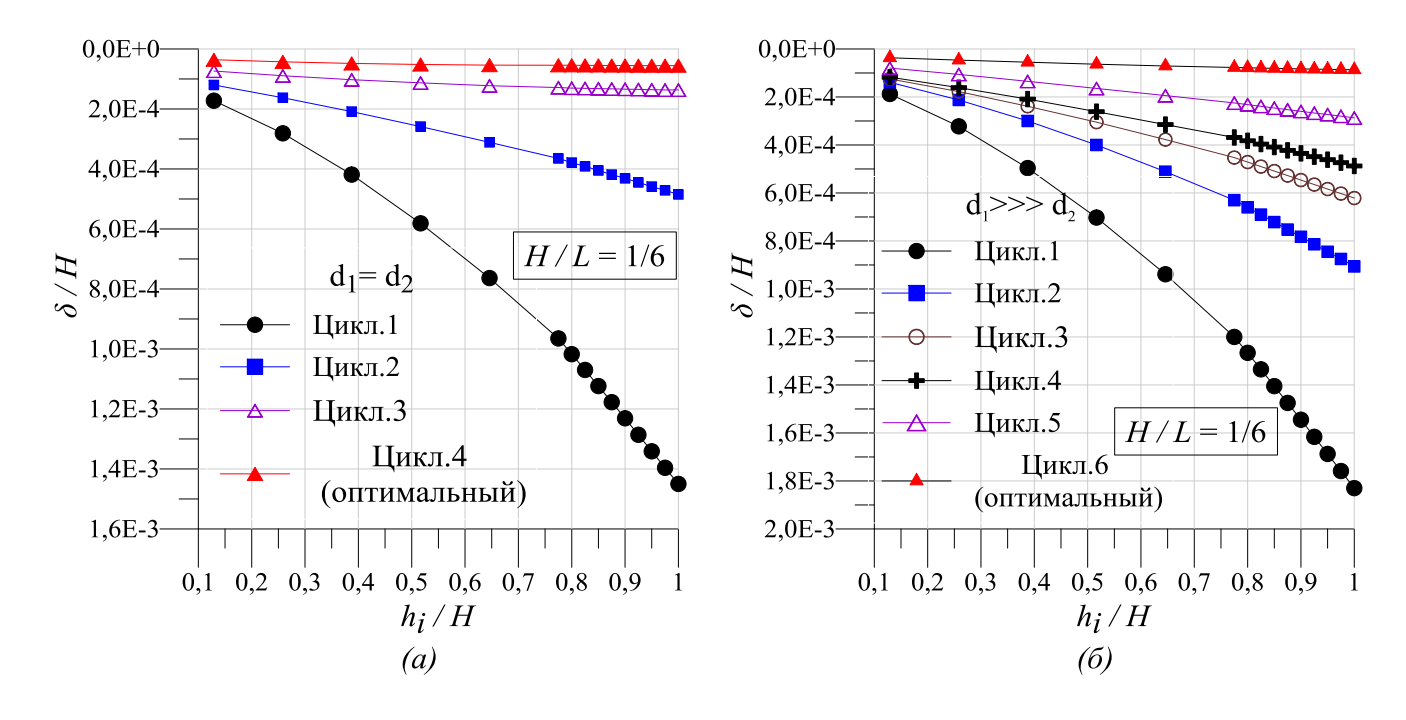


Рис. 2.9. Оценка перемещения пилона ( $\delta/H$ ) при H/L=1/6 а) вариант 1. б) вариант 2

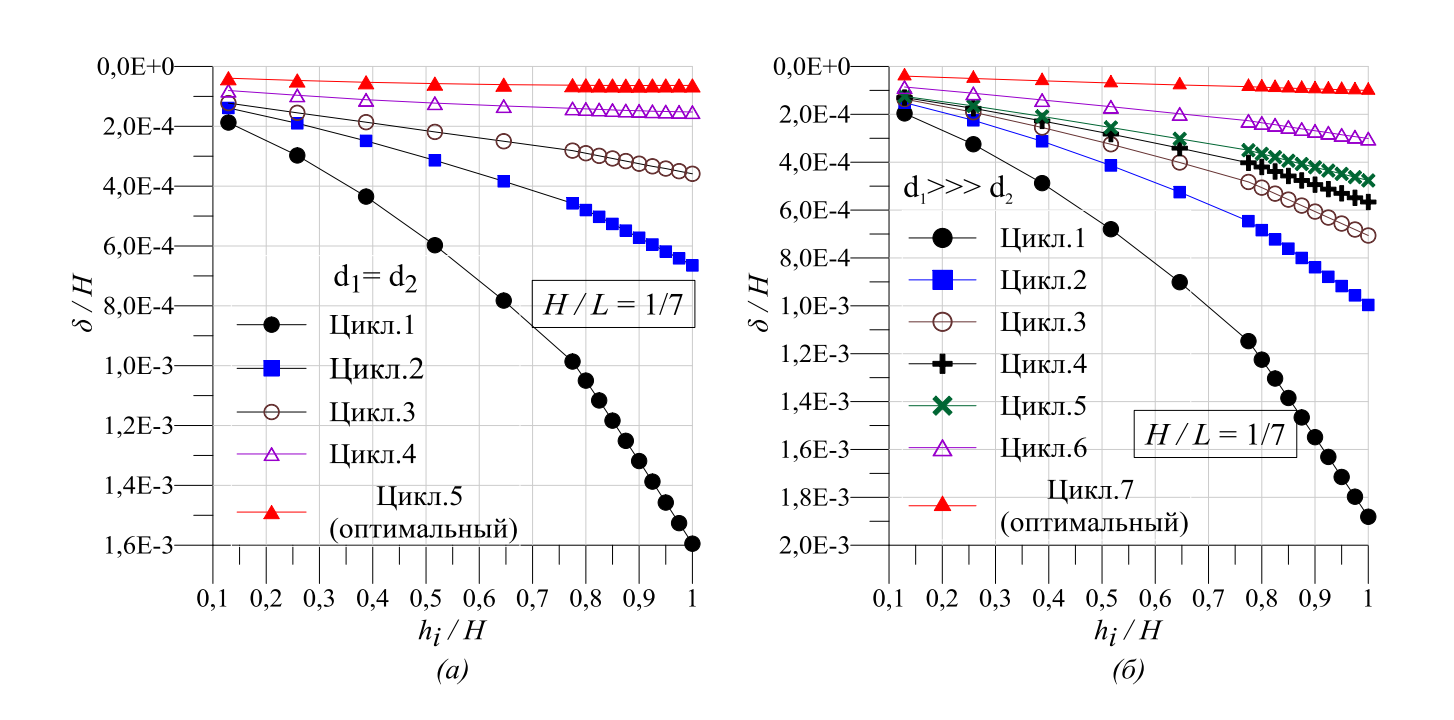


Рис. 2.10. Оценка перемещения пилона ( $\delta/H$ ) при H/L=1/7 а) вариант 1. б) вариант 2

## 2.3.3. Оценка оптимального предварительного натяжения вант в конце процесса алгоритма

Реализация метода сопряжённых градиентов при процедуре алгоритма позволяет при нахождении сходимости каждой итерации использовать хорошую оценку для  $(\varepsilon) = 4 \times 10^{-5}$ , меньше чем  $10^{-4}$ , которую использовали в других популярных алгоритмах. Как показано в разделе (2.3.1), (2.3.2), получена значительная минимизация прогибов балки жёсткости и перемещений пилонов с хорошим результатом вокруг нуля. Следовательно, соответствующее натяжение каждого ванта в конце итерационного цикла может рассматриваться как 2.11 предварительное натяжение ванта. Рис. оптимальное показывает оптимальные натяжения вант, которые получаются с малыми значениями при H / L = 1/5 после трёх циклах итераций. Однако, при H / L = 1/6, H / L = 1/7, оптимальные натяжения вант имеют более высокие значения, как показано на рис. 2.12 и, следовательно, число циклов возрастает с уменьшением высоты пилонов.

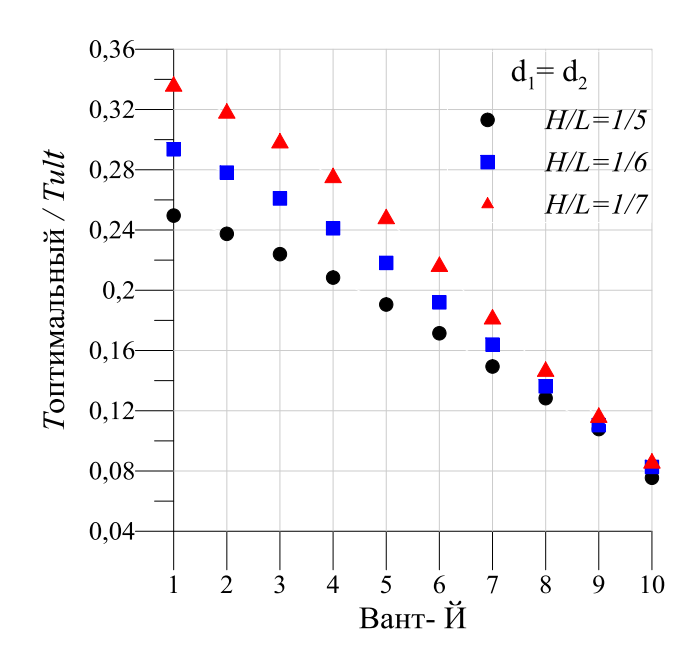


Рис. 2.11. Оценка оптимального натяжения вант при изменении *H/L*, (вариант 1)

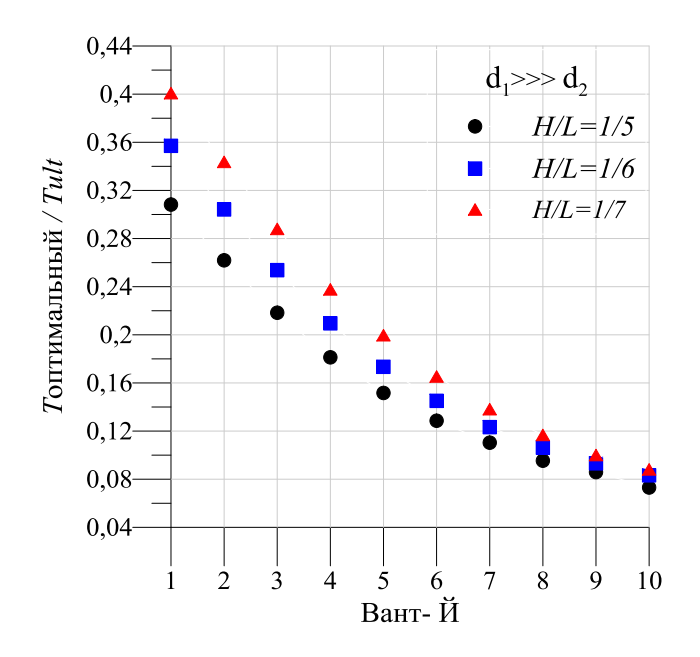


Рис. 2.12. Оценка оптимального натяжения вант при изменении *H/L*, (вариант 2)

Самый длинный вант более загружен на 12.8%, 25.6% при H/L=1/7, чем при H/L=1/6, H/L=1/5, соответственно. Оптимальные натяжения вант при d1>>>d2 (вариант 2) больше, чем в варианте 1 на 20%. Более того, количество оптимизационных циклов для уменьшения деформаций моста в этом варианте больше, чем в варианте 1. Можно тоже отметить, что желаемые предварительные натяжения увеличиваются, когда уменьшаются высоты пилонов.

## 2.4. Отношение перемещений балка жёсткости - пилон при нелинейном статическом анализе вантовых мостов

На рис. 2.13 показано отношение перемещений балка жёсткости - пилон с разными величинами H/L для двух изучаемых вариантов моста.

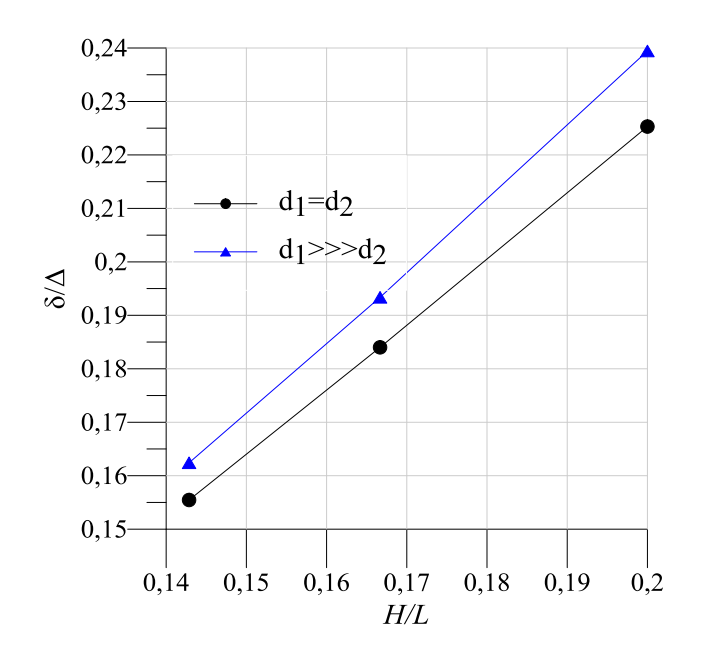


Рис. 2.13. Отношение перемещений балка жёсткости - пилон при изменении Н/L

На рис.2.13 приведены результаты только первого оптимизационного цикла в процедурах алгоритма, чтобы избежать малых значений. С использованием линейной регрессии впервые предложено уравнение для нахождения соотношения между перемещением балки жёсткости и пилона с помощью двух основных параметров, (H/L) и прогиба балки жёсткости. Коэффициент детерминации  $R^2 = 0.998$ 

$$\delta = \left[ 1.35 \cdot \left( \frac{H}{L} \right) - 0.03 \right] \cdot \Delta \tag{2.1}$$

Чтобы проверить эффективность предложенного уравнения, исследование продолжается в разделе (2.7).

## 2.5. Виляние схемы вант на деформации изгибных элементов моста при процедуре алгоритма

#### 2.5.1. Оценка прогиба балки жёсткости при применении разных схем вант

Выбор схемы вант считается вторым важным фактором, который участвует в определении деформаций и натяжении вант при расчётах вантовых мостов. Исследование расширяется, чтобы включить три известных схемы вант (арфа, веер и радиальная) при анализе изучаемого моста (вариант 1, вариант 2).

Рассматриваемые схемы вант показаны на рис. 2.14. Принимаем высоты пилонов относительно среднего пролета моста (H/L) = 1/5, как пример при исследовании. Расстояние между вантами вдоль верхней части пилонов 7 м, 2 м, соответственно для арфы и веер систем.

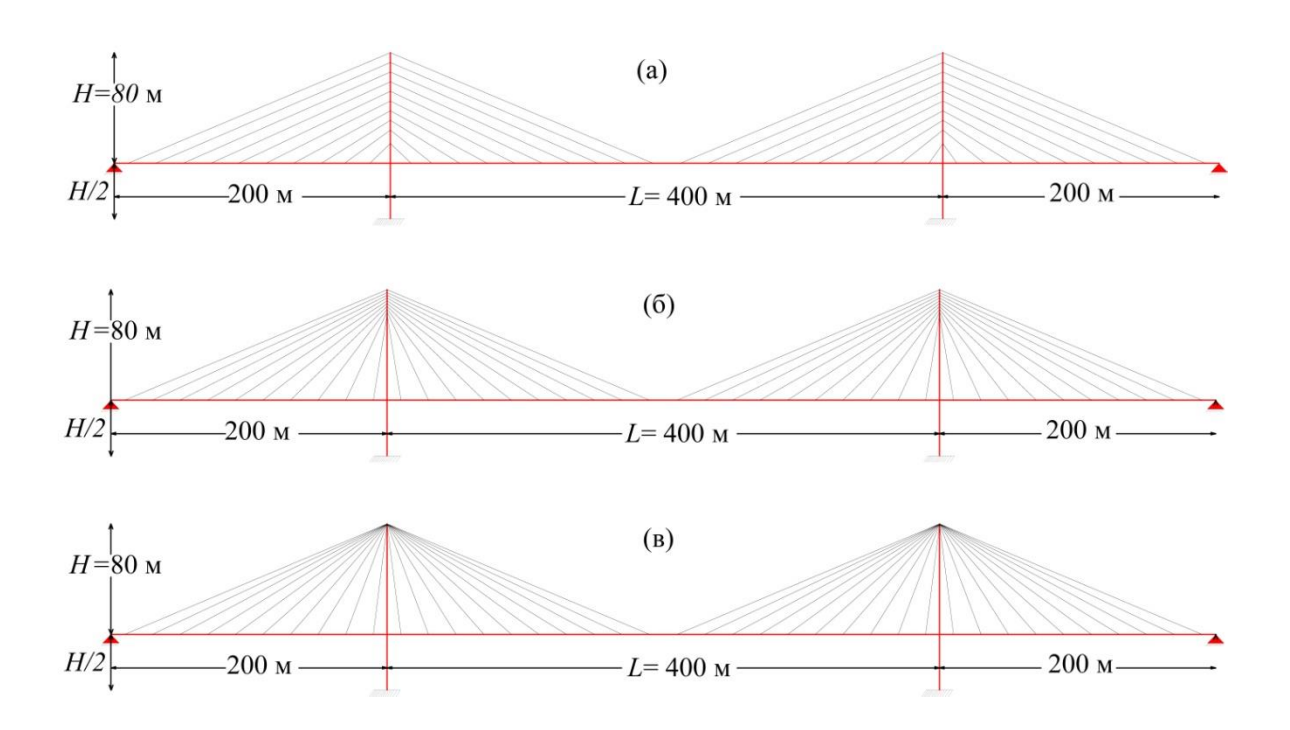


Рис. 2.14. Схемы расположения вант, а- арфа, б-веер, в- радиальная

Нелинейный статический анализ изучаемого моста (вариант.1, вариант 2) осуществляется для каждой схемы. Рис 2.15 а, б, в показывает прогиб балки жёсткости вдоль пролёта моста (вариант.1). Сравнение трёх систем, представленных при процедуре алгоритма, даны для оптимизационного цикла итерации.

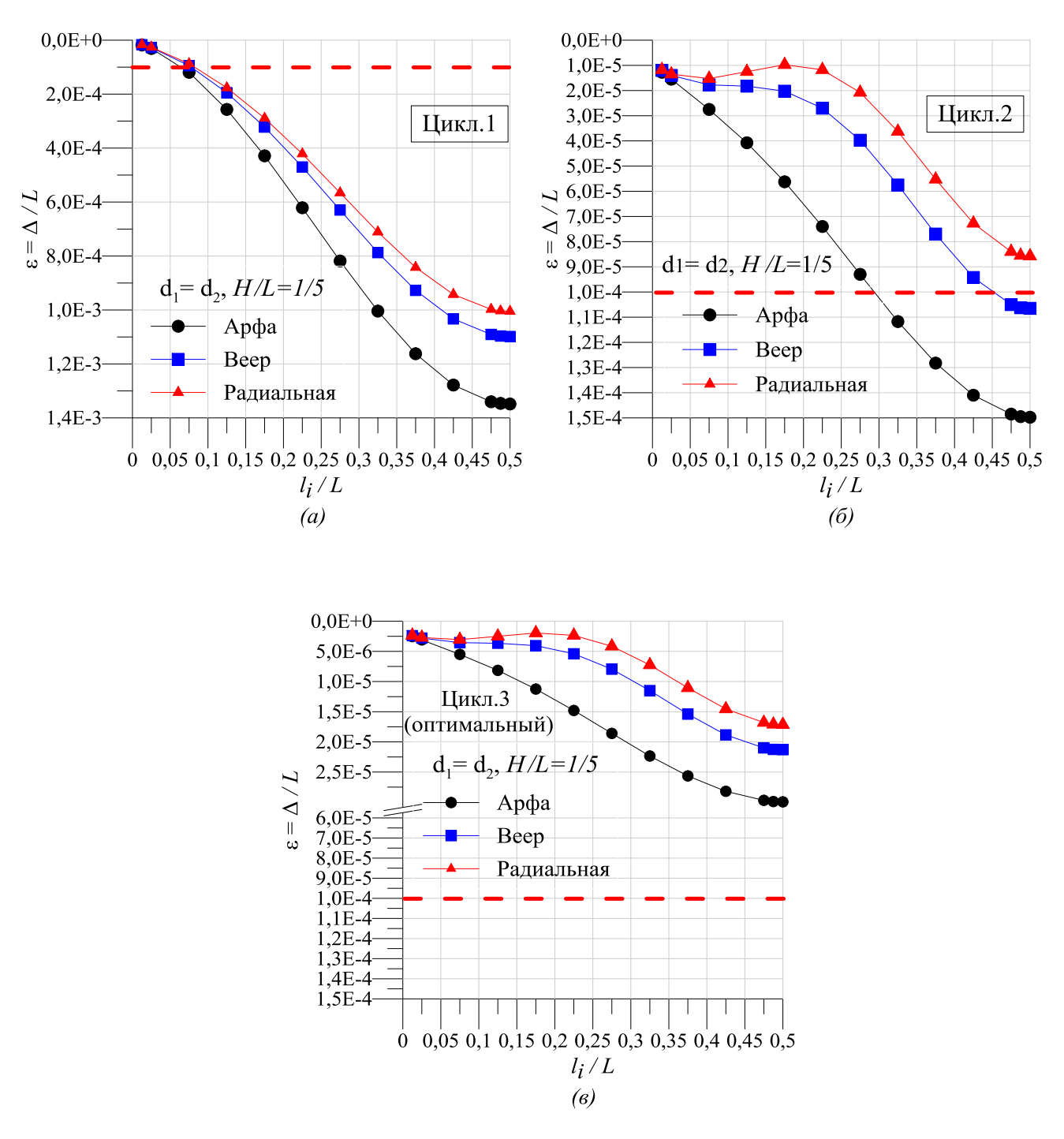
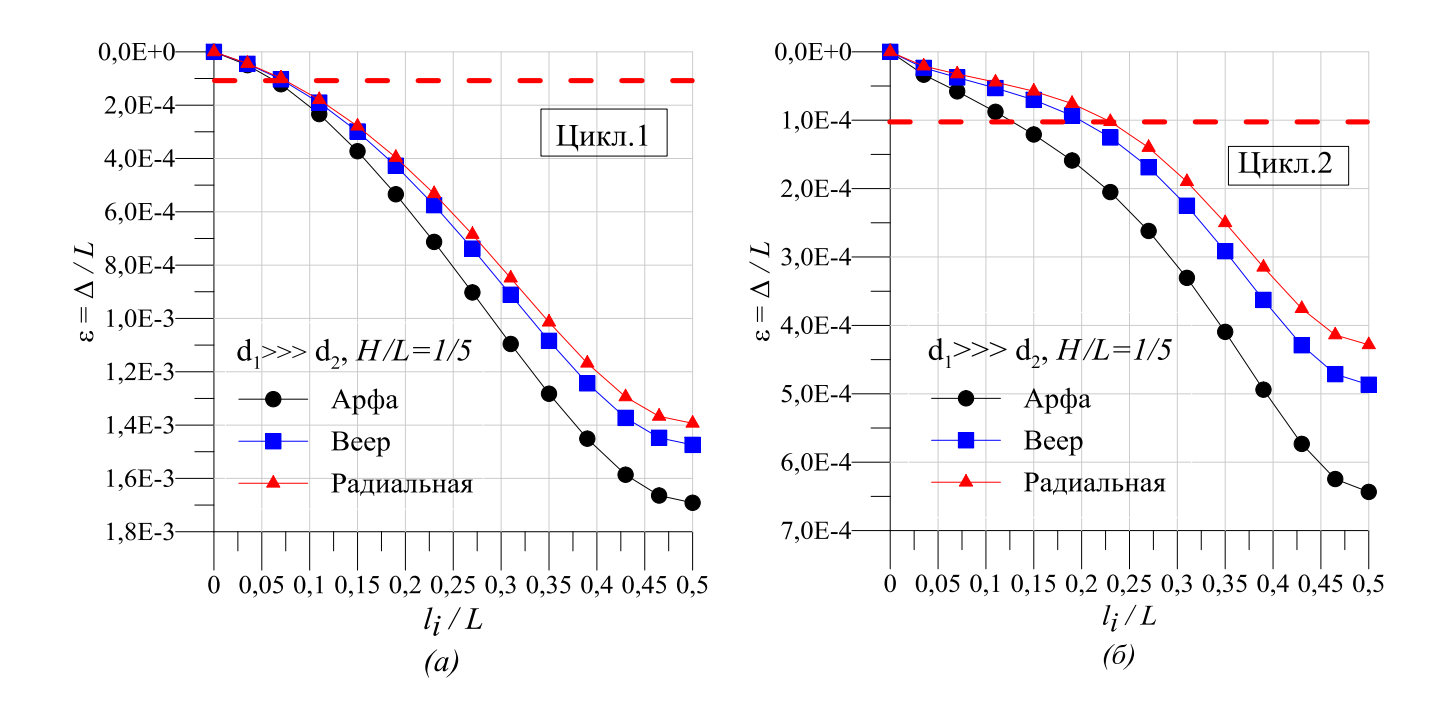
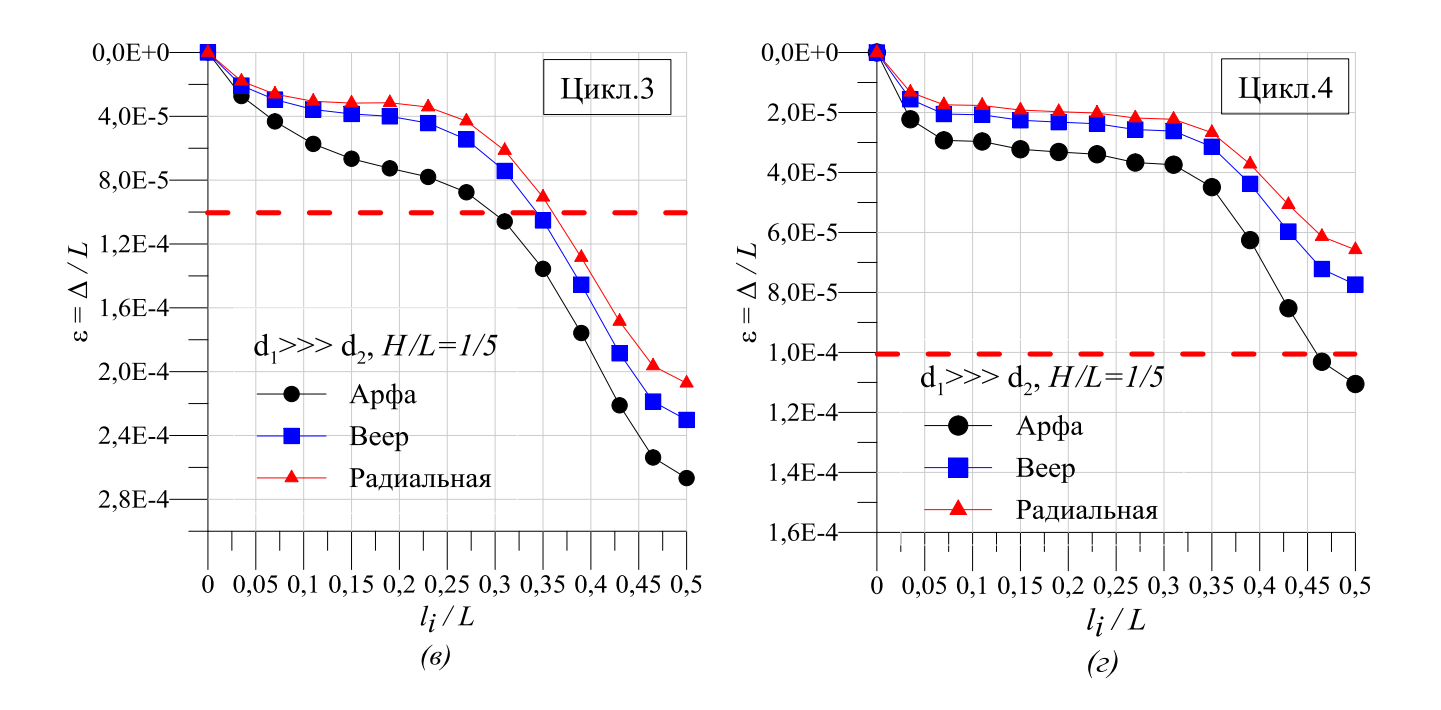


Рис.2.15. Оценка прогиба балки жесткости ( $\epsilon$ ) при применении разных схем вант, H/L=1/5, вариант 1. а) цикл 1. б) цикл 2. в) цикл 3

Видно, что при использовании радиальной схемы вант получаем наименьший прогиб в каждом оптимизационном цикле. Прогибы балки жёсткости очень близки при радиальной и веер-образной схемах. Однако прогиб балки жёсткости увеличивается при использовании схемы арфа. При варианте 2 сходимость анализа становится сложнее. Сложность обусловлена тем, что при

вычислении минимальной потенциальной энергии для всех элементов моста, число циклов увеличивается до пяти, как показано на рис.2.16.





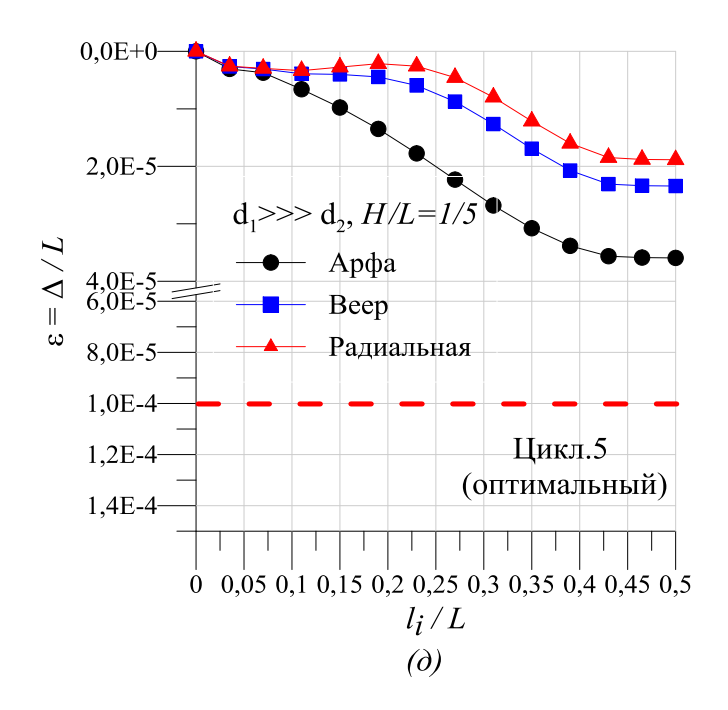


Рис. 2.16. Оценка прогибов балки жесткости ( $\epsilon$ ) при применении разных схем вант, H/L=1/5, вариант 2

а) цикл 1. б) цикл 2. в) цикл 3. г) цикл 4. д) цикл 5

На рисунках 2.15, 2.16 отметим, что последний оптимизационный цикл позволяет получить очень малые величины вокруг нуля для прогиба балки жёсткости. Особенностью предлагаемого алгоритма с использованием методики минимизации (метод сопряжённых градиентов) появляется возможность уменьшать вертикальные деформации балки жёсткости моста таким образом, что с ( $\epsilon$ ) <<<  $10^{-4}$  даже при вариант 2, при  $d_1$ >>> $d_2$ .

#### 2.5.2. Оценка перемещения пилона при применении разных схем вант

Чтобы показать роль применения разных схем вант на изменение перемещения пилона, представляем в примере только результаты первого цикла итерации, как адекватной иллюстрации при процедуре оптимизационного алгоритма. На рис 2.17 видно, что перемещения пилона при схеме арфа больше, чем перемещения, полученные при других схемах вант. Кроме того, перемещения пилона в варианте 2 больше по сравнению с перемещениями, полученными в варианте 1. В итоге результатов анализа радиальная схема вант оказалась наиболее рациональной по деформациям.

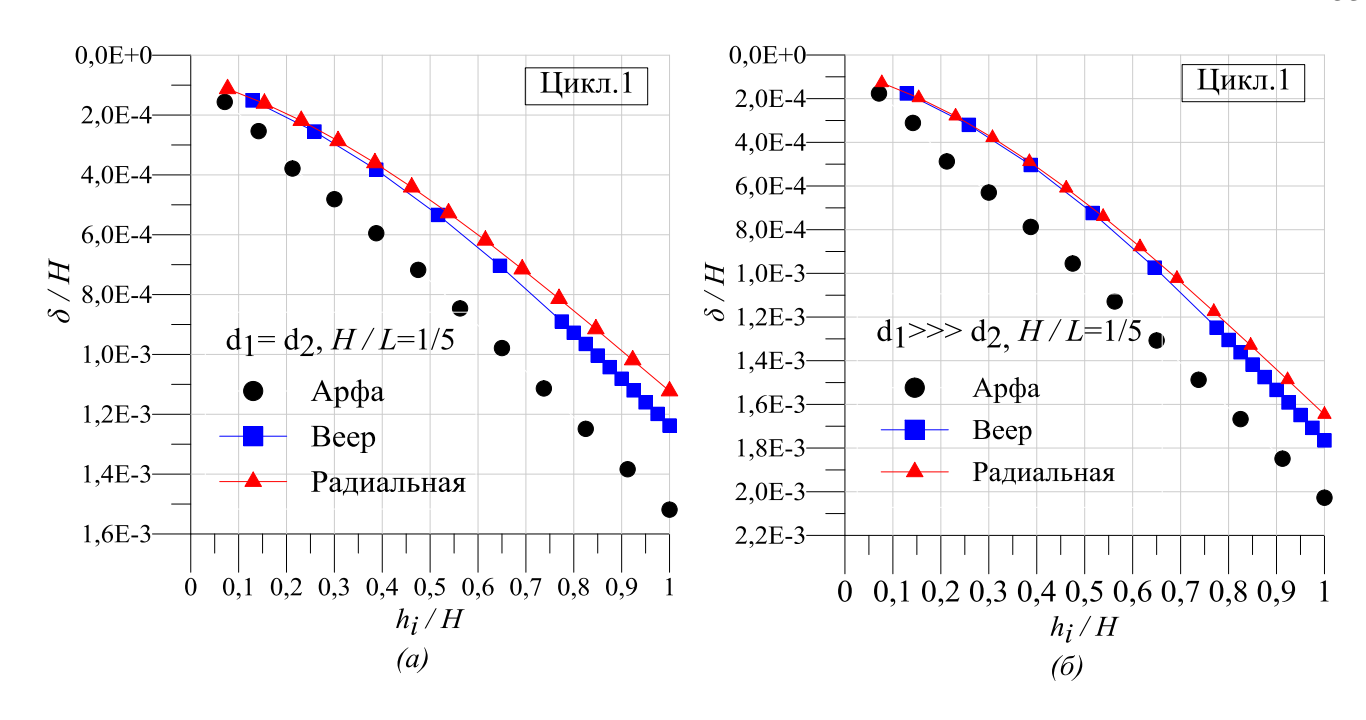


Рис. 2.17. Оценка перемещения пилона ( $\delta/H$ ) при H/L=1/5, цикл 1 а) вариант 1. б) вариант 2

#### 2.5.3. Оценка оптимального предварительного натяжения вант при применении разных схем вант

Оптимальное предварительное натяжение каждого ванта меняется в зависимости от схемы вант. Рис. 2.18 показывает, что самый длинный вант более загружен при схеме арфа на 5%, 7%, чем при схемах веер и радиальная, соответственно. Поскольку при варианте 1 расстояние между вантами одинаковы, то оптимальные предварительные натяжения для каждого ванта являются близкими и нет большой разницы в их величинах. Однако, при варианте 2, где d1 >>> d2, как показано на рис 2.19, можно заметить значительную разницу между величинами предварительного натяжения вант. Поэтому перераспределение натяжения между вантами осуществляется в каждом оптимизационном цикле, чтобы сделать натяжные вант более однородными и гладкими. На рисунках 2.18, 2.19 оптимальные предварительные натяжения вант проиллюстрированы относительно к разрушающей сил вант (  $T_{ult}$  )

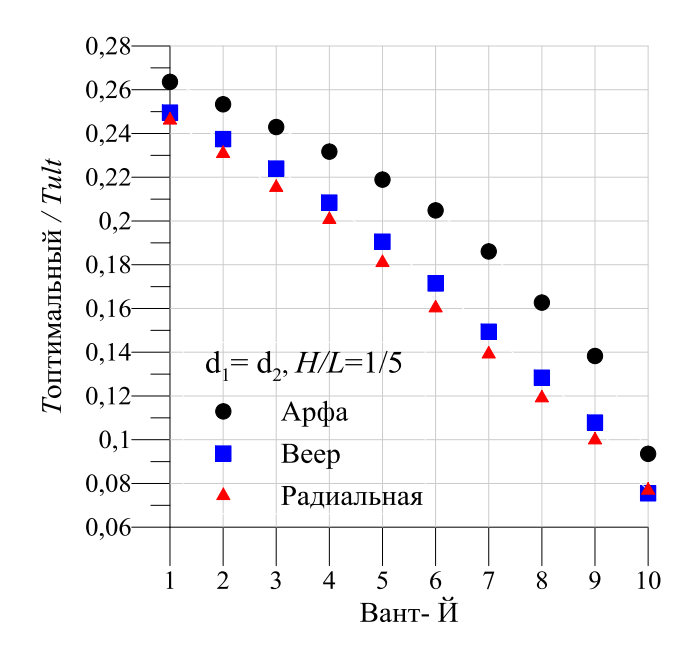


Рис.2.18. Оценка оптимального натяжения вант при применении разных схем вант, (вариант 1)

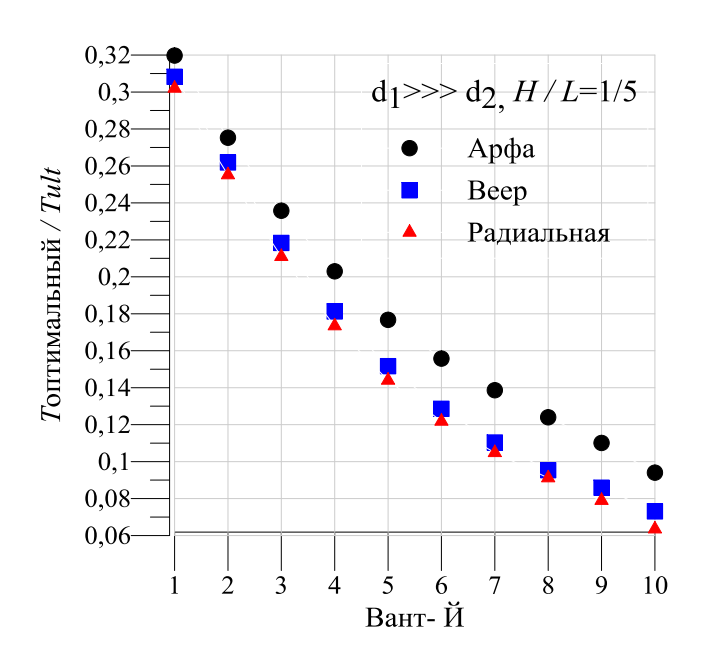


Рис.2.19. Оценка оптимального натяжения вант при применении разных схем вант, (вариант 2)

#### 2.6. Достоверность результатов предлагаемого алгоритма

Для того чтобы проверить эффективность предложенного алгоритма при оценке оптимальных натяжений, осуществляется сравнение между его результатами и результатами одного из новейших алгоритмов. Приводится

Таблица 2.2

сравнение результатов, полученных с помощью метода конечных элементов (КЭ) с результатами, которые получены с помощью энергетического метода (ЭМ).

Сравнение фокусируется на оценке оптимального натяжения вант и деформаций моста (балки жёсткости и перемещений пилонов). В своей диссертации [70] Хассан М. (2010) разрабатывал новый алгоритм, используя Всплайн функцию с использованием метода конечных элементов при нелинейном статическом анализе моста (см. глава.1, раздел 1.4.3). В этом алгоритме кривые Всплайн выбирают так, чтобы представить предварительное натяжение в каждом Согласно алгоритму Хассана, ванте. ДЛЯ получения оптимального первоначального натяжения в вантах, он рассматривал пять вариантов, где из каждого варианта получал оптимальное натяжение вант в зависимости от выбора контрольных точек p, которые принимаются в процентах от максимальной разрушающей силы вант.

Координаты контрольных точек В-сплайна

| Вариант.1 | $(0, 0.5T_{ult}), (0.25l, 0.5T_{ult}), (0.75l, 0.5T_{ult}), (0, 0.5T_{max})$   |
|-----------|--|
| Вариант.2 | $(0,T_{ult}), (0.25 l, T_{ult}), (0.66 l, T_{ult}), (l, T_{ult})$              |
| Вариант.3 | $(0,T_{ult}), (0.4 l, T_{ult}), (0.8 l, T_{ult}), (l, T_{ultx})$               |
| Вариант.4 | $(0, 0.5T_{ult}), (0.4 l, 0.5T_{ult}), (0.8 l, 0.5T_{ult}), (l, 0.5T_{ult})$   |
| Вариант.5 | $(0, 0.5T_{ult}), (0,25 l, 0.5T_{ult}), (0.66 l, 0.5T_{ult}), (l, 0.5T_{ult})$ |

Для того, чтобы провести сравнение между результатами двух алгоритмов, модель моста Хассана анализируется с использованием концепции минимизации потенциальной энергии по его материалам и по результатам предлагаемого алгоритма для достижения минимума деформации моста и оптимального натяжения вант.

#### 2.6.1. Геометрическая схема и расчетные данные изучаемого моста

Мост общей длиной 541.8 м состоит из трёх пролетов, где центральный пролет 285.6 м между двумя пилонами и двух боковых пролётов, каждый длиной 128.1 м, как показано на рис. 2.20. Балка жёсткости из железобетона имеет

толщину 0.23 м, ширину 14.20 м и 3.0 м высоту, как показано на рис. 2.21-а, где площадь поперечного сечения  $(A_d)$ , и модуль упругости  $(E_d)$  составляют 0.60 м², и  $2\times10^8$  кН/м², соответственно. Собственный вес балки жёсткости  $(w_d)$  имеет 165.2 кН/м. Сечения пилона показаны на рис. 2.21-б. Модуль упругости для бетона  $(E_c)$   $3\times10^7$  кН/м². Ванты имеют постоянные площади поперечного сечения  $(A_c)$  0.0176 м², где модуль упругости (Ecs), разрушающая сила  $(T_{ult})$ , погонный вес  $(w_{cs})$  вант составляют  $2.1\times10^8$  кН/м²,  $1.6\times10^6$  кН/м², and 1.36 кН/м, соответственно.

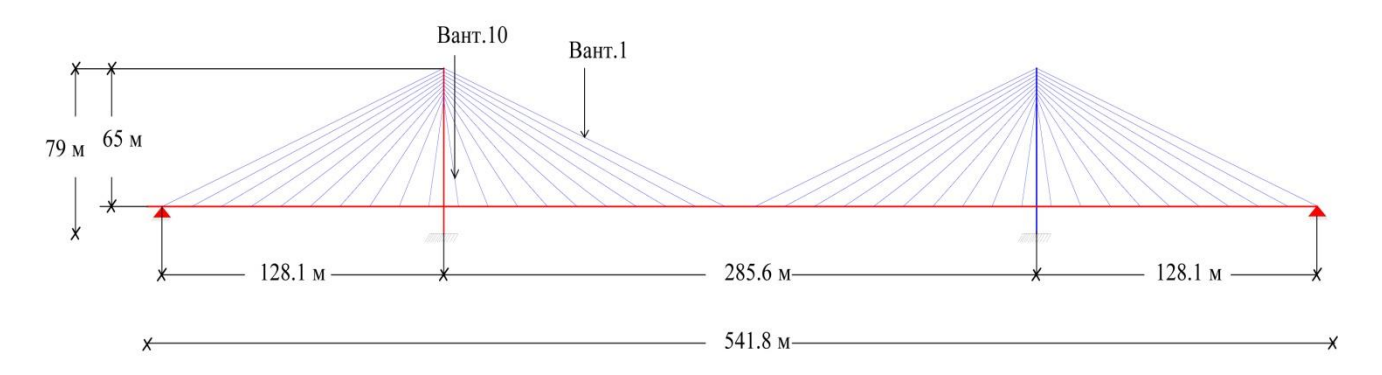


Рис. 2.20. Схема моста и порядок вант, Хассан 2010

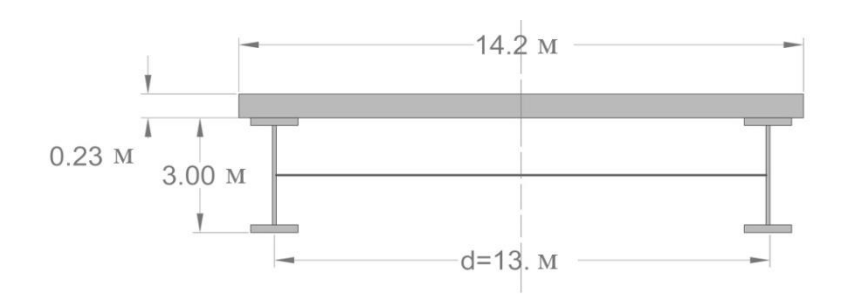


Рис. 2.21-а. Поперечное сечение балки жесткости моста, Хассан 2010

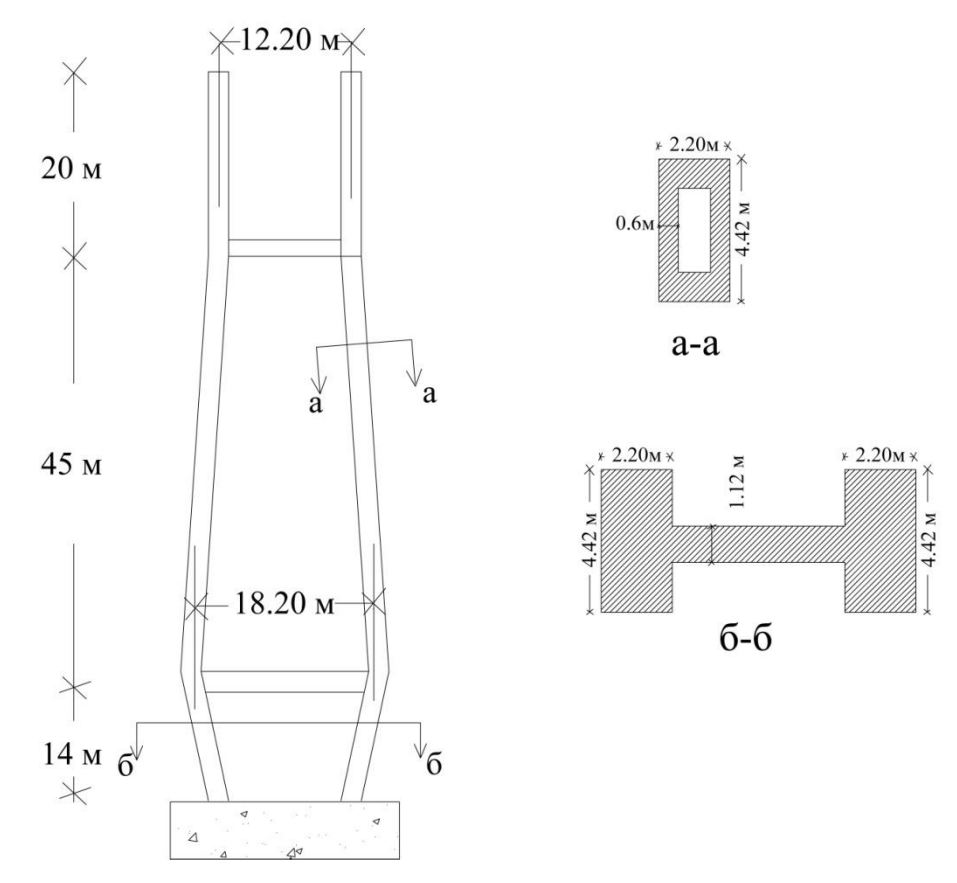


Рис. 2.21-б. Поперечное сечение пилона, Хассан 2010

#### 2.6.2. Сравнение двух алгоритмов для оценки деформаций моста

Рассмотрим результаты нелинейного статического анализа моста с использованием двух алгоритмов (предлагаемый алгоритм и алгоритм Хассана). Рис. 2.22 показывает, что без учёта предварительного натяжения вант при расчёте моста, максимальный вертикальный прогиб балки жёсткости с использованием энергетического метода (результаты автора) и метода конечных элементов (результаты Хассана, 2010) 0.495 м, 0.519 м, соответственно. Однако, с учётом предварительного натяжения вант максимальный прогиб уменьшается до 0.0053 м и 0.013 м, соответственно.

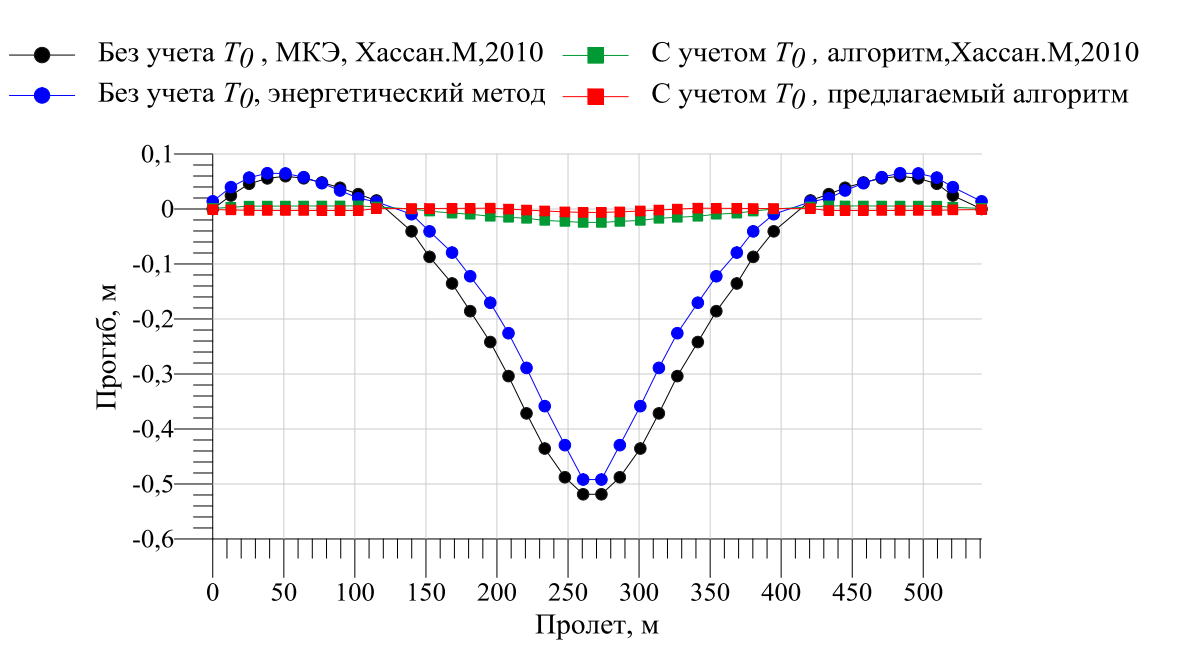


Рис. 2.22. Прогиб балки жесткости

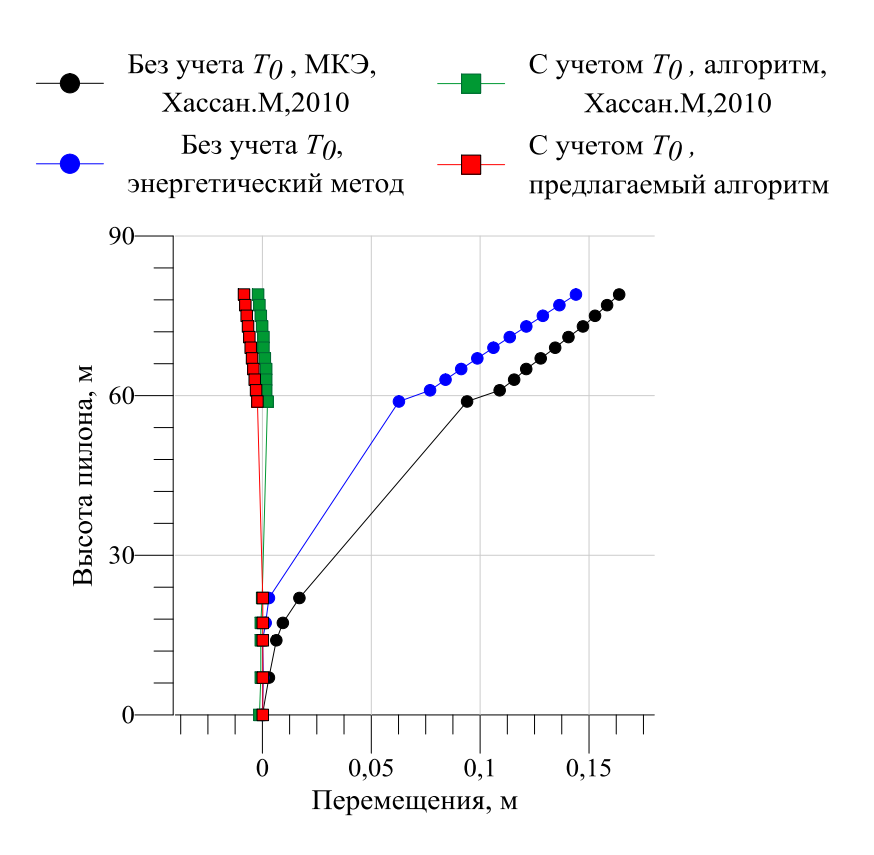


Рис. 2.23. Перемещение пилона

Без учёта предварительного натяжения вант максимальное перемещение пилона имеет 0.134 м, 0.1634 м с использованием энергетического метода (результаты автора) и метода конечных элементов (результаты Хассана 2010), как

показано на рис.2.23, и с учётом предварительного натяжения вант максимальное перемещения уменьшается до -0.0047 м и 0.0082 м, соответственно.

### 2.6.3. Сравнение двух алгоритмов для оценки оптимального предварительного натяжения вант

Для иллюстрации прямого преимущества предложенного алгоритма рис. 2.24, рис. 2.25 представлены, чтобы показать процедуры каждого алгоритма для достижения оптимального натяжения вант. Как показано на рис. 2.24, требуется проводить пять итераций каждого предложного варианта при процедуре алгоритма Хассана, чтобы находить подходящую кривую В- сплайн для достижения оптимального предварительного натяжения каждого ванта.

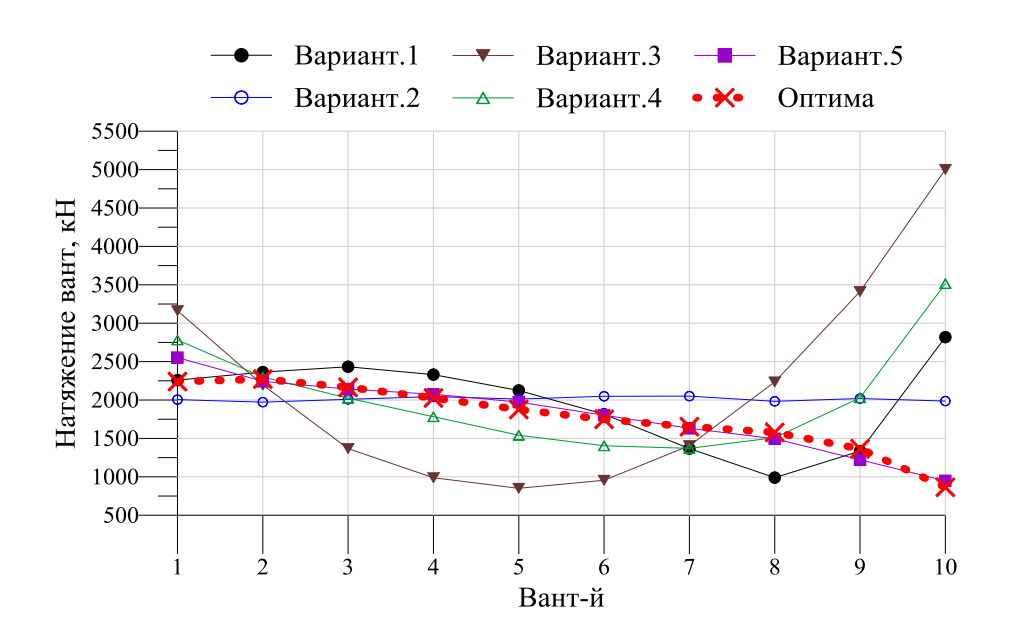


Рис. 2.24. Оценка оптимального натяжения вант при процедуре алгоритма Хассана, 2010

Можно отметить, что в разных изучаемых вариантах есть значительная разница между оптимальными натяжениями, полученными в последней итерации для нахождения подходящей кривой В- сплайн и начальными другими вариантами. На рис. 2.25, показаны процедуры предложенного алгоритма, где требуются только три цикла для получения оптимального натяжения вант, которые удовлетворяют минимальным деформациям моста.

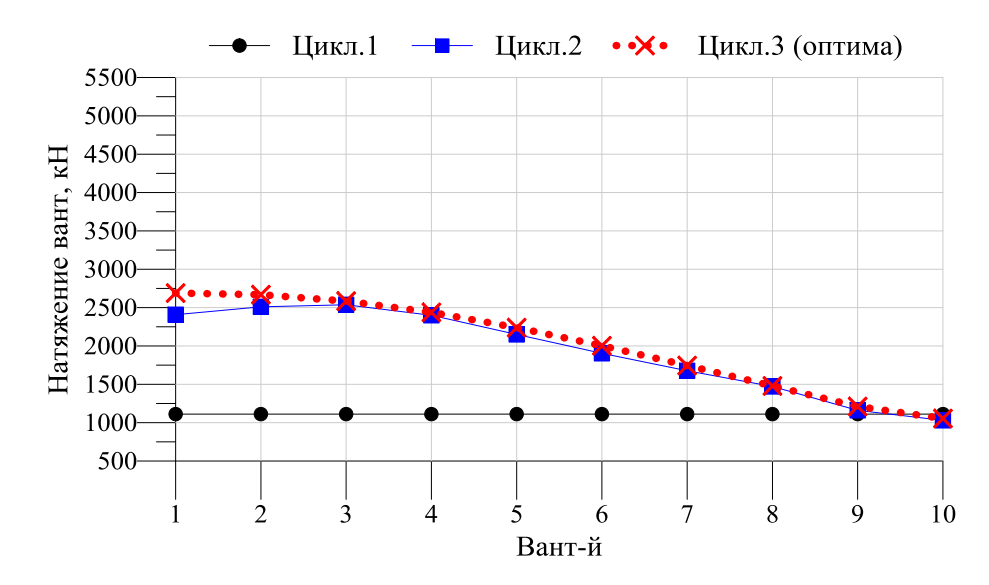


Рис.2.25. Оценка оптимального натяжения вант при процедуре предлагаемого алгоритма

# 2.7. Достоверность предлагаемого уравнения для нахождения отношения перемещений балка жесткости - пилон при нелинейном статическом анализе вантовых мостов

Чтобы проверить эффективности предложенного уравнения (ур. 2.1) в разделе (2.4), в таблице 2.3 показано сравнение между величинами перемещения пилона, полученными из различных исследований, включая модель, полученную с помощью предлагаемого уравнения. В этом уравнении прогнозируемые величины перемещения пилона получаются, если H/L и прогиб балки жёсткости известны. Максимальный прогиб балки жёсткости и перемещения пилона в двух точках крепления ванта используются в предлагаемом уравнении, которое получено в итоге рассмотрения результатов разных схем моста. Схемы моста показаны в разделе (2.6.1).

 Таблица 2.3

 Сравнение между величинами перемещения пилона, полученными из различных исследований

| Схема   | Схемы располож-<br>ения вант | Дефор:<br>моста |        | δ из ур. | Точность<br>±м |  |
|---|------------------------------|-----------------|--------|----------|----------------|--|
|   |                              | Δ               | δ      | 2.1      | <u>+</u> .iVI  |  |
| 1. H=80 m, L=400<br>m,d <sub>1</sub> =d <sub>2</sub>    | Арфа                         | 0.5394          | 0.1215 | 0.129    | 0.0075         |  |
| 2. H=80 m, L=400<br>m,d <sub>1</sub> =d <sub>2</sub>    | Веер                         | 0.4394          | 0.0990 | 0.105    | 0.006          |  |
| 3. H=80 m, L=400<br>m,d <sub>1</sub> =d <sub>2</sub>    | Радиальная                   | 0.3990          | 0.0898 | 0.0957   | 0.0059         |  |
| 4. $H=80 \text{ m}, L=400$<br>$m, d_1>>>d_2$            | Арфа                         | 0.6766          | 0.1622 | 0.1623   | 0.0001         |  |
| 5. H=80 m, L=400<br>m ,d <sub>1</sub> >>>d <sub>2</sub> | Beep                         | 0.5897          | 0.1412 | 0.1415   | 0.0003         |  |
| 6. H=80 m, L=400<br>m ,d <sub>1</sub> >>>d <sub>2</sub> | Радиальная                   | 0.5573          | 0.1317 | 0.1337   | 0.002          |  |
| 7. H=65 m,<br>L=285.6m                                  | Веер                         | 0.519           | 0.1634 | 0.1439   | -0.0195        |  |
| 8. H=65 m,<br>L=285.6m                                  | Веер                         | 0.495           | 0.134  | 0.137    | 0.003          |  |
| 9. H=39.46 m,<br>L=200 m                                | Арфа                         | 0.264           | 0.066  | 0.062    | -0.004         |  |

В таблице 2.3;

Схемы моста (1 до 6), рассмотрены в разделе (2.5).

Схемы моста (7,8), рассмотрены в разделе (2.6)

Схема 9 [84]

Как показано в таблице 2.3, предлагаемое уравнение даёт хорошую оценку с малыми значениями ошибок.

#### Выводы

Цель этой главы заключается в создании алгоритма для оценки оптимального натяжения вант и деформации моста, основанных на минимизации общей потенциальной энергии элементов моста с помощью метода сопряженных градиентов. Для этой цели составлены алгоритм и программа на языке ФОРТРАН. Ключевые выводы:

- Прогиб балки жёсткости и перемещения пилона значительно уменьшались при каждом цикле процесса предлагаемого алгоритма и получались в последнем цикле около нуля, где потенциальная энергия всех элементов минимальна.
- Получено небольшое значение ( $\epsilon$ ), меньше чем  $10^{-4}$ , которое очень популярно в других процедурах алгоритмов.
- Высота пилона относительно среднего пролёта моста (H/L) имеет очень важную роль в определении деформации и натяжения вант. В этой главе, H / L=1/5 даёт лучшие результаты, чем H / L=1/6, 1/7. Кроме того, сходимость итерации достигается быстрее и легче.
- В итоге результатов анализа радиальная схема вант оказалась наиболее рациональной по деформациям. Ванты оказались более загружены при схеме арфа, чем при схеме веер и радиальной схемах. Таким образом, схема арфа является менее подходящей, чем веер и радиальная схемы, особенно для большепролетных вантовых мостов.

- Результаты, полученные с помощью энергетического метода, имеют хорошие показатели по сравнению с методом конечных элементов.
- Предлагаемый алгоритм может быть более удобен для применения в анализе, чем алгоритм Хассана, 2010, в связи с многократным расчётом, чтобы получить подходящую кривую В-сплайн, для определения оптимального предварительного натяжения вант. В итоге анализа, предложенный алгоритм дает лучшие результаты и более удобен в расчетах в сравнении с результатами В-сплайн.
- Предложена новая универсальная зависимость между прогибами балки жёсткости и пилонами, необходимую при предварительном расчёте по деформациям вантовых мостов.
- При (d<sub>1</sub>>>>d<sub>2</sub>), сходимость итерация осуществляется без появлении проблем во время запущенного процесса программы.

Результаты этой главы были опубликованы в [33, 34, 35, 36, 83,93].

#### Глава 3. СВОБОДНЫЕ КОЛЕБАНИЯ И ВЕТРОВОЙ РЕЗОНАНС ВАНТОВЫХ МОСТОВ

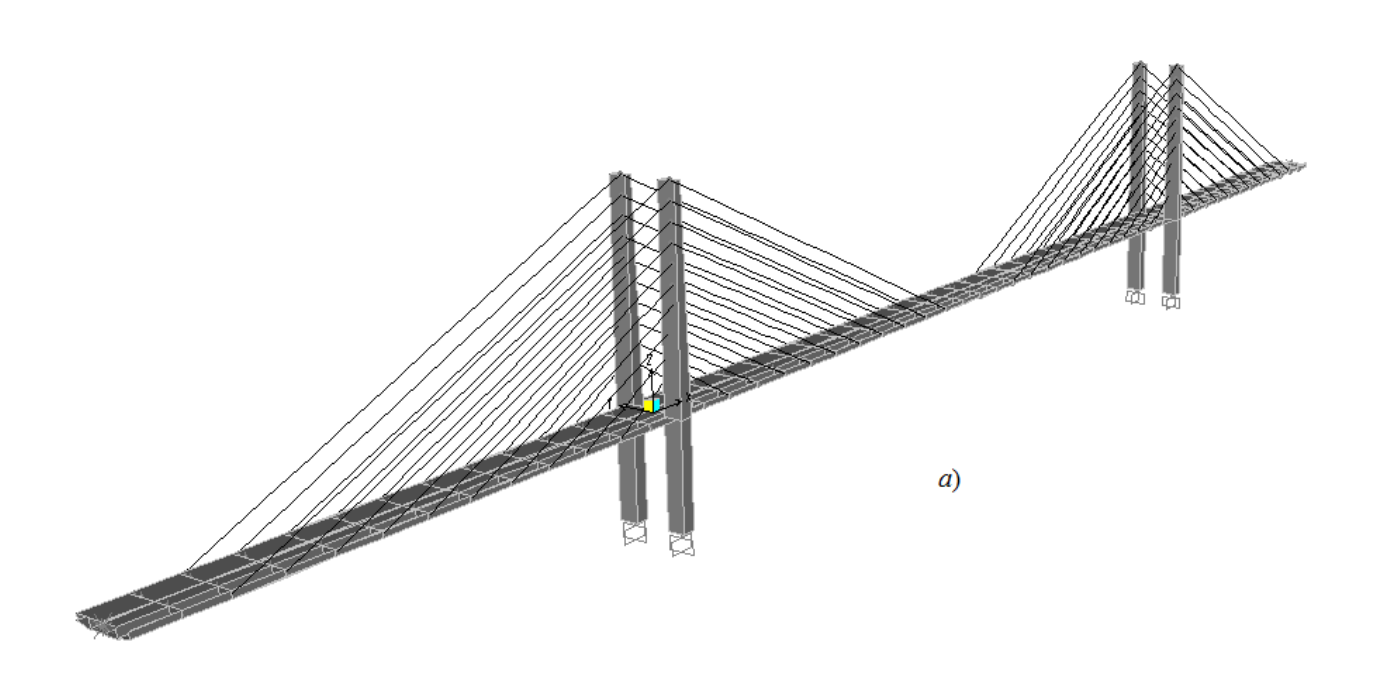
#### 3.1. Определение частот свободных колебаний вантовых мостов

Определение собственных частот и форм колебаний вантовых мостов рассматривается как фундаментальный шаг в анализе таких конструкций при решении проблемы ветрового резонанса. Колебания вантовых мостов становятся преобладающая опасными, когда частота возбуждения находится непосредственной близости от собственной частоты структурной системы. Определение частот свободных колебаний вантовых мостов с помощью различных программ МКЭ было изучено многими авторами в литературе [10, 13, 56, 61]. Учитывая сложности при моделировании таких конструкций, в разделе (3.2) предложен аналитический расчёт с целью экономии времени в процессе моделирования моста и верификации результатов численного метода МКЭ. Этот расчёт, основанный на свойствах энергетического метода, учитывает влияние продольных усилий в балке жёсткости. Численный анализ проведён с использованием SAP 2000.

## 3.1.1. 3D моделирование вантовых мостов с различными схемами вант с помощью SAP 2000 для определения частот свободных колебаний. (Численный метод)

Вычисление частот собственных колебаний, выполненное в этом разделе, реализует 3D модели вантового моста с различными схемами вант (арфа, веер и радиальная). Модель моста рассчитывается при собственном весе и при оптимальном натяжении вант, вычисленными в результате нелинейного статического анализа с помощью предложенного алгоритма в предыдущей главе. Мост моделируется как трёхмерная конечно-элементная модель. Все свойства моста приведены выше (см. глава 2, раздел 2.2). Расстояние между вантами вдоль балки жёсткости 16 м (вариант.2) и *H/L*=1/5. Модель моста со всеми свойствами показана на рис 3.1.а. (пример схема арфы).

При моделировании моста пилоны и балки жёсткости рассматриваются как трёхмерные балочные элементы. Каждый узел балочного элемента имеет шесть степеней свободы, перемещение по осям x, y и z, а также вращение вокруг осей x, y и z. Ванты моделируются как трёхмерные стержневые элементы, в которых учитывается только натяжение. Каждый узел стержневого элемента имеет три степени свободы: перемещение по осям x, y и z. Балка жёсткости также моделируется из балочных элементов, соединенных между собой связями, как показано на рис.3.1, б. Крепления вант и цепочек балки жёсткости связаны безмассовыми горизонтальными жёсткими связями для достижения соответствующего расстояния вант до центра жёсткости балки. [116].



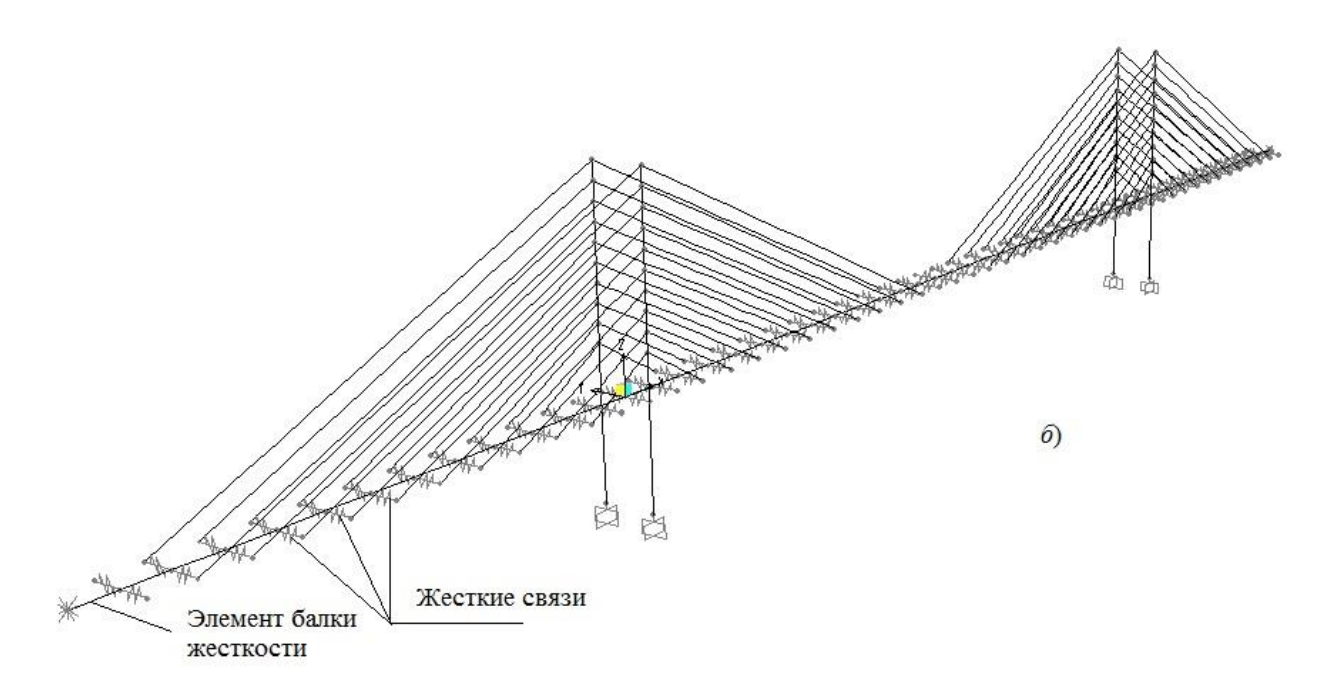


Рис.3.1. a) 3D модель вантового моста б) КЭ модель вантового моста

Моделирование балки жёсткости, как показано на рис. 3.1, б также используется в некоторых исследованиях [49, 50, 66, 91, 121]. КЭ модель, как показано на рис.3.1, также построена для «веер» и радиальной схем. Частоты собственных колебаний моста определены с использованием известной американской программы *SAP* 2000 при решении уравнения движения, которое выражается в матричной форме следующим образом [59]

$$M \cdot \ddot{x} + C \cdot \dot{x} + k \cdot x = p \tag{3.1}$$

Где M - массовая матрица; K - матрица жёсткости изгибных элементов в глобальной системе координат; x- вектор перемещений;  $\ddot{x}$ - соответствующий вектор ускорения. Для расчета собственных частот и форм колебаний не учитывается затухание C=0, учитывается только собственный вес конструкций. Вектор усилий прикладываемых нагрузок p=0. В итоге

$$M \cdot \ddot{x} + k \cdot x = 0 \tag{3.2}$$

Предположим, что вибрация будет в виде гармоники,

$$x = A\cos\omega t \tag{3.3}$$

Подставляя x и  $\ddot{x}$  ( ур. 3.3) в (ур.3.2) получим;

$$\left(-M\cdot\omega^2 + K\right)\cdot A\cos\omega t = 0 \tag{3.4}$$

Тогда [  $K - \omega^2 M$  ] равен нулю;

$$|K - \lambda M| = 0 \tag{3.5}$$

где  $\lambda = \omega^2$  Если n порядок матриц, то результаты уравнения с полиномом порядка n, должен иметь n корней:  $\omega^2_1$ ,  $\omega^2_2$ ,.....,  $\omega^2_n$ . Это задача на собственные значения, решением которой являются собственными значении  $\lambda_i$ , и соответствующий собственный вектор  $x_i$ . Собственные значения представляют круговые частоты модели моста  $\omega_i = \sqrt{\lambda_i}$ , а собственные вектора представляют соответствующие формы колебаний.

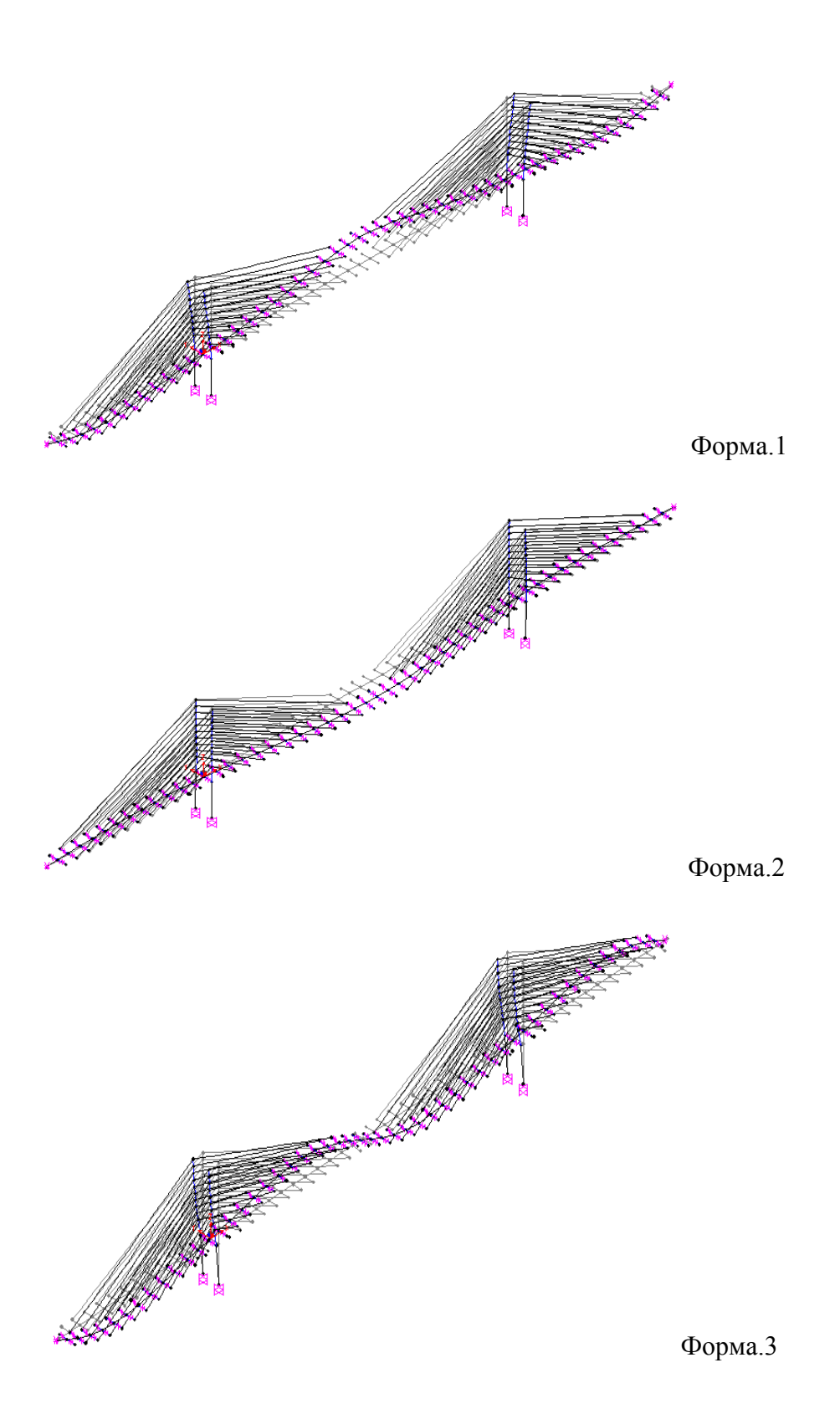
## 3.1.2. Определение частот свободных колебаний для разных схем вантовых мостов.

Формы колебаний и связанные с ними частоты и периоды колебаний показаны на рис 3.2, 3.3, 3.4. Таблица 3.1 суммирует периоды и частоты колебаний для изучаемого моста с различными схемами вант.

Таблица 3.1 Частоты и периоды колебаний изучаемого моста, имеющего три различные схемы вант.

| ~ _              | Арфа            |            |                         | Веер            |            |                        | Радиальная      |            |                        |
|------------------|-----------------|------------|-------------------------|-----------------|------------|------------------------|-----------------|------------|------------------------|
| Порядок<br>формы | Частота<br>(Гц) | Период (с) | Форма<br>колеба-<br>ний | Частота<br>(Гц) | Период (с) | Форма<br>колебан<br>ий | Частота<br>(Гц) | Период (с) | Форма<br>колебан<br>ий |
| 1                | 0.360           | 2.774      | И                       | 0.357           | 2.794      | И                      | 0.354           | 2.824      | И                      |
| 2                | 0.392           | 2.547      | Γ                       | 0.390           | 2.559      | Γ                      | 0.390           | 2.564      | Γ                      |
| 3                | 0.492           | 2.031      | И                       | 0.525           | 1.902      | И                      | 0.527           | 1.897      | И                      |
| 4                | 0.814           | 1.227      | И                       | 0.890           | 1.123      | И                      | 0.903           | 1.107      | И                      |

| 5   | 0.920 | 1.075 | К | 0.944 | 1.058 | К | 0.941 | 1.062 | К |
|---|-------|-------|---|-------|-------|---|-------|-------|---|
| И - изгибная форма, Г- горизонтальная форма |       |       |   |       |       |   |       |       |   |
| К - кручение                                |       |       |   |       |       |   |       |       |   |



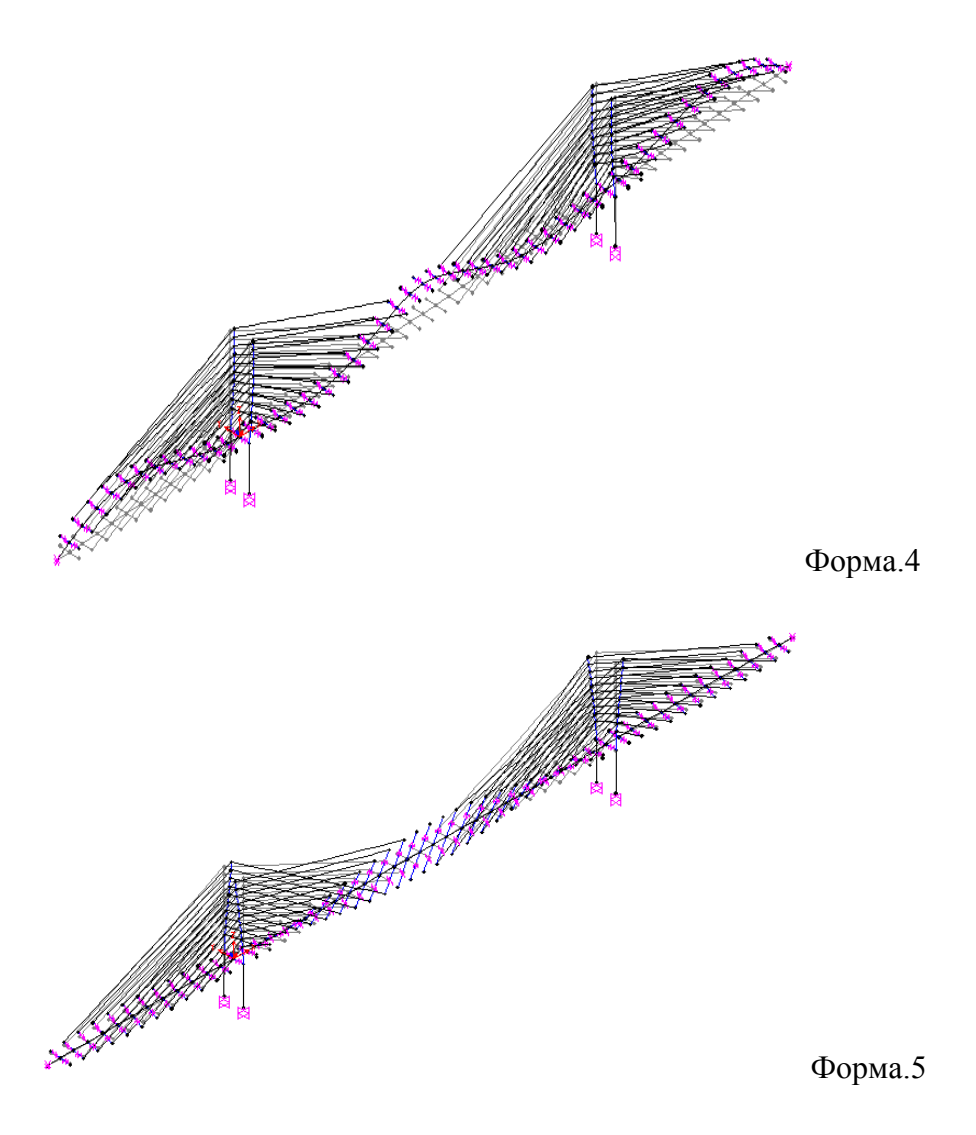
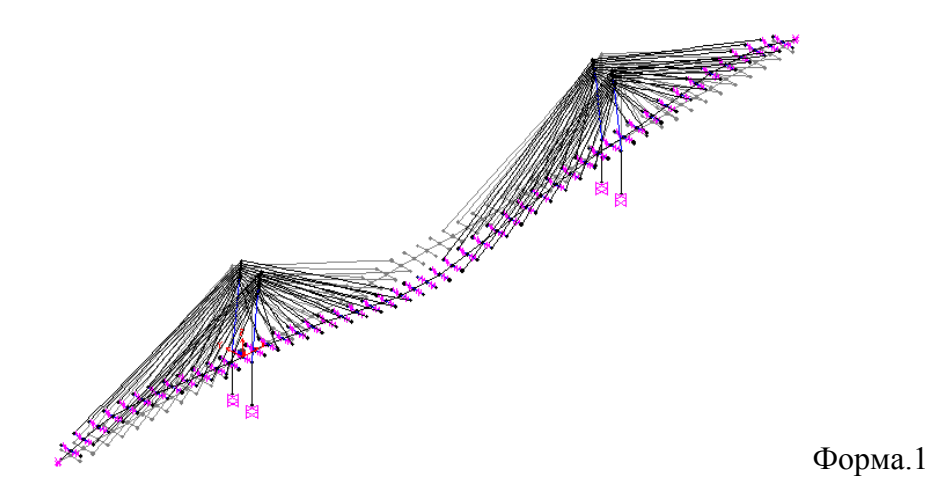
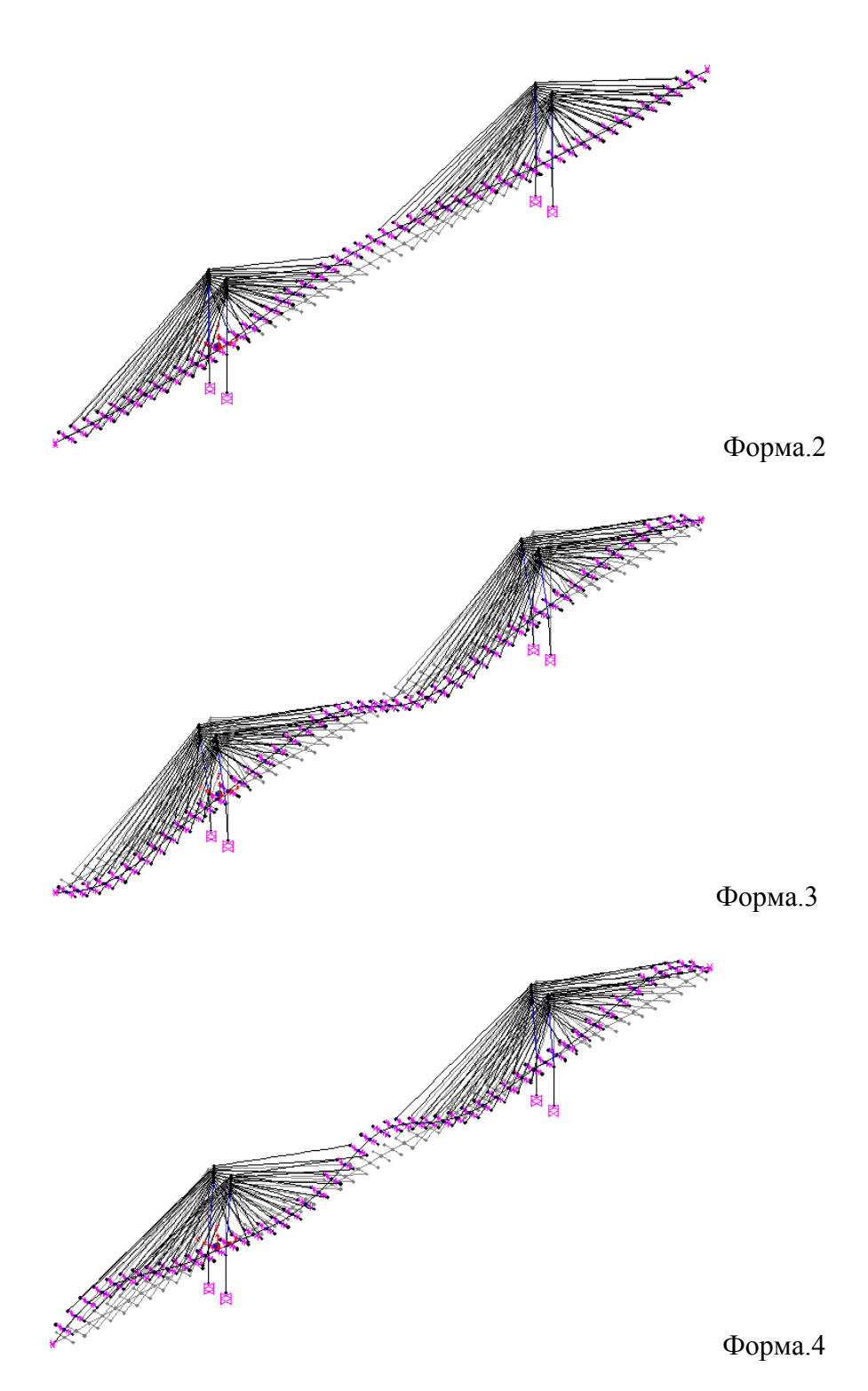


Рис. 3.2. Формы колебаний вантового моста (Арфа)





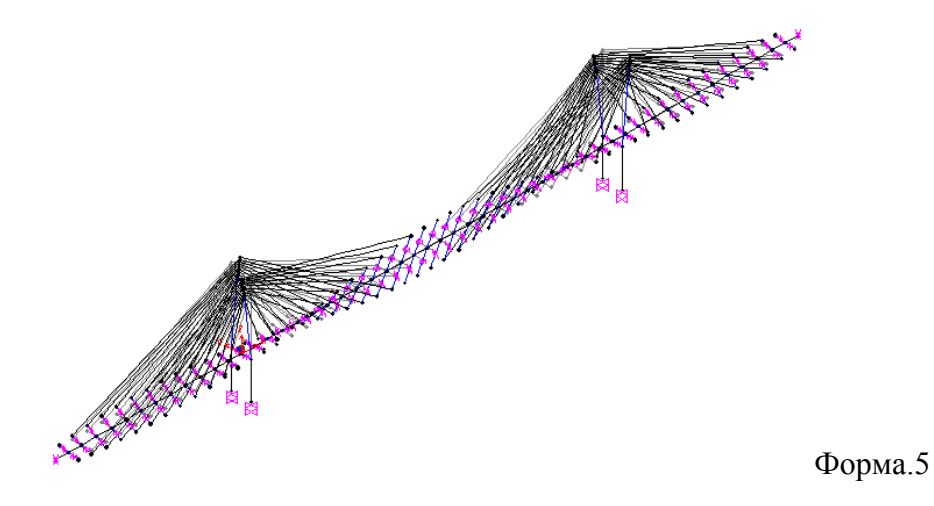
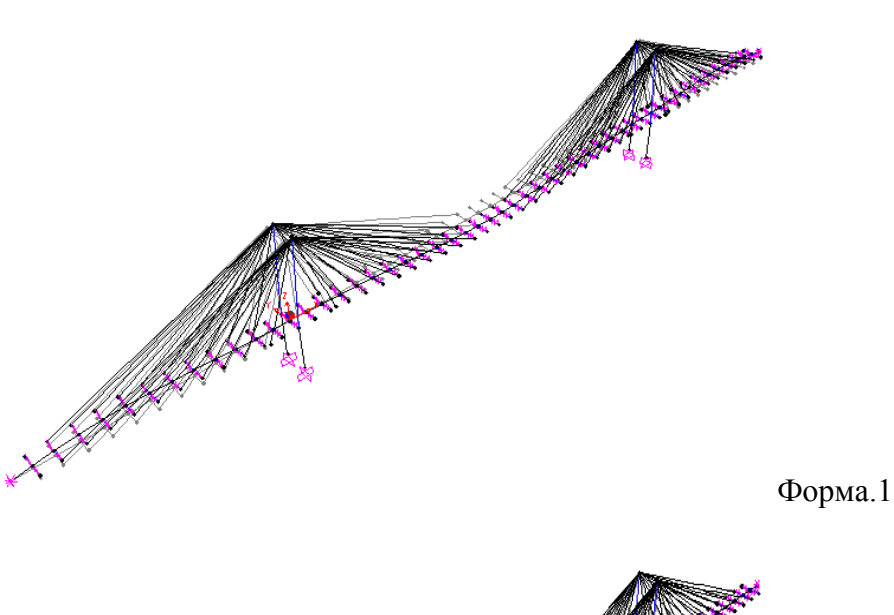
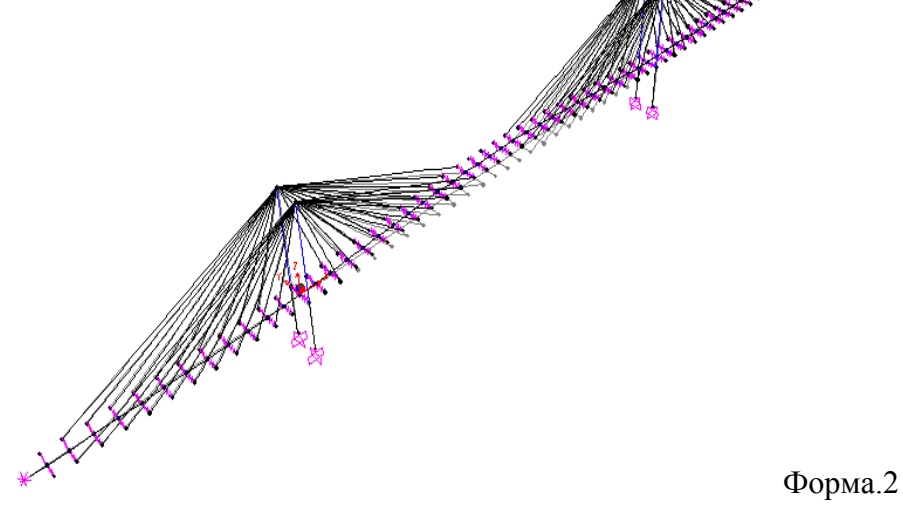


Рис. 3.3. Формы колебаний вантового моста (Веер)





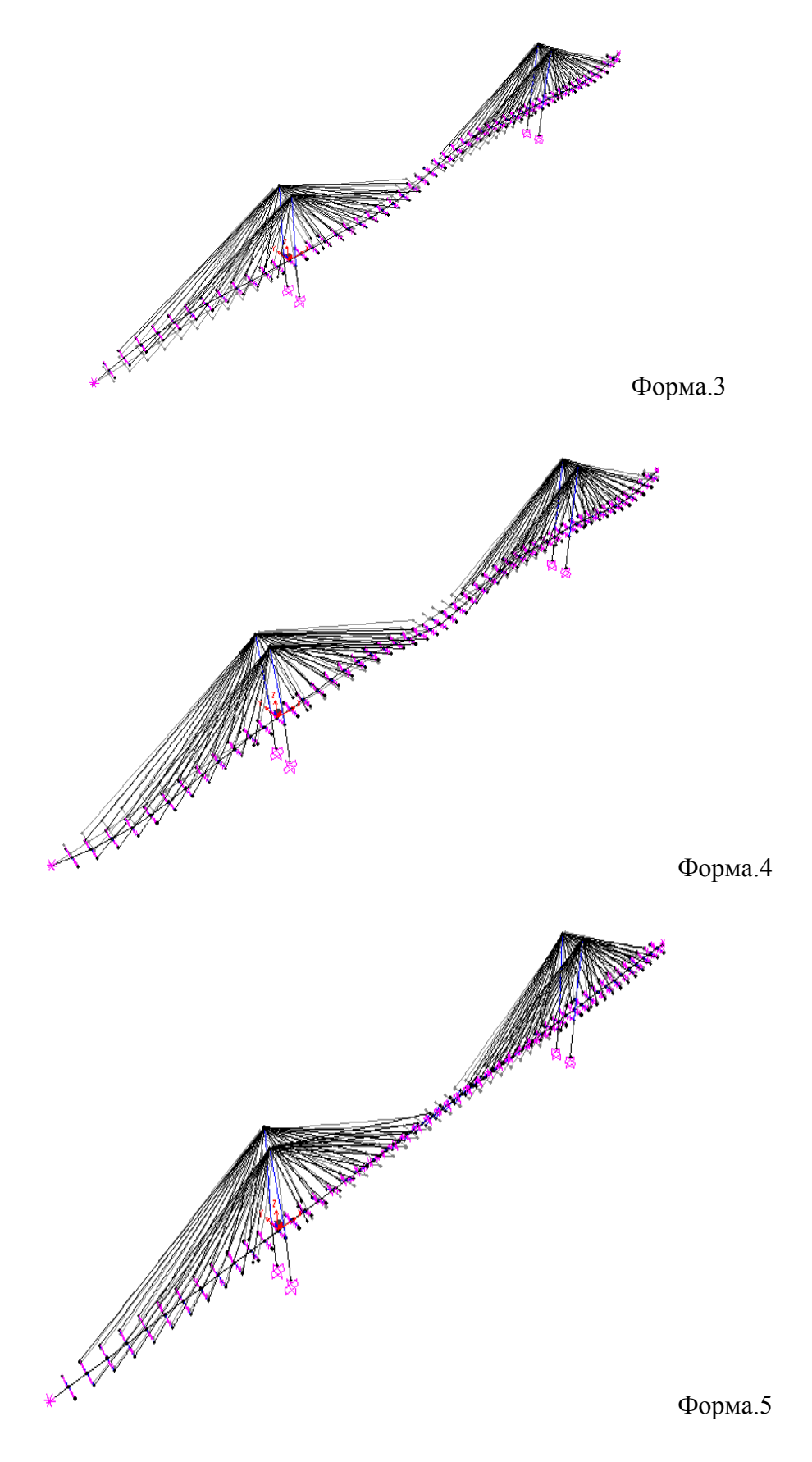


Рис. 3.4. Формы колебаний вантового моста (Радиальная)

Как показано на рис 3.2, 3.3 и 3.4, основная форма колебаний имеет изгибный вид и вертикальное движение балки жёсткости для трёх схем вант моста. Первая крутильная форма является пятой для всех схем. Для более низких форм, от 3 до 5, собственные частоты схемы арфа ниже, чем полученные в веер и радиальной схемах. Таким образом, схема арфа имеет крутильную форму при более низкой частоте. Собственные частоты колебаний близки для различных схем вант.

### 3.2. Приближенная оценка достоверности результатов частот свободных колебаний энергетическим методом. (Аналитический метод)

#### 3.2.1. Определение низшей частоты горизонтальных свободных колебаний

Несмотря на очевидную структурную сложность вантовых мостов, можно развить аналитическое решение для вычисления частоты свободных колебаний. Предлагаемое решение является полезным в стадии предварительного динамического расчета вантовых мостов с целью определения области спектра предполагаемых частот колебаний.

Допустим, что ванты относительно лёгкие, поэтому будем пренебрегать их влиянием. Учтём только изгиб балки жёсткости и наличие продольных сил. Для решения задачи используем энергетический метод. Выражения потенциальной и кинетической энергий имеют вид:

$$\Im = \frac{1}{2} \int_{0}^{l} E_{\delta} I_{y\delta} \left[ \frac{\partial y^{2}(x,t)}{\partial x^{2}} \right]^{2} dx - \frac{1}{2} \int_{0}^{l} N(x) \left[ \frac{\partial y(x,t)}{\partial x} \right]^{2} dx, 
K = \frac{1}{2} \int_{0}^{l} m(x) \left[ \frac{\partial y(x,t)}{\partial t} \right]^{2} dx.$$
(3.6)

Зададимся перемещением как для шарнирно опёртой балки.

$$y(x,t) = a_1 \sin \omega t \sin(\pi/l)x. \tag{3.7}$$

Жёсткость балки на изгиб и масса - постоянные величины, поэтому потенциальную энергию изгиба и кинетическую энергию вычислим сразу, подставив в (3.6) выражение (3.7).

$$\mathcal{J}_{u3e.} = \frac{1}{2} \int_{0}^{l} E_{\delta} I_{y\delta} a_{1}^{2} \frac{\pi^{4}}{l^{4}} \sin^{2} \omega t \cdot \sin^{2} \frac{\pi}{l} x dx = \frac{1}{2} a_{1}^{2} \frac{\pi^{4}}{l^{4}} \sin^{2} \omega t_{\delta} \cdot E_{\delta} I_{y\delta} \frac{l}{2}.$$

$$K = \frac{1}{2} \int_{0}^{l} m a_{1}^{2} \omega^{2} \cos^{2} \omega t \cdot \sin^{2} \frac{\pi}{l} x dx = \frac{1}{2} m a_{1}^{2} \omega^{2} \cos^{2} \omega t \frac{l}{2}.$$

Продольные силы изменяются по длине балки дискретно, оставаясь постоянными на отдельных участках. Вычислим их влияние, используя второй член из (3.6), но меняя пределы интегрирования. Расчёт из-за симметрии моста можно выполнить лишь для половины моста. С этой целью натяжения вант с двух сторон балки спроектируем на горизонтальное направление и проинтегрируем по каждому участку. Вычисления удобно свести в табл. 3.2 (натяжение вант основано на предлагаемом алгоритме (глава.2, раздел 2.5.3). В этом разделе рассматривается вантовый мост (H/L=1/5, вариант.2, радиальная схема).

Таблица 3.2

| <b>№</b><br>вант | Натяжение вант х 2, $N_i$ , кН | Угол.<br>град.<br>α <sub>i</sub> | $N_i \cos \alpha_i$ , к $H$ | $ΣN_i$ cos $α_i$ , κΗ | $l_1$ , M | $l_2$ , M | Значение для (ур3.8) |
|------------------|--------------------------------|----------------------------------|-----------------------------|-----------------------|-----------|-----------|----------------------|
| 1                | 6685,0                         | 24,90                            | 6063,59                     | 6063,56               | 156       | 172       | 49354                |
| 2                | 4821,8                         | 27,14                            | 4290,89                     | 10354,43              | 140       | 156       | 84280                |
| 3                | 4166,0                         | 29,70                            | 3618,72                     | 13973,14              | 124       | 140       | 113730               |
| 4                | 3559,6                         | 32,82                            | 2991,41                     | 16964,56              | 108       | 124       | 138080               |
| 5                | 3032,4                         | 36,52                            | 2436,99                     | 19401,55              | 92        | 108       | 157920               |
| 6                | 2593,6                         | 41,00                            | 1967,41                     | 21358,97              | 76        | 92        | 173850               |
| 7                | 2234,2                         | 46,50                            | 1537,91                     | 22896,88              | 60        | 76        | 186370               |
| 8                | 1939,0                         | 53,10                            | 1164,21                     | 24061,09              | 44        | 60        | 195850               |
| 9                | 1666,2                         | 61,18                            | 803,21                      | 24864,30              | 28        | 44        | 202390               |

| 10 | 1323,2 | 70,70 | 437,34 | 25301,63 | 0 | 28 | 360400   |
|----|--------|-------|--------|----------|---|----|----------|
|    |        |       |        |          |   |    | Σ1662224 |

Продольные силы изменяются по длине балки дискретно, оставаясь постоянными на отдельных участках. Вычислим их влияние, используя второй член из (3.6)

$$\frac{1}{2} \mathcal{I}_{N} = \frac{1}{2} a_{1}^{2} \sin^{2} \omega t \frac{\pi^{2}}{l^{2}} \sum_{i} N_{i} \int_{l_{1}}^{l_{2}} \cos^{2} \frac{\pi}{l} x dx. \quad N_{i} \int_{l_{1}}^{l_{2}} \cos^{2} \frac{\pi}{l} x dx = N_{i} \left[ \frac{1}{2} x + \frac{l}{4\pi} \sin \frac{2\pi}{l} x \right]_{l_{1}}^{l_{2}}. \quad (3.8)$$

Далее, на основании энергетического метода, приравняем максимальные значения энергий и, сократив на  $a_1^2$ , получим

$$\frac{1}{2}E_{\delta}I_{y\delta}\frac{\pi^4}{l^4}\cdot\frac{l}{2}-2\frac{1}{2}\frac{\pi^2}{l^2}1662224=\frac{1}{2}m\omega^2\frac{l}{2}. \quad \text{Отсюда; } \omega^2=\frac{E_{\delta}I_{y\delta}}{m}\frac{\pi^4}{l^4}-\frac{4\pi^2}{ml^3}1662224.$$

Подставим числовые значения

$$\omega^2 = \frac{2,1 \cdot 10^8 \cdot 48,96}{8,9} \left(\frac{\pi}{l}\right)^4 - \frac{4\pi^2}{8,9 \cdot 400^3} 1662224 = 4,39572 - 0,11521 = 4,28051 \text{ c}^{-2}$$

$$\omega = 2,06894 \text{ c}^{-1}; \ \varphi = 0,32928 \ \Gamma\text{ц}.$$

При большом числе вант ступенчатую эпюру продольных сил в балке можно заменить треугольной, от опоры до середины пролета. Площадь треугольной эпюры  $A_{\rm Tp.}=0.5~N_0~l/2=A_{\rm np.}=\Sigma~N_i~l_i$ . Значения  $N_i$  приведены в табл. 3.2, а  $l_i=d_2$  на рис. 2.2 (см. глава. 2, раздел. 2.2).  $N_0=32674.7~{\rm kH}$ . При начале координат на левой опоре продольная сила будет изменяться по линейному закону  $N(x)=N_0(1-(2/l)x)$ ). Подставим эту функцию во второй член из (3.6).

$$\frac{1}{2} \mathcal{J}_{N} = \frac{1}{2} \int_{0}^{l/2} (1 - \frac{2}{l}x) N_{0} a_{1}^{2} \sin^{2} \omega t \frac{\pi^{2}}{l^{2}} \cos^{2} \frac{\pi}{l} x dx =$$

$$\frac{1}{2} a_{1}^{2} N_{0} \frac{\pi^{2}}{l^{2}} \sin^{2} \omega t \{ \int_{0}^{l/2} \cos^{2} \frac{\pi}{l} x dx - \frac{2}{l} \int_{0}^{l/2} x \cos^{2} \frac{\pi}{l} x dx \}.$$

Вычислим интегралы отдельно.  $\int\limits_{0}^{l/2}\cos^{2}(\pi/l)xdx=l/4.$ 

Второй интеграл вычислим по частям.

$$\frac{2}{l} \int_{0}^{l/2} x \cos^{2} \frac{\pi}{l} x dx = \frac{2}{l} \left[ \left[ x \left( \frac{1}{2} x + \frac{l}{4\pi} \sin \frac{2\pi}{l} x \right) \right]_{0}^{l/2} - \int_{0}^{l/2} \left( \frac{1}{2} x + \frac{l}{4\pi} \sin \frac{2\pi}{l} x \right) dx \right] = \frac{2}{l} \left[ \frac{l^{2}}{8} - \frac{1}{2} \left[ \frac{x^{2}}{2} \right]_{0}^{l/2} - \frac{l}{4\pi} \left[ -\frac{l}{2\pi} \cos \frac{2\pi}{l} x \right]_{0}^{l/2} \right] = \frac{2}{l} \cdot \frac{l^{2}}{4} \left( \frac{1}{4} - \frac{1}{\pi^{2}} \right).$$

Запишем окончательное значение

$$\frac{1}{2} \mathcal{J}_N = \frac{1}{2} a_1^2 \sin^2 \omega t \cdot \frac{\pi^2}{l^2} N_0 \cdot l(\frac{1}{8} + \frac{1}{2\pi^2}).$$

Выполняя процедуру энергетического метода, получим выражение для квадрата частоты собственных колебаний

$$\omega^2 = \frac{E_6 I_{y6}}{m} \frac{\pi^4}{l^4} - \frac{N_0}{m} \frac{\pi^2}{l^2} (\frac{1}{2} + \frac{2}{\pi^2}).$$
 Подставим числовые значения. 
$$\omega^2 = 4,39572 - \frac{32674,61}{8,9} (\frac{\pi}{400})^2 (\frac{1}{2} + \frac{2}{\pi^2}) = 4,23659 \ \text{c}^{-2}; \ \omega = 2,0583 \ \text{c}^{-1}; \ \phi = 0,32759$$
 Ги.

Последним рассмотрим простейший вариант, когда продольная сила принимается постоянной по всей длине балки. Её значение  $N_{\rm cp.}=0.5~N_0$  . Потенциальную энергию подсчитаем, используя второй член выражения (3.6) без изменения.

$$\partial_{N} = \frac{1}{2} N_{\text{cp.}} \int_{0}^{\delta} a_{1}^{2} \sin^{2} \omega t \cdot \frac{\pi^{2}}{l^{2}} \cos^{2} \frac{\pi}{l} x dx = \frac{1}{2} N_{\text{cp.}} a_{1}^{2} \sin^{2} \omega t \cdot \frac{\pi^{2}}{l^{2}} \frac{l}{2}.$$

Потенциальная энергия от изгиба остается без изменения. Реализуя идею энергетического метода, получим квадрат частоты свободных колебаний при постоянной продольной силе  $N_{cp.}$ .

$$\omega^2 = \frac{E_{\delta}I_{y\delta}}{m} \frac{\pi^4}{l^4} - \frac{N_{cp.}}{m} \frac{\pi^2}{l^2}$$
 Подставим числовые значения.

$$\omega^2 = 4,39572 - (16323,8/8,9) \cdot (\pi/400)^2 = 4,28258 \text{ c}^{-2}; \omega = 2,06944 \text{ c}^{-1};$$

 $\phi = 0.32936 \; \Gamma$ ц. Частота, полученная численным методом -  $\phi = 0.39037 \; \Gamma$ ц.

Сравнение различных вариантов приведено в табл. 3.3

Таблица 3.3

| Вид эпюры     | Вклад в энергию | Частота, Гц | % расхождения |
|---------------|-----------------|-------------|---------------|
| Ступенчатая   | 102,53 кН∙м     | 0,32928     | 15,6          |
| Треугольная   | 141,62 кН•м     | 0,32759     | 16,1          |
| Прямоугольная | 100,69 кН∙м     | 0,32936     | 15,6          |

Сравнение частоты с значениям частоты, полученной по программе SAP 2000

С целью получения верхней оценки частоты свободных колебаний примем функцию перемещений, обеспечивающую защемление концов балки.  $y(x,t) = a_1 \sin \omega t \cdot x^2 (l-x)^2$ . Подставим эту функцию в выражения потенциальной и кинетической энергий. Так как выше постоянная продольная сила дала практически такой же результат, как ступенчатое распределение сил, при подсчёте потенциальной энергии продольных сил, примем  $N_{\rm cp}$ . Все три члена вычислим отдельно.

$$\mathcal{J}_{u3e.} = 0.5 \int_{0}^{l} E_{\delta} I_{y\delta} a_{1}^{2} \sin^{2} \omega t (4l^{4} + 144l^{2}x^{2} + 144x^{4} - 48l^{3}x + 48l^{2}x^{2} - 288lx^{3}) dx = 0.5 E_{\delta} I_{y\delta} a_{1}^{2} \sin^{2} \omega t \cdot 0.8l^{5}.$$

$$\begin{split} \Im_N &= 0.5 N_{cp.} \int\limits_0^\delta a_1^2 \sin^2 \omega t (2l^2 x - 6l x^2 + 4 x^3)^2 = 9.52 \cdot 10^{-3} N_{cp.} l^7 a_1^2 \sin^2 \omega t. \\ K &= 0.5 \int\limits_0^l m [\omega^2 a_1^2 \cos^2 \omega t (l^4 x^4 + 4l^2 x^6 + x^8 - 4l^3 x^5 + 2l^2 x^6 - 4l x^7)] dx = \\ 7.9 \cdot 10^{-4} m l^9 \omega^2 a_1^2 \cos^2 \omega t. \end{split}$$

Приравняем максимальные значения энергий.

$$0.4E_{\delta}I_{y\delta}l^{5}-9.52\cdot10^{-3}N_{cp.}l^{7}=7.9\cdot10^{-4}\omega^{2}ml^{9}$$
. Из этого равенства определим  $\omega^{2}$  .

$$\omega^2 = \frac{0.4 E_\delta I_{y\delta} - 9.52 \cdot 10^{-3} N_{cp} l^2}{7.9 \cdot 10^{-4} m l^5}.$$
 После подстановки числовых значений получим, что  $\omega^2 = 22.71067$  с  $\omega^2 = 4.76557$  с  $\omega^2 = 0.75846$  Гц.

Значение частоты, полученной численным методом,  $\phi = 0,390 \ \Gamma$ ц (табл. 3.1), находится между вычисленными выше значениями, что свидетельствует о наличии поворота концов балки в горизонтальной плоскости при колебании.

### 3.2.2. Определение низшей частоты вертикальных колебаний балки жёсткости

Представим балку жёсткости с вантами и пилонами как отдельный объект, которому задаются перемещения, представляемые, по-прежнему, функцией (3.7). При задании перемещений в вантах появятся дополнительные усилия  $\Delta N_i$ , которые и вызовут дополнительные деформации пилонов. Ванты с двух сторон балки жёсткости объединим в одну плоскость, умножив площадь поперечного сечения вант на 2. В этой плоскости представим пилон как консольный стержень, заменив его пружиной с податливостью  $\delta_n = H^3/3E_nI_{xn}$ , H – высота пилона над балкой жёсткости;  $E_nI_{xn}$  - жёсткость пилона в направлении моста.

Дополнительные усилия в вантах определим методом сил, выбрав основную систему путём разреза вант. Главные коэффициенты, побочные коэффициенты и свободные члены системы уравнений примут вид (постоянные множители не приводятся).

$$\delta_{ii} = \frac{l_i}{2E_e A_e} + \frac{H^3}{3E_n I_n} \cos^2 \alpha_i; \quad \delta_{ik} = \frac{H^3}{3E_n I_n} \cos \alpha_i \cdot \cos \alpha_k; \quad \delta_{i\Delta} = -\sin(\pi/l) x_i \cdot \sin \alpha_i.$$

Решение системы уравнений дало следующие значения (общий множитель  $a_1^2 \sin^2 \omega t$ ):  $\Delta N_1 = -1283,690; \ \Delta N_2 = -891,658; \ \Delta N_3 = -478,006; \ \Delta N_4 = -53,884; \ \Delta N_5 = 372,011; \ \Delta N_6 = 776,223; \ \Delta N_7 = 1110,124; \ \Delta N_8 = 1346,554; \ \Delta N_9 = 1357,688; \ \Delta N_{10} = 1101,553.$ 

В первых четырёх вантах значения усилий имеют знак минус, поэтому они не получили удлинений. Эти ванты исключаются при подсчёте потенциальной энергии. Выражения энергий останутся прежними, но с дополнением энергий вант и пилонов.

При вычислении энергии учтём массу вант, поделив её поровну между пилоном и балкой жёсткости. Вес вант равен 0,891 кH/м. Масса вант для половины моста определяется произведением этой величины на длину вант и делением на  $g = 9,81 \text{ м/c}^2$ . Длина вант приведена в табл. 3.2.

 $M_{\rm B}=0.5\cdot2\cdot1316,62\cdot0,891/9,81=119,5829$  т. После деления на 200 м, получим массу вант  $m_{\rm B}=0,5989$  т. Просуммируем её с погонной массой балки жёсткости. В итоге m=9,4979 т/м.

Запишем соответствующее равенство энергетического метода. Первые два члена и кинетическая энергия будут иметь прежний вид. Максимальные значения синуса и косинуса равны единице, постоянный множитель сокращается.

$$\frac{1}{2}E_{\delta}I_{x\delta}\frac{\pi^{4}}{l^{4}}\frac{l}{2} - \frac{1}{2}N_{cp.}\frac{\pi^{2}}{l^{2}}\frac{l}{2} + 2\cdot\frac{1}{2}\sum_{i=1}^{6}\frac{\Delta N_{i}^{2}l_{i}}{2E_{R}A_{R}} + 2\cdot\frac{1}{2}\frac{3E_{n}I_{n}}{H^{3}}\Delta_{n}^{2} = \frac{1}{2}m\omega^{2}\frac{l}{2}.$$
 (3.9)

$$\Delta_n = \frac{H^3}{3E_nI_n}\sum_{i=1}^7 \Delta N_i \cos\alpha_i = 1,754639a_1 \sin\omega t$$
. Квадрат частоты определяется из (3.9).

$$\omega^2 = \frac{E_{\delta}I_{x\delta}}{m}\frac{\pi^4}{l^4} - \frac{N_{cp.}}{m}\frac{\pi^2}{l^2} + \frac{4}{ml}\sum_{i=1}^6\frac{\Delta N_i^2l_i}{2E_BA_B} + \frac{4}{ml}\frac{3E_nI_n}{H^3}\Delta_n^2.$$
 Или в числах

$$ω^2 = 0.18424 - 0.10602 + 0.22082 + 6.43266 = 6.73170 c^{-2}$$
;  $ω = 2.59455 c^{-1}$ .  $ω = 0.41294 Γ μ$ .

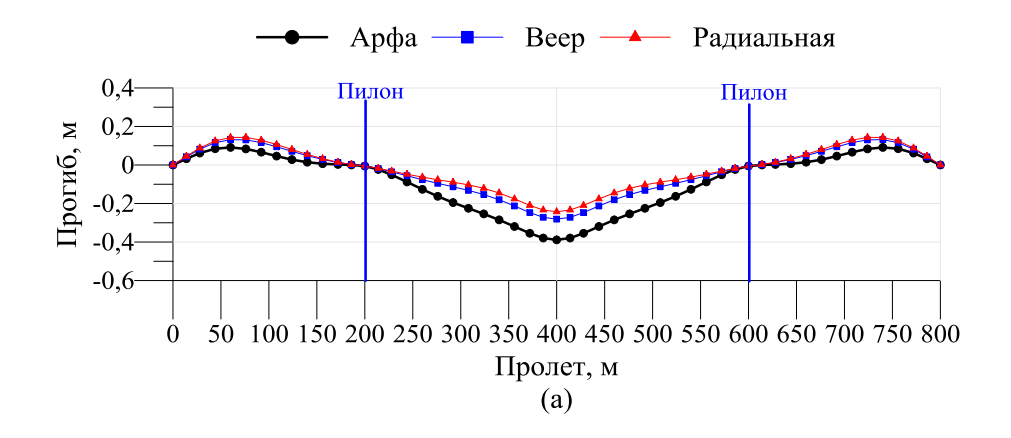
С целью верификации сравним это значение с низшей частотой собственных колебаний всего моста, полученной численным методом. Её значение 0,35458 Гц. Как и следовало ожидать, частота отдельной балки жёсткости оказалась больше на 16,5 %, что, естественно, так как мост в целом является более податливым. Однако частоты имеют одинаковый порядок, что в какой-то мере подтверждает их достоверность.

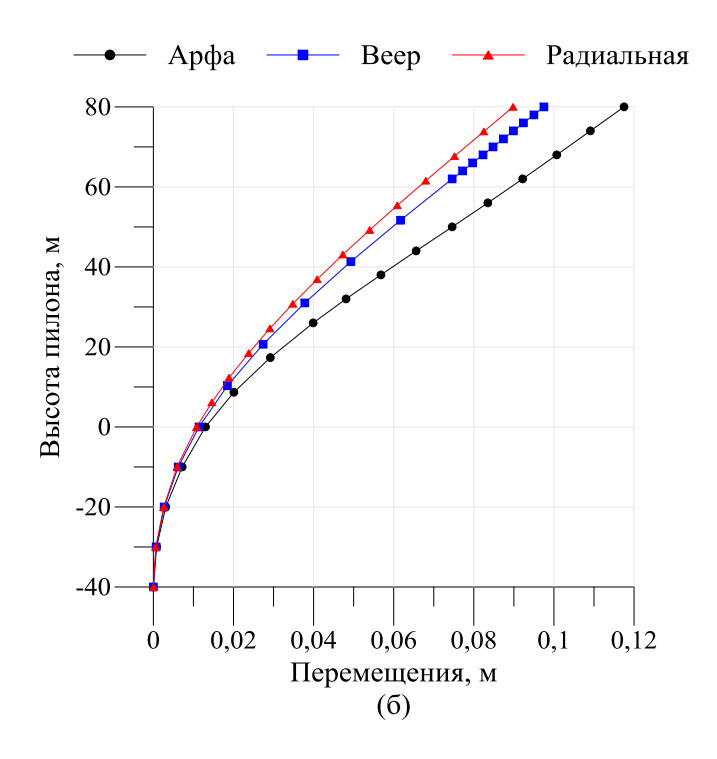
#### 3.3. Ветровой резонанс вант

Для того чтобы определить критическую скорость ветра, которая вызывает резонанс вант, требуется найти окончательное натяжение вант путём нелинейного Окончательный статического анализа модели моста. деформированный вид моста исследуется под собственным весом и временной нагрузкой, прикладываемых на балку жёсткости, где (H/L=1/5, вариант.2) с рассмотрением различных схем вант.

## 3.3.1. Оценка окончательного деформированного вида моста, натяжения вант и провеса вант

Статически расчёт изучаемого моста реализован энергетическим методом с реализацией метода сопряжённых градиентов. Вычисление вектора градиента в процессе минимизации общей потенциальной энергии моста по отношению к перемещениям осуществляется в начале каждой итерации с добавлением равномерно распределенной временной нагрузки на балку жёсткости 400 кг/м². Как показано на рис 3.5 (а, б), радиальная схема вант имеет наименьшие деформации пилона и прогиб балки жёсткости, а наибольшие значения - в схеме арфа. На рис 3.5 (в) видно, что наиболее загруженными являются самые длинные ванты в среднем и боковом пролётах. Самые большие силы в вантах были в схеме арфа, что естественно увеличивает продольные осевые силы в балке жёсткости схемы арфа.





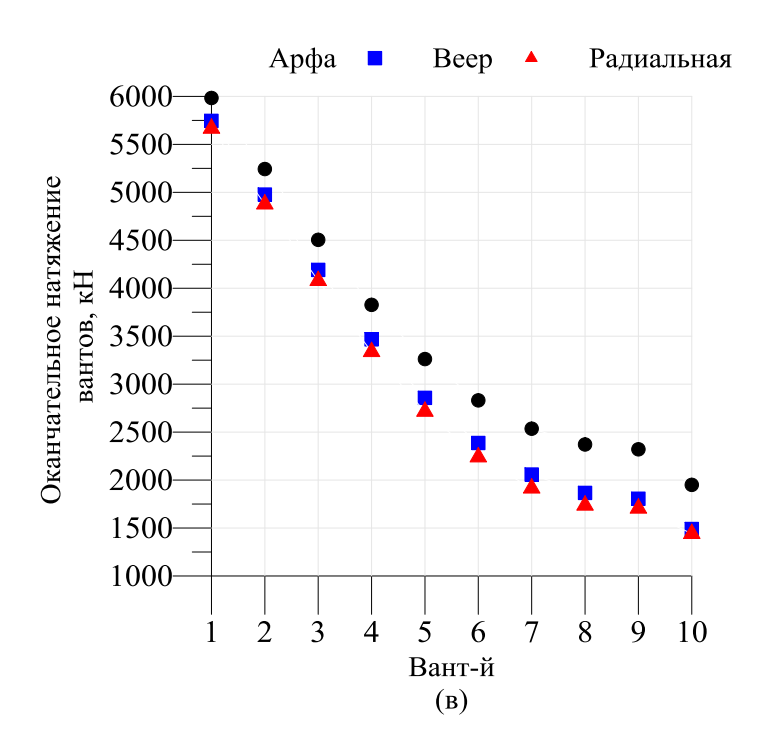


Рис 3.5. а) прогиб балки жёсткости, б) перемещения пилона, в) окончательные натяжении вант

Вычисленные окончательные натяжения вант используются при определении критической скорости ветра, которая приводит к резонансу вант. Ванты под действием собственного веса и растягивающих усилий провисают по цепной форме. Осевая жёсткость вант будет меняться нелинейно при наличии

провеса и натяжения вант. В анализе использован подход Эрнста (эквивалентного модуля упругости) [60] (см глава.1, раздел 1.3.3), который является наиболее принятым методом для моделирования вант в расчетах вантовых мостов.

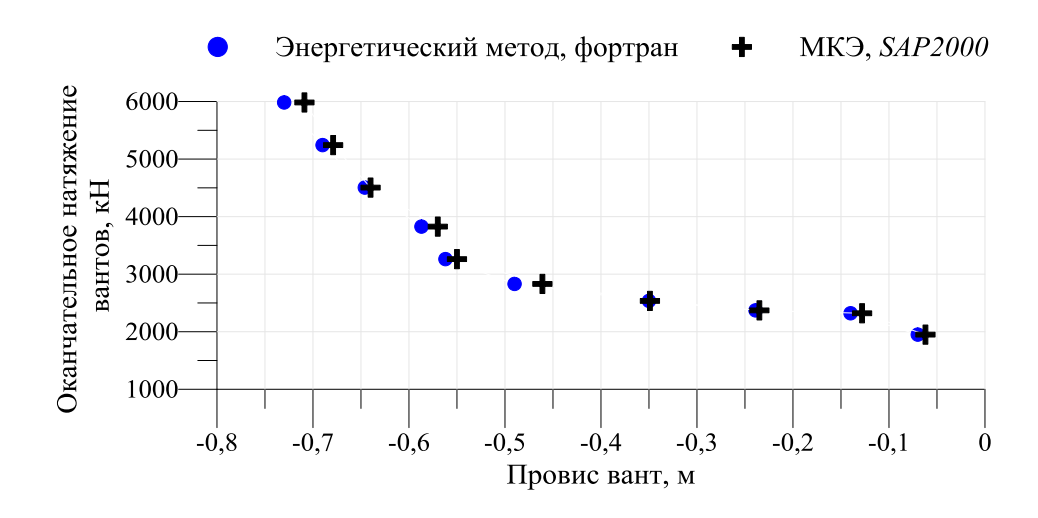


Рис 3.6. Изменение провеса и натяжения вант-й при использовании МКЭ и ЭМ

Рис.3.6 показывает соотношение между провисанием и натяжением вант для схемы арфа с использованием метода конечных элементов МКЭ (*SAP2000*) и энергетическим методом- ЭМ (Фортран). Разница между этими методами 2.7%.

#### 3.3.2. Определение критической скорости ветра для зоны резонанса

В этом разделе рассмотрим задачу исследования только колебаний вант в ветровом потоке, что в ряде случаев приводит к ветровому резонансу. В начале представим вант как гибкую нить, закреплённую по концам. В отличие от нити с опорами на одном уровне, в вантах при учёте собственного веса вант натяжение по концам будет различным. Однако в рабочем состоянии ванты испытывают настолько сильное натяжение, по сравнению с которым влияние собственного веса становится незначительным. В дальнейшем натяжение вант принимается постоянным, равным среднему значению.

В результате можно взять известное уравнение гибкой нити, добавив в него член, учитывающий рассеивание энергии.

$$m\frac{d^2y}{dt^2} + \beta \frac{dy}{dt} - N\frac{\partial^2y}{\partial x^2} = q.$$
 (3.10)

Здесь m — масса на единицу длины струны, N — натяжение струны,  $\beta$  — коэффициент, учитывающий рассеивание энергии, q — погонная нагрузка. Решение представим в виде произведения двух функций

$$y_0(x,t) = y(x)F(t).$$
 (3.11)

После разделения переменных получим два уравнения.

$$\ddot{F}(t) + 2\alpha \dot{F}(t) + \omega^2 F(t) = 0,$$

$$y''(x) + \frac{m\omega^2}{N} y(x) = 0.$$
(3.12)

Решения уравнений имеют вид

$$F(t) = e^{-\alpha t} (A\cos\omega_{\alpha}t + B\sin\omega_{\alpha}t),$$

$$y(x) = C\cos\omega\sqrt{\frac{m_0}{N}}x + D\sin\omega\sqrt{\frac{m_0}{N}}x.$$
(3.13)

При колебании на воздухе  $\omega_{\alpha} = \sqrt{\omega^2 - \alpha^2} \approx \omega$ .  $2\alpha = \beta/m$ .

Поскольку по концам вант закреплен, то при x=0 и x=l y(x)=0. Из выражения (3.13) следует, C=0,  $D\sin(\omega\sqrt{m/N})l=0$ . Так как постоянная  $D\neq 0$ , то  $\sin\omega\sqrt{\frac{m}{N}}l=0$ , или

$$\omega \sqrt{\frac{m}{N}} l = n\pi, (n = 1, 2, \ldots)$$
(3.14)

Из соотношения (3.14) определяются значения угловых частот колебаний  $\omega$ , совпадение, любой из которых с угловой частотой внешнего воздействия вызывает резонанс.

$$\omega_n = \frac{n\pi}{l} \sqrt{\frac{N}{m}}, (n = 1, 2, ...)$$
(3.15)

$$T = \lambda \sqrt{\frac{m}{N}} \tag{3.16}$$

где  $\lambda = 2 l/n$  — длина волны. Каждому значению  $\omega_n$  соответствует решение, удовлетворяющее уравнению (3.10) и концевым условиям. Общее решение представляет собой сумму этих решений. По координате x принята синусоида.

$$y_0(x,t) = \sum_{n=1}^{\infty} e^{-\alpha t} (A_n \cos \omega_n t + B_n \sin \omega_n t) \sin \frac{n\pi}{l} x.$$
 (3.17)

Далее получим частное решение уравнения (3.10) от воздействия следующего вида [19]  $q=Q\cdot\sin\theta t\cdot\sin bx$ ,  $Q=c_y(1/2)\rho v^2S$ ,  $\theta=2\pi k$ , где  $c_y-$  коэффициент поперечной (подъемной) силы для цилиндра приближенно принимается равным единице;  $b=n\pi/l$ ;  $\rho-$  плотность воздуха;

v — скорость ветрового потока; S — проекция площади поверхности тела на поверхность перпендикулярную направлению ветрового потока; k — частота срыва вихрей Бенара - Кармана в  $\Gamma$ ц.

Решение получим методом Бубнова – Галеркина, используя только один член  $y(t,x)=a\sin\theta t\sin bx$ .

$$\int_{0}^{2\pi/\theta} \int_{0}^{l} \left[ a\theta^{2} \cdot \sin \theta t \cdot \sin bx + a2\alpha\theta \cos \theta t \cdot \sin bx + a(N/m)b^{2} \sin \theta t \cdot \sin bx \right]$$
(3.18)

 $-(Q/m)\sin\theta t \cdot \sin bx]\sin\theta t \cdot \sin bx \cdot dt dx = 0$ 

В результате интегрирования получим выражение множителя a.  $a = Q / m(\omega_n^2 - \theta^2)$  и окончательное выражение перемещения примет вид

$$y(x,t) = \frac{Q\sin\theta t \cdot \sin(n\pi/l)x}{m[\omega_n^2 - \theta^2]},$$
(3.19)

Критическая скорость ветра находится из условия  $\theta = \omega_n$ . Для цилиндрических поверхностей число Струхаля Sh = (kd) / v = 0.185. Отсюда

$$v_{\rm KD} = \omega_n d / 0.185 \ 2 \ \pi. \tag{3.20}$$

3десь d диаметр ванты.

Полное решение будет равно сумме общего и частного решения

$$y(x,t) = \sum_{n=1}^{\infty} e^{-\alpha t} (A_n \cos \omega_n t + B_n \sin \omega_n t) + \frac{Q \sin \theta t \cdot \sin(n\pi/l)x}{m[\omega_n^2 - \theta^2]}$$
(3.21)

Произвольные постоянные определяются из начальных условий. Пусть при t=0 начальное смещение и начальная скорость равна нулю. После несложных преобразований для n=i получим

$$y_i(x,t) = \frac{Q\sin bx}{m(\omega_i^2 - \theta^2)} (\sin \theta t - \frac{\theta}{\omega_i} e^{-\alpha t} \sin \omega_i t).$$

Поскольку в отличие от нити ванты имею более жесткое сопротивление при искривлении, то во втором варианте рассмотрим колебание с учетом изгибной жесткости.

$$EI\frac{\partial^4 y}{\partial x^4} - N\frac{\partial^2 y}{\partial x^2} + m\frac{\partial^2 y}{\partial t^2} = q.$$
(3.22)

Вначале определим частоту собственных колебаний. Решение уравнения (3.22) будем искать в виде

$$y(x,t) = \sum f_n(t)\sin(n\pi/l)x.$$

Возьмем один член и подставим его в (3.22) при q = 0.

$$EI(n\pi/l)^4 f(t)\sin(n\pi/l)x + N(n\pi/l)^2 f(t)\sin(n\pi/l)x + \ddot{f}(t)\sin(n\pi/l)x = 0.$$

Отсюда получим уравнение для f(t), которое после деления на m примет вид

$$\ddot{f}(t) + \left[\frac{EI}{m}(\frac{n\pi}{l})^4 + \frac{N}{m}(\frac{n\pi}{l})^2\right]f(t) = 0$$

Из уравнения видно, что частота колебаний

$$\omega_n = \sqrt{\frac{EI}{m} \left(\frac{n\pi}{l}\right)^4 + \frac{N}{m} \left(\frac{n\pi}{l}\right)^2} = \sqrt{\omega_{n,\text{M3T.}}^2 + \omega_{n,\text{Hat.}}^2}$$

Здесь  $\omega_{n,\text{изг.}}^2$  - частота собственных колебаний изгибаемой ванты.

Частное решение уравнения (3.22) получим методом Бубнова — Галеркина с функцией  $f(t) = Q \cdot \sin \theta t$ . Разделим уравнение на m. Решение будем искать с одним параметром  $y(t,x) = a \sin \theta t \cdot \sin b x$ . В итоге

$$(EI/m)\frac{\partial^4 y}{\partial x^4} - (N/m)\frac{\partial^2 y}{\partial x^2} + \frac{\partial^2 y}{\partial t^2} = (Q/m)\cdot\sin\theta t\cdot\sin\frac{n\pi}{l}x.$$

Подставим решение в уравнение

$$\int_{0}^{2\pi/\theta} \int_{0}^{l} \left[ a \frac{EI}{m} \left( \frac{n\pi}{l} \right)^{4} \sin \theta t \cdot \sin bx - a\theta^{2} \sin \theta t \cdot \sin bx + a(N/m)b2 \sin \theta t \cdot \sin bx - a\theta^{2} \sin \theta t \cdot \sin bx + a(N/m)b2 \sin \theta t \cdot \sin bx \right]$$

$$(Q/m) \sin \theta t \cdot \sin bx \sin bx \sin bx \cdot dt dx = 0$$

Из этого выражения после выполнения соответствующих вычислений получим значение множителя a.  $a=(Q/m)/(\omega_{n,\text{изг.}}^2+\omega_{n,\text{нат.}}^2-\theta^2)$ . Следовательно,

$$y(x,t) = \frac{Q\sin\theta t \cdot \sin(n\pi/l)x}{m\left[\omega_{n,\text{M3T.}}^2 + \omega_{n,\text{H3T.}}^2 - \theta^2\right]},$$
(3.23)

Из равенства  $\theta^2 = \omega_{n,\text{изг.}}^2 + \omega_{n,\text{нат.}}^2$  получается значение критической скорости ветра для зоны резонанса

$$v_{\text{kp}} = \frac{d\sqrt{\omega_{n,\text{M3}\Gamma.}^2 + \omega_{n,\text{HaT.}}^2}}{0,185 \cdot 2\pi}$$
(3.24)

Приведенные формулы показывают, что критические скорости ветра, вызывающие резонанс, зависят от числа полуволн n линейно для гибких вант и нелинейно при учете изгибной жесткости ванты. Очевидно, что при увеличении жесткости вант увеличивается и критическая скорость ветра. Вычисленные скорости ветра следует сопоставлять с числами Рейнольдса, так как не при каждом значении этого числа возможен срыв вихрей Бенара — Кармана. Числа Рейнольдса — Re = vd/v. Здесь в числителе скорость ветра и диаметр, а в знаменателе кинематическая вязкость воздуха в обычных условиях равная  $0.145 \cdot 10^{-4} \,\mathrm{m}^2/\mathrm{c}$ .

Ниже по формуле (3.24) подсчитаем критические скорости ветра для вант среднего пролета моста, схема которого изображена на рис. 1. Все ванты одинакового сечения:  $E = 14720 \cdot 10^4 \text{ кH/m}^2$ ;  $I = 9,715 \cdot 10^{-6} \text{ m}^4$ ; d = 0.11861 m; m = 10.11861 m

0,09083 т/м. На рис. 3.7 представлен график изменения критических скоростей ветра.

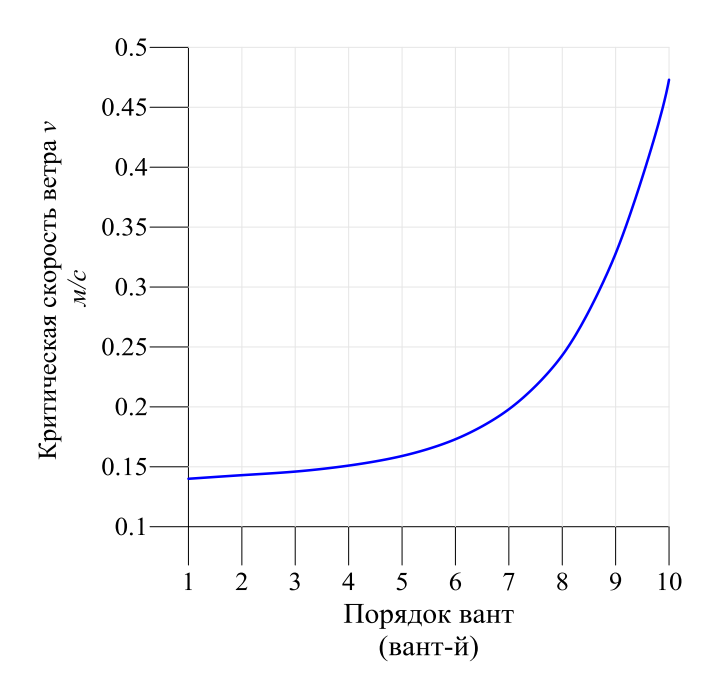


Рис. 3.7 График скоростей

Учитывая, что срывы вихрей Бенара-Кармана начинаются при числе Рейнольдса Re > 50, из выражения числа Рейнольдса можно определить минимальную скорость ветра, при котором возможны срывы вихрей. Для диаметра вант она оказалась равной 6,11247 10<sup>-3</sup>м/с. Так как все критические скорости оказались выше этого значения, то, очевидно, резонансы возможны для любой из вант. Положительным является тот факт, что они будут происходить при разных скоростях, не вызывая биение между собой, а это особенно важно для радиальной схемы, оказавшейся наиболее рациональной по деформациям.

#### 3.4. Скорости ветра, вызывающие резонанс вантовых мостов

#### 3.4.1. Ветровой резонанс среднего пролета моста

Лёгкость моста является, в какой-то мере, и его недостатком из-за гибкости вант. В статье М.И. Казакевича, известного специалиста в области аэродинамики мостов, отмечается, что системы, имеющие низшую частоту свободных колебаний менее 1 Гц, очень чувствительны к ветровым воздействиям [14].

Именно таковыми являются большепролётные вантовые мосты. Податливость моста приводит к значительным колебаниям от ветрового воздействия, которое может привести к ветровому резонансу.

Для решения этой задачи возьмём следующее дифференциальное уравнение [7]

$$\frac{\partial^2}{\partial x^2} \left[ E_{\delta} I_{y\delta}(x) \frac{\partial^2 y}{\partial x^2} \right] + \frac{\partial}{\partial x} \left[ N(x) \frac{\partial y}{\partial x} \right] + k(x) y(x) + m \frac{\partial^2 y}{\partial t} = q(x, t). \tag{3.25}$$

Вначале определим частоты собственных колебаний, взяв уравнение без свободного члена. При определении частот примем постоянными все характеристики, чтобы получить обозримое выражение для частот. Решение уравнения (3.25) представим в виде произведения двух функций [38].

$$y_0(x,t) = \sum F_n(t) a_n \sin bx \text{ , где } b = n\pi/l. \ \text{Подставим эту функцию в (3.25)}.$$
 
$$E_\delta I_{y\delta} b^4 \sum F_n(t) a_n \sin bx - Nb^2 \sum F_n(t) a_n \sin bx + k \sum F_n(t) a_n \sin bx + m \sum \ddot{F}_n(t) a_n \sin bx = 0.$$

Разделим уравнение на  $m \sum F_n(t) a_n \sin bx$ .

$$\frac{E_{\delta}I_{y\delta}b^{4}}{m} - \frac{Nb^{2}}{m} + \frac{k}{m} + \frac{\sum \ddot{F}_{n}(t)}{F_{n}(t)} = 0. \sum \ddot{F}_{n}(t) + (\frac{E_{\delta}I_{y\delta}b^{4}}{m} - \frac{Nb^{2}}{m} + \frac{k}{m})F_{n}(t) = 0.$$

Очевидно, что выражение в скобках представляет собой квадраты частот  $\omega_n$  . Решение полученного уравнения известно

$$y_0(x,t) = \sum_{n=1}^{\infty} e^{-\alpha t} (A_n \cos \omega_n t + B_n \sin \omega_n t) \sin bx$$
.  $\alpha = \psi/2T$ ;  $T$  - период колебаний; для стальных большепролетных мостов [19]  $\psi = 0.02 \div 0.3$ . Постоянные  $A_n$  и  $B_n$  находятся, исходя из заданных начальных условий. С учётом начальных условий решение, например, для  $n = 1$ , примет вид

$$y_{01}(x,t)=e^{-\alpha_1 t}(y_{\scriptscriptstyle H1}\cos\omega_{\alpha_1}t+((v_{\scriptscriptstyle H1}+\alpha_1y_{\scriptscriptstyle H1})/\omega_{\alpha_1})\sin\omega_{\alpha_1}t)\sin bx\,,\,\mathrm{где}\,\,\omega_{\alpha_1}=\sqrt{\omega_1^2-\alpha_1^2}\,;$$
  $y_{\scriptscriptstyle H1}$ - начальное перемещение;  $v_{\scriptscriptstyle H1}$ - начальная скорость.

Далее получим частное решение уравнения (3.25) от ветрового воздействия [19]  $q(x,t) = Q \sin \theta t \cdot \sin bx$ ;  $Q = 0.5 c_y \rho v^2 S$ ;  $\theta = 2\pi p$ . Здесь  $c_y$  – коэффициент поперечной (подъёмной) силы. По аналогии со зданиями этот коэффициент можно принять в зависимости от отношения ширины проезжей части к высоте при нормальном воздействии ветра, например, при соотношении более 2-х  $c_y = 1.1$ ;  $\rho = 1.224 \text{ кг/м}^3$  – плотность воздуха при  $t^0 = 4^0 \text{ C}$  и 730 мм рт. ст.; v – скорость ветрового потока; S – проекция площади поверхности тела на поверхность, перпендикулярную направлению ветрового потока; p – частота срыва вихрей Бенара-Кармана в  $\Gamma$ ц.

Решение уравнения получим методом Бубнова — Галеркина, используя один член  $y(x,t)=a_1\sin\theta t\cdot\sin bx$  .

$$\int_{0}^{2\pi/\theta} \int_{0}^{l} [E_{\delta}I_{x\delta}b^{4}a_{1}\sin\theta t \cdot \sin bx - Nb^{2}a_{1}\sin\theta t \cdot \sin bx + ka_{1}\sin\theta t \cdot \sin bx + m\theta^{2}a_{1}\sin\theta t \cdot \sin bx - Q\sin\theta t \cdot \sin bx]\sin\theta t \cdot \sin bx \cdot dtdx.$$

После перемножения достаточно проинтегрировать только два члена. Интегрирование по времени дает  $2\pi/\theta$ , а по линейной координате – l/2. Подставляя и сокращая эти значения, окончательно получим

$$a_1(E_{\delta}I_{x\delta}b^4-Nb^2+k-m\theta^2)=Q.\ \ \text{После деления этого выражения на }m,\ \text{найдём}\ \ a_1.$$
 
$$a_1=\frac{Q}{m(E_{\delta}I_{x\delta}b^4-Nb^2+k-\theta^2)}.\ \ \text{Окончательное решениe}$$

$$y(x,t) = \frac{Q\sin\theta t\cdot\sin bx}{m(E_{\delta}I_{x\delta}b^4-Nb^2+k-\theta^2)} = \frac{Q\sin\theta t\cdot\sin bx}{m(\omega_{\mathrm{n}}^{\ \ 2}-\theta^2)}$$
. Первые три члена в скобках

представляют квадраты частот собственных колебаний. Они могут быть определены аналитически, как это показано в статье, либо численно. Запишем полное решение для n=1 и  $y_{n1}$ .

$$y_1(x,t) = [(Q\sin\theta t/(m(\omega_1^2 - \theta^2))) + e^{-\alpha_1 t}(v_{H1}/\omega_1)\sin\omega_1 t]\sin bx.$$

Критическая скорость ветра находится из выражения  $\theta = \omega_n$  или  $\varphi = p$ . Частота срыва вихрей зависит от скорости через число Струхаля Sh = (pS/v), которое для мостовых конструкций изменяется примерно от 0,10 до 0,12 [14]. Примем Sh = 0,12. В итоге  $v_{\kappa p.} = \varphi_n S/0$ ,12. В нормах рекомендуется учесть ещё высоту ограждения, обычно принимаемую 0,6 м. Вычислим критическую скорость ветрового потока для частоты вертикальных колебаний.  $v_{\kappa p.} = 0,41294 \cdot (3.2+0.6)/0$ ,12 = 13,08 м/с.

С целью оценки величины зоны резонанса построим график колебания середины балки жёсткости при прохождении через резонанс при  $\Delta t = 0,1$  с (рис. 3.8). График построен без учёта демпфирования. По графику видно, что зона резонанса оказывается очень узкой. Как известно, чтобы раскачать систему, необходимо время. Поэтому разрушение конструкции можно ожидать лишь при действии ветрового потока с постоянной критической скоростью в течение некоторого времени, зависящего от жёсткости конструкции.

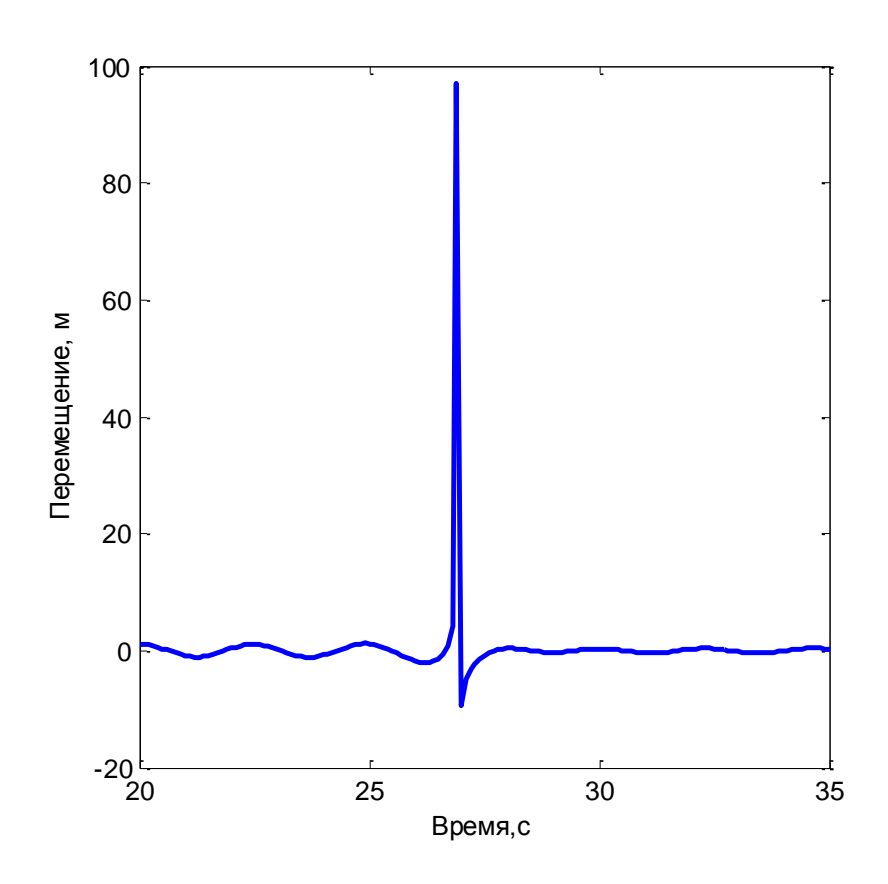


Рис. 3.8. Перемещение середины пролета от переменной скорости ветра v=12+0.04t

Ветровой резонанс - не единственное опасное воздействие ветра на мостовые конструкции. На практике имеют место и другие аэродинамические воздействия. Идея «классического» флаттера подробно изложена в книге [30], на примере упруго закреплённой по краям связями пластины. Жёсткости связей в общем случае принимаются различными. Теоретические выводы в [30] показали, что в случае равенства жёсткостей, решение даёт два вещественных положительных значения частот собственных колебаний. Система при таких частотах не теряет аэродинамическую устойчивость. Возможны только гармонические колебания. Рассмотренную схему можно перенести и на балку жёсткости, где роль связей выполняют ванты.

Принимая во внимание, что поперечное сечение балки жёсткости является симметричным, при симметричной нагрузке также будут иметь место только гармонические колебания. Тем более, что для рассматриваемой схемы моста частоты, определённые численно и аналитически, получились вещественными и положительными. Явления дивергенции и флаттера будут отсутствовать.

Из-за большой разницы в жёсткостях балки в горизонтальном и вертикальном направлениях для неё маловероятны параметрические колебания по перекачке энергии. В общем случае, аэродинамические явления могут быть как для отдельных элементов моста, так и для всего моста в целом. Всё зависит от конструктивных особенностей проектируемого моста и скорости ветра, поэтому все проектируемые схемы должны подвергаться аэродинамическим расчётам.

#### Выводы

В этой главе исследованы: 1) Определение частот свободных колебаний для разных схем вантовых мостов. Для получения собственных частот для рассматриваемого моста было представлено численное решение для каждой схемы вант моста. Было предложено аналитическое решение с использованием принципов энергетического метода по определению собственных частот колебаний (вертикальные и горизонтальные колебания) центрального пролёта

моста, представленное для радиальной схемы. Аналитическое решение было проведено с учётом осевой продольной силы в балке жёсткости с помощью трёх функций (ступенчатая, треугольная, прямоугольная). 2) Была представлена достоверность энергетического метода при вычислении провеса вант. 3) Аналитическое исследование было проведено для изучения ветрового резонанса вант и среднего пролета моста, соответственно.

Результаты этой главы были опубликованы в [23, 24, 25, 94, 95]

#### Глава 4. ВЛИЯНИЕ ВНЕЗАПНОГО ОБРЫВА ВАНТ НА ДИНАМИЧЕСКОЕ ОТКЛИК ВАНТОВЫХ МОСТОВ

### 4.1. Значимость изучения влияния внезапного обрыва вант на динамический отклик вантовых мостов.

Изучение поведения вантовых мостов при внезапном обрыве вант является первом шагом в разработке актуальных методов, которые могут увеличить долговечность живучесть вантовых мостов предотвратить И И катастрофического крушения. Обрыв вант может возникнуть, например, из-за автомобильной катастрофы, в случаях теракта и др. Возможные сценарии, которые могут привести к разрыву вант, иллюстрированы на рис. 4.1. Янь [119] указал, что мосты являются привлекательной целью для террористов из-за их доступности, а также из-за тяжелых последствий на общество при их повреждении. В последние годы после ряда серьезных обрушений строительных объектов проблема обеспечения надежности строительных конструкций, зданий и сооружений стала одной из основных в области конструктивной безопасности. В железобетонным первую очередь ЭТО относится К конструкциям. При проектировании конструкций сопротивление крушению означает нечувствительность к случайным обстоятельствам. Это может быть достигнуто путём обеспечения высокого уровня безопасности против локального разрушения. Появилось новое направление исследования живучести объектов при запроектных воздействиях [8, 18, 26, 27]. Обрыв вант следует рассматривать в качестве возможного локального разрушения [118], так как поперечное сечение вант имеет небольшую жесткость и, следовательно, ванты имеют низкое сопротивление при запроектных воздействиях. Последние события показали обрушения мостов, таких как развал балки жесткости ферменных мостов в Миннеаполис, Миннесота [68] и также обрушение висячего моста в 2011 году (Картенегаро мост, Индонезия) в процессе ремонта вант. Эти события привлекают внимание к более тщательному исследованию этого вопроса по отношению к вантовым мостам. Исследования по этой теме были проведены в последние

несколько лет с изучением этого вопроса в [58, 75, 103, 117, 120]. Поскольку исследований, связанных с вантовыми мостами, недостаточно и потребляется продолжить исследование, новый алгоритм, основанный на энергетическом методе, разработан для исследования динамического поведения вантовых мостов при внезапном обрыве ванта.

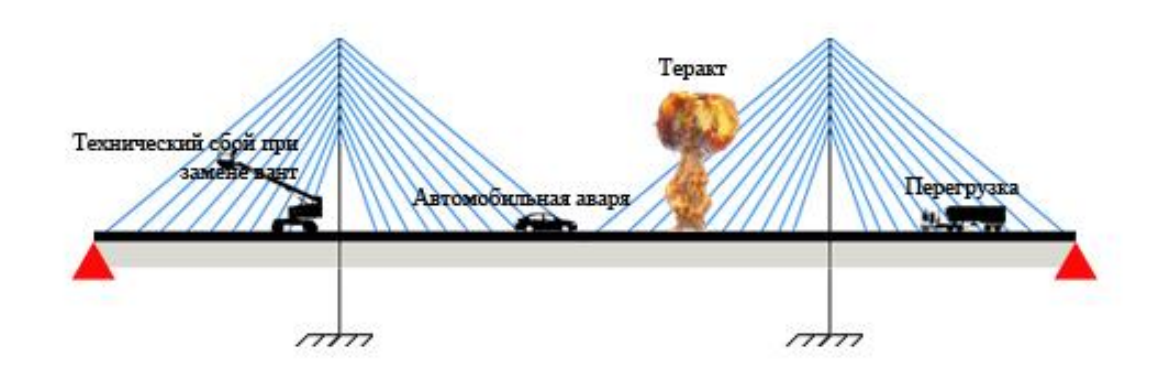


Рис 4.1. Возможные сценарии, ведущие к обрыву вант

### 4.2. Обобщение энергетического метода, используемого в разработке предлагаемого алгоритма

Нелинейный динамический отклик вантовых мостов осуществляется при минимизации полной потенциальной и кинетической энергии [53]. Анализ этого метода состоит из расчета шаг за шагом отклика моста через интервалы времени. Во время каждого интервала равновесие динамичных усилий в конце каждого шага осуществляется методом сопряженных градиентов. В этой главе вычисление перемещений и их производных через интервалы времени  $\Delta t$  осуществляется методом постоянного ускорения. В этом методе при интегрировании, из-за значительной нелинейности задачи, на каждом шаге берётся среднее ускорение от смежных значений [81]. Это предположение приводит к следующим соотношениям:

$$x(t + \Delta t) = x + \Delta x, \qquad \dot{x}(t + \Delta t) = \frac{2}{\Delta t} \Delta x - \dot{x}, \qquad \ddot{x}(t + \Delta t) = \frac{4}{\Delta t^2} \Delta x - \frac{4}{\Delta t} \dot{x} - \ddot{x}$$
(4.1)

где x,  $\dot{x}$ ,  $\ddot{x}$ ,  $\Delta x$  перемещение, скорость, ускорение и инкрементное перемещение, соответственно. Инкрементное уравнение движения:

$$M \cdot \Delta \ddot{x} + C \cdot \Delta \dot{x} + k \cdot \Delta x = \Delta p \tag{4.2}$$

Используя метод постоянного ускорения, подставляя ур. (4.1) в ур. (4.2), приводит к следующему выражению:

$$\left[k + \frac{2}{\Delta t}C + \frac{4}{\Delta t^2}M\right]\Delta x = \Delta p + 2C\dot{x} + M\left[\frac{4}{\Delta t}\dot{x} + 2\ddot{x}\right]$$

$$; \Delta x = k_d^{-1}\Delta p_d$$
(4.3)

где

K, C и M — жёсткость изгибных элементов, демпфирование и массы, соответственно, при  $t_i$ ,  $\Delta p$  — вектор инкрементальных сил. Матрица динамической жесткости и матрица вектор инкрементных динамических сил описаны в левой и правой частях ур. (4.3), соответственно в скобках.

Условие динамического равновесия определяется по формуле:

$$g_s = \frac{\partial W}{\partial (\Delta x_s)} = 0 \qquad s = 1, 2, 3, \dots, N$$
 (4.4)

где  $\Delta x_s$  — перемещение в направлении s через шаг времени  $\Delta t$ ; N — общее количество степеней свободы; W — полная энергия моста.

Полное выражение энергии моста описывается таким образом:

$$W = W\{x\} + W\{\dot{x}\} + W\{\ddot{x}\} + W\{V\}$$
(4.5)

где

 $W\{x\}$  — полная энергия моста при собственным весе и прикладываемых нагрузок;  $W\{\dot{x}\}$  — рассеиваемая энергия с помощью демпфирования ;  $W\{\ddot{x}\}$  — кинетическая энергия моста;  $W\{V\}$  — полная работа ветровой нагрузки.

Минимум энергии моста вычисляется в каждой итерации с использованием метода сопряженных градиентов, где перемещения обновляются таким образом:

$$\Delta x_{k+1} = \Delta x_k + S_k v_k;$$

$$[v]_{k+1} = -[g]_{k+1} + \beta [v]_k,$$

$$\beta_k = \frac{[g]_{k+1}^T \{[g]_{k+1} - [g]_k\}}{[v]_k^T \{[g]_{k+1} - [g]_k\}}.$$
4.6)

где

v — вектора спуска, k — номер итерации, S . — длина шага итерации Согласно уравнению (4.4), вектор градиента и все элементы моста выражаются таким образом:

$$g\{x\} + g\{\dot{x}\} + g\{\dot{x}\} + g\{\dot{x}\} + g\{V\} = \sum_{n=1}^{f_j} \sum_{r=1}^{6} k_{sr} (\tilde{x} + \Delta x)_r - \sum_{n=1}^{p_j} (t_\circ + \Delta t)_{jn} (X_n - X_j + \Delta x_n - \Delta x_j)_i - F_s + \sum_{r=1}^{N} C_{sr} (\frac{2}{\Delta t} \Delta x - \dot{x}) + \sum_{r=1}^{N} m_{sr} (\frac{4}{\Delta t^2} \Delta x - \frac{4}{\Delta t} \dot{x} - \ddot{x}) - \frac{1}{2} \rho \cdot \tilde{C} (V - \frac{2}{\Delta t} \Delta x_L + \dot{x}_L)_s^2$$

$$(4.7)$$

где

 $C_{sr}$  — критическое демпфирование;  $\rho$  — плотность воздуха; V — средняя скорость ветра на шаге времени;  $\dot{x}_L$  — скорость ветра на узлы элементов моста, связанных с степенями свободы;  $\check{C}$  — аэродинамические коэффициенты.

Остальные параметры в предыдущем уравнении были четко определены в (глава.1, раздел 1.6).

Подставляя выражение  $\Delta x_{k+1}$  ур. (4.6) в ур. (4.5), приходим к полиному относительно S:

$$W = C_4 S^4 + C_3 S^3 + C_2 S^2 + C_1 S + C_0$$
(4.8)

Значение S - длина шага итерации определяется следующим образом;

$$S_{k+1} = S_k - \frac{\partial W/\partial S}{\partial^2 W/\partial S^2}.$$
(4.9)

Согласно ур. (4.9), нет необходимости вычислять  $C_0$ .

Замена  $\Delta x$ , ур. (4.7) с ( $\Delta x + Sv$ ), ур. (4.6), получим коэффициенты длины шага в уравнении (4.8) следующим образом:

$$C_{4} = \sum_{n=1}^{p} \left( \frac{EAa_{3}^{2}}{2L_{\circ}^{3}} \right)_{n} C_{3} = \sum_{n=1}^{p} \left( \frac{EAa_{2}a_{3}}{L_{\circ}^{3}} \right)_{n}$$

$$C_{2} = \sum_{n=1}^{f} \sum_{s=1}^{6} \sum_{r=1}^{6} \left( \frac{1}{2}v_{s}k_{sr}v_{r} \right)_{n} + \sum_{s=1}^{p} \sum_{r=1}^{f} \frac{1}{\Delta t} C_{sr}v_{r}v_{s} + \sum_{s=1}^{N} \sum_{r=1}^{N} m_{sr}v_{r}v_{s}$$

$$\sum_{n=1}^{p} \left( t_{\circ}a_{3} + \frac{EA \cdot \left( a_{2}^{2} + 2a_{1}a_{3} \right)}{2L_{\circ}^{3}} \right)_{n} + \sum_{s=1}^{N} \sum_{r=1}^{N} \frac{1}{\Delta t} C_{sr}v_{r}v_{s} + \sum_{s=1}^{N} \sum_{r=1}^{N} m_{sr}v_{r}v_{s}$$

$$C_{1} = \sum_{n=1}^{f} \sum_{s=1}^{6} \sum_{r=1}^{6} \left[ k_{sr} (\tilde{x} + \Delta x)v_{s} \right]_{n} + \sum_{n=1}^{p} \left( t_{\circ}a_{2} + \frac{EAa_{1}a_{2}}{2L_{\circ}^{3}} \right)_{n}$$

$$- \sum_{n=1}^{N} F_{n}v_{n} + \sum_{s=1}^{N} \sum_{r=1}^{N} C_{sr} \left( \frac{2}{\Delta t} \Delta x - \dot{x} \right)_{r}v_{s} + \sum_{s=1}^{N} \sum_{r=1}^{N} \frac{2}{\Delta t^{2}} \left( \frac{4}{\Delta t^{2}} \Delta x - \frac{4}{\Delta t} \dot{x} - \ddot{x} \right)_{r}v_{s}$$

$$- \sum_{s=1}^{N} \frac{1}{2} \rho \cdot \tilde{C} \left( V - \frac{2}{\Delta t} \Delta x_{L} + \dot{x}_{L} \right)_{s}^{2} v_{s}$$

$$(4.10)$$

В ур.( 4.10), значение  $a_1$ ,  $a_2$ ,  $a_3$  описываются следующим образом:

$$a_{1} = \sum_{i=1}^{2} \left[ \left( X_{ni} - X_{ji} \right) + \left( \Delta x_{ni} - \Delta x_{ji} \right)^{2} + \frac{1}{2} \left( \Delta x_{ni} - \Delta x_{ji} \right)^{2} \right]$$

$$a_{2} = \sum_{i=1}^{2} \left[ \left[ \left( X_{ni} - X_{ji} \right) + \left( \Delta x_{ni} - \Delta x_{ji} \right) \right] (v_{ni} - v_{ji}) \right]$$

$$a_{3} = \sum_{i=1}^{2} \left( v_{ni} - v_{ji} \right)^{2}$$

$$(4.11)$$

# 4.3. Предлагаемый алгоритм для вычисления динамического отклика вантовых мостов при внезапном обрыве вант

Чтобы проследить действия обрыва вант в процедурах алгоритма, в оборвавшемся ванте удаляется соответствующая сила  $T_c$  и она прикладывается к опорным узлам ванта на балке жёсткости, как показано на рис.4.2.

Динамический анализ вантового моста начинается после того, как восстановлено окончательное деформированное состояние моста,  $\widetilde{x} = x_{st}$ 

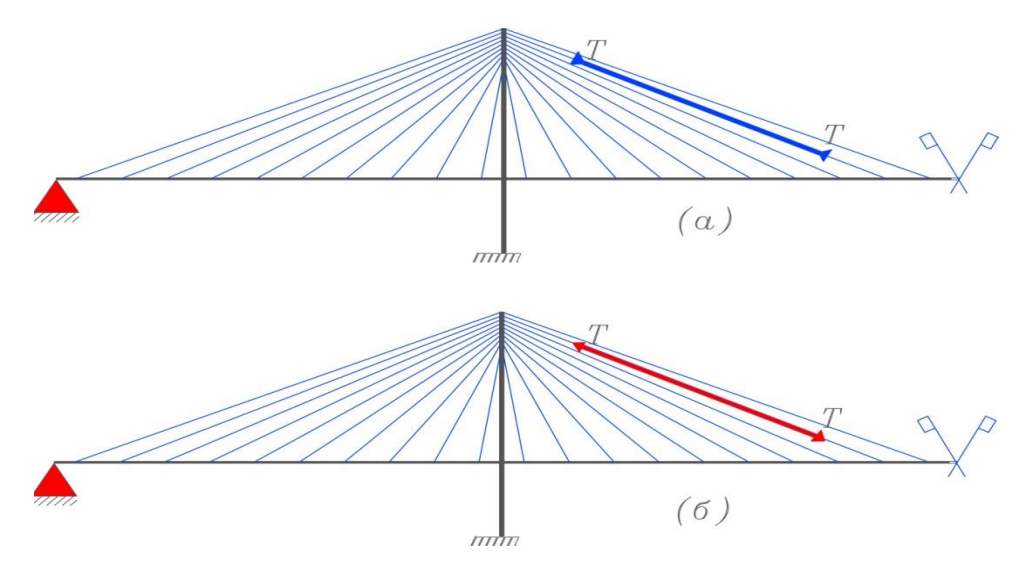


Рис 4.2. Силовой путь вант: а- исходное состояние; б- при обрыве вант

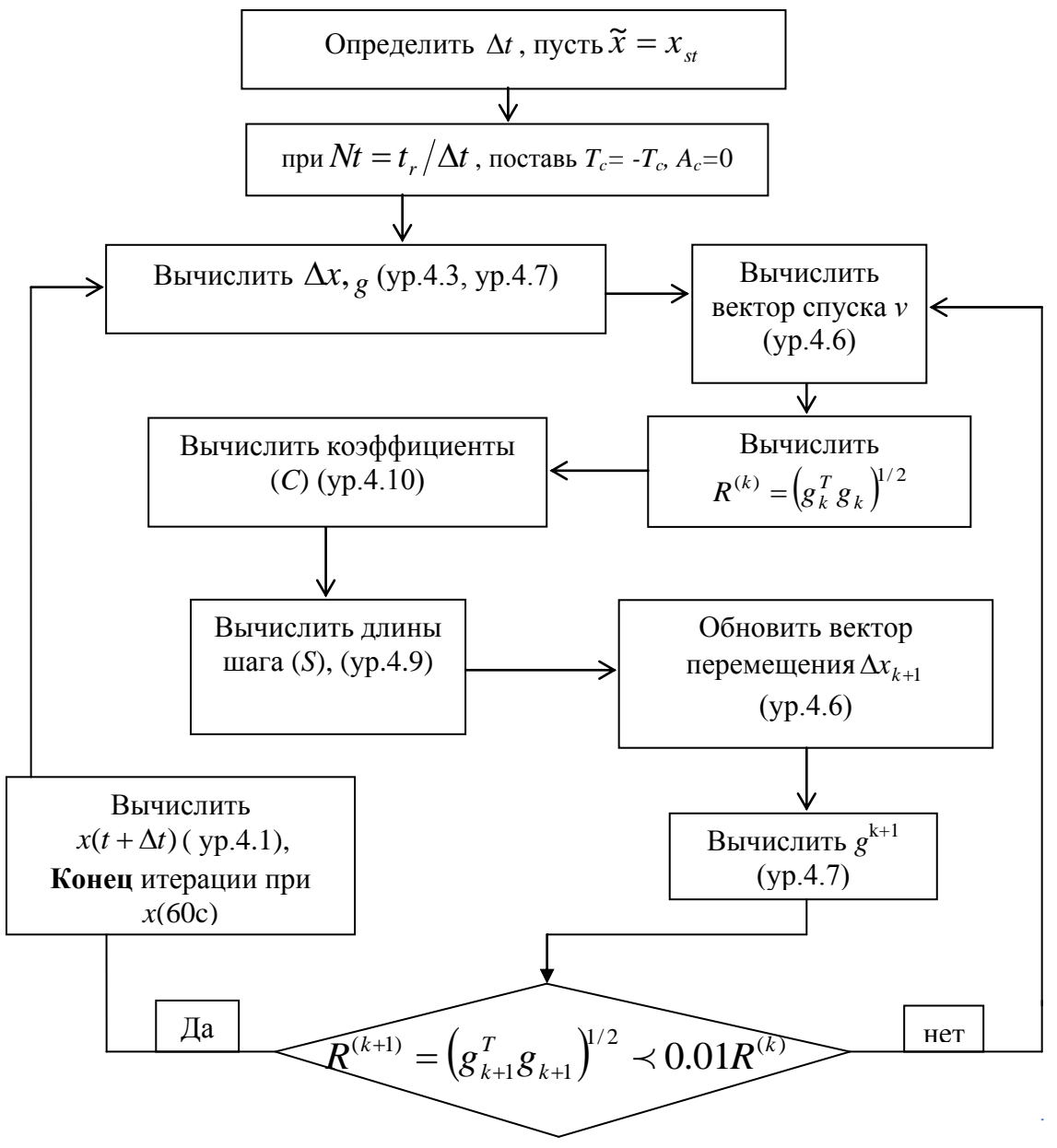


Рис 4.3. Предлагаемый алгоритм для вычисления динамического отклика вантовых мостов при внезапном обрыве вант

#### 4.4. Сценарий обрыва вант

Динамический анализ изучаемого моста осуществляется в течение 60 секунд, как общее время анализа с общим количеством шагов  $(N_t) = 6000$  и шаг времени = 0,01. Ванты, предназначенные для обрыва, удаляются из анализа с определением их площадки  $A_c = 0$  при  $t_r = 10$  сек и соответствующие им силы  $T_c$  прикладываются к опорным узлам вант, примыкающим к балке жёсткости.

прогрессирующем [67] Согласно нормам при обрушении (GSA) 100% принимать постоянной нагрузки, рекомендуется предварительное натяжение вант и 75% от временной нагрузки при анализе. Оптимальные предварительные натяжения вант, использующие комбинированные нагрузки обоснованы в предлагаемом алгоритме (см. глава.2, раздел 2.1). Чтобы исследовать наиболее резкий отклик моста при обрыве вант, ветер, действующий в продольном направлении моста, добавляется к предыдущей комбинированной нагрузке. (см. приложение 2).

Величина демпфирования должна рассматриваться с осторожностью и с учетом материала, формы колебания и прикладываемых нагрузок. В статье Руис-Теран и Апарисио [97], демпфирование значений может быть до 2% для вантовых конструкций, следовательно, коэффициент демпфирования = 0.02. Разрушающая сила вант = 9500 кН. Мост имеет общую длину 800 м с центральным пролётом 400 м. Веер-образная схема вант была выбрана для данного исследования, где расстояние между вантами вдоль балки жёсткости составляют 20 м. Собственная частота колебания моста 0.357 Гц при фазе 1 (до обрыва ванта). Все характеристики моста написаны в (глава 2, раздел 2.2). Расстояние между вантами вдоль балки жёсткости 20 м (вариант.1, глава 2, раздел 2.3). В данном исследовании рассматриваются три сценария обрыва вант, как показано на рис. 4.4. Первый сценарий предполагает внезапный обрыв одного ванта. Обрыв двух и трёх вант, соответственно, рассматривается при втором и третьем сценарии. Каждый сценарий, предусматривает обрыв вант на параллельных сторонах моста (два ванта одновременно).

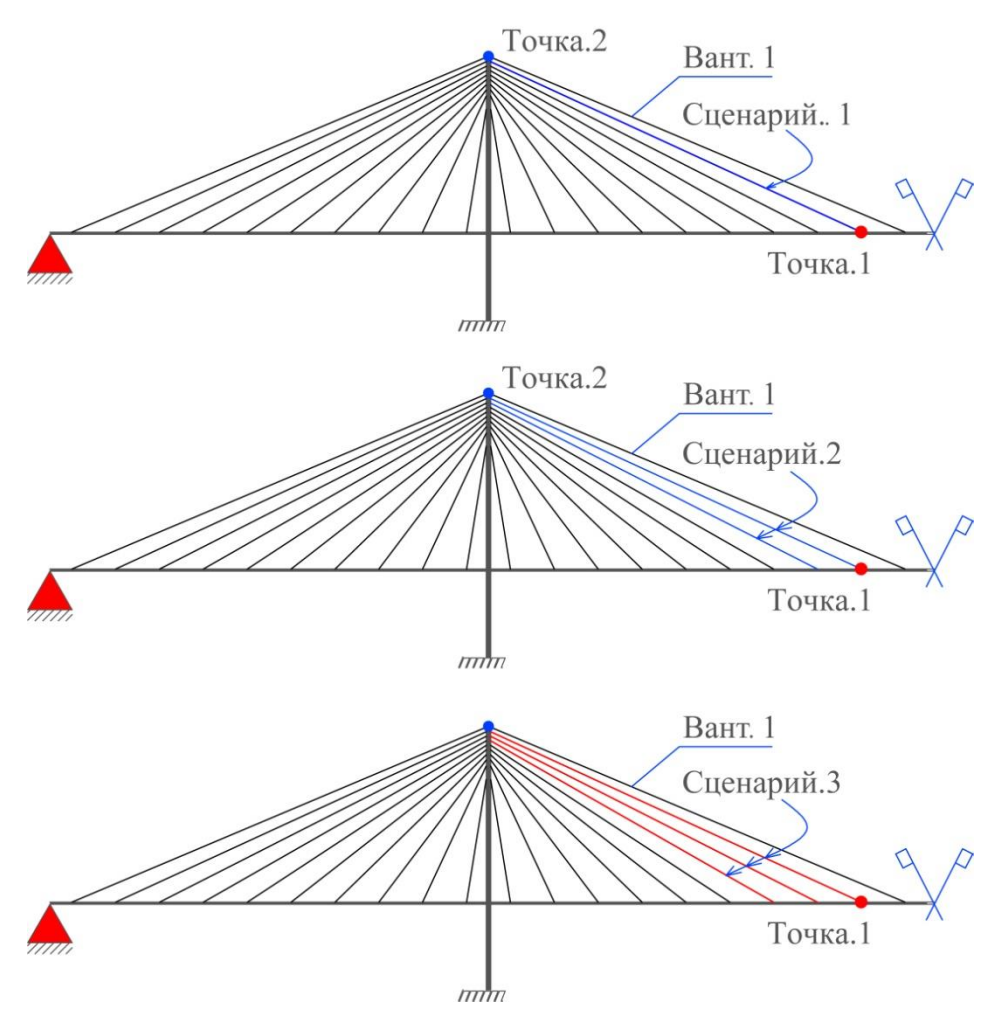


Рис 4.4. Рассмотренные сценарии обрыва вант

#### 4.5.Оценка деформаций моста при обрыве вант

### 4.5.1. Оценка прогиба балки жёсткости при рассмотренных сценариях обрыва вант

Динамический отклик моста при рассмотренных сценариях обрыва вант осуществляется через процедуру предлагаемого алгоритма, который показан на рис. 4.3. Динамический отклик, показанный на рис. 4.5, 4.6, 4.7 прослеживает обрыв вант соответственно рассматриваемому сценарию обрыва. Динамический анализ вантового моста начинается после того, как получено окончательное деформированное состояние моста по результатам статического анализа, где прогиб балки жёсткости в точке1 равен 0,14 м. Эта величина колеблется вверх и вниз  $c \pm 26\%$  на первом этапе ( до обрыва).

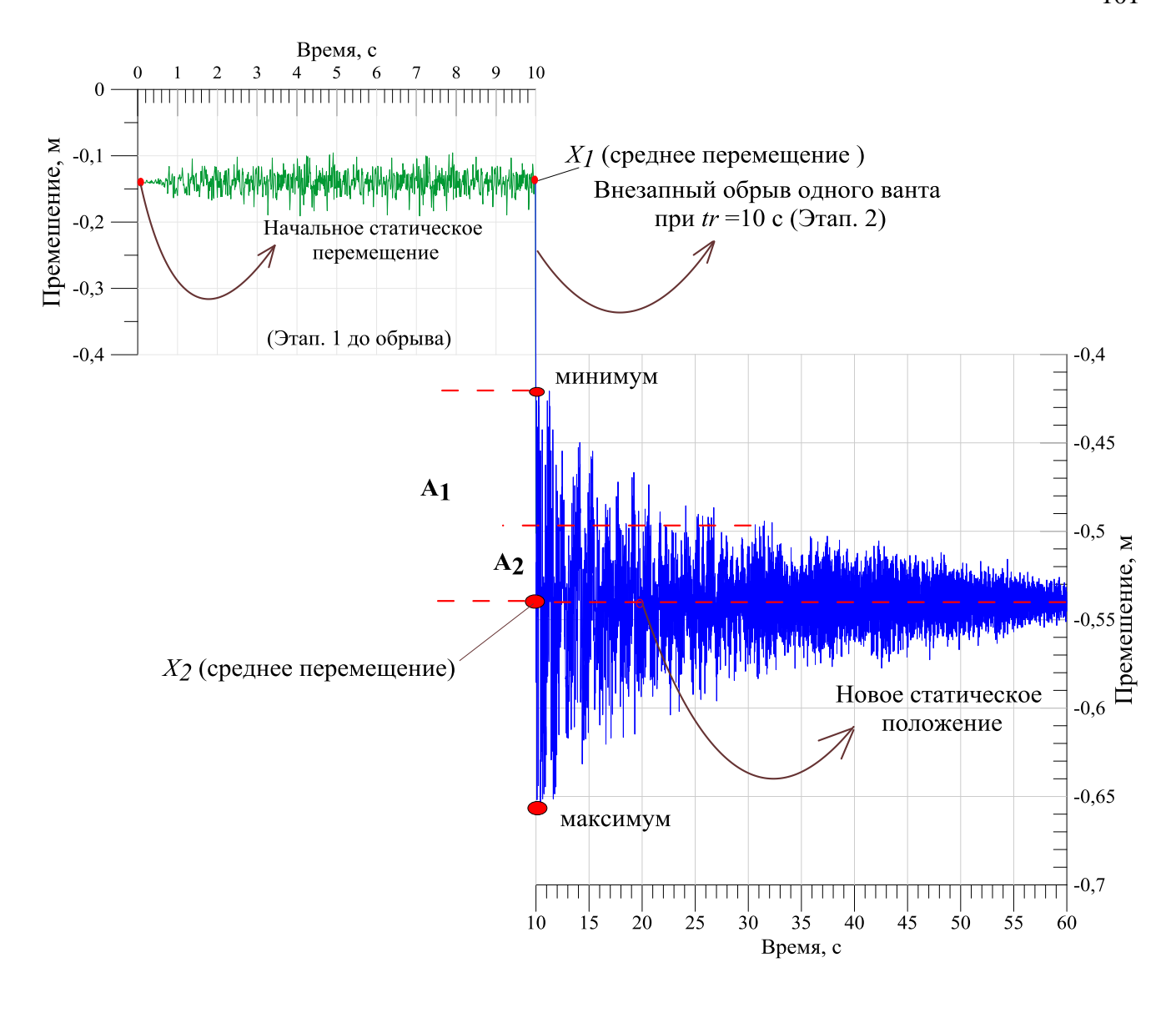


Рис. 4.5. Изменение прогиба балки жёсткости в точке 1 со временем при сценарии 1

В рассматриваемом моменте разрыва  $(t_r)$ , прогиб балки жёсткости значительно увеличивается и постепенно уменьшается вдоль заданной временной области (60 сек). На втором этапе, мост приходит к новому статическому положению, где динамический отклик моста происходит вокруг нового положения, которое целиком отличается от исходного статического положения, когда все ванты целы.

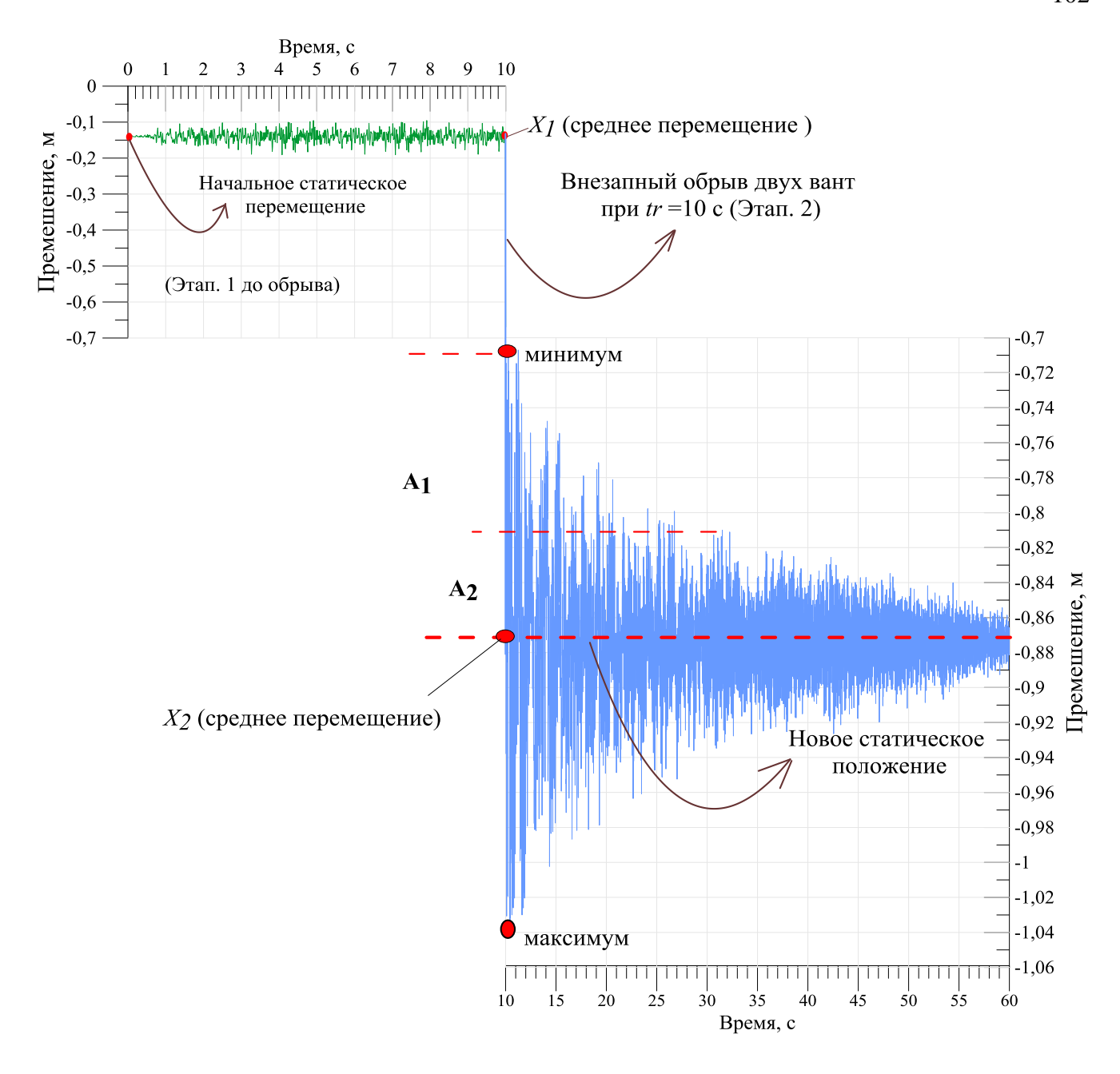


Рис. 4.6. Изменение прогиба балки жёсткости в точке 1 со временем при сценарии 2

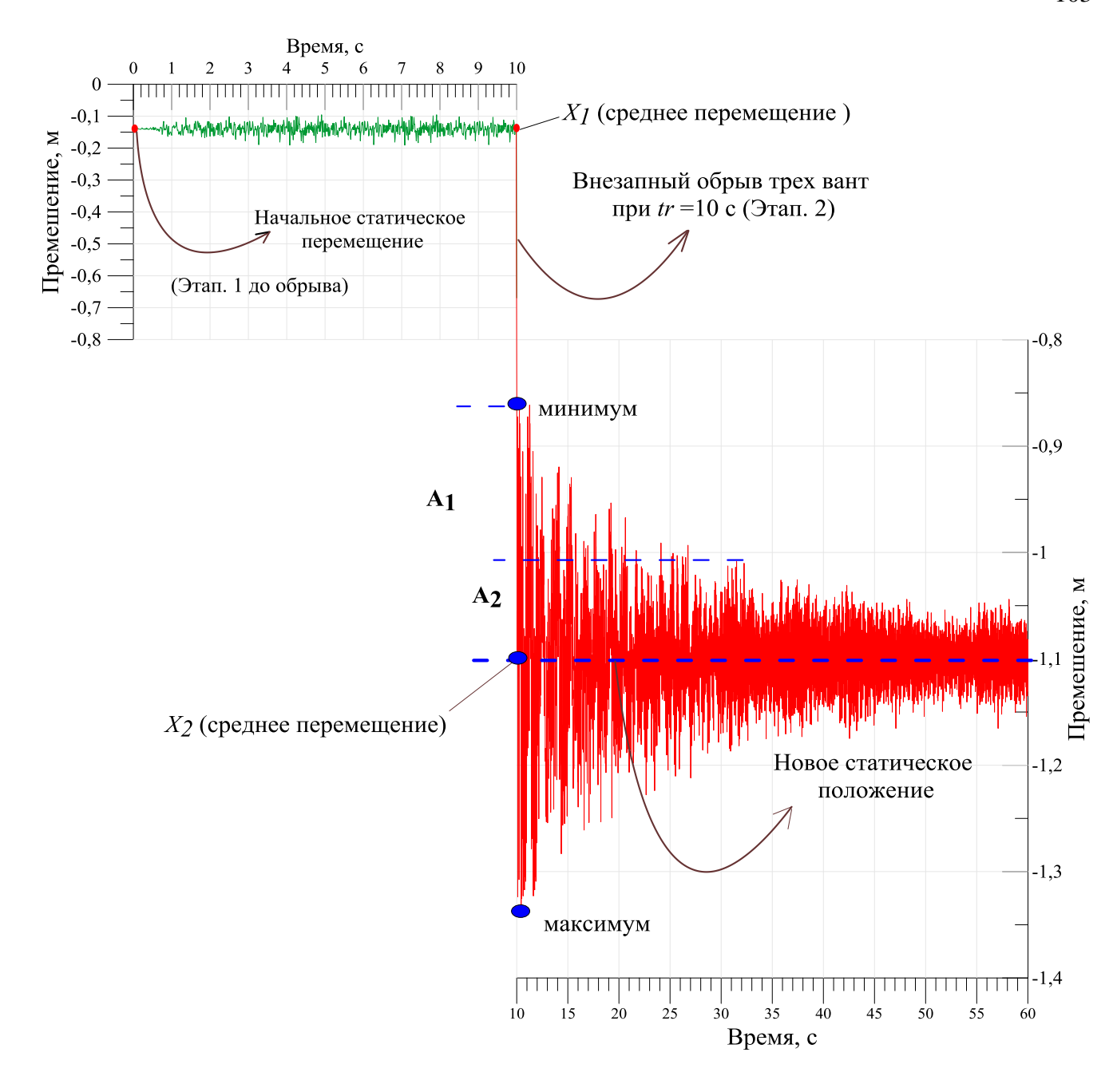
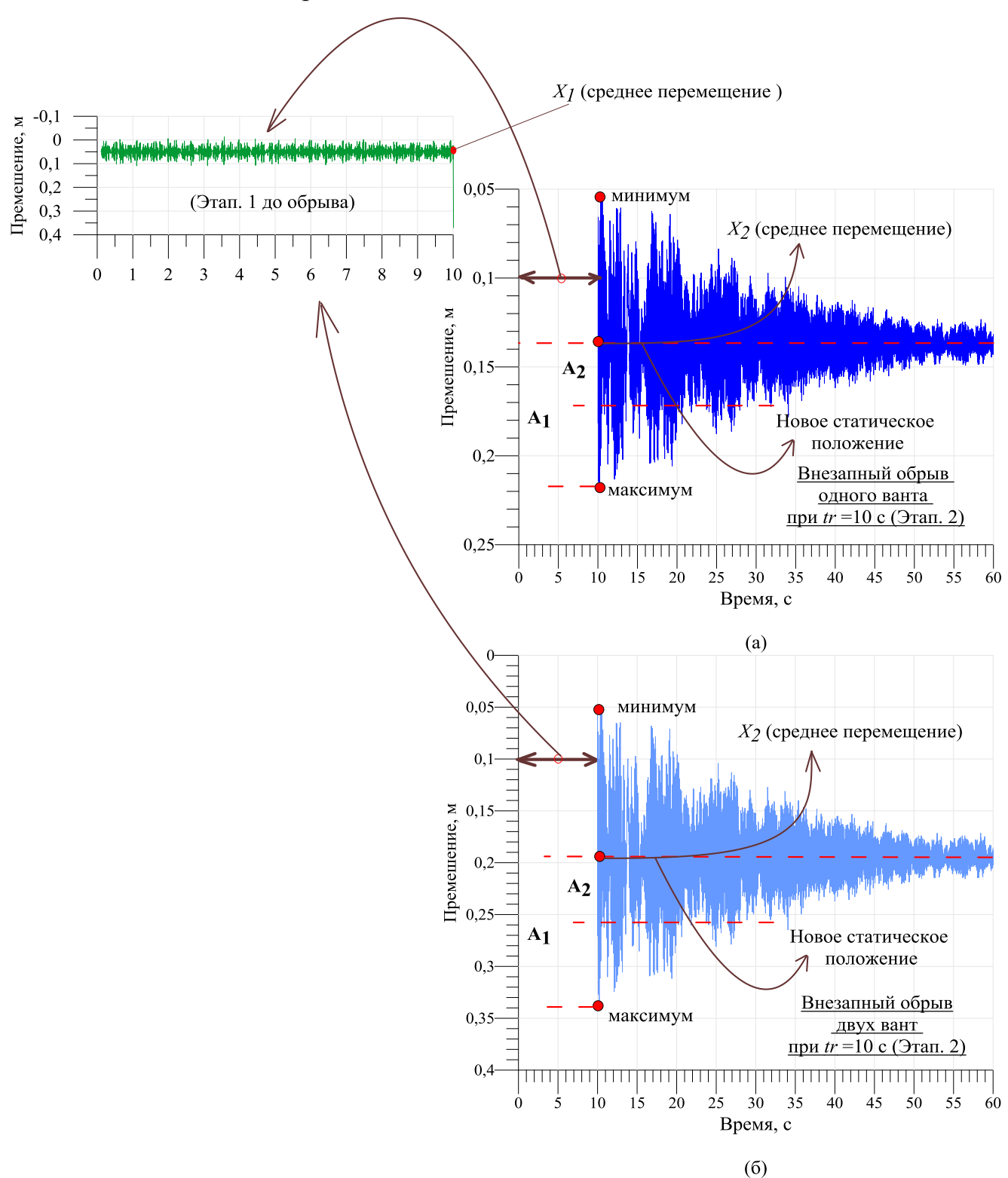


Рис. 4.7. Изменение прогиба балки жёсткости в точке 1 со временем при сценарии 3

#### 4.5.2. Оценка перемещения пилона при рассмотренных сценариях обрыва вант

Рис. 4.8 (а, б, в) показывает перемещения пилона в точке 2 при внезапном обрыве вант, что соответствует рассматриваемому сценарию обрыва. Перемещение пилона меняется с более высоким процентом ± 60% вокруг статического значения, как показано на первом этапе. Давление ветра в продольном направление моста увеличивает колебание до обрыва. Внезапный

обрыв трех вант приводит к значительному увеличению перемещения верха пилона, как показано на рис.4.8.в.



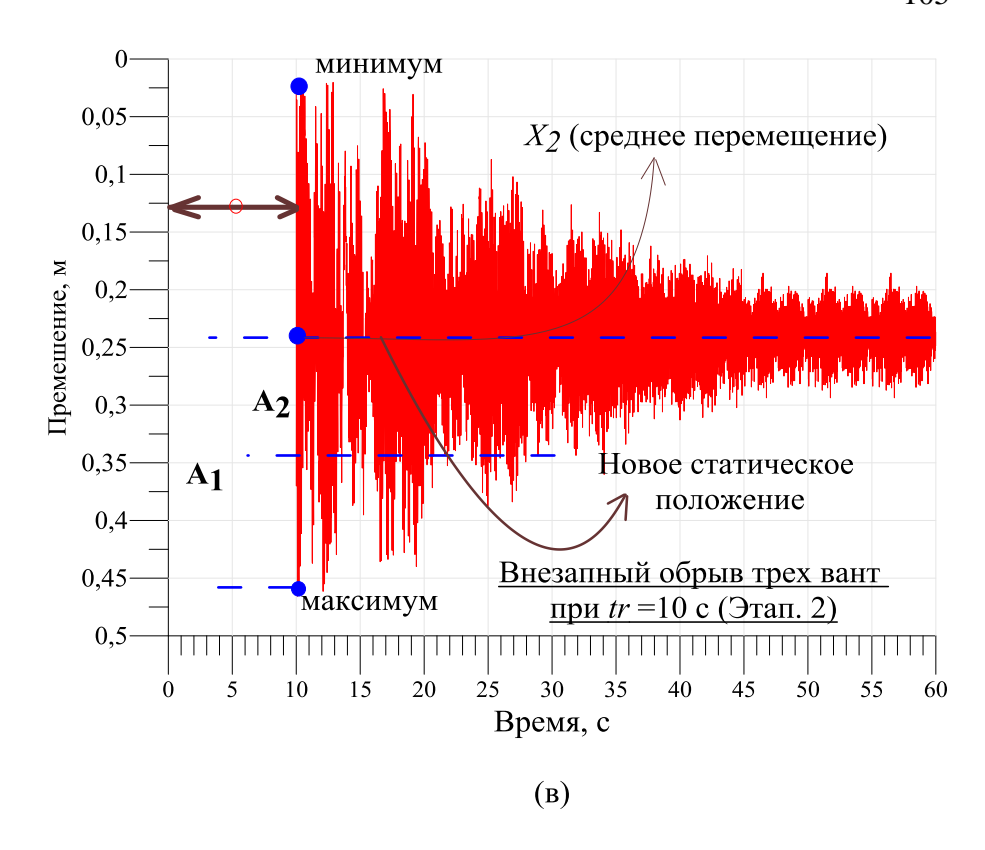


Рис. 4.8. Изменение перемещения пилона в точке 2 со временем а - при сценарии 1, б - при сценарии 2, в - при сценарии 3

### 4.5.3. Динамический эффект для оценки деформации моста при рассмотренных сценариях обрыва вант

Всестороннее исследование для вычисления динамического эффекта для оценки деформации моста показаны в таблице. 4.1. Динамический эффект можно заметить при вычислении величины амплитуды  $A_1$  в рассматриваемое время обрыва  $(t_r)$  и сравнивая эти значения с другими амплитудами  $A_2$  в течение 30 секунд.

Таблица 4.1 Динамический эффект для оценки деформации моста при рассмотренных сценариях обрыва вант.

|                    | Прогиб балки жёсткости,<br>точка.1. |   |   |          | Перемещение пилона,<br>точка.2. |  |  |                    |
|--------------------|-------------------------------------|---|---|----------|---------------------------------|--|--|--------------------|
|                    |                                     | Динамический<br>эффект                  |   |          |                                 | Динамический эффект                              |  |                    |
| Сценария<br>обрыва | $X_2/X_1$                           | A <sub>1</sub> при<br>tr =10<br>сек (м) | А <sub>2</sub><br>через<br>30<br>сек<br>(м) | $X_2(M)$ | $X_2/X_1$                       | A <sub>1</sub><br>при<br>tr<br>=10<br>сек<br>(м) | A <sub>2</sub><br>через<br>30 сек<br>(м) | Х <sub>2</sub> (м) |
| Один вант          | 3.92                                | 0.125                                   | 0.04  | -0.54    | 2.94                            | 0.081  | 0.034                                    | 0.138              |
| Два ванта          | 6.30                                | 0.17                                    | 0.06  | -0.87    | 4.04                            | 0.15   | 0.07                                     | 0.19               |
| Три вант           | 7.97                                | 0.24                                    | 0.09  | -1.1     | 5.09                            | 0.22   | 0.11                                     | 0.24               |

Таким образом, как показано в табл. 4.1, третий сценарий имеет более высокий динамический эффект при обрыве трёх вант одновременно.

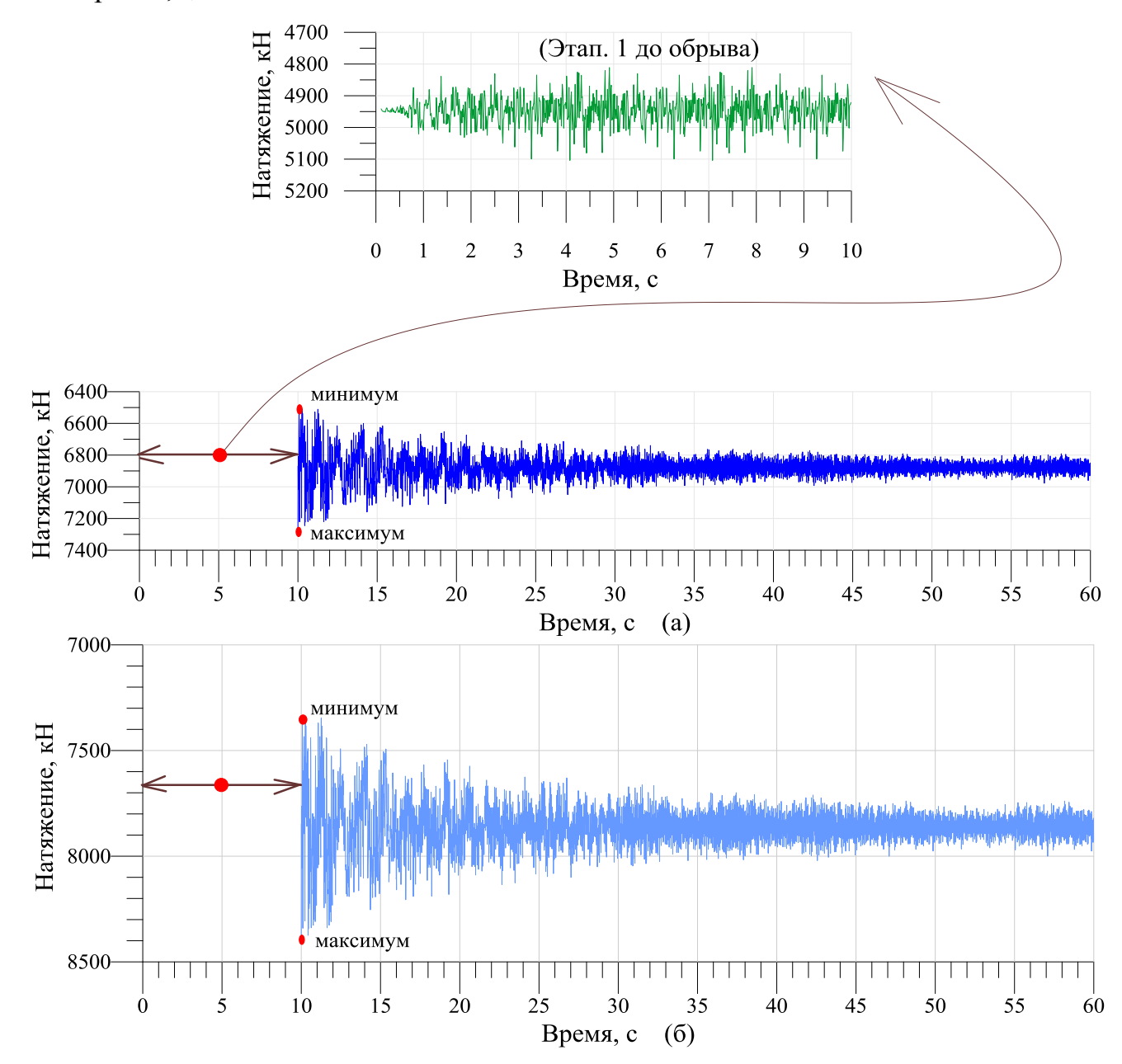
### 4.6 Влияние внезапного обрыва вант на увлечение растягивающей силы в смежных вантах

# 4.6.1. Оценка натяжения в смежных вантах при рассмотренных сценариях обрыва вант

При моделировании процесса обрыва натяжение в смежных вантах увеличивается при рассмотренных сценариях. Цель оценки состояла в том, чтобы узнать, превышает ли натяжение в смежных вантах разрушающую силу вант. Для ванта 1 максимальные натяжения, соответствующие первому, второму и третьему сценариям равны 7279 кH, 8418 кH, 10646 кH, соответственно. Следовательно, в

вантах возникнут напряжения, превышающие предел прочности, и в конечном итоге происходит обрыв.

Результаты показывают, что обрыв одного ванта из параллельных сторон моста (первый сценарий обрыва) не приводит к прогрессирующему обрушению, однако в третьем сценарии, после обрыва ванта 1, остальные смежные ванты воспринимают дополнительные натяжения и обрываются прогрессивным образом, схожим с распадом ряда домино. Таким образом, мост разрушается. Рис. 4.9 (а, б, в) показывает изменение натяжения ванта 1 со временем при сценарии.1,2,3.



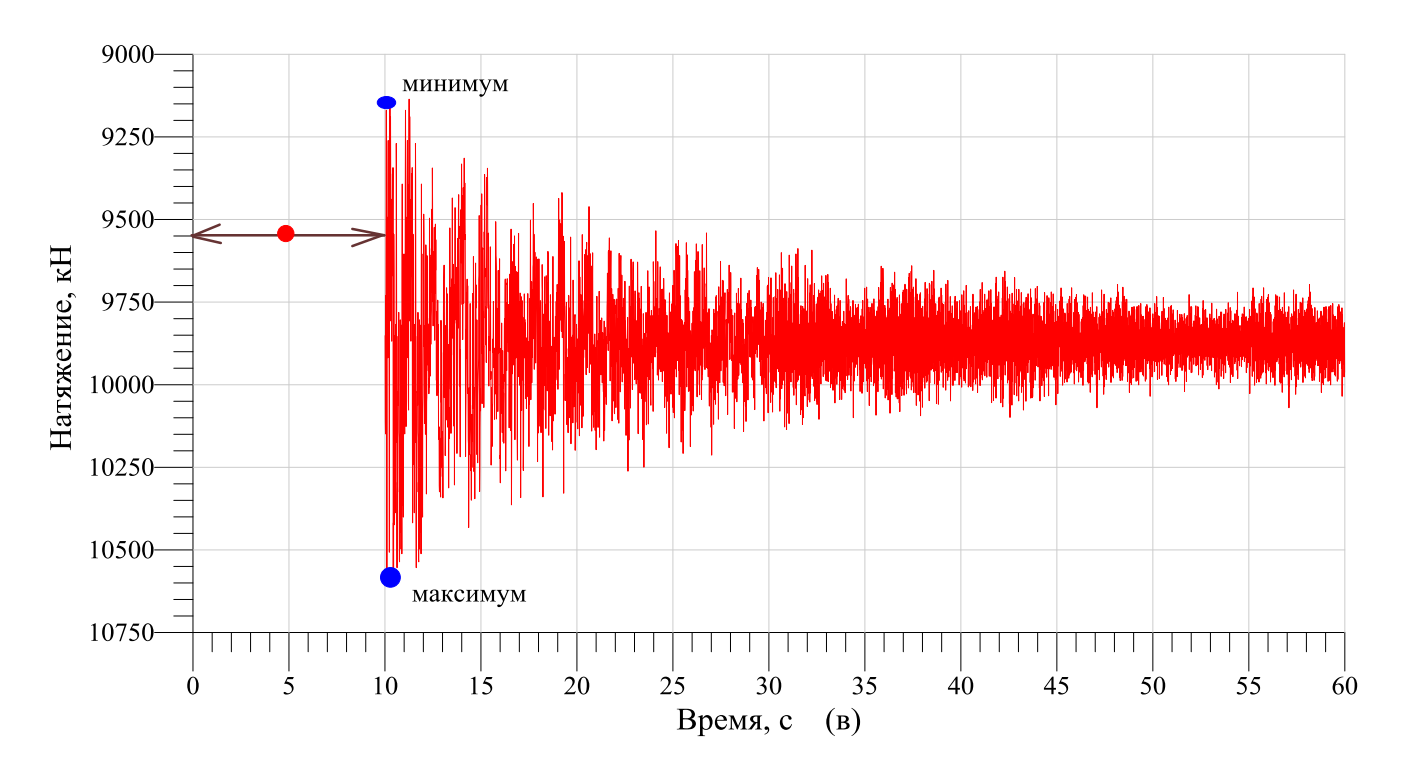


Рис.4.9. Изменение натяжения ванта 1 со временем; а - при сценарии 1, б - при сценарии 2, в - при сценарии 3

# 4.6.2. Предлагаемый динамический коэффициент для смежных вант при рассмотренных сценариях обрыва вант

Чтобы избежать обрыв вант, который приводит к обрушению моста, были получены коэффициенты для смежных вант для каждого сценария обрыва, учитывающие динамический эффект. Для первого, второго и третьего сценария динамические коэффициенты для самых длинных смежных вант получились равными (1.31 - 1.47), (1.48 - 1.70), (1.85 - 2.15) соответственно, как показано на рис. 4.10.

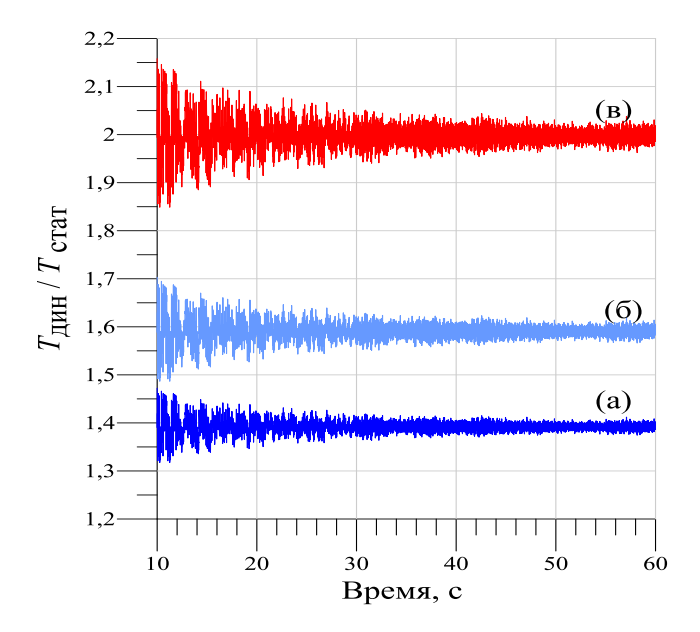


Рис.4.10. Изменение динамического коэффициента для самых длинных смежных вант при рассмотренных сценариях обрыва;

а - при сценарии 1, б - при сценарии 2, в - при сценарии 3

#### Выводы

Поскольку натяжение вант является основным параметром для оценки живучести вантовых мостов, любые значительные изменения этой силы могут приводить к разрушению несущих элементов моста. Таким образом, цель этой главы состоит в том, чтобы продемонстрировать подход, который использует полный нелинейный динамический анализ для моделирования внезапного обрыва вант. Для этой цели составлены алгоритм и программа на языке ФОРТРАН. Ключевые выводы исследования:

- обрыве При внезапном вант воспринимают смежные ванты Это увеличение дополнительные натяжения. должно учитываться при проектировании моста с использованием динамического коэффициента, на который умножается окончательное натяжение ванта.
- Чтобы проследить действия обрыва вант в процедурах алгоритма, обрывающий вант удаляется и соответствующая его сила прикладывается в опорные узлы вант на балке жёсткости. После обрыва мост приходит к новому статическому положению, где динамический отклик происходит вокруг нового положения.

### ЗАКЛЮЧЕНИЕ

При выполнении диссертационной работе получены следующие основные результаты и выводы:

- 1. На основе нелинейного математического моделирования разработан энергетический численный метод определения оптимального натяжения вант, обеспечивающий минимальные деформации моста. Для реализации этого метода создан собственный алгоритм и программа на языке ФОРТРАН, более эффективный по сравнению с алгоритмами, предложенными другими авторами.
- 2. Исследована эффективность несущей способности трёх схем вант: "арфа", "веер" и радиальная, показавшая, что по перемещениям радиальная схема является наиболее эффективной.
- 3. Выполнено специальное детальное сопоставление результатов предлагаемого метода с одной из последних работ по рассматриваемой теме, подтвердившее преимущество предлагаемого метода.
- 4. Предложена новая универсальная зависимость между прогибами балки жёсткости и пилонами, которую целесообразно использовать при предварительном проектировании моста.
- 5. Численно, по известной программе *SAP 2000*, исследованы частотные характеристики моста с представлением мультипликации. Исследование полностью выявило динамические характеристики моста, необходимые для динамического расчета.
- 6. Впервые аналитическим методом исследовано влияние продольных усилий в балке жесткости на значения частот свободных колебаний вантовых мостов. Вычисления выполнены для радиальной схемы вант с целью верификации результатов численного метода КЭ. Определены критические скорости ветра для вант и среднего пролета моста при ветровом резонансе.
- 7. Разработан новый специальный алгоритм нелинейного динамического расчёта на языке ФОРТРАН для исследования живучести вантового моста при внезапном обрыве вант, выявлен динамический эффект этого воздействия,

предложен динамический коэффициент для смежных вант при обрыве для рассматриваемой ситуации.

### СПИСОК ЛИТЕРАТУРЫ

- 1. **Ализаде Хое Шахрам.** Оптимизация параметров двухпилонных металлических вантовых мостов при их автоматизированном проектировании с применением ПК / Дис. на соискание ученой степени канд. техн. Наук. Москва. 2003. С 152.
- 2. **Ананьин, А.И.** Основные уравнения строительной в нелинейном расчете гибкой нити / А.И. Ананьин // Современные методы статического и динамического расчета сооружений и конструкций. Воронеж: изд-во ВГАСА. 2002. С. 69–75.
- 3. **Барановский, А.А.** Мосты больших пролетов / А.А. Барановский // Проектирование Висячих и Вантовых Мостов (курс лекций). 2003. С. 19.
- 4. **Бахтин С.А.** Учет геометрической нелинейности при оптимальном проектировании висячих пролетных строений мостов / С.А Бахтин // Автореферат дис. к. т. н. Новосибирск. 1982. 23с.
- 5. **Бахтин, С.А.** Висячие и вантовые мосты / С.А Бахтин. Волгоград: ВГТУ, 2002, С. 103.
- 6. **Бахтин, С.А.** Висячие и вантовые мосты. Проектирование, расчет, особенности конструирования / С.А. Бахтин, И.Г. Овчинников, Р.Р. Инамов. Саратов. 1999. С. 6-8.
- 7. **Болотин, В.В.** Вибрации в технике / В.В. Болотин // М., «Машиностроение».—1978. Том. 1—352 с.
- 8. **Гениев, Г.А.** Прочность и деформативность железобетонных конструкций при запроектны воздействиях [Текст] / Г.А. Гениев, В.И. Колчунов, Н.В. Клюева [и др.]. М.: АСВ, 2004. 216 с.
- 9. **Гончаров, В.М.** Деформационный расчет многопролетных висячих конструкций / В.М. Гончаров // Дис. канд. техн. наук. Новочеркасск. 1983. 146 с.

- 10. **Горелов, С.Н.** Результаты численных исследований вантового пешеходного моста через реку Урал / С.Н. Горелов, В.И. Жаданов, М.А. Аркаев // ВЕСТНИК ОГУ. Сентябрь 2012. Vol. 9, N 145. PP.177-183.
- 11. **Дмитриев, Ю.В.** Аналитические методы расчета висячих и вантовых мостов / Ю.В. Дмитриев, А.С. Дороган // Кафедра «Мосты и тоннели» . Хабаровск. –.2008. с.196.
- 12. **Зылев, В.Б.** Статический расчет нелинейных ните-стержневых систем / В.Б. Зылев, А.В. Штейн // Методические указания к выполнению индивидуальных домашних заданий по дисциплине "Динамика и устойчивость сооружений". Часть II. М. –1989. –36 с.
- 13. **Кадисов, Г.М.** Конечно-элементное моделирование динамики мостов при воздействии подвижной нагрузки / Г.М. Кадисов, В.В. Чернышов// Инженерно-строительный журнал. 2013. Vol. 9– PP.56-63
- 14. **Казакевич М.И.** Аэроупругая неустойчивость балочных мостов / М.И. Казакевич //Металлические конструкции. 2010. Том 16. №3. С. 163-170. [17]
- 15. **Качурин, В.К.** Проектирование висячих и вантовых мостов / В.К Качурин, А.В Брагин. М.: Транспорт, 1971. С. 280.
- 16. **Кириенко, В.И.** Вантовые мосты / В.И Кириенко. Киев: Будівельник, 1967, С. 144.
- 17. **Кирсанов, Н.М**. Висячие и вантовые конструкции / Н.М Кирсанов. М.: Стройиздат, 1981. С 158.
- 18. **Клюева, Н.В.** К анализу исследований живучести конструктивных систем при запроектных воздействиях [Текст] / Н.В. Клюева, А.С. Бухтиярова, Н.Б. Андросова // Строительство реконструкция. Орел ГТУ. 2009. № 4/24 (572). С. 15-21.
- 19. **Коренев, Б.Г.** Справочник по динамике сооружений / Б.Г. Коренев, И.М. Рабинович // М: Стройиздат.—1972.— 512 с.

- 20. **Крыльцов, Е.И.** Вантовые мосты / Е.И. Крыльцов. М.: Трансжелдориздат, 1935, C.239.
- 21. **Кушнерев, А.М.** Проектирование и расчет висячих и вантовых мостов / А.М. Кушнерев. Новосибирск, 1969. 102 с.
- 22. **Ле Ван Мань.** Разработка методики и программы автоматизации проектирования вантовых мостов со сталежелезобетонными балками жесткости / Дис. на соискание ученой степени канд. техн. наук. Москва. 2010. С 154.
- 23. **Масленников, А. М**. Ветровой резонанс вант мостов / А. М. Масленников, **Рагех Б. О** // Актуальные проблемы строительства и архитектуры: V Международная конференция СПБГАСУ. —2013, Часть I— С.338-342.
- 24. **Масленников, А. М**. Некоторые аспекты динамики вантового моста / А. М Масленников, **Рагех Б. О** // Вестник гражданских инженеров. 2014. Ч. 1(42). С. 37-43.
- 25. **Масленников, А.М.** Ветровой резонанс элементов мостов / А.М. Масленников, **Рагех Б. О** // Журнал «СТРОЙ МЕТАЛЛ». 2013. № 4(35). С. 20-22.
- 26. **Масленников, А.М.** Оценка конструктивной безопасности при динамическом воздействии [Текст] А.М. Масленников // Доклады 66 научн. конф. СПбГАСУ. СПб. 2009. С. 55-60.
- 27. **Назаров, Ю.П.** К проблеме обеспечения живучести строительных конструкций при аварийных воздействиях [Текст] / Ю.П. Назаров, А.С. Городецкий, В.Н. Симбиркин // Строительная механика и расчет сооружений. 2009. N = 4. C. 5-9.
- 28. **Нгуен Тхак Куанг.** Совершенствование программы автоматизированного проектирования двухпилонных металлических вантовых мостов / Дис. на соискание ученой степени канд. техн. наук. Москва. 2007. С 141.
- 29. **Овчинников, И.Г.** Висячие и вантовые мосты / И.Г Овчинников // Эстетические проблемы. Саратов: СГТУ, 2002. С. 108.

- 30. **Пановко Я.Г.** Устойчивость и колебания упругих систем / Я.Г. Пановко, И.И. Губанова // М., «Наука», 1964. 336 с.
- 31. **Петропавловский, А.А.** Вантовые мосты / А.А Петропавловский. М.: Транспорт, 1985. С. 224.
- 32. **Петропавловский, А.А.** Проектирование металлических мостов / А.А Петропавловский. М.: Транспорт, 1982. С. 202-316.
- 33. **Рагех Б. О.** Сравнение двух алгоритмов определения оптимального предварительного натяжения вант / Б. О. Рагех // Актуальные проблемы строительства и архитектуры: Материалы международной научно-практической конференции студентов, аспирантов, молодых ученых и докторантов СПБГАСУ. 2013. C.24-26.
- 34. **Рагех Б. О.** Статический анализ вантовых схем мостов системы (арфа) / Б. О Рагех // Актуальные проблемы строительства и архитектуры: СПБГАСУ. 2012, Часть I— С.12-16.
- 35. **Рагех Б. О.** Численный анализ вантовых схем большепролетных мостов/ Б. О Рагех // Актуальные проблемы строительства и архитектуры:. Материалы международной научно-практической конференции студентов, аспирантов, молодых ученых и докторантов СПБГАСУ. —2012, Часть II—С.100-103.
- 36. **Рагех Б. О.** Энергетический подход при анализе вантовых схем мостов системы «АРФА» / Б. О Рагех, //Вестник гражданских инженеров, . 2012— № 6(35) .— С. 60-67.
- 37. **Сафронов, В.С.** Расчет вантово-балочных систем по деформированной схеме / В.С Сафронов, А.Г. Рыдченко // Исследование висячих строительных конструкций.1. Воронеж. –1983. С. 3-12.
- 38. **Светлицкий В.А.** Сборник задач по теории колебаний. / В.А. Светлицкий, И.В. Стасенко // М., «Высшая школа».—1973. 454 с.
- 39. **Сергеев, Н.Д.** Проблемы оптимального проектирования конструкций / Н.Д. Сергеев, А.И Богатырев // Л., Стройиздат. 1971. 136 с.

- 40. **Сильницкий, Ю.М.** Расчет висячих мостов по деформированной схеме / Ю.М Сильницкий // Изд.-во ЛИИЖТ. –1967. –108 с.
- 41. **Скворцов, А.В.** Расчетные модели гибкой нити применительно к висячим мостам и вантово-балочным системам / А.В. Скворцов // дис. на соискание ученой степени канд. техн. наук. М.: МИИТ. 2005. –248с.
- 42. **Смирнов, В.А**. Висячие мосты больших пролетов / В.А Смирнов. М.: Высшая школа, 1970. С.408.
- 43. **Фадеев, Д.К.** Вычислительные методы линейной алгебры / Д.К Фадеев, З.Н. Фадеева М.: Физматгиз. 1963. 735 с.
- 44. **ABBAS, S. A.** Nonlinear analysis of cable-stayed bridges / S. ABBAS, A. Scodelis // Proc.Int. Conference on Cable-Stayed and suspension bridges. Deauville, France. 1994. Vol.2 PP. 195-210.
- 45. **Adeli H.** Fully nonlinear analysis of composite girder cable- stayed bridges / H. Adeli, J. Zhang // Computer and structures. –1995. –Vol. 54. PP. 267-277.
- 46. **Astiz, M.A.** The Non-Linear Structural Problem in Cable-Stayed Bridges / M.A. Astiz, J. Manterola // Numerical Methods for Non-Linear Problems. 1980. Vol. 1. PP. 343-353.
- 47. **Baldomir, A.** Cable optimization of a long span cable stayed bridge in La Coruña (Spain) / A. Baldomir, S. Hernandez, F. Nieto , J.A. Jurado // Advances in Engineering Software. 2010. Vol. 41.– PP. 931–938.
- 48. **Baron, F.** Analytical studies of a cable stayed girder bridge / F Baron, S.Y. Lien // Computer and structures. −1973. − Vol. 3. № 3. − PP. 443-465.
- 49. **Blesson B, Thomas.** Parametric Study of Shapes of Pylon for Cable Stayed Bridge / Thomas Blesson B, S. P. Thakkar // NIRMA Universitty JournaL Of Engineering And Technology. JAN-JUN 2011.— Vol. 2. №1. PP. 9-16.
- 50. **Brownjohn, James M.W.** Dynamic performance of a curved cable-stayed bridge / James M.W. Brownjohn, Lee. Jeffery, Cheong Bernard // Engineering Structures. 1999. Vol. 21. PP.1015–1027.

- 51. **Bruno, D.** A 3D nonlinear static analysis of long-span cable stayed bridges / D. Bruno, F. Greco, P. Nevone Blasi, E. Bianchi // Annals of Solid and Structural Mechanics. 2013. Vol. 5. № 2., 2013. PP. 15-34.
- 52. **Buchholdt, H. A.** An introduction to cable roof structures / H. A. Buchholdt. London: Cambridge University press. 1985. PP. 56–75.
- 53. **Buchholdt, H. A.** An introduction to cable roof structures / H. A, Buchholdt // Cambridge University press, London, Second edition, 1999.– P. 304.
- 54. **Chen Wai Fah.** Bridge Engineering Handbook / Wai Fah Chen, Duan lian // CRS Press LLC. 1999. PP.19-1, 19-18.
- 55. **Chen, DW.** Determination of initial cable forces in prestressed concrete cable-stayed bridges for given design deck profiles using the force equilibrium method / DW Chen, Au. FTK, Tham. LG, Lee. PKK // J Comput Struct. 2000. Vol. 74 PP.1-9.
- 56. **Cheng, S.H.** Modeling of cable vibration effects of cable-stayed bridges / S.H. Cheng, Lau. David T// Earthquake Engineering And Engineering Vibration, Canada. -2002. Vol. 1, N. 1. PP.74-85.
- 57. **Cheung, MS.** Nonlinear analysis of cable-stayed bridge by finite strip method / MS. Cheung, W. Li, LG. Jaeger // Computers & Structures . − 1988. − Vol. 29. №4. − PP. 687–692.
- 58. **Chin- Shing, Kao.** The influence of broken cables on the structural behavior of long- span cable- stayed bridges / Kao Chin- Shing, Kao. Chang- Huan // Journal of Marine Science and Technology, 2010. –Vol. 18(3).– PP. 395-404.
- 59. **Clough, Ray W.** Dynamic of structures / Ray W. Clough, Penzien Joseph // Computer and structures, Third Edition. 2003.– PP. 201-202.
- 60. **Ernst, H.J.** Der e-modul von seilen unter beruecksichtigung des durchhanges. Der Bauingenieur / H.J. Ernst. − 1965. − Vol. 40. №2. − PP.52–55.
- 61. **F.T.K, Au**. On the determination of natural frequencies and mode shapes of cable- stayed bridges / Au. F.T.K, Y.S. Cheng, Y.K. Cheng, D.Y Zheng // Applied mathematical modeling. —2001. Vol. 25. PP.1099-1115.

- 62. **Fleming, J.F.** Nonlinear static analysis of cable-stayed bridge structures / J.F Fleming // Computer and Structures. −1979. −Vol. 10. №4. − PP. 621-635.
- 63. **Freires, A.M.S.** Geometrical nonlinearities on the static analysis of highly flexible steel cable-stayed bridges / A.M.S. Freires, J.H.O. Negrao, A.V. Lopes // Comp. & Struct. 2006. Vol. 84. PP. 2128–2140.
- 64. **Gimsing, N.J.** Cable Supported Bridges (Concept and Design) / **N.J.** Gimsing //, John Wiley and Sons. New York. 1993. PP. 149, 164.
- 65. **Gimsing, N.J.** Cable Supported Bridges: Concept and Design (Third Edition) / N.J. Gimsing, C.T. Georgakis // John Wiley and Sons, New York. –2012. P.590.
- 66. **Gomez, Roberto.** Analysis of a Cable-Stayed Bridge: The Case of The Baluarte Bridge / Roberto. Gomez, Ronald. Gomez, Adrián Pozos, José A. Escobar, Raúl Sanchez //IABSE Symposium, Venice. 2010.— Vol. 8. PP. 219-226.
- 67. **GSA** (United States General Services Administration). Progressive Collapse Analysis and Design Guidelines for New Federal Office Buildings and Major Modernization Project, Washington, DC, 2003.– PP. 2-9.
- 68. **Hal, S.** A note of the I-35W bridge collapse / S. Hal //Journal Bridge Engineering, 2010. –Vol. 15(5).– PP. 608-614.
- 69. **Hashamdar, H.** Mathematical modeling for analysis cable structures / H. Hashamdar, M. Tahir, Z. Ibrahim, M. Jameel, H.B. Mahmud, Jahangirzadeh // Scientific Research and Essays. 2011. Vol.6. № 32.– PP. 6681-6694.
- 70. **Hassan, M.** Optimum Design of Cable-Stayed Bridges / M. Hassan // PhD Thesis, The University of Western Ontario. Canada. 2010– PP.198.
- 71. **Hegab, H. I. A.** Energy Analysis of Cable-Stayed Bridges / H. I. A. Hegab // Struct. Engrg, ASCE. 1986. Vol. 112. №5. PP.1182-1195.
- 72. **Huddleston, J.V.** Computer Analysis of Extensible Cables / J.V. Huddleston // J. Eng. Mechanics Div, ASCE. –1981. Vol. 107, 1981. PP. 27-37.

- 73. **Huddleston, J.V.** Poisson Effect in Extensible Cables with both ends fixed / J.V. Huddleston, H. J. Ham // J. Eng. Mechanics Div., ASCE. Vol. 1994. Vol. 120. PP. 1590-1595.
- 74. **Janjic, D.** Optimization of cable tensioning in cable-stayed bridges / D. Janjic, M. Pircher, H. Pircher // J Bridge Eng ASCE. 2003. Vol. 8 PP.131-137.
- 75. **Jian-guo, Cai.** Comparison of various procedures for progressive collapse analysis of cable-stayed bridges / Cai. Jian-guo, X.U. Yi-xiang, Li-ping Zhuang, Jian. Feng, Jin. Zhang // Journal of Zhejiang University-Science A (Applied Physics & Engineering), 2012. –Vol. 13(5).– PP. 323-334.
- 76. **Kanok-Nukulchai W.** Nonlinear Modelling of cable-Stayed bridges / W. Kanok-Nukulchai, G. Hong // J. Construct. Steel Research. 1993. Vol.26– PP. 249-266.
- 77. **Kanok-Nukulchai, W.** Mathematical Modelling of cable-stayed bridges / W. Kanok-Nukulchai, P.K.A. Yiu, D.M. Brotton // Struc. Eng. Int. 1992. Vol. 2. PP. 108-113.
- 78. **Karoumi, R.** Some modeling aspects in the nonlinear finite element analysis of cable supported bridges / R. Karoumi // Computer and structures. 1999. Vol. 71. №4. PP.397-412.
- 79. **Lazar, B. E.** Stiffness Analysis of Cable-Stayed Bridge / B. E Lazar // J. Struct. Div, ASCE. 1972. Vol. ST7. PP.1605-1612.
- 80. **Lee, TY.** Optimization of tensioning strategy for asymmetric cable-stayed bridge and its effect on construction process / TY. Lee, YH. Kim, SW Kang // J Struct Multidisc Optim. 2008. Vol. 35– PP.623-629.
- 81. **Mario, P.** Structural dynamics theory and computation / P. Mario, L. William // Kluwer Academic Publishers Fifth Edition, 2004.– PP. 182–184.
- 82. **Marko Justus Grabow.** Construction Stage Analysis of Cable-Stayed Bridges / Grabow Marko Justus // Thesis in partial fulfillment of the requirements for the degree of diploma Inginur. Hamburg, Germany. 2004. P.267.

- 83. **Maslennikov, A.M.** The comparison between two Algorithms for evaluating of the optimum initial tension in cables / A.M. Maslennikov, **Rageh B.O** // Актуальные проблемы строительства и архитектуры: V Международная конференция СПБГАСУ. —2013, Часть I— С.332-337.
- 84. **Metin, H. U.** The Behavior of Cable-Stayed Bridges Having Different Cable Arrangements under Static and Dynamic Loads / H.U. Metin, P.U. Selim, Z.I. Yousef, M. Arslan // GEMESED'11 Proceedings of the 4th WSEAS international conference on Energy and development environment. 2011. PP.242-246.
- 85. **Monforton, G. R.** Analysis of Truss-Cable Structures / G. R Monforton, N. M. EI-Hakim // Computers & Structures. –1980. Vol. 11– PP. 327-335.
- 86. **Morgenthal, Gu.** Cable stayed bridges- Earthquake response and passive control / Gu. Morgenthal // Msc dissertation: Civil Engineering department, London SW7 2BU. 1999. PP.18.
- 87. **Nazmy, A. S.** Three-Dimensional Nonlinear Static Analysis of Cable-Stayed Bridges / A. S. Nazmy, A. M. Abdel-Ghaffar // Comp. & Struct. −1990. − Vol. 34. № 2. − PP. 257-271.
- 88. **Negrao, J.H.O.** Optimization of cable-stayed bridges with three-dimensional modeling / J.H.O. Negrao, L.M.C. Simoes // J Comput Struct. 1997. Vol. 64. PP.741-758.
- 89. **Piegl, L.** On NURBS: a survey / L. Piegl // Computer Graphics and Applications, IEEE. 1991– Vol. 11. №1– PP.55-71.
- 90. **Pourazady, M.** Direct manipulations of B-spline and NURBS curves / M. Pourazady, X. Xu // Advances in Engineering Software. − 2000− Vol. 31. №2− PP.107-118.
- 91. **Qingxiong, W.u.** Dynamic Characteristics of Megami Cable-stayed Bridge "A Comparison of Experimental and Analytical Results" / W.u. Qingxiong, Yuichi Kitahara, Kazuo Takahashi, Baochun Chen // Steel structures. 2008. Vol.8. PP. 1-9.

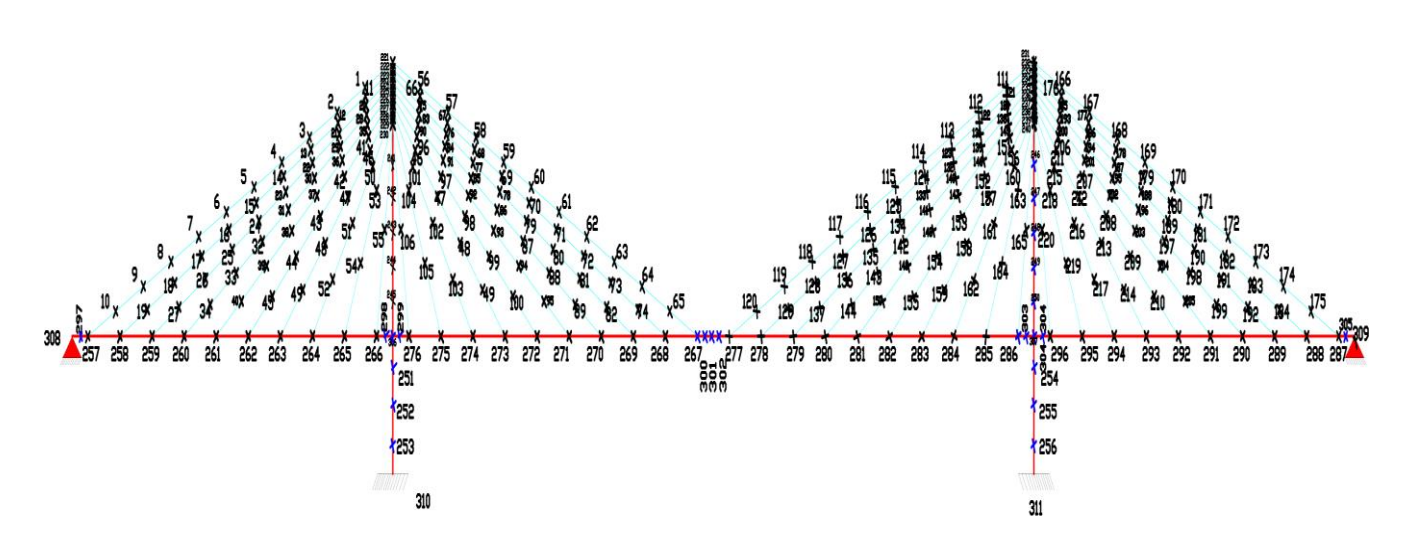
- 92. **Qingxiong, Wu.** Analysis of Local Vibrations in the Stay Cables of an Existing Cable-stayed Bridge under Wind Gusts / Wu. Qingxiong, Kazuo. Takahashi, Chen Baochun // Structural Engineering and Mechanics. 2008.— Vol.30. №5. PP.513-534.
- 93. **Rageh, B.O.** Deck Pylon displacement relationship in the non-linear static analysis of cable stayed bridges. (Отношение деформации балка жесткостипилон при нелинейном статическом анализе вантовых мостов) / B.O. Rageh // Bulletin of Civil Engineers. 2014. Vol. 3, N 44. P. 102-106.
- 94. **Rageh, B.O.** Deformation of three types of cable-stayed bridge under static load (Деформации трех типов вантового моста при статической нагрузке) / B.O. Rageh // Bulletin of Civil Engineers. 2013. Vol. 6(41). PP. 47–52.
- 95. **Rageh, B.O.** Non Linear Static and Modal Analysis of Three Types of Cable-Stayed Bridges / B.O. Rageh, A.M. Maslennikov // Journal of Mathematical Theory and Modeling IISTE. 2013. Vol. 3(12). PP. 92-97.
- 96. **Rajaraman, A.** Nonlinear Analysis of Cable-Stayed Bridges / A. Rajaraman, K. Loganathan, N. V. Raman // IABSE Proc. November 1980. PP. 37-80.
- 97. **Ruiz-Teran, A.M.** Dynamic amplification factors in cable-stayed structures / A.M. Ruiz-Teran, A.C. Aparicio // Journal of Sound and Vibration, 2007. Vol. 300. PP. 197-216.
- 98. **Saafan, S. A.** Non-linear behavior of Structural Plane Frames / S. A Saafan // Proceeding of the American Society of Civil Engineers. −1963. − Vol.89. № ST4. − PP.557-559.
- 99. **Seok Kim, Ki.** Analysis of target configurations under dead loads for cable- supported bridges / Ki. Seok Kim, Hae Sung Lee // Computer and structures. 2001. Vol.79.– PP. 2681-2692.
- 100. **Simoes, L.M.C.** Optimization of cable-stayed bridges with box-girder decks / L.M.C. Simoes, J.H.J.O. Negrao // J Adv. Eng. Software. 2000. Vol. 31–PP.417-423.

- 101. **Smith, B. S.** The single plane cable-stayed girder bridge: a method of analysis suitable for computer use / B. S Smith // Proc. Inst. Civ. Eng. 1967. Vol. 37. PP. 183-194.
- 102. **Smith, B.S.** Linear method of analysis for double plane cable-supported girder bridge / B.S Smith // Proc. Inst. Civ. Engineers. 1968. Vol. 39. PP 85-94.
- 103. **Starossek, U.** Progressive Collapse of Bridges. Aspects of Analysis and Design / U. Starossek// Proceedings of the International Symposium on Sea-Crossing Long-Span Bridges, Mokpo, Korea, 2006.—PP. 1-22.
- 104. **Stefanou, G. D.** Conjugate gradients for calculating the response of large cable nets to static loads / G. D. Ste- fanou, E. Moossavi, S. Bishop et al. // Computers & Struc- tures. 1993. Vol. 49, N 5. PP. 843–848.
- 105. **Stefanou, G. D.** General method for the analysis of cable assemblies with ixed and lexibe elastic boundaries / G. D. Stefanou, S. E. M. Nejad // Computers & Structures. 1995. Vol. 55, N 5. PP. 897–905.
- 106. **Sukhen Chatterjee.** The design of modern steel structures (Second Edition) / Chatterjee Sukhen // Wiley Blackwell. 2003. PP.183-187.
- 107. **Sung, YC.** Optimum post-tensioning cable forces of Mau-Lo His cable-stayed bridge / YC. Sung, DW. Chang, EH. Teo // J Engineering Structures. 2006. Vol. 28.– PP. 1407-1417.
- 108. **Tang, M.C.** Analysis of cable-supported girder bridges / M.C Tang // J. Struct. Div. ASCE. −1971. Vol. 97 . № ST5. PP. 1481-1496.
- 109. **Tao Zhang.** Dead Load Analysis of Cable-Stayed Bridge / Tao. Zhang, Wu ZhiMin // International Conference on Intelligent Building and Management: IACSIT Press, Singapore. 2011. Vol. 5.– PP. 270-274.
- 110. **Troitsky, M.S.** Cable- stayed bridges (Theory and design)  $2^{nd}$  / M.S Troitsky //Advision of Blackwell scientific. -1988. -477 p.
- 111. **Walter Podolny, Jr.** Historical Developments of Cable- Stayed Bridges / Jr. Walter Podolny, J.F. Fleming // Journal of the Structural Division: Proceeding of the American Society of Civil Engineers. −1972. − Vol. 98. № 9. − PP. 2079–2095.

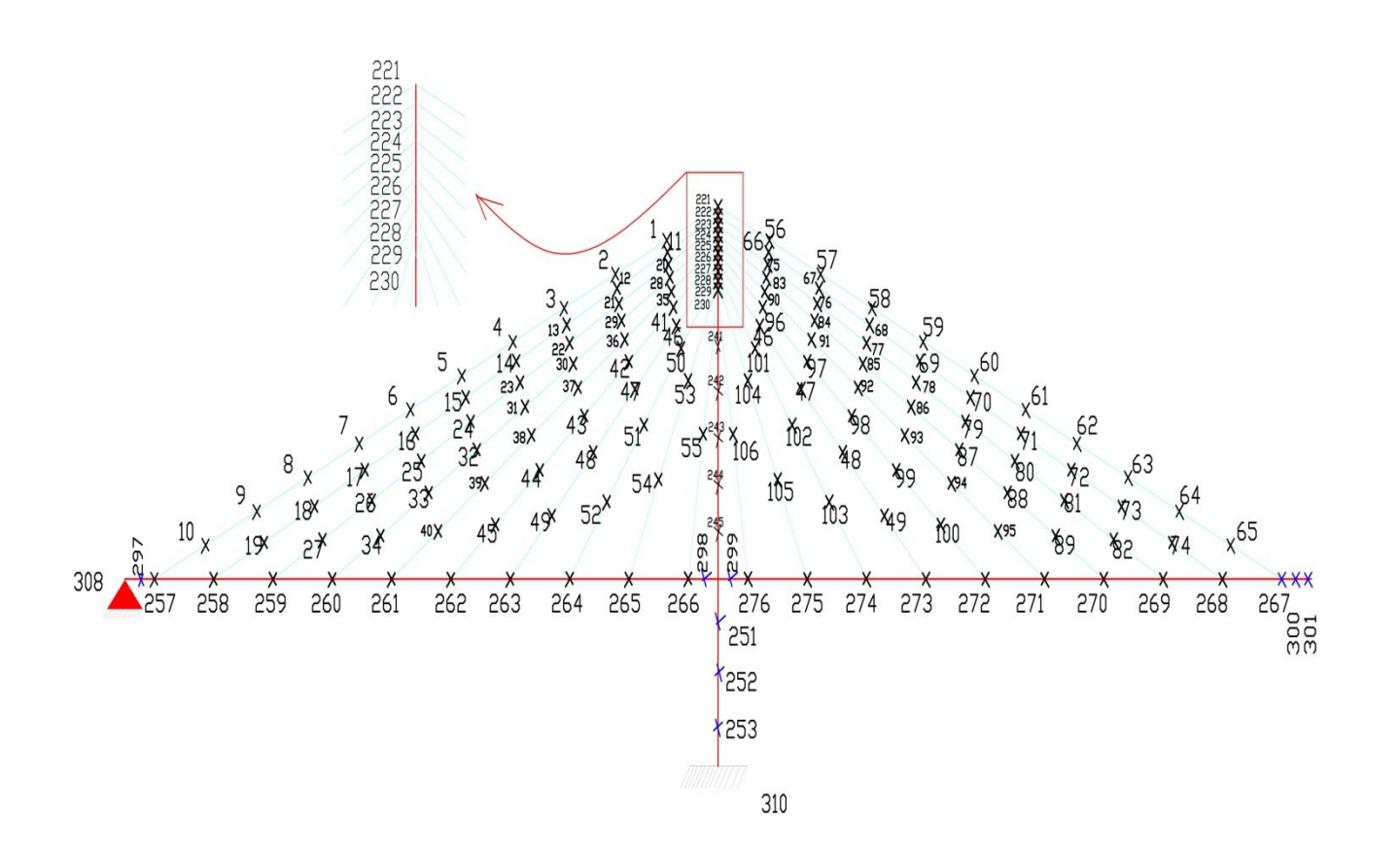
- 112. **Walter, R.** Cable Stayed Bridges (Second Edition) / R. Walter, B. Houriet, W. Isler, p. Moia, J.F. klein. London. Thomas Telford. 1999. P.234.
- 113. **Wang, Pao-Hsii.** Study on nonlinear analysis of a highly redundant cable-stayed bridge bridges / Pao-Hsii. Wang, Hung-Ta. Lin, Tzu-Yang Tang // Computer and structures. 2002. Vol. 80. № 2. PP.165-182.
- 114. **Wang, PH.** Initial shape of cable-stayed bridges / PH. Wang, TC. Tseng, CG. Yang // J Comput Struct . 1993. Vol. 46. PP.1095-1106.
- 115. **Wang, PH.** Parametric studies on cable-stayed bridges / PH. Wang, CG Yang // Computers & Structures. 1995. Vol. 60. № 2. PP. 243–260.
- 116. **Wilson J. C.** Modelling of a Cable-stayed Bridge for Dynamic Analysis / J.C. Wilson , W. Gravelle // Earthquake Eng & Struct Dyn. —1991.— Vol. 20— PP 707-721.
- 117. **Wolff, M.** Cable-loss analyses and collapse behavior of cable-stayed bridges / M. Wolff, U. Starossek // IABMAS, the Fifth International Conference on Bridge Maintenance, Safety and Management. Philadelphia, USA, July 11-15, 2010.
- 118. **Wolff, M.** Robustness assessment of a cable-stayed bridge / M. Wolff, U. Starossek // IABMAS'08: International Conference on Bridge Maintenance, Safety and Management, Seoul, Korea. July 13-17, 2008.– PP.1-8.
- 119. **Yan, D.** Vulnerability assessment of cable-stayed bridges in probabilistic domain / D. Yan, C.C. Chang // Journal of Bridge Engineering. 2009. –Vol. 14(4).–PP. 270-278.
- 120. **YuHee, Kim.** Effects of cable rupture on dynamic responses of a concrete cable-stayed Bridge / Kim. YuHee, Go. Hyeong, Jae. Cheon Kim, Shin. Soobong // Journal of the Korea institute for structural maintenance and inspection . 2012. Vol. 16 (3) .– PP. 84-91 (in Korean).
- 121. **Zhang, Q**. Finite-Element Model Updating for the Kap Shui Mun Cable-Stayed Bridge / Q. Zhang, T. Chang, C. Chang // J. Bridge Eng. 2001.— Vol. 6. №4. PP. 285–293.

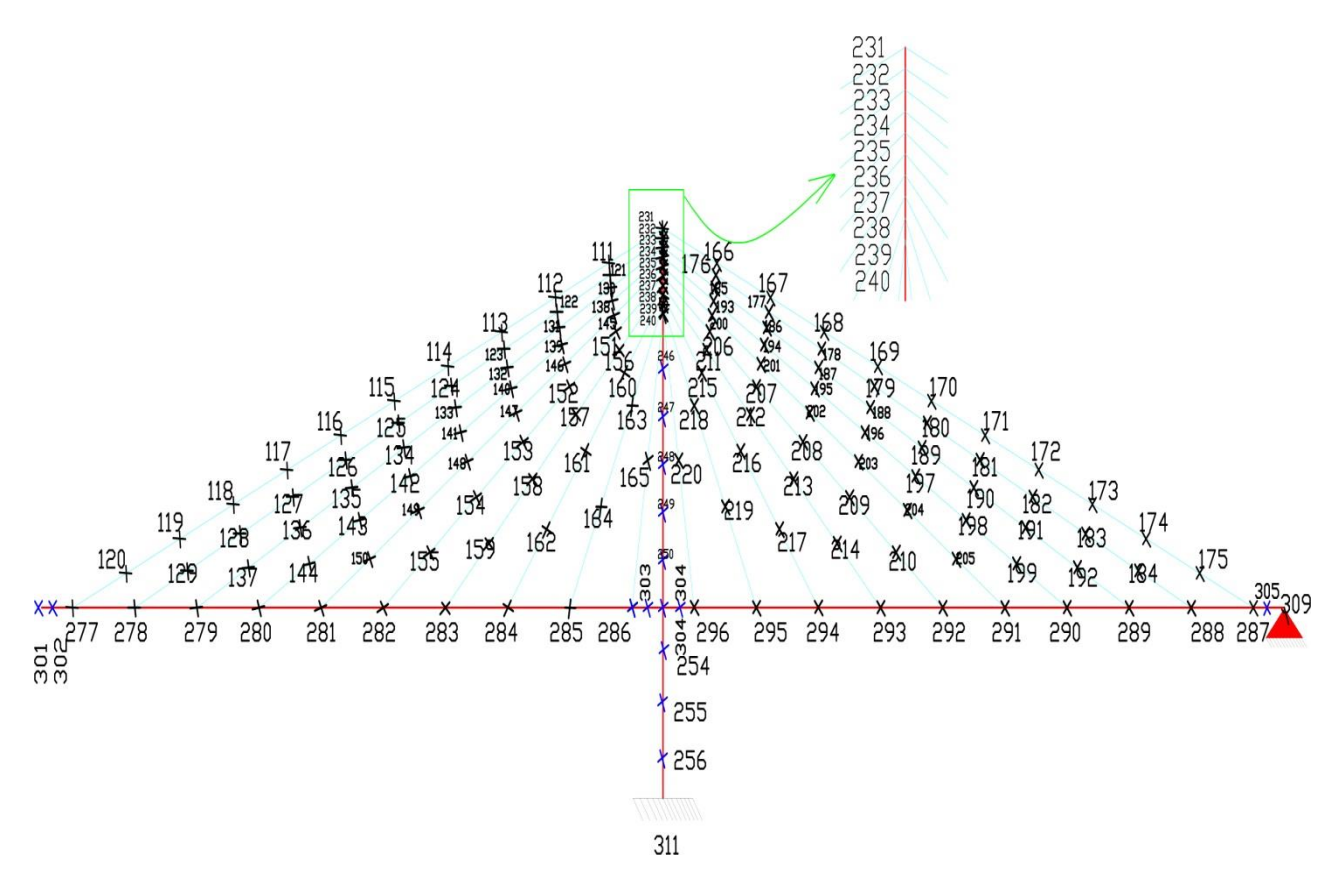
# ПРИЛОЖЕНИЯ

## ПРИЛОЖЕНИЕ.1



Расчетная схема моста H/L=1/5, схема веер, вариант  $1(d_1=d_2)$ 





Координаты для узловых точек (узлы вант) - Npjc=220(общее число в модели)

| Nnic      | x-m    | 7-m   | Nnic       | v.m    | z-m   | Nnic | v.m               | 7.m   |  |
|-----------|--------|-------|------------|--------|-------|------|-------------------|-------|--|
| Npjc<br>1 | 182.73 | 72.73 | Npjc<br>41 | 185    | 58.33 |      | <b>x-m</b><br>300 |       |  |
| 2         |        |       | 41         |        |       | 81   |                   |       |  |
|           | 165.45 | 65.45 |            | 1,0    |       |      |                   |       |  |
| 3         | 148.18 | 58.18 |            |        | 35    |      | 333.33            | 8.44  |  |
| 4         | 130.91 | 50.91 | 44         | 140    | 23.33 | 83   | 216.25            | 64.75 |  |
| 5         | 113.64 | 43.64 | 45         | 125    | 11.67 | 84   | 232.5             | 55.5  |  |
| 6         | 96.36  | 36.36 | 46         | 186    | 54.4  | 85   | 248.75            | 46.25 |  |
| 7         | 79.09  | 29.09 | 47         | 172    | 40.8  | 86   | 265               | 37    |  |
| 8         | 61.82  | 21.82 | 48         | 158    | 27.2  | 87   | 281.25            | 27.75 |  |
| 9         | 44.55  | 14.55 | 49         | 144    | 13.6  | 88   | 297.5             | 18.5  |  |
| 10        | 27.27  | 7.27  | 50         | 187.5  | 49.5  | 89   | 313.75            | 9.25  |  |
| 11        | 183    | 70.2  | 51         | 175    | 33    | 90   | 215.71            | 61.71 |  |
| 12        | 166    | 62.4  | 52         | 162.5  | 16.5  | 91   | 231.43            | 51.43 |  |
| 13        | 149    | 54.6  | 53         | 190    | 42.67 | 92   | 247.14            | 41.14 |  |
| 14        | 132    | 46.8  | 54         | 180    | 21.33 | 93   | 262.86            | 30.86 |  |
| 15        | 115    | 39    | 55         | 195    | 31    | 94   | 278.57            | 20.57 |  |
| 16        | 98     | 31.2  | 56         | 217.27 | 72.73 | 95   | 294.29            | 10.29 |  |
| 17        | 81     | 23.4  | 57         | 234.55 | 65.45 | 96   | 215               | 58.33 |  |
| 18        | 64     | 15.6  | 58         | 251.82 | 58.18 | 97   | 230               | 46.67 |  |
| 19        | 47     | 7.8   | 59         | 269.09 | 50.91 | 98   | 245               | 35    |  |
| 20        | 183.33 | 67.56 | 60         | 286.36 | 43.64 | 99   | 260               | 23.33 |  |
| 21        | 166.67 | 59.11 | 61         | 303.64 | 36.36 | 100  | 275               | 11.67 |  |
| 22        | 150    | 50.67 | 62         | 320.91 | 29.09 | 101  | 214               | 54.4  |  |

| 23   | 133.33 | 42.22 | 63   | 338.18 | 21.82 | 102 | 228    | 40.8  |
|------|--------|-------|------|--------|-------|-----|--------|-------|
| 24   | 116.67 | 33.78 | 64   | 355.45 | 14.55 | 103 | 242    | 27.2  |
| 25   | 100    | 25.33 | 65   | 372.73 | 7.27  | 104 | 256    | 13.6  |
| 26   | 83.33  | 16.89 | 66   | 217    | 70.2  | 105 | 212.5  | 49.5  |
| 27   | 66.67  | 8.44  | 67   | 234    | 62.4  | 106 | 225    | 33    |
| 28   | 183.75 | 64.75 | 68   | 251    | 54.6  | 107 | 237.5  | 16.5  |
| 29   | 167.5  | 55.5  | 69   | 268    | 46.8  | 108 | 210    | 42.67 |
| 30   | 151.25 | 46.25 | 70   | 285    | 39    | 109 | 220    | 21.33 |
| 31   | 135    | 37    | 71   | 302    | 31.2  | 110 | 205    | 31    |
| 32   | 118.75 | 27.75 | 72   | 319    | 23.4  | 111 | 582.73 | 72.73 |
| 33   | 102.5  | 18.5  | 73   | 336    | 15.6  | 112 | 565.45 | 65.45 |
| 34   | 86.25  | 9.25  | 74   | 353    | 7.8   | 113 | 548.18 | 58.18 |
| 35   | 184.29 | 61.71 | 75   | 216.67 | 67.56 | 114 | 530.91 | 50.91 |
| 36   | 168.57 | 51.43 | 76   | 233.33 | 59.11 | 115 | 513.64 | 43.64 |
| 37   | 152.86 | 41.14 | 77   | 250    | 50.67 | 116 | 496.36 | 36.36 |
| 38   | 137.14 | 30.86 | 78   | 266.67 | 42.22 | 117 | 479.09 | 29.09 |
| 39   | 121.43 | 20.57 | 79   | 283.33 | 33.78 | 118 | 461.82 | 21.82 |
| 40   | 105.71 | 10.29 | 80   | 300    | 25.33 | 119 | 444.55 | 14.55 |
| Npjc | x-m    | z-m   | Npjc | x-m    | z-m   |     |        |       |
| 120  | 427.3  | 7.27  | 140  | 551.3  | 46.25 |     |        |       |
| 121  | 583    | 70.2  | 141  | 535    | 37    |     |        |       |
| 122  | 566    | 62.4  | 142  | 518.8  | 27.75 |     |        |       |
| 123  | 549    | 54.6  | 143  | 502.5  | 18.5  |     |        |       |
| 124  | 532    | 46.8  | 144  | 486.3  | 9.25  |     |        |       |
| 125  | 515    | 39    | 145  | 584.3  | 61.71 |     |        |       |
| 126  | 498    | 31.2  | 146  | 568.6  | 51.43 |     |        |       |
| 127  | 484    | 23.4  | 147  | 552.9  | 41.14 |     |        |       |
| 128  | 464    | 15.6  | 148  | 537.1  | 30.86 |     |        |       |
| 129  | 447    | 7.8   | 149  | 521.4  | 20.57 |     |        |       |
| 130  | 583.3  | 67.56 | 150  | 505.7  | 10.29 |     |        |       |
| 131  | 566.7  | 59.11 | 151  | 585    | 58.33 |     |        |       |
| 132  | 550    | 50.67 | 152  | 570    | 46.67 |     |        |       |
| 133  | 533.3  | 42.22 | 153  | 555    | 35    |     |        |       |
| 134  | 516.7  | 33.78 | 154  | 540    | 23.33 |     |        |       |
| 135  | 500    | 25.33 | 155  | 525    | 11.67 |     |        |       |
| 136  | 483.3  | 16.89 | 156  | 586    | 54.4  |     |        |       |
| 137  | 466.7  | 8.44  | 157  | 572    | 40.8  |     |        |       |
| 138  | 583.8  | 64.75 | 158  | 558    | 27.2  |     |        |       |
| 139  | 567.5  | 55.5  | 159  | 544    | 13.6  |     |        |       |
| Npjc | x-m    | z-m   | Npjc | x-m    | z-m   |     |        |       |
| 160  | 587.5  | 49.5  | 200  | 615.71 | 61.71 |     |        |       |
| 161  | 575    | 33    | 201  | 631.43 | 51.43 |     |        |       |
| 162  | 562.5  | 16.5  | 202  | 647.14 | 41.14 |     |        |       |
| 163  | 590    | 42.67 | 203  | 662.86 | 30.86 |     |        |       |
| 164  | 580    | 21.33 | 204  | 678.57 | 20.57 |     |        |       |
| 165  | 595    | 31    | 205  | 694.29 | 10.29 |     |        |       |
| 166  | 617.27 | 72.73 | 206  | 615    | 58.33 |     |        |       |
|      |        |       |      |        |       |     |        |       |

| 167 | 634.55 | 65.45 | 207 | 630   | 46.67 |
|-----|--------|-------|-----|-------|-------|
| 168 | 651.82 | 58.18 | 208 | 645   | 35    |
| 169 | 669.09 | 50.91 | 209 | 660   | 23.33 |
| 170 | 686.36 | 43.64 | 210 | 675   | 11.67 |
| 171 | 703.64 | 36.36 | 211 | 614   | 54.4  |
| 172 | 720.91 | 29.09 | 212 | 628   | 40.8  |
| 173 | 738.18 | 21.82 | 213 | 642   | 27.2  |
| 174 | 755.45 | 14.55 | 214 | 656   | 13.6  |
| 175 | 772.73 | 7.27  | 215 | 612.5 | 49.5  |
| 176 | 617    | 70.2  | 216 | 625   | 33    |
| 177 | 634    | 62.4  | 217 | 637.5 | 16.5  |
| 178 | 651    | 54.6  | 218 | 610   | 42.67 |
| 179 | 668    | 46.8  | 219 | 620   | 21.33 |
| 180 | 685    | 39    | 220 | 605   | 31    |
| 181 | 702    | 31.2  |     |       |       |
| 182 | 719    | 23.4  |     |       |       |
| 183 | 736    | 15.6  |     |       |       |
| 184 | 753    | 7.8   |     |       |       |
| 185 | 616.67 | 67.56 |     |       |       |
| 186 | 633.33 | 59.11 |     |       |       |
| 187 | 650    | 50.67 |     |       |       |
| 188 | 666.67 | 42.22 |     |       |       |
| 189 | 683.33 | 33.78 |     |       |       |
| 190 | 700    | 25.33 |     |       |       |
| 191 | 716.67 | 16.89 |     |       |       |
| 192 | 733.33 | 8.44  |     |       |       |
| 193 | 616.25 | 64.75 |     |       |       |
| 194 | 632.5  | 55.5  |     |       |       |
| 195 | 648.75 | 46.25 |     |       |       |
| 196 | 665    | 37    |     |       |       |
| 197 | 681.25 | 27.75 |     |       |       |
| 198 | 697.5  | 18.5  |     |       |       |
| 199 | 713.75 | 9.25  |     |       |       |

Координаты для жестких узлы:для пилона общее число Nrjp=36; для балки жесткости Nrjd=51; координаты опор Nrsup=4

| Nrjp | x-m | z-m | Nrjd | x-m | Nrjd | x-m | Nsup | x-m | z-m |
|------|-----|-----|------|-----|------|-----|------|-----|-----|
| 221  | 200 | 80  | 257  | 10  | 293  | 670 | 308  | 0   | 0   |
| 222  | 200 | 78  | 258  | 30  | 294  | 650 | 309  | 800 | 0   |
| 223  | 200 | 76  | 259  | 50  | 295  | 630 | 310  | 200 | -40 |
| 224  | 200 | 74  | 260  | 70  | 296  | 610 | 311  | 600 | -40 |
| 225  | 200 | 72  | 261  | 90  | 297  | 5   |      |     |     |
| 226  | 200 | 70  | 262  | 110 | 298  | 195 |      |     |     |
| 227  | 200 | 68  | 263  | 130 | 299  | 205 |      |     |     |
| 228  | 200 | 66  | 264  | 150 | 300  | 395 |      |     |     |
|      |     |     |      |     |      |     |      |     |     |

| 229 | 200 | 64    | 265 | 170 | 301 | 400 |
|-----|-----|-------|-----|-----|-----|-----|
| 230 | 200 | 62    | 266 | 190 | 302 | 405 |
| 231 | 600 | 80    | 267 | 390 | 303 | 595 |
| 232 | 600 | 78    | 268 | 370 | 304 | 605 |
| 233 | 600 | 76    | 269 | 350 | 305 | 795 |
| 234 | 600 | 74    | 270 | 330 | 306 | 200 |
| 235 | 600 | 72    | 271 | 310 | 307 | 600 |
| 236 | 600 | 70    | 272 | 290 |     |     |
| 237 | 600 | 68    | 273 | 270 |     |     |
| 238 | 600 | 66    | 274 | 250 |     |     |
| 239 | 600 | 64    | 275 | 230 |     |     |
| 240 | 600 | 62    | 276 | 210 |     |     |
| 241 | 200 | 51.67 | 277 | 410 |     |     |
| 242 | 200 | 41.33 | 278 | 430 |     |     |
| 243 | 200 | 31    | 279 | 450 |     |     |
| 244 | 200 | 20.67 | 280 | 470 |     |     |
| 245 | 200 | 10.33 | 281 | 490 |     |     |
| 246 | 600 | 51.67 | 282 | 510 |     |     |
| 247 | 600 | 41.33 | 283 | 530 |     |     |
| 248 | 600 | 31    | 284 | 550 |     |     |
| 249 | 600 | 20.67 | 285 | 570 |     |     |
| 250 | 600 | 10.33 | 286 | 590 |     |     |
| 251 | 200 | -10   | 287 | 790 |     |     |
| 252 | 200 | -20   | 288 | 770 |     |     |
| 253 | 200 | -30   | 289 | 750 |     |     |
| 254 | 600 | -10   | 290 | 730 |     |     |
| 255 | 600 | -20   | 291 | 710 |     |     |
| 256 | 600 | -30   | 292 | 690 |     |     |
|     |     |       |     |     |     |     |

Номера элементов ---Мп-и их свойства

| MN | start | END | Α        | E        | L     | MN | start | END | Α        | E        | L     |
|----|-------|-----|----------|----------|-------|----|-------|-----|----------|----------|-------|
|    |       |     |          |          |       |    |       |     |          |          |       |
| 1  | 221   | 1   | 0.011015 | 14720000 | 18.74 | 41 | 257   | 10  | 0.011015 | 14720000 | 18.74 |
| 2  | 221   | 56  | 0.011015 | 14720000 | 18.74 | 42 | 258   | 19  | 0.011015 | 14720000 | 18.7  |
| 3  | 222   | 11  | 0.011015 | 14720000 | 18.7  | 43 | 259   | 27  | 0.011015 | 14720000 | 18.68 |
| 4  | 222   | 66  | 0.011015 | 14720000 | 18.7  | 44 | 260   | 34  | 0.011015 | 14720000 | 18.7  |
| 5  | 223   | 20  | 0.011015 | 14720000 | 18.68 | 45 | 261   | 40  | 0.011015 | 14720000 | 18.78 |
| 6  | 223   | 75  | 0.011015 | 14720000 | 18.68 | 46 | 262   | 45  | 0.011015 | 14720000 | 19    |
| 7  | 224   | 28  | 0.011015 | 14720000 | 18.7  | 47 | 263   | 49  | 0.011015 | 14720000 | 19.52 |
| 8  | 224   | 83  | 0.011015 | 14720000 | 18.7  | 48 | 264   | 52  | 0.011015 | 14720000 | 20.7  |
| 9  | 225   | 35  | 0.011015 | 14720000 | 18.78 | 49 | 265   | 54  | 0.011015 | 14720000 | 23.56 |
| 10 | 225   | 90  | 0.011015 | 14720000 | 18.78 | 50 | 266   | 55  | 0.011015 | 14720000 | 31.4  |
| 11 | 226   | 41  | 0.011015 | 14720000 | 19    | 51 | 267   | 65  | 0.011015 | 14720000 | 18.74 |
| 12 | 226   | 96  | 0.011015 | 14720000 | 19    | 52 | 268   | 74  | 0.011015 | 14720000 | 18.7  |
| 13 | 227   | 46  | 0.011015 | 14720000 | 19.52 | 53 | 269   | 82  | 0.011015 | 14720000 | 18.68 |

| 14   | 227  | 101  | 0.011015  | 14720000  | 19.52  | 54   | 270  | 89   | 0.011015  | 14720000  | 18.7  |
|--|--|--|---|---|--|--|--|--|---|---|---|
| 15   | 228  | 50   | 0.011015  | 14720000  | 20.7   | 55   | 271  | 95   | 0.011015  | 14720000  | 18.78   |
| 16   | 228  | 105  | 0.011015  | 14720000  | 20.7   | 56   | 272  | 100  | 0.011015  | 14720000  | 19  |
| 17   | 229  | 53   | 0.011015  | 14720000  | 23.56  | 57   | 273  | 104  | 0.011015  | 14720000  | 19.52   |
| 18   | 229  | 108  | 0.011015  | 14720000  | 23.56  | 58   | 274  | 107  | 0.011015  | 14720000  | 20.7  |
| 19   | 230  | 55   | 0.011015  | 14720000  | 31.4   | 59   | 275  | 109  | 0.011015  | 14720000  | 23.56   |
| 20   | 230  | 110  | 0.011015  | 14720000  | 31.4   | 60   | 276  | 110  | 0.011015  | 14720000  | 31.4  |
| 21   | 231  | 111  | 0.011015  | 14720000  | 18.74  | 61   | 277  | 120  | 0.011015  | 14720000  | 18.74   |
| 22   | 231  | 166  | 0.011015  | 14720000  | 18.74  | 62   | 278  | 129  | 0.011015  | 14720000  | 18.7  |
| 23   | 232  | 121  | 0.011015  | 14720000  | 18.7   | 63   | 279  | 137  | 0.011015  | 14720000  | 18.68   |
| 24   | 232  | 176  | 0.011015  | 14720000  | 18.7   | 64   | 280  | 144  | 0.011015  | 14720000  | 18.7  |
| 25   | 233  | 130  | 0.011015  | 14720000  | 18.68  | 65   | 281  | 150  | 0.011015  | 14720000  | 18.78   |
| 26   | 233  | 185  | 0.011015  | 14720000  | 18.68  | 66   | 282  | 155  | 0.011015  | 14720000  | 19  |
| 27   | 234  | 138  | 0.011015  | 14720000  | 18.7   | 67   | 283  | 159  | 0.011015  | 14720000  | 19.52   |
| 28   | 234  | 193  | 0.011015  | 14720000  | 18.7   | 68   | 284  | 162  | 0.011015  | 14720000  | 20.7  |
| 29   | 235  | 145  | 0.011015  | 14720000  | 18.78  | 69   | 285  | 164  | 0.011015  | 14720000  | 23.56   |
| 30   | 235  | 200  | 0.011015  | 14720000  | 18.78  | 70   | 286  | 165  | 0.011015  | 14720000  | 31.4  |
| 31   | 236  | 151  | 0.011015  | 14720000  | 19   | 71   | 287  | 175  | 0.011015  | 14720000  | 18.74   |
| 32   | 236  | 206  | 0.011015  | 14720000  | 19   | 72   | 288  | 184  | 0.011015  | 14720000  | 18.7  |
| 33   | 237  | 156  | 0.011015  | 14720000  | 19.52  | 73   | 289  | 192  | 0.011015  | 14720000  | 18.68   |
| 34   | 237  | 211  | 0.011015  | 14720000  | 19.52  | 74   | 290  | 199  | 0.011015  | 14720000  | 18.7  |
| 35   | 238  | 160  | 0.011015  | 14720000  | 20.7   | 75   | 291  | 205  | 0.011015  | 14720000  | 18.78   |
| 36   | 238  | 215  | 0.011015  | 14720000  | 20.7   | 76   | 292  | 210  | 0.011015  | 14720000  | 19  |
| 37   | 239  | 163  | 0.011015  | 14720000  | 23.56  | 77   | 293  | 214  | 0.011015  | 14720000  | 19.52   |
| 38   | 239  | 218  | 0.011015  | 14720000  | 23.56  | 78   | 294  | 217  | 0.011015  | 14720000  | 20.7  |
|  |  |  |   |   |  |  |  |  |   |   |   |
| 39   | 240  | 165  | 0.011015  | 14720000  | 31.4   | 79   | 295  | 219  | 0.011015  | 14720000  | 23.56   |
| 39<br>40   | 240<br>240                                   | 165<br>220   | 0.011015<br>0.011015  | 14720000<br>14720000  | 31.4<br>31.4   | 79<br>80   | 295<br>296   | 219<br>220   | 0.011015<br>0.011015  | 14720000<br>14720000  | 23.56<br>31.4   |
|  |  |  |   |   |  |  |  |  |   |   |   |
| 40   | 240  | 220  | 0.011015  | 14720000  | 31.4   | 80   | 296  | 220  | 0.011015  | 14720000  | 31.4  |
|  |  | 220  |   |   |  |  |  |  |   |   |   |
| 40   | 240  | 220  | 0.011015  | 14720000  | 31.4   | 80   | 296  | 220  | 0.011015  | 14720000  | 31.4  |
| 40<br><b>MN</b>  | 240<br>start                                 | 220<br>END   | 0.011015<br><b>A</b>  | 14720000<br>E   | 31.4<br>L  | 80<br>MN   | 296<br>start   | 220<br>END   | 0.011015<br><b>A</b>  | 14720000<br><b>E</b>  | 31.4<br>L   |
| 40<br>MN<br>81   | 240<br><b>start</b><br>1                     | 220<br>END<br>2  | 0.011015<br><b>A</b><br>0.011015  | 14720000<br>E<br>14720000   | 31.4<br>L<br>18.74   | 80<br>MN<br>121  | 296<br><b>start</b><br>47  | 220<br><b>END</b><br>48                              | 0.011015<br><b>A</b><br>0.011015  | 14720000<br>E<br>14720000   | 31.4<br>L<br>19.52  |
| 40<br>MN<br>81<br>82   | 240<br><b>start</b> 1 2                      | 220<br>END<br>2<br>3   | 0.011015<br><b>A</b> 0.011015 0.011015  | 14720000<br>E<br>14720000<br>14720000   | 31.4<br>L<br>18.74<br>18.74  | 80<br>MN<br>121<br>122   | 296<br>start<br>47<br>48   | 220<br>END<br>48<br>49                               | 0.011015<br><b>A</b> 0.011015 0.011015  | 14720000<br>E<br>14720000<br>14720000   | 31.4<br>L<br>19.52<br>19.52   |
| 40<br>MN<br>81<br>82<br>83   | 240<br>start  1 2 3                          | 220<br>END<br>2<br>3<br>4                                      | 0.011015<br>A<br>0.011015<br>0.011015<br>0.011015   | 14720000<br>E<br>14720000<br>14720000<br>14720000   | 31.4<br>L<br>18.74<br>18.74<br>18.74   | 80<br>MN<br>121<br>122<br>123  | 296<br>start<br>47<br>48<br>50                                     | 220<br>END<br>48<br>49<br>51                         | 0.011015  A  0.011015 0.011015 0.011015   | 14720000<br>E<br>14720000<br>14720000<br>14720000   | 31.4<br>L<br>19.52<br>19.52<br>20.7   |
| 40<br>MN<br>81<br>82<br>83<br>84   | 240<br>start  1 2 3 4                        | 220<br>END<br>2<br>3<br>4<br>5                                 | 0.011015  A  0.011015 0.011015 0.011015 0.011015  | 14720000<br>E<br>14720000<br>14720000<br>14720000<br>14720000   | 31.4<br>L<br>18.74<br>18.74<br>18.74   | 80<br>MN<br>121<br>122<br>123<br>124   | 296<br>start<br>47<br>48<br>50<br>51                               | 220<br>END<br>48<br>49<br>51<br>52                   | 0.011015<br>A<br>0.011015<br>0.011015<br>0.011015<br>0.011015   | E 14720000 14720000 14720000 14720000   | 31.4<br>L<br>19.52<br>19.52<br>20.7<br>20.7   |
| 40<br>MN<br>81<br>82<br>83<br>84<br>85   | 240 start  1 2 3 4 5                         | 220<br>END<br>2<br>3<br>4<br>5<br>6                            | 0.011015  A  0.011015 0.011015 0.011015 0.011015  | E 14720000 14720000 14720000 14720000 14720000  | 31.4<br>L<br>18.74<br>18.74<br>18.74<br>18.74  | MN 121 122 123 124 125   | 296  start  47  48  50  51  53                                     | 220  END  48 49 51 52 54                             | 0.011015  A  0.011015 0.011015 0.011015 0.011015  | 14720000<br>E<br>14720000<br>14720000<br>14720000<br>14720000   | 31.4<br>L<br>19.52<br>19.52<br>20.7<br>20.7<br>23.56  |
| 40<br>MN<br>81<br>82<br>83<br>84<br>85<br>86   | 240<br>start  1 2 3 4 5 6                    | 220<br>END<br>2<br>3<br>4<br>5<br>6<br>7                       | 0.011015  A  0.011015 0.011015 0.011015 0.011015 0.011015   | E 14720000 14720000 14720000 14720000 14720000 14720000   | 18.74<br>18.74<br>18.74<br>18.74<br>18.74<br>18.74   | MN 121 122 123 124 125 126   | 296<br>start<br>47<br>48<br>50<br>51<br>53<br>56                   | 220  END  48 49 51 52 54 57                          | 0.011015  A  0.011015 0.011015 0.011015 0.011015 0.011015   | E 14720000 14720000 14720000 14720000 14720000 14720000   | 31.4<br>L<br>19.52<br>19.52<br>20.7<br>20.7<br>23.56<br>18.74   |
| 81<br>82<br>83<br>84<br>85<br>86<br>87   | 240  start  1 2 3 4 5 6 7                    | 220<br>END<br>2<br>3<br>4<br>5<br>6<br>7<br>8                  | 0.011015  A  0.011015 0.011015 0.011015 0.011015 0.011015 0.011015  | E 14720000 14720000 14720000 14720000 14720000 14720000 14720000  | 18.74<br>18.74<br>18.74<br>18.74<br>18.74<br>18.74<br>18.74  | 80<br>MN<br>121<br>122<br>123<br>124<br>125<br>126<br>127  | 296<br>start<br>47<br>48<br>50<br>51<br>53<br>56<br>57             | 220<br>END<br>48<br>49<br>51<br>52<br>54<br>57<br>58 | 0.011015  A  0.011015 0.011015 0.011015 0.011015 0.011015 0.011015  | E 14720000 14720000 14720000 14720000 14720000 14720000 14720000 14720000   | 31.4<br>L<br>19.52<br>19.52<br>20.7<br>20.7<br>23.56<br>18.74<br>18.74  |
| 40<br>MN<br>81<br>82<br>83<br>84<br>85<br>86<br>87<br>88                                     | 240 start  1 2 3 4 5 6 7 8                   | 220<br>END<br>2<br>3<br>4<br>5<br>6<br>7<br>8<br>9             | 0.011015  A  0.011015 0.011015 0.011015 0.011015 0.011015 0.011015  | E 14720000 14720000 14720000 14720000 14720000 14720000 14720000 14720000 14720000  | 18.74<br>18.74<br>18.74<br>18.74<br>18.74<br>18.74<br>18.74  | MN  121 122 123 124 125 126 127 128  | 296<br>start<br>47<br>48<br>50<br>51<br>53<br>56<br>57<br>58       | 220  END  48 49 51 52 54 57 58 59                    | 0.011015  A  0.011015 0.011015 0.011015 0.011015 0.011015 0.011015 0.011015   | E 14720000 14720000 14720000 14720000 14720000 14720000 14720000 14720000   | 31.4<br>L<br>19.52<br>19.52<br>20.7<br>20.7<br>23.56<br>18.74<br>18.74<br>18.74                                     |
| 40<br>MN<br>81<br>82<br>83<br>84<br>85<br>86<br>87<br>88<br>89                               | 240  start  1 2 3 4 5 6 7 8 9                | 220<br>END<br>2<br>3<br>4<br>5<br>6<br>7<br>8<br>9<br>10       | A  0.011015  0.011015 0.011015 0.011015 0.011015 0.011015 0.011015 0.011015   | E 14720000 14720000 14720000 14720000 14720000 14720000 14720000 14720000 14720000  | 18.74<br>18.74<br>18.74<br>18.74<br>18.74<br>18.74<br>18.74<br>18.74                                 | 80<br>MN<br>121<br>122<br>123<br>124<br>125<br>126<br>127<br>128<br>129                                    | 296  start  47  48  50  51  53  56  57  58  59                     | 220  END  48 49 51 52 54 57 58 59 60                 | 0.011015  A  0.011015 0.011015 0.011015 0.011015 0.011015 0.011015 0.011015 0.011015  | E 14720000 14720000 14720000 14720000 14720000 14720000 14720000 14720000 14720000  | 31.4<br>L<br>19.52<br>19.52<br>20.7<br>20.7<br>23.56<br>18.74<br>18.74<br>18.74                                     |
| 81<br>82<br>83<br>84<br>85<br>86<br>87<br>88<br>89<br>90                                     | 240  start  1 2 3 4 5 6 7 8 9 11             | 220<br>END<br>2<br>3<br>4<br>5<br>6<br>7<br>8<br>9<br>10<br>12 | 0.011015  A  0.011015 0.011015 0.011015 0.011015 0.011015 0.011015 0.011015 0.011015                                    | E 14720000 14720000 14720000 14720000 14720000 14720000 14720000 14720000 14720000 14720000   | 18.74<br>18.74<br>18.74<br>18.74<br>18.74<br>18.74<br>18.74<br>18.74<br>18.74                        | MN  121 122 123 124 125 126 127 128 129 130  | 296  start  47 48 50 51 53 56 57 58 59 60                          | 220  END  48 49 51 52 54 57 58 59 60 61              | 0.011015  A  0.011015 0.011015 0.011015 0.011015 0.011015 0.011015 0.011015 0.011015  | E 14720000 14720000 14720000 14720000 14720000 14720000 14720000 14720000 14720000 14720000   | 31.4<br>L<br>19.52<br>19.52<br>20.7<br>20.7<br>23.56<br>18.74<br>18.74<br>18.74<br>18.74                            |
| 40<br>MN<br>81<br>82<br>83<br>84<br>85<br>86<br>87<br>88<br>89<br>90<br>91                   | 240  start  1 2 3 4 5 6 7 8 9 11 12          | 220<br>END  2 3 4 5 6 7 8 9 10 12 13                           | A  0.011015  0.011015 0.011015 0.011015 0.011015 0.011015 0.011015 0.011015 0.011015 0.011015                           | E 14720000 14720000 14720000 14720000 14720000 14720000 14720000 14720000 14720000 14720000 14720000  | 18.74<br>18.74<br>18.74<br>18.74<br>18.74<br>18.74<br>18.74<br>18.74<br>18.7<br>18.7                 | MN  121 122 123 124 125 126 127 128 129 130 131  | 296  start  47  48  50  51  53  56  57  58  59  60  61             | 220  END  48 49 51 52 54 57 58 59 60 61 62           | A  0.011015  0.011015  0.011015  0.011015  0.011015  0.011015  0.011015  0.011015  0.011015  0.011015                               | E 14720000 14720000 14720000 14720000 14720000 14720000 14720000 14720000 14720000 14720000 14720000  | 31.4<br>L<br>19.52<br>19.52<br>20.7<br>20.7<br>23.56<br>18.74<br>18.74<br>18.74<br>18.74<br>18.74                   |
| 40<br>MN<br>81<br>82<br>83<br>84<br>85<br>86<br>87<br>88<br>89<br>90<br>91<br>92             | 240  start  1 2 3 4 5 6 7 8 9 11 12 13       | 220<br>END  2 3 4 5 6 7 8 9 10 12 13 14                        | A  0.011015  0.011015 0.011015 0.011015 0.011015 0.011015 0.011015 0.011015 0.011015 0.011015                           | E 14720000 14720000 14720000 14720000 14720000 14720000 14720000 14720000 14720000 14720000 14720000 14720000 14720000                            | 18.74<br>18.74<br>18.74<br>18.74<br>18.74<br>18.74<br>18.74<br>18.74<br>18.7<br>18.7                 | MN  121 122 123 124 125 126 127 128 129 130 131 132  | 296  start  47 48 50 51 53 56 57 58 59 60 61 62                    | 220  END  48 49 51 52 54 57 58 59 60 61 62 63        | 0.011015  A  0.011015 0.011015 0.011015 0.011015 0.011015 0.011015 0.011015 0.011015 0.011015                                       | E 14720000 14720000 14720000 14720000 14720000 14720000 14720000 14720000 14720000 14720000 14720000 14720000 14720000                            | 31.4<br>L 19.52 19.52 20.7 20.7 23.56 18.74 18.74 18.74 18.74 18.74 18.74 18.74                                     |
| 40<br>MN<br>81<br>82<br>83<br>84<br>85<br>86<br>87<br>88<br>89<br>90<br>91<br>92<br>93       | 240  start  1 2 3 4 5 6 7 8 9 11 12 13 14    | 220<br>END  2 3 4 5 6 7 8 9 10 12 13 14 15                     | A  0.011015  0.011015 0.011015 0.011015 0.011015 0.011015 0.011015 0.011015 0.011015 0.011015 0.011015 0.011015         | E 14720000 14720000 14720000 14720000 14720000 14720000 14720000 14720000 14720000 14720000 14720000 14720000 14720000 14720000                   | 18.74<br>18.74<br>18.74<br>18.74<br>18.74<br>18.74<br>18.74<br>18.74<br>18.7<br>18.7<br>18.7         | 80<br>MN<br>121<br>122<br>123<br>124<br>125<br>126<br>127<br>128<br>129<br>130<br>131<br>132<br>133        | 296  start  47  48  50  51  53  56  57  58  59  60  61  62  63     | 220  END  48 49 51 52 54 57 58 59 60 61 62 63 64     | A  0.011015  0.011015  0.011015  0.011015  0.011015  0.011015  0.011015  0.011015  0.011015  0.011015  0.011015  0.011015  0.011015 | E 14720000 14720000 14720000 14720000 14720000 14720000 14720000 14720000 14720000 14720000 14720000 14720000 14720000 14720000 14720000          | 31.4<br>L<br>19.52<br>19.52<br>20.7<br>20.7<br>23.56<br>18.74<br>18.74<br>18.74<br>18.74<br>18.74<br>18.74          |
| 40<br>MN<br>81<br>82<br>83<br>84<br>85<br>86<br>87<br>88<br>89<br>90<br>91<br>92<br>93<br>94 | 240  start  1 2 3 4 5 6 7 8 9 11 12 13 14 15 | 220<br>END  2 3 4 5 6 7 8 9 10 12 13 14 15 16                  | A  0.011015 0.011015 0.011015 0.011015 0.011015 0.011015 0.011015 0.011015 0.011015 0.011015 0.011015 0.011015 0.011015 | E 14720000 14720000 14720000 14720000 14720000 14720000 14720000 14720000 14720000 14720000 14720000 14720000 14720000 14720000 14720000 14720000 | 18.74<br>18.74<br>18.74<br>18.74<br>18.74<br>18.74<br>18.74<br>18.74<br>18.7<br>18.7<br>18.7<br>18.7 | 80<br>MN<br>121<br>122<br>123<br>124<br>125<br>126<br>127<br>128<br>129<br>130<br>131<br>132<br>133<br>134 | 296  start  47  48  50  51  53  56  57  58  59  60  61  62  63  64 | 220  END  48 49 51 52 54 57 58 59 60 61 62 63 64 65  | 0.011015  A  0.011015 0.011015 0.011015 0.011015 0.011015 0.011015 0.011015 0.011015 0.011015 0.011015 0.011015 0.011015            | E 14720000 14720000 14720000 14720000 14720000 14720000 14720000 14720000 14720000 14720000 14720000 14720000 14720000 14720000 14720000 14720000 | 31.4<br>L<br>19.52<br>19.52<br>20.7<br>20.7<br>23.56<br>18.74<br>18.74<br>18.74<br>18.74<br>18.74<br>18.74<br>18.74 |

|  | 98   | 20   | 21   | 0.011015  | 14720000   | 18.68   | 138   | 69   | 70  | 0.011015  | 14720000   | 18.7   |
|--|--|--|--|---|--|---|---|--|---|---|--|--|
|  | 99   | 21   | 22   | 0.011015  | 14720000   | 18.68   | 139   | 70   | 71  | 0.011015  | 14720000   | 18.7   |
|  | 100  | 22   | 23   | 0.011015  | 14720000   | 18.68   | 140   | 71   | 72  | 0.011015  | 14720000   | 18.7   |
|  | 101  | 23   | 24   | 0.011015  | 14720000   | 18.68   | 141   | 72   | 73  | 0.011015  | 14720000   | 18.7   |
|  | 102  | 24   | 25   | 0.011015  | 14720000   | 18.68   | 142   | 73   | 74  | 0.011015  | 14720000   | 18.7   |
|  | 103  | 25   | 26   | 0.011015  | 14720000   | 18.68   | 143   | 75   | 76  | 0.011015  | 14720000   | 18.68  |
|  | 104  | 26   | 27   | 0.011015  | 14720000   | 18.68   | 144   | 76   | 77  | 0.011015  | 14720000   | 18.68  |
|  | 105  | 28   | 29   | 0.011015  | 14720000   | 18.7  | 145   | 77   | 78  | 0.011015  | 14720000   | 18.68  |
|  | 106  | 29   | 30   | 0.011015  | 14720000   | 18.7  | 146   | 78   | 79  | 0.011015  | 14720000   | 18.68  |
|  | 107  | 30   | 31   | 0.011015  | 14720000   | 18.7  | 147   | 79   | 80  | 0.011015  | 14720000   | 18.68  |
|  | 108  | 31   | 32   | 0.011015  | 14720000   | 18.7  | 148   | 80   | 81  | 0.011015  | 14720000   | 18.68  |
|  | 109  | 32   | 33   | 0.011015  | 14720000   | 18.7  | 149   | 81   | 82  | 0.011015  | 14720000   | 18.68  |
|  | 110  | 33   | 34   | 0.011015  | 14720000   | 18.7  | 150   | 83   | 84  | 0.011015  | 14720000   | 18.7   |
|  | 111  | 35   | 36   | 0.011015  | 14720000   | 18.78   | 151   | 84   | 85  | 0.011015  | 14720000   | 18.7   |
|  | 112  | 36   | 37   | 0.011015  | 14720000   | 18.78   | 152   | 85   | 86  | 0.011015  | 14720000   | 18.7   |
|  | 113  | 37   | 38   | 0.011015  | 14720000   | 18.78   | 153   | 86   | 87  | 0.011015  | 14720000   | 18.7   |
|  | 114  | 38   | 39   | 0.011015  | 14720000   | 18.78   | 154   | 87   | 88  | 0.011015  | 14720000   | 18.7   |
|  | 115  | 39   | 40   | 0.011015  | 14720000   | 18.78   | 155   | 88   | 89  | 0.011015  | 14720000   | 18.7   |
|  | 116  | 41   | 42   | 0.011015  | 14720000   | 19  | 156   | 90   | 91  | 0.011015  | 14720000   | 18.78  |
|  | 117  | 42   | 43   | 0.011015  | 14720000   | 19  | 157   | 91   | 92  | 0.011015  | 14720000   | 18.78  |
|  | 118  | 43   | 44   | 0.011015  | 14720000   | 19  | 158   | 92   | 93  | 0.011015  | 14720000   | 18.78  |
|  | 119  | 44   | 45   | 0.011015  | 14720000   | 19  | 159   | 93   | 94  | 0.011015  | 14720000   | 18.78  |
|  | 120  | 46   | 47   | 0.011015  | 14720000   | 19.52   | 160   | 94   | 95  | 0.011015  | 14720000   | 18.78  |
|  |  |  |  |   | 11,20000   | 13.32   | 100   | 54   | 33  | 0.011010  | 11,20000   | 10.70  |
|  |  |  |  |   | 11,2000  | 13.32   | 100   | <b>5</b> 4   | 33  | 0.011013  | 11,2000  | 10.70  |
| M  | N  | start  | FND  |   |  |   |   |  |   |   |  |  |
| M  | N  | start  | END  | A   | E  | L   | MN  | start  | END   | A   | E  | L  |
| <b>M</b>   |  | start<br>96  | <b>END</b><br>97   |   |  |   |   |  |   |   |  |  |
| 16   |  |  |  | Α   | E  | L   | MN  | start  | END   | Α   | E  | L  |
| 16   | 51<br>52   | 96   | 97   | <b>A</b> 0.011015   | <b>E</b> 14720000 14720000   | <b>L</b><br>19  | <b>MN</b> 201   | start<br>145   | <b>END</b> 146  | <b>A</b> 0.011015 0.011015  | <b>E</b> 14720000  | L<br>18.78<br>18.78  |
| 16<br>16   | 51<br>52   | 96<br>97   | 97<br>98   | <b>A</b> 0.011015 0.011015  | <b>E</b> 14720000 14720000   | L<br>19<br>19   | MN<br>201<br>202  | start<br>145<br>146  | END<br>146<br>147   | <b>A</b> 0.011015 0.011015  | <b>E</b> 14720000 14720000   | L<br>18.78<br>18.78  |
| 16<br>16<br>16   | 51<br>52<br>53   | 96<br>97<br>98   | 97<br>98<br>99   | A 0.011015 0.011015 0.011015  | E<br>14720000<br>14720000<br>14720000  | L<br>19<br>19   | MN<br>201<br>202<br>203   | start<br>145<br>146<br>147   | END<br>146<br>147<br>148  | A 0.011015 0.011015 0.011015  | E<br>14720000<br>14720000<br>14720000  | L<br>18.78<br>18.78<br>18.78   |
| 16<br>16<br>16<br>16   | 51<br>52<br>53<br>54   | 96<br>97<br>98<br>99   | 97<br>98<br>99<br>100  | A 0.011015 0.011015 0.011015 0.011015   | E<br>14720000<br>14720000<br>14720000<br>14720000  | L<br>19<br>19<br>19   | MN<br>201<br>202<br>203<br>204  | start<br>145<br>146<br>147<br>148  | 146<br>147<br>148<br>149  | A 0.011015 0.011015 0.011015 0.011015   | E<br>14720000<br>14720000<br>14720000<br>14720000  | L<br>18.78<br>18.78<br>18.78<br>18.78  |
| 16<br>16<br>16<br>16<br>16   | 51<br>52<br>53<br>54<br>55   | 96<br>97<br>98<br>99<br>101  | 97<br>98<br>99<br>100<br>102   | A 0.011015 0.011015 0.011015 0.011015   | E<br>14720000<br>14720000<br>14720000<br>14720000  | L<br>19<br>19<br>19<br>19<br>19   | MN 201 202 203 204 205  | start  145 146 147 148 149   | 146<br>147<br>148<br>149<br>150   | A 0.011015 0.011015 0.011015 0.011015   | E<br>14720000<br>14720000<br>14720000<br>14720000  | L<br>18.78<br>18.78<br>18.78<br>18.78<br>18.78   |
| 16<br>16<br>16<br>16<br>16   | 51<br>52<br>53<br>54<br>55   | 96<br>97<br>98<br>99<br>101<br>102   | 97<br>98<br>99<br>100<br>102<br>103  | A 0.011015 0.011015 0.011015 0.011015 0.011015  | E 14720000 14720000 14720000 14720000 14720000 14720000  | L 19 19 19 19 19 19 19.52   | MN 201 202 203 204 205 206  | start  145 146 147 148 149 151   | 146<br>147<br>148<br>149<br>150<br>152  | A 0.011015 0.011015 0.011015 0.011015 0.011015  | E 14720000 14720000 14720000 14720000 14720000   | L<br>18.78<br>18.78<br>18.78<br>18.78<br>18.78   |
| 16<br>16<br>16<br>16<br>16<br>16   | 51<br>52<br>53<br>54<br>55<br>56   | 96<br>97<br>98<br>99<br>101<br>102<br>103  | 97<br>98<br>99<br>100<br>102<br>103<br>104   | A 0.011015 0.011015 0.011015 0.011015 0.011015 0.011015   | E 14720000 14720000 14720000 14720000 14720000 14720000 14720000   | L 19 19 19 19 19 19.52 19.52  | MN 201 202 203 204 205 206 207  | start  145 146 147 148 149 151 152   | 146<br>147<br>148<br>149<br>150<br>152<br>153   | A 0.011015 0.011015 0.011015 0.011015 0.011015 0.011015   | E 14720000 14720000 14720000 14720000 14720000 14720000  | L<br>18.78<br>18.78<br>18.78<br>18.78<br>18.78<br>19                                   |
| 16<br>16<br>16<br>16<br>16<br>16<br>16<br>16   | 51<br>52<br>53<br>54<br>55<br>56<br>57   | 96<br>97<br>98<br>99<br>101<br>102<br>103<br>105   | 97<br>98<br>99<br>100<br>102<br>103<br>104<br>106  | A  0.011015 0.011015 0.011015 0.011015 0.011015 0.011015 0.011015   | E 14720000 14720000 14720000 14720000 14720000 14720000 14720000 14720000  | L 19 19 19 19 19 19.52 19.52 19.52  | MN 201 202 203 204 205 206 207 208                                      | start  145 146 147 148 149 151 152   | 146<br>147<br>148<br>149<br>150<br>152<br>153<br>154  | A 0.011015 0.011015 0.011015 0.011015 0.011015 0.011015 0.011015  | E 14720000 14720000 14720000 14720000 14720000 14720000 14720000 14720000  | L<br>18.78<br>18.78<br>18.78<br>18.78<br>19.19   |
| 16<br>16<br>16<br>16<br>16<br>16<br>16<br>16   | 51<br>52<br>53<br>54<br>55<br>56<br>57<br>58   | 96<br>97<br>98<br>99<br>101<br>102<br>103<br>105   | 97<br>98<br>99<br>100<br>102<br>103<br>104<br>106<br>107   | A  0.011015 0.011015 0.011015 0.011015 0.011015 0.011015 0.011015 0.011015  | E 14720000 14720000 14720000 14720000 14720000 14720000 14720000 14720000 14720000   | L 19 19 19 19 19.52 19.52 19.52 20.7 20.7   | MN 201 202 203 204 205 206 207 208 209                                  | start  145 146 147 148 149 151 152 153 154                                 | 146<br>147<br>148<br>149<br>150<br>152<br>153<br>154<br>155   | A 0.011015 0.011015 0.011015 0.011015 0.011015 0.011015 0.011015 0.011015   | E 14720000 14720000 14720000 14720000 14720000 14720000 14720000 14720000 14720000   | L<br>18.78<br>18.78<br>18.78<br>18.78<br>19<br>19                                      |
| 160<br>160<br>160<br>160<br>160<br>160<br>170<br>170   | 51<br>52<br>53<br>54<br>55<br>56<br>57<br>58<br>59   | 96<br>97<br>98<br>99<br>101<br>102<br>103<br>105<br>106  | 97<br>98<br>99<br>100<br>102<br>103<br>104<br>106<br>107<br>109  | A  0.011015 0.011015 0.011015 0.011015 0.011015 0.011015 0.011015 0.011015 0.011015   | E 14720000 14720000 14720000 14720000 14720000 14720000 14720000 14720000 14720000   | L 19 19 19 19 19.52 19.52 19.52 20.7 20.7 23.56                                     | MN 201 202 203 204 205 206 207 208 209 210                              | start  145 146 147 148 149 151 152 153 154 156                             | 146<br>147<br>148<br>149<br>150<br>152<br>153<br>154<br>155   | A  0.011015 0.011015 0.011015 0.011015 0.011015 0.011015 0.011015 0.011015 0.011015   | E 14720000 14720000 14720000 14720000 14720000 14720000 14720000 14720000 14720000   | L<br>18.78<br>18.78<br>18.78<br>18.78<br>19<br>19<br>19                                |
| 16<br>16<br>16<br>16<br>16<br>16<br>16<br>16<br>17   | 51<br>52<br>53<br>54<br>55<br>56<br>57<br>58<br>59<br>70                                     | 96<br>97<br>98<br>99<br>101<br>102<br>103<br>105<br>106<br>108   | 97<br>98<br>99<br>100<br>102<br>103<br>104<br>106<br>107<br>109  | A  0.011015 0.011015 0.011015 0.011015 0.011015 0.011015 0.011015 0.011015 0.011015 0.011015  | E 14720000 14720000 14720000 14720000 14720000 14720000 14720000 14720000 14720000 14720000  | L 19 19 19 19 19.52 19.52 19.52 20.7 20.7 23.56 18.74                               | MN 201 202 203 204 205 206 207 208 209 210 211                          | start  145 146 147 148 149 151 152 153 154 156 157                         | 146<br>147<br>148<br>149<br>150<br>152<br>153<br>154<br>155<br>157  | A  0.011015 0.011015 0.011015 0.011015 0.011015 0.011015 0.011015 0.011015 0.011015   | E 14720000 14720000 14720000 14720000 14720000 14720000 14720000 14720000 14720000 14720000  | L<br>18.78<br>18.78<br>18.78<br>18.78<br>19<br>19<br>19<br>19<br>19.52<br>19.52        |
| 16<br>16<br>16<br>16<br>16<br>16<br>16<br>17<br>17   | 51<br>52<br>53<br>54<br>55<br>56<br>57<br>58<br>59<br>70<br>71                               | 96<br>97<br>98<br>99<br>101<br>102<br>103<br>105<br>106<br>108<br>111                                    | 97<br>98<br>99<br>100<br>102<br>103<br>104<br>106<br>107<br>109<br>112   | A  0.011015 0.011015 0.011015 0.011015 0.011015 0.011015 0.011015 0.011015 0.011015 0.011015  | E  14720000 14720000 14720000 14720000 14720000 14720000 14720000 14720000 14720000 14720000 14720000 14720000   | L 19 19 19 19 19.52 19.52 19.52 20.7 20.7 23.56 18.74 18.74                         | MN  201 202 203 204 205 206 207 208 209 210 211 212                     | start  145 146 147 148 149 151 152 153 154 156 157                         | 146<br>147<br>148<br>149<br>150<br>152<br>153<br>154<br>155<br>157<br>158   | A  0.011015 0.011015 0.011015 0.011015 0.011015 0.011015 0.011015 0.011015 0.011015 0.011015  | E 14720000 14720000 14720000 14720000 14720000 14720000 14720000 14720000 14720000 14720000 14720000   | L 18.78 18.78 18.78 18.78 19 19 19 19 19 19.52 19.52                                   |
| 16<br>16<br>16<br>16<br>16<br>16<br>16<br>17<br>17<br>17   | 51<br>52<br>53<br>54<br>55<br>56<br>57<br>58<br>59<br>70<br>71                               | 96<br>97<br>98<br>99<br>101<br>102<br>103<br>105<br>106<br>108<br>111<br>112                             | 97<br>98<br>99<br>100<br>102<br>103<br>104<br>106<br>107<br>109<br>112<br>113<br>114                             | A  0.011015 0.011015 0.011015 0.011015 0.011015 0.011015 0.011015 0.011015 0.011015 0.011015 0.011015 0.011015  | E 14720000 14720000 14720000 14720000 14720000 14720000 14720000 14720000 14720000 14720000 14720000 14720000 14720000   | L 19 19 19 19 19.52 19.52 19.52 20.7 20.7 23.56 18.74 18.74                         | MN  201 202 203 204 205 206 207 208 209 210 211 212 213                 | start  145 146 147 148 149 151 152 153 154 156 157 158 160                 | 146<br>147<br>148<br>149<br>150<br>152<br>153<br>154<br>155<br>157<br>158<br>159<br>161                             | A  0.011015 0.011015 0.011015 0.011015 0.011015 0.011015 0.011015 0.011015 0.011015 0.011015 0.011015   | E 14720000 14720000 14720000 14720000 14720000 14720000 14720000 14720000 14720000 14720000 14720000 14720000 14720000   | L 18.78 18.78 18.78 18.78 19 19 19 19 19 19.52 19.52 20.7                              |
| 166<br>166<br>166<br>166<br>166<br>166<br>177<br>177<br>177<br>177                                   | 51<br>52<br>53<br>54<br>55<br>56<br>57<br>58<br>59<br>70<br>71<br>72<br>73                   | 96<br>97<br>98<br>99<br>101<br>102<br>103<br>105<br>106<br>108<br>111<br>112<br>113                      | 97<br>98<br>99<br>100<br>102<br>103<br>104<br>106<br>107<br>109<br>112<br>113<br>114                             | A  0.011015 0.011015 0.011015 0.011015 0.011015 0.011015 0.011015 0.011015 0.011015 0.011015 0.011015 0.011015 0.011015   | E 14720000 14720000 14720000 14720000 14720000 14720000 14720000 14720000 14720000 14720000 14720000 14720000 14720000 14720000 14720000   | L 19 19 19 19 19.52 19.52 19.52 20.7 20.7 23.56 18.74 18.74 18.74                   | MN  201 202 203 204 205 206 207 208 209 210 211 212 213 214             | start  145 146 147 148 149 151 152 153 154 156 157 158 160 161             | 146<br>147<br>148<br>149<br>150<br>152<br>153<br>154<br>155<br>157<br>158<br>159<br>161<br>162                      | A  0.011015 0.011015 0.011015 0.011015 0.011015 0.011015 0.011015 0.011015 0.011015 0.011015 0.011015 0.011015  | E 14720000 14720000 14720000 14720000 14720000 14720000 14720000 14720000 14720000 14720000 14720000 14720000 14720000 14720000 14720000                                     | L 18.78 18.78 18.78 18.78 19 19 19 19 19.52 19.52 19.52 20.7 20.7                      |
| 16<br>16<br>16<br>16<br>16<br>16<br>16<br>17<br>17<br>17<br>17                                       | 51<br>52<br>53<br>54<br>55<br>56<br>57<br>58<br>59<br>70<br>71<br>72<br>73                   | 96<br>97<br>98<br>99<br>101<br>102<br>103<br>105<br>106<br>108<br>111<br>112<br>113<br>114               | 97<br>98<br>99<br>100<br>102<br>103<br>104<br>106<br>107<br>109<br>112<br>113<br>114<br>115<br>116               | A  0.011015 0.011015 0.011015 0.011015 0.011015 0.011015 0.011015 0.011015 0.011015 0.011015 0.011015 0.011015 0.011015 0.011015 0.011015                                     | E  14720000 14720000 14720000 14720000 14720000 14720000 14720000 14720000 14720000 14720000 14720000 14720000 14720000 14720000 14720000 14720000 14720000 14720000                   | L 19 19 19 19 19.52 19.52 19.52 20.7 20.7 23.56 18.74 18.74 18.74 18.74 18.74       | MN  201 202 203 204 205 206 207 208 209 210 211 212 213 214 215         | start  145 146 147 148 149 151 152 153 154 156 157 158 160 161 163         | 146<br>147<br>148<br>149<br>150<br>152<br>153<br>154<br>155<br>157<br>158<br>159<br>161<br>162<br>164               | A  0.011015 0.011015 0.011015 0.011015 0.011015 0.011015 0.011015 0.011015 0.011015 0.011015 0.011015 0.011015 0.011015                                     | E 14720000 14720000 14720000 14720000 14720000 14720000 14720000 14720000 14720000 14720000 14720000 14720000 14720000 14720000 14720000 14720000 14720000                   | L 18.78 18.78 18.78 18.78 19 19 19 19 19.52 19.52 19.52 20.7 20.7 23.56                |
| 160<br>160<br>160<br>160<br>160<br>170<br>170<br>170<br>170<br>170<br>170<br>170<br>170<br>170<br>17 | 51<br>52<br>53<br>54<br>55<br>56<br>57<br>58<br>59<br>70<br>71<br>72<br>73                   | 96<br>97<br>98<br>99<br>101<br>102<br>103<br>105<br>106<br>108<br>111<br>112<br>113<br>114<br>115<br>116 | 97<br>98<br>99<br>100<br>102<br>103<br>104<br>106<br>107<br>109<br>112<br>113<br>114<br>115<br>116               | A  0.011015 0.011015 0.011015 0.011015 0.011015 0.011015 0.011015 0.011015 0.011015 0.011015 0.011015 0.011015 0.011015 0.011015 0.011015                                     | E 14720000 14720000 14720000 14720000 14720000 14720000 14720000 14720000 14720000 14720000 14720000 14720000 14720000 14720000 14720000 14720000 14720000 14720000 14720000           | L 19 19 19 19 19.52 19.52 19.52 20.7 20.7 23.56 18.74 18.74 18.74 18.74 18.74       | MN  201 202 203 204 205 206 207 208 209 210 211 212 213 214 215 216     | start  145 146 147 148 149 151 152 153 154 156 157 158 160 161 163 166     | 146<br>147<br>148<br>149<br>150<br>152<br>153<br>154<br>155<br>157<br>158<br>159<br>161<br>162<br>164<br>167        | A  0.011015 0.011015 0.011015 0.011015 0.011015 0.011015 0.011015 0.011015 0.011015 0.011015 0.011015 0.011015 0.011015 0.011015 0.011015                   | E 14720000 14720000 14720000 14720000 14720000 14720000 14720000 14720000 14720000 14720000 14720000 14720000 14720000 14720000 14720000 14720000 14720000 14720000          | L 18.78 18.78 18.78 18.78 19 19 19 19 19.52 19.52 19.52 20.7 20.7 23.56 18.74          |
| 160<br>160<br>160<br>160<br>160<br>170<br>170<br>170<br>170<br>170<br>170<br>170<br>170<br>170<br>17 | 51<br>52<br>53<br>54<br>55<br>56<br>57<br>58<br>59<br>70<br>71<br>72<br>73<br>74<br>75<br>76 | 96<br>97<br>98<br>99<br>101<br>102<br>103<br>105<br>106<br>108<br>111<br>112<br>113<br>114<br>115<br>116 | 97<br>98<br>99<br>100<br>102<br>103<br>104<br>106<br>107<br>109<br>112<br>113<br>114<br>115<br>116<br>117<br>118 | A  0.011015 0.011015 0.011015 0.011015 0.011015 0.011015 0.011015 0.011015 0.011015 0.011015 0.011015 0.011015 0.011015 0.011015 0.011015 0.011015 0.011015 0.011015 0.011015 | E  14720000 | L 19 19 19 19 19.52 19.52 19.52 20.7 20.7 23.56 18.74 18.74 18.74 18.74 18.74 18.74 | MN  201 202 203 204 205 206 207 208 209 210 211 212 213 214 215 216 217 | start  145 146 147 148 149 151 152 153 154 156 157 158 160 161 163 166 167 | 146<br>147<br>148<br>149<br>150<br>152<br>153<br>154<br>155<br>157<br>158<br>159<br>161<br>162<br>164<br>167<br>168 | A  0.011015 0.011015 0.011015 0.011015 0.011015 0.011015 0.011015 0.011015 0.011015 0.011015 0.011015 0.011015 0.011015 0.011015 0.011015 0.011015 0.011015 | E 14720000 14720000 14720000 14720000 14720000 14720000 14720000 14720000 14720000 14720000 14720000 14720000 14720000 14720000 14720000 14720000 14720000 14720000 14720000 | L 18.78 18.78 18.78 18.78 19 19 19 19 19 19.52 19.52 19.52 20.7 20.7 23.56 18.74 18.74 |

171 0.011015 14720000 18.74

172 0.011015 14720000 18.74

0.011015 14720000

0.011015 14720000

18.7

18.7

| 182 | 123 | 124 | 0.011015 | 14720000 | 18.7  | 222 | 172 | 173 | 0.011015 | 14720000 | 18.74 |
|-----|-----|-----|----------|----------|-------|-----|-----|-----|----------|----------|-------|
| 183 | 124 | 125 | 0.011015 | 14720000 | 18.7  | 223 | 173 | 174 | 0.011015 | 14720000 | 18.74 |
| 184 | 125 | 126 | 0.011015 | 14720000 | 18.7  | 224 | 174 | 175 | 0.011015 | 14720000 | 18.74 |
| 185 | 126 | 127 | 0.011015 | 14720000 | 18.7  | 225 | 176 | 177 | 0.011015 | 14720000 | 18.7  |
| 186 | 127 | 128 | 0.011015 | 14720000 | 18.7  | 226 | 177 | 178 | 0.011015 | 14720000 | 18.7  |
| 187 | 128 | 129 | 0.011015 | 14720000 | 18.7  | 227 | 178 | 179 | 0.011015 | 14720000 | 18.7  |
| 188 | 130 | 131 | 0.011015 | 14720000 | 18.68 | 228 | 179 | 180 | 0.011015 | 14720000 | 18.7  |
| 189 | 131 | 132 | 0.011015 | 14720000 | 18.68 | 229 | 180 | 181 | 0.011015 | 14720000 | 18.7  |
| 190 | 132 | 133 | 0.011015 | 14720000 | 18.68 | 230 | 181 | 182 | 0.011015 | 14720000 | 18.7  |
| 191 | 133 | 134 | 0.011015 | 14720000 | 18.68 | 231 | 182 | 183 | 0.011015 | 14720000 | 18.7  |
| 192 | 134 | 135 | 0.011015 | 14720000 | 18.68 | 232 | 183 | 184 | 0.011015 | 14720000 | 18.7  |
| 193 | 135 | 136 | 0.011015 | 14720000 | 18.68 | 233 | 185 | 186 | 0.011015 | 14720000 | 18.68 |
| 194 | 136 | 137 | 0.011015 | 14720000 | 18.68 | 234 | 186 | 187 | 0.011015 | 14720000 | 18.68 |
| 195 | 138 | 139 | 0.011015 | 14720000 | 18.7  | 235 | 187 | 188 | 0.011015 | 14720000 | 18.68 |
| 196 | 139 | 140 | 0.011015 | 14720000 | 18.7  | 236 | 188 | 189 | 0.011015 | 14720000 | 18.68 |
| 197 | 140 | 141 | 0.011015 | 14720000 | 18.7  | 237 | 189 | 190 | 0.011015 | 14720000 | 18.68 |
| 198 | 141 | 142 | 0.011015 | 14720000 | 18.7  | 238 | 190 | 191 | 0.011015 | 14720000 | 18.68 |
| 199 | 142 | 143 | 0.011015 | 14720000 | 18.7  | 239 | 191 | 192 | 0.011015 | 14720000 | 18.68 |
| 200 | 143 | 144 | 0.011015 | 14720000 | 18.7  | 240 | 193 | 194 | 0.011015 | 14720000 | 18.7  |
|     |     |     |          |          |       |     |     |     |          |          |       |
|     |     |     |          |          |       |     |     |     |          |          |       |

| MN  | start | END | Α        | E        | L     | MN  | start | END | Α     | E        | L     |
|-----|-------|-----|----------|----------|-------|-----|-------|-----|-------|----------|-------|
| 241 | 194   | 195 | 0.011015 | 14720000 | 18.7  | 281 | 242   | 243 | 8.75  | 3000000  | 10.33 |
| 242 | 195   | 196 | 0.011015 | 14720000 | 18.7  | 282 | 243   | 244 | 8.75  | 3000000  | 10.33 |
| 243 | 196   | 197 | 0.011015 | 14720000 | 18.7  | 283 | 244   | 245 | 8.75  | 3000000  | 10.33 |
| 244 | 197   | 198 | 0.011015 | 14720000 | 18.7  | 284 | 245   | 306 | 8.75  | 3000000  | 10.33 |
| 245 | 198   | 199 | 0.011015 | 14720000 | 18.7  | 285 | 240   | 246 | 8.75  | 3000000  | 10.33 |
| 246 | 200   | 201 | 0.011015 | 14720000 | 18.78 | 286 | 246   | 247 | 8.75  | 3000000  | 10.33 |
| 247 | 201   | 202 | 0.011015 | 14720000 | 18.78 | 287 | 247   | 248 | 8.75  | 3000000  | 10.33 |
| 248 | 202   | 203 | 0.011015 | 14720000 | 18.78 | 288 | 248   | 249 | 8.75  | 3000000  | 10.33 |
| 249 | 203   | 204 | 0.011015 | 14720000 | 18.78 | 289 | 249   | 250 | 8.75  | 3000000  | 10.33 |
| 250 | 204   | 205 | 0.011015 | 14720000 | 18.78 | 290 | 250   | 307 | 8.75  | 3000000  | 10.33 |
| 251 | 206   | 207 | 0.011015 | 14720000 | 19    | 291 | 306   | 251 | 15.38 | 3000000  | 10    |
| 252 | 207   | 208 | 0.011015 | 14720000 | 19    | 292 | 251   | 252 | 15.38 | 3000000  | 10    |
| 253 | 208   | 209 | 0.011015 | 14720000 | 19    | 293 | 252   | 253 | 15.38 | 3000000  | 10    |
| 254 | 209   | 210 | 0.011015 | 14720000 | 19    | 294 | 253   | 310 | 15.38 | 3000000  | 10    |
| 255 | 211   | 212 | 0.011015 | 14720000 | 19.52 | 295 | 307   | 254 | 15.38 | 3000000  | 10    |
| 256 | 212   | 213 | 0.011015 | 14720000 | 19.52 | 296 | 254   | 255 | 15.38 | 3000000  | 10    |
| 257 | 213   | 214 | 0.011015 | 14720000 | 19.52 | 297 | 255   | 256 | 15.38 | 3000000  | 10    |
| 258 | 215   | 216 | 0.011015 | 14720000 | 20.7  | 298 | 256   | 311 | 15.38 | 3000000  | 10    |
| 259 | 216   | 217 | 0.011015 | 14720000 | 20.7  | 299 | 257   | 258 | 1.325 | 21000000 | 20    |
| 260 | 218   | 219 | 0.011015 | 14720000 | 23.56 | 300 | 258   | 259 | 1.325 | 21000000 | 20    |
| 261 | 221   | 222 | 8.75     | 3000000  | 2     | 301 | 259   | 260 | 1.325 | 21000000 | 20    |
| 262 | 222   | 223 | 8.75     | 3000000  | 2     | 302 | 260   | 261 | 1.325 | 21000000 | 20    |
| 263 | 223   | 224 | 8.75     | 3000000  | 2     | 303 | 261   | 262 | 1.325 | 21000000 | 20    |
| 264 | 224   | 225 | 8.75     | 3000000  | 2     | 304 | 262   | 263 | 1.325 | 21000000 | 20    |
| 265 | 225   | 226 | 8.75     | 3000000  | 2     | 305 | 263   | 264 | 1.325 | 21000000 | 20    |

| 266 | 226 | 227 | 8.75 | 3000000 | 2     | 306 | 264 | 265 | 1.325 | 21000000 | 20 |
|-----|-----|-----|------|---------|-------|-----|-----|-----|-------|----------|----|
| 267 | 227 | 228 | 8.75 | 3000000 | 2     | 307 | 265 | 266 | 1.325 | 21000000 | 20 |
| 268 | 228 | 229 | 8.75 | 3000000 | 2     | 308 | 267 | 268 | 1.325 | 21000000 | 20 |
| 269 | 229 | 230 | 8.75 | 3000000 | 2     | 309 | 268 | 269 | 1.325 | 21000000 | 20 |
| 270 | 231 | 232 | 8.75 | 3000000 | 2     | 310 | 269 | 270 | 1.325 | 21000000 | 20 |
| 271 | 232 | 233 | 8.75 | 3000000 | 2     | 311 | 270 | 271 | 1.325 | 21000000 | 20 |
| 272 | 233 | 234 | 8.75 | 3000000 | 2     | 312 | 271 | 272 | 1.325 | 21000000 | 20 |
| 273 | 234 | 235 | 8.75 | 3000000 | 2     | 313 | 272 | 273 | 1.325 | 21000000 | 20 |
| 274 | 235 | 236 | 8.75 | 3000000 | 2     | 314 | 273 | 274 | 1.325 | 21000000 | 20 |
| 275 | 236 | 237 | 8.75 | 3000000 | 2     | 315 | 274 | 275 | 1.325 | 21000000 | 20 |
| 276 | 237 | 238 | 8.75 | 3000000 | 2     | 316 | 275 | 276 | 1.325 | 21000000 | 20 |
| 277 | 238 | 239 | 8.75 | 3000000 | 2     | 317 | 277 | 278 | 1.325 | 21000000 | 20 |
| 278 | 239 | 240 | 8.75 | 3000000 | 2     | 318 | 278 | 279 | 1.325 | 21000000 | 20 |
| 279 | 230 | 241 | 8.75 | 3000000 | 10.33 | 319 | 279 | 280 | 1.325 | 21000000 | 20 |
| 280 | 241 | 242 | 8.75 | 3000000 | 10.33 | 320 | 280 | 281 | 1.325 | 21000000 | 20 |

| MN  | start | END | Α     | E        | L  |
|-----|-------|-----|-------|----------|----|
| 321 | 281   | 282 | 1.325 | 21000000 | 20 |
| 322 | 282   | 283 | 1.325 | 21000000 | 20 |
| 323 | 283   | 284 | 1.325 | 21000000 | 20 |
| 324 | 284   | 285 | 1.325 | 21000000 | 20 |
| 325 | 285   | 286 | 1.325 | 21000000 | 20 |
| 326 | 287   | 288 | 1.325 | 21000000 | 20 |
| 327 | 288   | 289 | 1.325 | 21000000 | 20 |
| 328 | 289   | 290 | 1.325 | 21000000 | 20 |
| 329 | 290   | 291 | 1.325 | 21000000 | 20 |
| 330 | 291   | 292 | 1.325 | 21000000 | 20 |
| 331 | 292   | 293 | 1.325 | 21000000 | 20 |
| 332 | 293   | 294 | 1.325 | 21000000 | 20 |
| 333 | 294   | 295 | 1.325 | 21000000 | 20 |
| 334 | 295   | 296 | 1.325 | 21000000 | 20 |
| 335 | 297   | 308 | 1.325 | 21000000 | 5  |
| 336 | 297   | 257 | 1.325 | 21000000 | 5  |
| 337 | 266   | 298 | 1.325 | 21000000 | 5  |
| 338 | 298   | 306 | 1.325 | 21000000 | 5  |
| 339 | 306   | 299 | 1.325 | 21000000 | 5  |
| 340 | 299   | 276 | 1.325 | 21000000 | 5  |
| 341 | 267   | 300 | 1.325 | 21000000 | 5  |
| 342 | 300   | 301 | 1.325 | 21000000 | 5  |
| 343 | 301   | 302 | 1.325 | 21000000 | 5  |
| 344 | 302   | 277 | 1.325 | 21000000 | 5  |
| 345 | 286   | 303 | 1.325 | 21000000 | 5  |
| 346 | 303   | 307 | 1.325 | 21000000 | 5  |
| 347 | 307   | 304 | 1.325 | 21000000 | 5  |
| 348 | 304   | 296 | 1.325 | 21000000 | 5  |
| 349 | 287   | 305 | 1.325 | 21000000 | 5  |
| 350 | 305   | 309 | 1.325 | 21000000 | 5  |

# Перемещение узлов на пилоне

# R- Евклидова норма для конечной итерации

|      | ltoration         |          |      |                   |          |       | Itaration         |           |
|------|-------------------|----------|------|-------------------|----------|-------|-------------------|-----------|
|      | Iteration<br>no=1 |          |      | Iteration<br>no=2 |          |       | Iteration<br>no=3 |           |
|      | R=0.00975         |          |      | R=0.0099          |          |       | R=0.00999         |           |
| Nrjp | Xd -m             | Zd-m     | Nrjp | Xd-m              | Zd-m     | Nrjp  | Xd-m              | Zd-m      |
| )    | 716               |          | ,    | 710               |          | ۵۲.۰۰ | 7.0               |           |
| 221  | 0.099             | -0.00118 | 221  | 0.01386           | -0.00116 | 221   | 0.00366           | -0.000731 |
| 222  | 0.0959            | -0.00118 | 222  | 0.01365           | -0.00116 | 222   | 0.00366           | -0.000731 |
| 223  | 0.0928            | -0.00118 | 223  | 0.01344           | -0.00116 | 223   | 0.00366           | -0.000731 |
| 224  | 0.0896            | -0.00117 | 224  | 0.0133            | -0.00116 | 224   | 0.00365           | -0.000731 |
| 225  | 0.0865            | -0.00116 | 225  | 0.01309           | -0.00115 | 225   | 0.00365           | -0.000725 |
| 226  | 0.0834            | -0.00115 | 226  | 0.01288           | -0.00114 | 226   | 0.00363           | -0.000718 |
| 227  | 0.0803            | -0.00114 | 227  | 0.01274           | -0.00113 | 227   | 0.00363           | -0.000712 |
| 228  | 0.0772            | -0.00113 | 228  | 0.01253           | -0.00112 | 228   | 0.00363           | -0.000706 |
| 229  | 0.0742            | -0.00111 | 229  | 0.01232           | -0.0011  | 229   | 0.00363           | -0.000693 |
| 230  | 0.0712            | -0.0011  | 230  | 0.01211           | -0.00109 | 230   | 0.00363           | -0.000687 |
| 231  | -0.099            | -0.00118 | 231  | -0.01386          | -0.00116 | 231   | -0.00366          | -0.000731 |
| 232  | -0.096            | -0.00118 | 232  | -0.01365          | -0.00116 | 232   | -0.00366          | -0.000731 |
| 233  | -0.093            | -0.00118 | 233  | -0.01344          | -0.00116 | 233   | -0.00366          | -0.000731 |
| 234  | -0.09             | -0.00117 | 234  | -0.0133           | -0.00116 | 234   | -0.00365          | -0.000731 |
| 235  | -0.087            | -0.00116 | 235  | -0.01309          | -0.00115 | 235   | -0.00365          | -0.000725 |
| 236  | -0.083            | -0.00115 | 236  | -0.01288          | -0.00114 | 236   | -0.00363          | -0.000718 |
| 237  | -0.08             | -0.00114 | 237  | -0.01274          | -0.00113 | 237   | -0.00363          | -0.000712 |
| 238  | -0.077            | -0.00113 | 238  | -0.01253          | -0.00112 | 238   | -0.00363          | -0.000706 |
| 239  | -0.074            | -0.00111 | 239  | -0.01232          | -0.0011  | 239   | -0.00363          | -0.000693 |
| 240  | -0.071            | -0.0011  | 240  | -0.01211          | -0.00109 | 240   | -0.00363          | -0.000687 |
| 241  | 0.0563            | -0.001   | 241  | 0.01092           | -0.0099  | 241   | 0.00351           | -0.006237 |
| 242  | 0.0427            | -0.009   | 242  | 0.00966           | -0.0089  | 242   | 0.0033            | -0.005607 |
| 243  | 0.0306            | -0.0078  | 243  | 0.00833           | -0.0078  | 243   | 0.00303           | -0.004914 |
| 244  | 0.0204            | -0.0066  | 244  | 0.00686           | -0.0066  | 244   | 0.00264           | -0.004158 |
| 245  | 0.0121            | -0.0053  | 245  | 0.00539           | -0.0053  | 245   | 0.00219           | -0.003339 |
| 246  | -0.056            | -0.01    | 246  | -0.01092          | -0.0099  | 246   | -0.00351          | -0.006237 |
| 247  | -0.043            | -0.009   | 247  | -0.00966          | -0.0089  | 247   | -0.0033           | -0.005607 |
| 248  | -0.031            | -0.0078  | 248  | -0.00833          | -0.0078  | 248   | -0.00303          | -0.004914 |
| 249  | -0.02             | -0.0066  | 249  | -0.00686          | -0.0066  | 249   | -0.00264          | -0.004158 |
| 250  | -0.012            | -0.0053  | 250  | -0.00539          | -0.0053  | 250   | -0.00219          | -0.003339 |
| 251  | 0.0036            | -0.003   | 251  | 0.0026            | -0.003   | 251   | 0.0015            | -0.00189  |
| 252  | 0.0018            | 0.0021   | 252  | 0.0008            | 0.0011   | 252   | 0.0006            | 0.000693  |
| 253  | 0.0005            | 0.0011   | 253  | 0.0001            | 0.001    | 253   | 0.0004            | 0.00063   |
| 254  | -0.004            | 0.003    | 254  | -0.0026           | 0.002    | 254   | -0.0015           | 0.00126   |
| 255  | -0.002            | -0.0021  | 255  | -0.0008           | -0.0019  | 255   | -0.0006           | -0.001197 |
| 256  | -5E-04            | -0.0011  | 256  | -0.0001           | -0.001   | 256   | -0.0004           | -0.00063  |

### Перемещение узлов центрального пролета балки жесткости

R - Евклидова норма для конечной итерации
Desired value- D.v: Yes: оптимизационная
( желаемая величина) No: не оптимизационная

|      | Iteratio | n no=1 |       | Iteration no=2 |         |          |       |      | Iteration no=3 |            |     |  |
|------|----------|--------|-------|----------------|---------|----------|-------|------|----------------|------------|-----|--|
|      | R=0.0    | 0977   |       |                | R=0.    | 0099     |       |      | R=0            | .00999     |     |  |
| Nrjd | Zd-m     | Max    | Des   | Nrjd           | Zd-m    | Max      | Des   | Nrjd | Zd-m           | Max        | D.v |  |
|      |          | eta    | value |                |         | eta      | value |      |                | eta        |     |  |
| 267  | -0.4363  | 0.0011 | No    | 267            | -0.042  | 0.000107 | No    | 267  | -0.0084        | 0.00002125 | Yes |  |
| 268  | -0.4132  | 0.0011 | No    | 268            | -0.0377 | 0.000107 | No    | 268  | -0.0075        | 0.00002125 | Yes |  |
| 269  | -0.3709  | 0.0011 | No    | 269            | -0.0308 | 0.000107 | No    | 269  | -0.0062        | 0.00002125 | Yes |  |
| 270  | -0.3149  | 0.0011 | No    | 270            | -0.023  | 0.000107 | No    | 270  | -0.0046        | 0.00002125 | Yes |  |
| 271  | -0.2518  | 0.0011 | No    | 271            | -0.0159 | 0.000107 | No    | 271  | -0.0032        | 0.00002125 | Yes |  |
| 272  | -0.188   | 0.0011 | No    | 272            | -0.0108 | 0.000107 | No    | 272  | -0.0022        | 0.00002125 | Yes |  |
| 273  | -0.1288  | 0.0011 | No    | 273            | -0.0081 | 0.000107 | No    | 273  | -0.0016        | 0.00002125 | Yes |  |
| 274  | -0.0779  | 0.0011 | No    | 274            | -0.0073 | 0.000107 | No    | 274  | -0.0015        | 0.00002125 | Yes |  |
| 275  | -0.0378  | 0.0011 | No    | 275            | -0.0071 | 0.000107 | No    | 275  | -0.0014        | 0.00002125 | Yes |  |
| 276  | -0.0109  | 0.0011 | No    | 276            | -0.0056 | 0.000107 | No    | 276  | -0.0011        | 0.00002125 | Yes |  |
| 277  | -0.4363  | 0.0011 | No    | 277            | -0.042  | 0.000107 | No    | 277  | -0.0084        | 0.00002125 | Yes |  |
| 278  | -0.4132  | 0.0011 | No    | 278            | -0.0377 | 0.000107 | No    | 278  | -0.0075        | 0.00002125 | Yes |  |
| 279  | -0.3709  | 0.0011 | No    | 279            | -0.0308 | 0.000107 | No    | 279  | -0.0062        | 0.00002125 | Yes |  |
| 280  | -0.3149  | 0.0011 | No    | 280            | -0.023  | 0.000107 | No    | 280  | -0.0046        | 0.00002125 | Yes |  |
| 281  | -0.2518  | 0.0011 | No    | 281            | -0.0159 | 0.000107 | No    | 281  | -0.0032        | 0.00002125 | Yes |  |
| 282  | -0.188   | 0.0011 | No    | 282            | -0.0108 | 0.000107 | No    | 282  | -0.0022        | 0.00002125 | Yes |  |
| 283  | -0.1288  | 0.0011 | No    | 283            | -0.0081 | 0.000107 | No    | 283  | -0.0016        | 0.00002125 | Yes |  |
| 284  | -0.0779  | 0.0011 | No    | 284            | -0.0073 | 0.000107 | No    | 284  | -0.0015        | 0.00002125 | Yes |  |
| 285  | -0.0377  | 0.0011 | No    | 285            | -0.0071 | 0.000107 | No    | 285  | -0.0014        | 0.00002125 | Yes |  |
| 286  | -0.0109  | 0.0011 | No    | 286            | -0.0056 | 0.000107 | No    | 286  | -0.0011        | 0.00002125 | Yes |  |
| 299  | -0.0068  | 0.0011 | No    | 299            | -0.0048 | 0.000107 | No    | 299  | -0.001         | 0.00002125 | Yes |  |
| 300  | -0.4386  | 0.0011 | No    | 300            | -0.0425 | 0.000107 | No    | 300  | -0.0085        | 0.00002125 | Yes |  |
| 301  | -0.4394  | 0.0011 | No    | 301            | -0.0426 | 0.000107 | No    | 301  | -0.0085        | 0.00002125 | Yes |  |
| 302  | -0.4386  | 0.0011 | No    | 302            | -0.0425 | 0.000107 | No    | 302  | -0.0085        | 0.00002125 | Yes |  |
| 303  | -0.0068  | 0.0011 | No    | 303            | -0.0048 | 0.000107 | No    | 303  | -0.0096        | 0.00002125 | Yes |  |

### Оптимизация силы натяжения вант при выполнении процедуры алгоритма

Исходная длина вант- input. L;

Окончательная длина вант -Final. L

Ті. предварительное натяжение вант (тон)

Т. окончательное натяжение вант(тон)

|                                   | Iteration |      |  |  |  |      | Iteration |        |          |          |     |  |  |
|-----------------------------------|-----------|------|--|--|--|------|-----------|--------|----------|----------|-----|--|--|
|                                   |           | no=1 |  |  |  | no=2 |           |        |          |          |     |  |  |
|                                   | R=0.00977 |      |  |  |  |      |           | R=     | 0.0099   |          |     |  |  |
| MN Init.L Finl.L Input Output D.v |           |      |  |  |  | MN   | Init.L    | Finl.L | Input Ti | Output T | D.v |  |  |

Ti T

| 1  | 18.7414 | 18.7544 | 87.2 | 200.25 | No | 1  | 18.74 | 18.7459     | 200.25 | 238.97 | No |
|----|---------|---------|------|--------|----|----|-------|-------------|--------|--------|----|
| 2  | 18.7414 | 18.7543 | 87.2 | 198.88 | No | 2  | 18.74 | 18.7453     | 200.25 | 234.38 | No |
| 3  | 18.704  | 18.7165 | 87.2 | 195.15 | No | 3  | 18.7  | 18.7076     | 195.15 | 226.22 | No |
| 4  | 18.704  | 18.717  | 87.2 | 200.11 | No | 4  | 18.7  | 18.7073     | 195.15 | 223.9  | No |
| 5  | 18.6839 | 18.6957 | 87.2 | 189.58 | No | 5  | 18.68 | 18.6865     | 189.58 | 212.44 | No |
| 6  | 18.6839 | 18.6968 | 87.2 | 198.95 | No | 6  | 18.68 | 18.6865     | 189.58 | 212    | No |
| 7  | 18.6983 | 18.7093 | 87.2 | 182.71 | No | 7  | 18.7  | 18.6999     | 182.71 | 197    | No |
| 8  | 18.6983 | 18.7106 | 87.2 | 194.05 | No | 8  | 18.7  | 18.7        | 182.71 | 197.96 | No |
| 9  | 18.7812 | 18.7913 | 87.2 | 173.86 | No | 9  | 18.78 | 18.7819     | 173.86 | 179.56 | No |
| 10 | 18.7812 | 18.7925 | 87.2 | 184.23 | No | 10 | 18.78 | 18.7821     | 173.86 | 181.43 | No |
| 11 | 19.0029 | 19.0118 | 87.2 | 162.55 | No | 11 | 19    | 19.0027     | 162.55 | 160.18 | No |
| 12 | 19.0029 | 19.0125 | 87.2 | 168.5  | No | 12 | 19    | 19.0029     | 162.55 | 162.49 | No |
| 13 | 19.5182 | 19.5256 | 87.2 | 148.53 | No | 13 | 19.52 | 19.5171     | 148.53 | 139.31 | No |
| 14 | 19.5182 | 19.5253 | 87.2 | 145.99 | No | 14 | 19.52 | 19.5174     | 148.53 | 141.63 | No |
| 15 | 20.7002 | 20.7059 | 87.2 | 131.64 | No | 15 | 20.7  | 20.6985     | 131.64 | 117.64 | No |
| 16 | 20.7002 | 20.704  | 87.2 | 116.56 | No | 16 | 20.7  | 20.6987     | 131.64 | 119.71 | No |
| 17 | 23.5608 | 23.5643 | 87.2 | 111.27 | No | 17 | 23.56 | 23.5584     | 111.27 | 94.96  | No |
| 18 | 23.5608 | 23.5603 | 87.2 | 83.53  | No | 18 | 23.56 | 23.5587     | 111.27 | 96.57  | No |
| 19 | 31.4006 | 31.4003 | 87.2 | 85.27  | No | 19 | 31.4  | 31.3973     | 85.27  | 67.99  | No |
| 20 | 31.4006 | 31.3959 | 87.2 | 62.92  | No | 20 | 31.4  | 31.3974     | 85.27  | 68.74  | No |
| 21 | 18.7414 | 18.7543 | 87.2 | 198.88 | No | 21 | 18.74 | 18.7453     | 200.25 | 234.38 | No |
| 22 | 18.7414 | 18.7544 | 87.2 | 200.25 | No | 22 | 18.74 | 18.7459     | 200.25 | 238.97 | No |
| 23 | 18.704  | 18.7171 | 87.2 | 200.09 | No | 23 | 18.7  | 18.7073     | 195.15 | 223.9  | No |
| 24 | 18.704  | 18.7165 | 87.2 | 195.15 | No | 24 | 18.7  | 18.7076     | 195.15 | 226.22 | No |
| 25 | 18.6839 | 18.6967 | 87.2 | 198.94 | No | 25 | 18.68 | 18.6865     | 189.58 | 212    | No |
| 26 | 18.6839 | 18.6957 | 87.2 | 189.57 | No | 26 | 18.68 | 18.6865     | 189.58 | 212.44 | No |
| 27 | 18.6983 | 18.7105 | 87.2 | 194.05 | No | 27 | 18.7  | 18.7        | 182.71 | 197.96 | No |
| 28 | 18.6983 | 18.7093 | 87.2 | 182.71 | No | 28 | 18.7  | 18.6999     | 182.71 | 197    | No |
| 29 | 18.7812 | 18.7924 | 87.2 | 184.21 | No | 29 | 18.78 | 18.7821     | 173.86 | 181.43 | No |
| 30 | 18.7812 | 18.7913 | 87.2 | 173.86 | No | 30 | 18.78 | 18.7819     | 173.86 | 179.56 | No |
| 31 | 19.0029 | 19.0124 | 87.2 | 168.49 | No | 31 | 19    | 19.0029     | 162.55 | 162.48 | No |
| 32 | 19.0029 | 19.0118 | 87.2 | 162.56 | No | 32 | 19    | 19.0027     | 162.55 | 160.18 | No |
| 33 | 19.5182 | 19.5252 | 87.2 | 145.96 | No | 33 | 19.52 | 19.5174     | 148.53 | 141.64 | No |
| 34 | 19.5182 | 19.5256 | 87.2 | 148.54 | No | 34 | 19.52 | 19.5171     | 148.53 | 139.31 | No |
| 35 | 20.7002 | 20.704  | 87.2 | 116.54 | No | 35 | 20.7  | 20.6987     | 131.64 | 119.71 | No |
| 36 | 20.7002 | 20.7059 | 87.2 | 131.65 | No | 36 | 20.7  | 20.6985     | 131.64 | 117.64 | No |
| 37 | 23.5608 | 23.5602 | 87.2 | 83.51  | No | 37 | 23.56 | 23.5587     | 111.27 | 96.57  | No |
| 38 | 23.5608 | 23.5643 | 87.2 | 111.28 | No | 38 | 23.56 | 23.5584     | 111.27 | 94.96  | No |
| 39 | 31.4006 | 31.3959 | 87.2 | 62.91  | No | 39 | 31.4  | 31.3974     | 85.27  | 68.74  | No |
| 40 | 31.4006 | 31.4003 | 87.2 | 85.27  | No | 40 | 31.4  | 31.3973     | 85.27  | 67.99  | No |
| 41 | 18.7414 | 18.7537 | 87.2 | 193.78 | No | 41 | 18.74 | 18.7451     | 200.25 | 232.5  | No |
| 42 | 18.704  | 18.7157 | 87.2 | 188.91 | No | 42 | 18.7  | 18.7069     | 195.15 | 219.99 | No |
| 43 | 18.6838 | 18.695  | 87.2 | 183.57 | No | 43 | 18.68 | 18.6858     | 189.58 | 206.44 | No |
| 44 | 18.6983 | 18.7086 | 87.2 | 176.96 | No | 44 | 18.7  | 18.6992     | 182.71 | 191.24 | No |
| 45 | 18.7812 | 18.7906 | 87.2 | 168.38 | No | 45 | 18.78 | 18.7813     | 173.86 | 174.07 | No |
| 46 | 19.0029 | 19.0111 | 87.2 | 157.37 | No | 46 | 19    | 19.002      | 162.55 | 154.98 | No |
|    |         |         |      |        |    |    | _5    | - · · · · · |        | 2      | •  |

| 47 | 19.5182 | 19.525  | 87.2 | 143.69 | No | 47 | 19.52 | 19.5165 | 148.53 | 134.47 | No |
|----|---------|---------|------|--------|----|----|-------|---------|--------|--------|----|
| 48 | 20.7002 | 20.7053 | 87.2 | 127.24 | No | 48 | 20.7  | 20.6979 | 131.64 | 113.24 | No |
| 49 | 23.5608 | 23.5637 | 87.2 | 107.48 | No | 49 | 23.56 | 23.5579 | 111.27 | 91.16  | No |
| 50 | 31.4006 | 31.3997 | 87.2 | 82.51  | No | 50 | 31.4  | 31.3968 | 85.27  | 65.23  | No |
| 51 | 18.7414 | 18.7535 | 87.2 | 192.39 | No | 51 | 18.74 | 18.7446 | 200.25 | 227.91 | No |
| 52 | 18.704  | 18.7163 | 87.2 | 193.83 | No | 52 | 18.7  | 18.7066 | 195.15 | 217.66 | No |
| 53 | 18.6839 | 18.696  | 87.2 | 192.91 | No | 53 | 18.68 | 18.6858 | 189.58 | 205.98 | No |
| 54 | 18.6983 | 18.7099 | 87.2 | 188.27 | No | 54 | 18.7  | 18.6993 | 182.71 | 192.2  | No |
| 55 | 18.7812 | 18.7919 | 87.2 | 178.71 | No | 55 | 18.78 | 18.7815 | 173.86 | 175.94 | No |
| 56 | 19.0029 | 19.0118 | 87.2 | 163.31 | No | 56 | 19    | 19.0023 | 162.55 | 157.29 | No |
| 57 | 19.5182 | 19.5247 | 87.2 | 141.13 | No | 57 | 19.52 | 19.5168 | 148.53 | 136.79 | No |
| 58 | 20.7002 | 20.7034 | 87.2 | 112.15 | No | 58 | 20.7  | 20.6982 | 131.64 | 115.31 | No |
| 59 | 23.5608 | 23.5597 | 87.2 | 79.73  | No | 59 | 23.56 | 23.5581 | 111.27 | 92.77  | No |
| 60 | 31.4006 | 31.3954 | 87.2 | 60.15  | No | 60 | 31.4  | 31.3969 | 85.27  | 65.98  | No |
| 61 | 18.7414 | 18.7535 | 87.2 | 192.39 | No | 61 | 18.74 | 18.7446 | 200.25 | 227.91 | No |
| 62 | 18.704  | 18.7163 | 87.2 | 193.85 | No | 62 | 18.7  | 18.7066 | 195.15 | 217.66 | No |
| 63 | 18.6839 | 18.696  | 87.2 | 192.91 | No | 63 | 18.68 | 18.6858 | 189.58 | 205.98 | No |
| 64 | 18.6983 | 18.7099 | 87.2 | 188.26 | No | 64 | 18.7  | 18.6993 | 182.71 | 192.2  | No |
| 65 | 18.7812 | 18.7918 | 87.2 | 178.72 | No | 65 | 18.78 | 18.7815 | 173.86 | 175.94 | No |
| 66 | 19.0029 | 19.0119 | 87.2 | 163.3  | No | 66 | 19    | 19.0023 | 162.55 | 157.29 | No |
| 67 | 19.5182 | 19.5247 | 87.2 | 141.12 | No | 67 | 19.52 | 19.5168 | 148.53 | 136.79 | No |
| 68 | 20.7002 | 20.7034 | 87.2 | 112.13 | No | 68 | 20.7  | 20.6981 | 131.64 | 115.31 | No |
| 69 | 23.5608 | 23.5597 | 87.2 | 79.71  | No | 69 | 23.56 | 23.5581 | 111.27 | 92.77  | No |
| 70 | 31.4006 | 31.3954 | 87.2 | 60.15  | No | 70 | 31.4  | 31.3969 | 85.27  | 65.98  | No |
| 71 | 18.7414 | 18.7536 | 87.2 | 193.78 | No | 71 | 18.74 | 18.7451 | 200.25 | 232.5  | No |
| 72 | 18.704  | 18.7158 | 87.2 | 188.91 | No | 72 | 18.7  | 18.7069 | 195.15 | 219.98 | No |
| 73 | 18.6839 | 18.695  | 87.2 | 183.56 | No | 73 | 18.68 | 18.6858 | 189.58 | 206.43 | No |
| 74 | 18.6983 | 18.7086 | 87.2 | 176.94 | No | 74 | 18.7  | 18.6992 | 182.71 | 191.24 | No |
| 75 | 18.7812 | 18.7907 | 87.2 | 168.38 | No | 75 | 18.78 | 18.7812 | 173.86 | 174.07 | No |
| 76 | 19.0029 | 19.0112 | 87.2 | 157.36 | No | 76 | 19    | 19.0021 | 162.55 | 154.99 | No |
| 77 | 19.5182 | 19.525  | 87.2 | 143.7  | No | 77 | 19.52 | 19.5165 | 148.53 | 134.47 | No |
| 78 | 20.7002 | 20.7054 | 87.2 | 127.25 | No | 78 | 20.7  | 20.6979 | 131.64 | 113.23 | No |
| 79 | 23.5608 | 23.5637 | 87.2 | 107.48 | No | 79 | 23.56 | 23.5579 | 111.27 | 91.17  | No |
| 80 | 31.4006 | 31.3997 | 87.2 | 82.51  | No | 80 | 31.4  | 31.3968 | 85.27  | 65.23  | No |
| 81 | 18.7415 | 18.7544 | 87.2 | 199.55 | No | 81 | 18.74 | 18.7459 | 200.25 | 238.28 | No |
| 82 | 18.7414 | 18.7543 | 87.2 | 198.87 | No | 82 | 18.74 | 18.7457 | 200.25 | 237.6  | No |
| 83 | 18.7414 | 18.7542 | 87.2 | 198.19 | No | 83 | 18.74 | 18.7456 | 200.25 | 236.92 | No |
| 84 | 18.7414 | 18.7541 | 87.2 | 197.53 | No | 84 | 18.74 | 18.7455 | 200.25 | 236.26 | No |
| 85 | 18.7414 | 18.7541 | 87.2 | 196.87 | No | 85 | 18.74 | 18.7455 | 200.25 | 235.61 | No |
| 86 | 18.7414 | 18.754  | 87.2 | 196.23 | No | 86 | 18.74 | 18.7454 | 200.25 | 234.97 | No |
| 87 | 18.7414 | 18.7539 | 87.2 | 195.6  | No | 87 | 18.74 | 18.7453 | 200.25 | 234.34 | No |
| 88 | 18.7414 | 18.7538 | 87.2 | 194.98 | No | 88 | 18.74 | 18.7452 | 200.25 | 233.71 | No |
| 89 | 18.7414 | 18.7538 | 87.2 | 194.37 | No | 89 | 18.74 | 18.7452 | 200.25 | 233.1  | No |
| 90 | 18.704  | 18.7164 | 87.2 | 194.41 | No | 90 | 18.7  | 18.7075 | 195.15 | 225.48 | No |
| 91 | 18.704  | 18.7163 | 87.2 | 193.69 | No | 91 | 18.7  | 18.7074 | 195.15 | 224.76 | No |
| 92 | 18.704  | 18.7162 | 87.2 | 192.97 | No | 92 | 18.7  | 18.7073 | 195.15 | 224.05 | No |
| 93 | 18.704  | 18.7161 | 87.2 | 192.26 | No | 93 | 18.7  | 18.7073 | 195.15 | 223.34 | No |
| 94 | 18.704  | 18.7161 | 87.2 | 191.57 | No | 94 | 18.7  | 18.7072 | 195.15 | 222.65 | No |
|    |         |         |      |        |    |    |       | <b></b> |        |        |    |

| 95  | 18.704  | 18.716  | 87.2 | 190.88 | No | 95  | 18.7  | 18.7071 | 195.15 | 221.97 | No |
|-----|---------|---------|------|--------|----|-----|-------|---------|--------|--------|----|
| 96  | 18.704  | 18.7159 | 87.2 | 190.22 | No | 96  | 18.7  | 18.707  | 195.15 | 221.3  | No |
| 97  | 18.704  | 18.7158 | 87.2 | 189.56 | No | 97  | 18.7  | 18.7069 | 195.15 | 220.64 | No |
| 98  | 18.6838 | 18.6955 | 87.2 | 188.78 | No | 98  | 18.68 | 18.6863 | 189.58 | 211.65 | No |
| 99  | 18.6839 | 18.6955 | 87.2 | 188    | No | 99  | 18.68 | 18.6863 | 189.58 | 210.88 | No |
| 100 | 18.6839 | 18.6954 | 87.2 | 187.24 | No | 100 | 18.68 | 18.6862 | 189.58 | 210.11 | No |
| 101 | 18.6838 | 18.6952 | 87.2 | 186.46 | No | 101 | 18.68 | 18.6861 | 189.58 | 209.35 | No |
| 102 | 18.6839 | 18.6952 | 87.2 | 185.74 | No | 102 | 18.68 | 18.6861 | 189.58 | 208.61 | No |
| 103 | 18.6838 | 18.6951 | 87.2 | 185    | No | 103 | 18.68 | 18.686  | 189.58 | 207.87 | No |
| 104 | 18.6839 | 18.6951 | 87.2 | 184.28 | No | 104 | 18.68 | 18.6859 | 189.58 | 207.15 | No |
| 105 | 18.6983 | 18.7092 | 87.2 | 181.86 | No | 105 | 18.7  | 18.6998 | 182.71 | 196.15 | No |
| 106 | 18.6983 | 18.7091 | 87.2 | 181.01 | No | 106 | 18.7  | 18.6997 | 182.71 | 195.3  | No |
| 107 | 18.6983 | 18.709  | 87.2 | 180.18 | No | 107 | 18.7  | 18.6996 | 182.71 | 194.47 | No |
| 108 | 18.6983 | 18.7089 | 87.2 | 179.35 | No | 108 | 18.7  | 18.6995 | 182.71 | 193.65 | No |
| 109 | 18.6983 | 18.7088 | 87.2 | 178.55 | No | 109 | 18.7  | 18.6994 | 182.71 | 192.83 | No |
| 110 | 18.6983 | 18.7087 | 87.2 | 177.74 | No | 110 | 18.7  | 18.6993 | 182.71 | 192.03 | No |
| 111 | 18.7813 | 18.7912 | 87.2 | 172.92 | No | 111 | 18.78 | 18.7818 | 173.86 | 178.62 | No |
| 112 | 18.7812 | 18.7911 | 87.2 | 171.99 | No | 112 | 18.78 | 18.7817 | 173.86 | 177.69 | No |
| 113 | 18.7812 | 18.7909 | 87.2 | 171.07 | No | 113 | 18.78 | 18.7815 | 173.86 | 176.77 | No |
| 114 | 18.7812 | 18.7909 | 87.2 | 170.16 | No | 114 | 18.78 | 18.7815 | 173.86 | 175.85 | No |
| 115 | 18.7812 | 18.7907 | 87.2 | 169.27 | No | 115 | 18.78 | 18.7814 | 173.86 | 174.95 | No |
| 116 | 19.0029 | 19.0116 | 87.2 | 161.49 | No | 116 | 19    | 19.0025 | 162.55 | 159.12 | No |
| 117 | 19.0029 | 19.0115 | 87.2 | 160.44 | No | 117 | 19    | 19.0024 | 162.55 | 158.07 | No |
| 118 | 19.0029 | 19.0114 | 87.2 | 159.41 | No | 118 | 19    | 19.0023 | 162.55 | 157.03 | No |
| 119 | 19.0029 | 19.0113 | 87.2 | 158.38 | No | 119 | 19    | 19.0022 | 162.55 | 156    | No |
| 120 | 19.5182 | 19.5254 | 87.2 | 147.31 | No | 120 | 19.52 | 19.5169 | 148.53 | 138.08 | No |
| 121 | 19.5182 | 19.5253 | 87.2 | 146.09 | No | 121 | 19.52 | 19.5168 | 148.53 | 136.87 | No |
| 122 | 19.5182 | 19.5251 | 87.2 | 144.89 | No | 122 | 19.52 | 19.5166 | 148.53 | 135.66 | No |
| 123 | 20.7002 | 20.7057 | 87.2 | 130.17 | No | 123 | 20.7  | 20.6983 | 131.64 | 116.16 | No |
| 124 | 20.7002 | 20.7055 | 87.2 | 128.7  | No | 124 | 20.7  | 20.6981 | 131.64 | 114.69 | No |
| 125 | 23.5608 | 23.564  | 87.2 | 109.37 | No | 125 | 23.56 | 23.5582 | 111.27 | 93.06  | No |
| 126 | 18.7415 | 18.7543 | 87.2 | 198.18 | No | 126 | 18.74 | 18.7453 | 200.25 | 233.69 | No |
| 127 | 18.7414 | 18.7541 | 87.2 | 197.5  | No | 127 | 18.74 | 18.7451 | 200.25 | 233    | No |
| 128 | 18.7414 | 18.754  | 87.2 | 196.82 | No | 128 | 18.74 | 18.7451 | 200.25 | 232.33 | No |
| 129 | 18.7413 | 18.7539 | 87.2 | 196.15 | No | 129 | 18.74 | 18.745  | 200.25 | 231.67 | No |
| 130 | 18.7415 | 18.754  | 87.2 | 195.48 | No | 130 | 18.74 | 18.745  | 200.25 | 231.01 | No |
| 131 | 18.7413 | 18.7538 | 87.2 | 194.85 | No | 131 | 18.74 | 18.7448 | 200.25 | 230.37 | No |
| 132 | 18.7414 | 18.7537 | 87.2 | 194.19 | No | 132 | 18.74 | 18.7448 | 200.25 | 229.74 | No |
| 133 | 18.7415 | 18.7537 | 87.2 | 193.59 | No | 133 | 18.74 | 18.7448 | 200.25 | 229.12 | No |
| 134 | 18.7414 | 18.7536 | 87.2 | 192.97 | No | 134 | 18.74 | 18.7446 | 200.25 | 228.51 | No |
| 135 | 18.704  | 18.7169 | 87.2 | 199.36 | No | 135 | 18.7  | 18.7072 | 195.15 | 223.17 | No |
| 136 | 18.704  | 18.7169 | 87.2 | 198.63 | No | 136 | 18.7  | 18.7072 | 195.15 | 222.44 | No |
| 137 | 18.704  | 18.7168 | 87.2 | 197.92 | No | 137 | 18.7  | 18.7071 | 195.15 | 221.73 | No |
| 138 | 18.704  | 18.7167 | 87.2 | 197.2  | No | 138 | 18.7  | 18.707  | 195.15 | 221.02 | No |
| 139 | 18.704  | 18.7166 | 87.2 | 196.52 | No | 139 | 18.7  | 18.7069 | 195.15 | 220.33 | No |
| 140 | 18.704  | 18.7166 | 87.2 | 195.82 | No | 140 | 18.7  | 18.7068 | 195.15 | 219.65 | No |
| 141 | 18.704  | 18.7165 | 87.2 | 195.15 | No | 141 | 18.7  | 18.7068 | 195.15 | 218.97 | No |
| 142 | 18.704  | 18.7164 | 87.2 | 194.47 | No | 142 | 18.7  | 18.7067 | 195.15 | 218.31 | No |
|     |         |         |      |        |    |     |       |         |        |        |    |

| 143 | 18.6838 | 18.6966 | 87.2 | 198.15 | No | 143 | 18.68 | 18.6863 | 189.58 | 211.21 | No |
|-----|---------|---------|------|--------|----|-----|-------|---------|--------|--------|----|
| 144 | 18.6839 | 18.6966 | 87.2 | 197.38 | No | 144 | 18.68 | 18.6863 | 189.58 | 210.43 | No |
| 145 | 18.6839 | 18.6965 | 87.2 | 196.6  | No | 145 | 18.68 | 18.6862 | 189.58 | 209.67 | No |
| 146 | 18.6838 | 18.6963 | 87.2 | 195.84 | No | 146 | 18.68 | 18.6861 | 189.58 | 208.91 | No |
| 147 | 18.6839 | 18.6963 | 87.2 | 195.08 | No | 147 | 18.68 | 18.686  | 189.58 | 208.16 | No |
| 148 | 18.6839 | 18.6962 | 87.2 | 194.35 | No | 148 | 18.68 | 18.6859 | 189.58 | 207.42 | No |
| 149 | 18.6838 | 18.6961 | 87.2 | 193.61 | No | 149 | 18.68 | 18.6858 | 189.58 | 206.7  | No |
| 150 | 18.6983 | 18.7105 | 87.2 | 193.19 | No | 150 | 18.7  | 18.6999 | 182.71 | 197.1  | No |
| 151 | 18.6983 | 18.7104 | 87.2 | 192.35 | No | 151 | 18.7  | 18.6998 | 182.71 | 196.26 | No |
| 152 | 18.6983 | 18.7103 | 87.2 | 191.5  | No | 152 | 18.7  | 18.6997 | 182.71 | 195.43 | No |
| 153 | 18.6983 | 18.7102 | 87.2 | 190.68 | No | 153 | 18.7  | 18.6996 | 182.71 | 194.6  | No |
| 154 | 18.6983 | 18.7101 | 87.2 | 189.86 | No | 154 | 18.7  | 18.6995 | 182.71 | 193.79 | No |
| 155 | 18.6983 | 18.71   | 87.2 | 189.06 | No | 155 | 18.7  | 18.6995 | 182.71 | 192.99 | No |
| 156 | 18.7813 | 18.7924 | 87.2 | 183.28 | No | 156 | 18.78 | 18.782  | 173.86 | 180.49 | No |
| 157 | 18.7812 | 18.7923 | 87.2 | 182.35 | No | 157 | 18.78 | 18.7819 | 173.86 | 179.56 | No |
| 158 | 18.7812 | 18.7921 | 87.2 | 181.42 | No | 158 | 18.78 | 18.7817 | 173.86 | 178.63 | No |
| 159 | 18.7813 | 18.792  | 87.2 | 180.51 | No | 159 | 18.78 | 18.7817 | 173.86 | 177.72 | No |
| 160 | 18.7812 | 18.7919 | 87.2 | 179.61 | No | 160 | 18.78 | 18.7816 | 173.86 | 176.82 | No |
| 161 | 19.0029 | 19.0123 | 87.2 | 167.45 | No | 161 | 19    | 19.0028 | 162.55 | 161.42 | No |
| 162 | 19.0029 | 19.0122 | 87.2 | 166.39 | No | 162 | 19    | 19.0027 | 162.55 | 160.37 | No |
| 163 | 19.0029 | 19.0121 | 87.2 | 165.36 | No | 163 | 19    | 19.0025 | 162.55 | 159.33 | No |
| 164 | 19.0029 | 19.012  | 87.2 | 164.33 | No | 164 | 19    | 19.0024 | 162.55 | 158.3  | No |
| 165 | 19.5182 | 19.5251 | 87.2 | 144.76 | No | 165 | 19.52 | 19.5172 | 148.53 | 140.41 | No |
| 166 | 19.5182 | 19.525  | 87.2 | 143.53 | No | 166 | 19.52 | 19.5171 | 148.53 | 139.19 | No |
| 167 | 19.5182 | 19.5248 | 87.2 | 142.33 | No | 167 | 19.52 | 19.5169 | 148.53 | 137.98 | No |
| 168 | 20.7002 | 20.7038 | 87.2 | 115.09 | No | 168 | 20.7  | 20.6985 | 131.64 | 118.23 | No |
| 169 | 20.7002 | 20.7036 | 87.2 | 113.61 | No | 169 | 20.7  | 20.6983 | 131.64 | 116.76 | No |
| 170 | 23.5608 | 23.56   | 87.2 | 81.62  | No | 170 | 23.56 | 23.5584 | 111.27 | 94.67  | No |
| 171 | 18.7414 | 18.7543 | 87.2 | 198.19 | No | 171 | 18.74 | 18.7453 | 200.25 | 233.68 | No |
| 172 | 18.7414 | 18.7541 | 87.2 | 197.48 | No | 172 | 18.74 | 18.7451 | 200.25 | 233.01 | No |
| 173 | 18.7414 | 18.754  | 87.2 | 196.82 | No | 173 | 18.74 | 18.7451 | 200.25 | 232.33 | No |
| 174 | 18.7414 | 18.754  | 87.2 | 196.14 | No | 174 | 18.74 | 18.745  | 200.25 | 231.67 | No |
| 175 | 18.7415 | 18.754  | 87.2 | 195.48 | No | 175 | 18.74 | 18.745  | 200.25 | 231.02 | No |
| 176 | 18.7413 | 18.7538 | 87.2 | 194.85 | No | 176 | 18.74 | 18.7448 | 200.25 | 230.37 | No |
| 177 | 18.7414 | 18.7537 | 87.2 | 194.21 | No | 177 | 18.74 | 18.7448 | 200.25 | 229.74 | No |
| 178 | 18.7415 | 18.7537 | 87.2 | 193.59 | No | 178 | 18.74 | 18.7448 | 200.25 | 229.12 | No |
| 179 | 18.7414 | 18.7536 | 87.2 | 192.99 | No | 179 | 18.74 | 18.7446 | 200.25 | 228.51 | No |
| 180 | 18.704  | 18.7169 | 87.2 | 199.35 | No | 180 | 18.7  | 18.7072 | 195.15 | 223.17 | No |
| 181 | 18.704  | 18.7168 | 87.2 | 198.62 | No | 181 | 18.7  | 18.7072 | 195.15 | 222.44 | No |
| 182 | 18.704  | 18.7168 | 87.2 | 197.9  | No | 182 | 18.7  | 18.7071 | 195.15 | 221.73 | No |
| 183 | 18.704  | 18.7167 | 87.2 | 197.21 | No | 183 | 18.7  | 18.707  | 195.15 | 221.02 | No |
| 184 | 18.704  | 18.7166 | 87.2 | 196.51 | No | 184 | 18.7  | 18.7069 | 195.15 | 220.33 | No |
| 185 | 18.704  | 18.7165 | 87.2 | 195.82 | No | 185 | 18.7  | 18.7068 | 195.15 | 219.65 | No |
| 186 | 18.704  | 18.7165 | 87.2 | 195.16 | No | 186 | 18.7  | 18.7068 | 195.15 | 218.97 | No |
| 187 | 18.704  | 18.7164 | 87.2 | 194.49 | No | 187 | 18.7  | 18.7067 | 195.15 | 218.31 | No |
| 188 | 18.6838 | 18.6966 | 87.2 | 198.15 | No | 188 | 18.68 | 18.6863 | 189.58 | 211.21 | No |
| 189 | 18.6839 | 18.6966 | 87.2 | 197.36 | No | 189 | 18.68 | 18.6863 | 189.58 | 210.43 | No |
| 190 | 18.6839 | 18.6965 | 87.2 | 196.6  | No | 190 | 18.68 | 18.6862 | 189.58 | 209.67 | No |
|     |         |         |      |        |    |     |       |         |        |        |    |

| 191        | 18.6838 | 18.6963 | 87.2         | 195.83 | No       | 191 | 18.68 | 18.686  | 189.58           | 208.9            | No       |
|------------|---------|---------|--------------|--------|----------|-----|-------|---------|------------------|------------------|----------|
| 192        | 18.6839 | 18.6963 | 87.2         | 195.09 | No       | 192 | 18.68 | 18.686  | 189.58           | 208.16           | No       |
| 193        | 18.6839 | 18.6962 | 87.2         | 194.35 | No       | 193 | 18.68 | 18.6859 | 189.58           | 207.42           | No       |
| 194        | 18.6838 | 18.6961 | 87.2         | 193.63 | No       | 194 | 18.68 | 18.6858 | 189.58           | 206.7            | No       |
| 195        | 18.6983 | 18.7105 | 87.2         | 193.19 | No       | 195 | 18.7  | 18.6999 | 182.71           | 197.11           | No       |
| 196        | 18.6983 | 18.7104 | 87.2         | 192.34 | No       | 196 | 18.7  | 18.6998 | 182.71           | 196.26           | No       |
| 197        | 18.6983 | 18.7103 | 87.2         | 191.5  | No       | 197 | 18.7  | 18.6998 | 182.71           | 195.43           | No       |
| 198        | 18.6983 | 18.7102 | 87.2         | 190.68 | No       | 198 | 18.7  | 18.6996 | 182.71           | 194.6            | No       |
| 199        | 18.6983 | 18.7101 | 87.2         | 189.86 | No       | 199 | 18.7  | 18.6995 | 182.71           | 193.79           | No       |
| 200        | 18.6983 | 18.71   | 87.2         | 189.05 | No       | 200 | 18.7  | 18.6995 | 182.71           | 192.99           | No       |
| 201        | 18.7812 | 18.7924 | 87.2         | 183.26 | No       | 201 | 18.78 | 18.782  | 173.86           | 180.49           | No       |
| 202        | 18.7812 | 18.7922 | 87.2         | 182.34 | No       | 202 | 18.78 | 18.7819 | 173.86           | 179.55           | No       |
| 203        | 18.7812 | 18.7921 | 87.2         | 181.41 | No       | 203 | 18.78 | 18.7817 | 173.86           | 178.64           | No       |
| 204        | 18.7812 | 18.7921 | 87.2         | 180.51 | No       | 204 | 18.78 | 18.7817 | 173.86           | 177.72           | No       |
| 205        | 18.7812 | 18.7919 | 87.2         | 179.6  | No       | 205 | 18.78 | 18.7816 | 173.86           | 176.83           | No       |
| 206        | 19.0029 | 19.0123 | 87.2         | 167.43 | No       | 206 | 19    | 19.0028 | 162.55           | 161.42           | No       |
| 207        | 19.0029 | 19.0122 | 87.2         | 166.38 | No       | 207 | 19    | 19.0026 | 162.55           | 160.37           | No       |
| 208        | 19.0029 | 19.0121 | 87.2         | 165.34 | No       | 208 | 19    | 19.0026 | 162.55           | 159.33           | No       |
| 209        | 19.0029 | 19.0119 | 87.2         | 164.32 | No       | 209 | 19    | 19.0024 | 162.55           | 158.31           | No       |
| 210        | 19.5182 | 19.5251 | 87.2         | 144.74 | No       | 210 | 19.52 | 19.5172 | 148.53           | 140.41           | No       |
| 211        | 19.5182 | 19.525  | 87.2         | 143.52 | No       | 210 | 19.52 | 19.5171 | 148.53           | 139.19           | No       |
| 212        | 19.5182 | 19.5248 | 87.2         | 142.31 | No       | 212 | 19.52 | 19.5169 | 148.53           | 137.99           | No       |
| 213        | 20.7002 | 20.7038 | 87.2         | 115.06 | No       | 213 | 20.7  | 20.6985 | 131.64           | 118.23           | No       |
| 214        | 20.7002 | 20.7036 | 87.2         | 113.59 | No       | 213 | 20.7  | 20.6984 | 131.64           | 116.23           | No       |
| 215        | 23.5608 | 23.56   | 87.2         | 81.61  | No       | 214 | 23.56 | 23.5584 | 111.27           | 94.67            | No       |
| 216        | 18.7414 | 18.7544 | 87.2         | 199.55 | No       | 216 | 18.74 | 18.7458 | 200.25           | 238.28           | No       |
| 217        | 18.7414 | 18.7542 | 87.2         | 198.87 | No       | 217 | 18.74 | 18.7457 | 200.25           | 237.6            | No       |
| 218        | 18.7414 | 18.7542 | 87.2         | 198.19 | No       | 217 | 18.74 | 18.7456 | 200.25           | 236.93           | No       |
| 219        | 18.7414 | 18.7541 | 87.2         | 197.53 | No       | 219 | 18.74 | 18.7455 | 200.25           | 236.26           | No       |
| 220        | 18.7415 | 18.7542 | 87.2         | 196.87 | No       | 219 |       | 18.7456 |                  | 235.61           | No       |
| 221        | 18.7414 | 18.7539 | 87.2         | 196.22 | No       | 221 | 18.74 | 18.7454 | 200.25<br>200.25 | 234.96           |          |
| 222        | 18.7414 | 18.7539 | 87.2         | 195.59 | No       | 222 | 18.74 | 18.7453 | 200.25           | 234.34           | No<br>No |
| 223        | 18.7414 | 18.7538 | 87.2         | 194.97 | No       | 223 | 18.74 | 18.7452 | 200.25           | 233.72           | No       |
| 224        | 18.7414 | 18.7538 | 87.2         | 194.38 | No       | 223 | 18.74 | 18.7452 |                  |                  |          |
| 225        | 18.704  | 18.7163 | 87.2         | 194.41 | No       | 225 | 18.7  |         | 200.25           | 233.11<br>225.49 | No       |
| 226        | 18.704  | 18.7163 | 87.2         | 193.68 | No       | 225 | 18.7  | 18.7075 | 195.15           |                  | No       |
| 227        | 18.704  | 18.7163 | 87.2         | 192.96 | No       | 227 | 18.7  | 18.7075 | 195.15           | 224.76           | No       |
| 228        | 18.704  | 18.7161 | 87.2         | 192.26 | No       | 228 | 18.7  | 18.7073 | 195.15<br>195.15 | 224.05           | No       |
| 229        | 18.704  | 18.7161 | 87.2         | 191.56 | No       |     |       | 18.7073 |                  | 223.34           | No       |
| 230        | 18.704  | 18.716  | 87.2         | 190.89 | No       | 229 | 18.7  | 18.7072 | 195.15           | 222.65           | No       |
| 231        | 18.704  | 18.7159 | 87.2         | 190.83 | No       | 230 | 18.7  | 18.7071 | 195.15           | 221.97           | No       |
| 232        | 18.704  | 18.7158 | 87.2         | 189.56 |          | 231 | 18.7  | 18.707  | 195.15           | 221.3            | No       |
| 232        | 18.6838 | 18.6955 | 87.2         | 188.78 | No<br>No | 232 | 18.7  | 18.707  | 195.15           | 220.63           | No       |
| 234        | 18.6839 | 18.6955 | 87.2         | 188.01 | No       | 233 | 18.68 | 18.6864 | 189.58           | 211.66           | No       |
|            | 18.6839 |         |              |        |          | 234 | 18.68 | 18.6863 | 189.58           | 210.88           | No       |
| 235<br>236 |         | 18.6954 | 87.2<br>87.2 | 187.23 | No<br>No | 235 | 18.68 | 18.6863 | 189.58           | 210.11           | No       |
|            | 18.6838 | 18.6952 | 87.2<br>87.2 | 186.48 | No<br>No | 236 | 18.68 | 18.6861 | 189.58           | 209.35           | No       |
| 237        | 18.6839 | 18.6952 | 87.2<br>97.2 | 185.72 | No<br>No | 237 | 18.68 | 18.686  | 189.58           | 208.61           | No       |
| 238        | 18.6839 | 18.6951 | 87.2         | 185    | No       | 238 | 18.68 | 18.686  | 189.58           | 207.87           | No       |

| 239 | 18.6838 | 18.695  | 87.2 | 184.27 | No | 239 | 18.68 | 18.6859 | 189.58 | 207.15 | No |
|-----|---------|---------|------|--------|----|-----|-------|---------|--------|--------|----|
| 240 | 18.6983 | 18.7092 | 87.2 | 181.85 | No | 240 | 18.7  | 18.6998 | 182.71 | 196.15 | No |
| 241 | 18.6983 | 18.7091 | 87.2 | 181.02 | No | 241 | 18.7  | 18.6997 | 182.71 | 195.3  | No |
| 242 | 18.6983 | 18.709  | 87.2 | 180.18 | No | 242 | 18.7  | 18.6996 | 182.71 | 194.47 | No |
| 243 | 18.6983 | 18.7089 | 87.2 | 179.36 | No | 243 | 18.7  | 18.6996 | 182.71 | 193.65 | No |
| 244 | 18.6983 | 18.7088 | 87.2 | 178.54 | No | 244 | 18.7  | 18.6994 | 182.71 | 192.83 | No |
| 245 | 18.6983 | 18.7087 | 87.2 | 177.74 | No | 245 | 18.7  | 18.6993 | 182.71 | 192.03 | No |
| 246 | 18.7812 | 18.7912 | 87.2 | 172.92 | No | 246 | 18.78 | 18.7818 | 173.86 | 178.62 | No |
| 247 | 18.7812 | 18.791  | 87.2 | 171.99 | No | 247 | 18.78 | 18.7817 | 173.86 | 177.69 | No |
| 248 | 18.7812 | 18.791  | 87.2 | 171.07 | No | 248 | 18.78 | 18.7815 | 173.86 | 176.76 | No |
| 249 | 18.7812 | 18.7908 | 87.2 | 170.16 | No | 249 | 18.78 | 18.7815 | 173.86 | 175.85 | No |
| 250 | 18.7812 | 18.7907 | 87.2 | 169.26 | No | 250 | 18.78 | 18.7814 | 173.86 | 174.95 | No |
| 251 | 19.0029 | 19.0116 | 87.2 | 161.5  | No | 251 | 19    | 19.0025 | 162.55 | 159.11 | No |
| 252 | 19.0029 | 19.0115 | 87.2 | 160.45 | No | 252 | 19    | 19.0024 | 162.55 | 158.07 | No |
| 253 | 19.0029 | 19.0114 | 87.2 | 159.4  | No | 253 | 19    | 19.0023 | 162.55 | 157.03 | No |
| 254 | 19.0029 | 19.0112 | 87.2 | 158.38 | No | 254 | 19    | 19.0021 | 162.55 | 156    | No |
| 255 | 19.5182 | 19.5254 | 87.2 | 147.31 | No | 255 | 19.52 | 19.5169 | 148.53 | 138.08 | No |
| 256 | 19.5182 | 19.5253 | 87.2 | 146.09 | No | 256 | 19.52 | 19.5168 | 148.53 | 136.86 | No |
| 257 | 19.5182 | 19.5252 | 87.2 | 144.9  | No | 257 | 19.52 | 19.5166 | 148.53 | 135.66 | No |
| 258 | 20.7002 | 20.7057 | 87.2 | 130.17 | No | 258 | 20.7  | 20.6983 | 131.64 | 116.16 | No |
| 259 | 20.7002 | 20.7055 | 87.2 | 128.71 | No | 259 | 20.7  | 20.6981 | 131.64 | 114.69 | No |
| 260 | 23.5608 | 23.564  | 87.2 | 109.38 | No | 260 | 23.56 | 23.5581 | 111.27 | 93.06  | No |
|     |         |         |      |        |    |     |       |         |        |        |    |

# Последняя итерация - оптимизационная

### Iteration no=3 R=0.0099

| MN | Init.L  | Finl.L  | Input Ti | Output<br>T | D.v | MN  | Init.L  | Finl.L  | Input<br>Ti | Output<br>T | D.v |
|----|---------|---------|----------|-------------|-----|-----|---------|---------|-------------|-------------|-----|
| 1  | 18.7414 | 18.7451 | 238.97   | 242.19      | Yes | 131 | 18.7413 | 18.744  | 230.37      | 233.07      | Yes |
| 2  | 18.7414 | 18.7445 | 234.38   | 237.08      | Yes | 132 | 18.7414 | 18.7439 | 229.74      | 232.44      | Yes |
| 3  | 18.704  | 18.7067 | 226.22   | 228.76      | Yes | 133 | 18.7415 | 18.7439 | 229.12      | 231.82      | Yes |
| 4  | 18.704  | 18.7064 | 223.9    | 225.57      | Yes | 134 | 18.7414 | 18.7438 | 228.51      | 231.21      | Yes |
| 5  | 18.6839 | 18.6856 | 212.44   | 214.22      | Yes | 135 | 18.704  | 18.7063 | 223.17      | 224.84      | Yes |
| 6  | 18.6839 | 18.6854 | 212      | 212.76      | Yes | 136 | 18.704  | 18.7062 | 222.44      | 224.12      | Yes |
| 7  | 18.6983 | 18.6989 | 197      | 198.01      | Yes | 137 | 18.704  | 18.7061 | 221.73      | 223.4       | Yes |
| 8  | 18.6983 | 18.6989 | 197.96   | 197.99      | Yes | 138 | 18.704  | 18.706  | 221.02      | 222.7       | Yes |
| 9  | 18.7812 | 18.7808 | 179.56   | 179.87      | Yes | 139 | 18.704  | 18.706  | 220.33      | 222         | Yes |
| 10 | 18.7812 | 18.7809 | 181.43   | 181         | Yes | 140 | 18.704  | 18.7059 | 219.65      | 221.32      | Yes |
| 11 | 19.0029 | 19.0014 | 160.18   | 160.81      | Yes | 141 | 18.704  | 18.7058 | 218.97      | 220.64      | Yes |
| 12 | 19.0029 | 19.0017 | 162.49   | 162.86      | Yes | 142 | 18.704  | 18.7057 | 218.31      | 219.98      | Yes |
| 13 | 19.5182 | 19.5159 | 139.31   | 139.04      | Yes | 143 | 18.6838 | 18.6852 | 211.21      | 211.97      | Yes |
| 14 | 19.5182 | 19.5162 | 141.63   | 141.9       | Yes | 144 | 18.6839 | 18.6852 | 210.43      | 211.19      | Yes |
| 15 | 20.7002 | 20.6972 | 117.64   | 118.16      | Yes | 145 | 18.6839 | 18.6851 | 209.67      | 210.43      | Yes |
| 16 | 20.7002 | 20.6977 | 119.71   | 121.92      | Yes | 146 | 18.6838 | 18.685  | 208.91      | 209.66      | Yes |
| 17 | 23.5608 | 23.5574 | 94.96    | 97.95       | Yes | 147 | 18.6839 | 18.6849 | 208.16      | 208.92      | Yes |

| 18 | 23.5608 | 23.5581 | 96.57  | 102.44 | Yes | 148 | 18.6839 | 18.6849 | 207.42 | 208.18 | Yes |
|----|---------|---------|--------|--------|-----|-----|---------|---------|--------|--------|-----|
| 19 | 31.4006 | 31.3968 | 67.99  | 75.58  | Yes | 149 | 18.6838 | 18.6847 | 206.7  | 207.45 | Yes |
| 20 | 31.4006 | 31.3974 | 68.74  | 78.58  | Yes | 150 | 18.6983 | 18.6988 | 197.1  | 197.13 | Yes |
| 21 | 18.7414 | 18.7444 | 234.38 | 237.08 | Yes | 151 | 18.6983 | 18.6987 | 196.26 | 196.29 | Yes |
| 22 | 18.7414 | 18.7451 | 238.97 | 242.19 | Yes | 152 | 18.6983 | 18.6986 | 195.43 | 195.45 | Yes |
| 23 | 18.704  | 18.7064 | 223.9  | 225.57 | Yes | 153 | 18.6983 | 18.6985 | 194.6  | 194.63 | Yes |
| 24 | 18.704  | 18.7067 | 226.22 | 228.75 | Yes | 154 | 18.6983 | 18.6984 | 193.79 | 193.81 | Yes |
| 25 | 18.6839 | 18.6854 | 212    | 212.75 | Yes | 155 | 18.6983 | 18.6983 | 192.99 | 193.01 | Yes |
| 26 | 18.6839 | 18.6856 | 212.44 | 214.22 | Yes | 156 | 18.7813 | 18.7808 | 180.49 | 180.06 | Yes |
| 27 | 18.6983 | 18.6989 | 197.96 | 197.99 | Yes | 157 | 18.7812 | 18.7807 | 179.56 | 179.12 | Yes |
| 28 | 18.6983 | 18.6988 | 197    | 198.01 | Yes | 158 | 18.7812 | 18.7805 | 178.63 | 178.2  | Yes |
| 29 | 18.7812 | 18.7809 | 181.43 | 181    | Yes | 159 | 18.7813 | 18.7805 | 177.72 | 177.29 | Yes |
| 30 | 18.7812 | 18.7808 | 179.56 | 179.87 | Yes | 160 | 18.7812 | 18.7804 | 176.82 | 176.39 | Yes |
| 31 | 19.0029 | 19.0017 | 162.48 | 162.86 | Yes | 161 | 19.0029 | 19.0015 | 161.42 | 161.8  | Yes |
| 32 | 19.0029 | 19.0014 | 160.18 | 160.8  | Yes | 162 | 19.0029 | 19.0014 | 160.37 | 160.75 | Yes |
| 33 | 19.5182 | 19.5162 | 141.64 | 141.9  | Yes | 163 | 19.0029 | 19.0013 | 159.33 | 159.71 | Yes |
| 34 | 19.5182 | 19.5159 | 139.31 | 139.04 | Yes | 164 | 19.0029 | 19.0012 | 158.3  | 158.68 | Yes |
| 35 | 20.7002 | 20.6977 | 119.71 | 121.92 | Yes | 165 | 19.5182 | 19.5161 | 140.41 | 140.68 | Yes |
| 36 | 20.7002 | 20.6972 | 117.64 | 118.16 | Yes | 166 | 19.5182 | 19.5159 | 139.19 | 139.46 | Yes |
| 37 | 23.5608 | 23.5581 | 96.57  | 102.44 | Yes | 167 | 19.5182 | 19.5158 | 137.98 | 138.25 | Yes |
| 38 | 23.5608 | 23.5574 | 94.96  | 97.95  | Yes | 168 | 20.7002 | 20.6975 | 118.23 | 120.44 | Yes |
| 39 | 31.4006 | 31.3974 | 68.74  | 78.58  | Yes | 169 | 20.7002 | 20.6974 | 116.76 | 118.97 | Yes |
| 40 | 31.4006 | 31.3968 | 67.99  | 75.58  | Yes | 170 | 23.5608 | 23.5578 | 94.67  | 100.54 | Yes |
| 41 | 18.7414 | 18.7443 | 232.5  | 235.72 | Yes | 171 | 18.7414 | 18.7444 | 233.68 | 236.39 | Yes |
| 42 | 18.704  | 18.706  | 219.99 | 222.51 | Yes | 172 | 18.7414 | 18.7443 | 233.01 | 235.7  | Yes |
| 43 | 18.6838 | 18.6848 | 206.44 | 208.21 | Yes | 173 | 18.7414 | 18.7442 | 232.33 | 235.03 | Yes |
| 44 | 18.6983 | 18.6982 | 191.24 | 192.25 | Yes | 174 | 18.7414 | 18.7442 | 231.67 | 234.37 | Yes |
| 45 | 18.7812 | 18.7801 | 174.07 | 174.38 | Yes | 175 | 18.7415 | 18.7442 | 231.02 | 233.72 | Yes |
| 46 | 19.0029 | 19.0008 | 154.98 | 155.62 | Yes | 176 | 18.7413 | 18.744  | 230.37 | 233.07 | Yes |
| 47 | 19.5182 | 19.5153 | 134.47 | 134.2  |     | 177 | 18.7414 |         |        | 232.44 | Yes |
| 48 | 20.7002 | 20.6967 | 113.24 | 113.76 | Yes | 178 | 18.7415 | 18.7439 | 229.12 | 231.82 | Yes |
| 49 | 23.5608 | 23.5569 | 91.16  | 94.15  | Yes | 179 | 18.7414 | 18.7438 | 228.51 | 231.21 | Yes |
| 50 | 31.4006 | 31.3963 | 65.23  | 72.82  | Yes | 180 | 18.704  | 18.7063 | 223.17 | 224.84 | Yes |
| 51 | 18.7414 | 18.7437 | 227.91 | 230.61 | Yes | 181 | 18.704  | 18.7062 | 222.44 | 224.12 | Yes |
| 52 | 18.704  | 18.7057 | 217.66 | 219.33 | Yes | 182 | 18.704  | 18.7061 | 221.73 | 223.4  | Yes |
| 53 | 18.6839 | 18.6847 | 205.98 | 206.74 | Yes | 183 | 18.704  | 18.7061 | 221.02 | 222.7  | Yes |
| 54 | 18.6983 | 18.6982 | 192.2  | 192.22 | Yes | 184 | 18.704  | 18.7059 | 220.33 | 222    | Yes |
| 55 | 18.7812 | 18.7803 | 175.94 | 175.5  | Yes | 185 | 18.704  | 18.7059 | 219.65 | 221.32 | Yes |
| 56 | 19.0029 | 19.0011 | 157.29 | 157.66 | Yes | 186 | 18.704  | 18.7058 | 218.97 | 220.64 | Yes |
| 57 | 19.5182 | 19.5156 | 136.79 | 137.06 | Yes | 187 | 18.704  | 18.7057 | 218.31 | 219.98 | Yes |
| 58 | 20.7002 | 20.6972 | 115.31 | 117.52 | Yes | 188 | 18.6838 | 18.6852 | 211.21 | 211.97 | Yes |
| 59 | 23.5608 | 23.5575 | 92.77  | 98.65  | Yes | 189 | 18.6839 | 18.6852 | 210.43 | 211.19 | Yes |
| 60 | 31.4006 | 31.3969 | 65.98  | 75.81  | Yes | 190 | 18.6839 | 18.6851 | 209.67 | 210.42 | Yes |
| 61 | 18.7414 | 18.7437 | 227.91 | 230.61 | Yes | 191 | 18.6838 | 18.685  | 208.9  | 209.66 | Yes |
| 62 | 18.704  | 18.7057 | 217.66 | 219.33 | Yes | 192 | 18.6839 | 18.685  | 208.16 | 208.92 | Yes |
| 63 | 18.6839 | 18.6847 | 205.98 | 206.74 | Yes | 193 | 18.6839 | 18.6849 | 207.42 | 208.18 | Yes |
| 64 | 18.6983 | 18.6982 | 192.2  | 192.22 | Yes | 194 | 18.6838 | 18.6847 | 206.7  | 207.45 | Yes |
| 65 | 18.7812 | 18.7803 | 175.94 | 175.5  | Yes | 195 | 18.6983 | 18.6988 | 197.11 | 197.13 | Yes |
|    |         |         |        |        |     |     |         |         |        |        |     |

| 66  | 19.0029 | 19.0011 | 157.29 | 157.67 | Yes | 196 | 18.6983 | 18.6987 | 196.26 | 196.28 | Yes |
|-----|---------|---------|--------|--------|-----|-----|---------|---------|--------|--------|-----|
| 67  | 19.5182 | 19.5156 | 136.79 | 137.06 | Yes | 197 | 18.6983 | 18.6986 | 195.43 | 195.45 | Yes |
| 68  | 20.7002 | 20.6971 | 115.31 | 117.52 | Yes | 198 | 18.6983 | 18.6985 | 194.6  | 194.63 | Yes |
| 69  | 23.5608 | 23.5575 | 92.77  | 98.65  | Yes | 199 | 18.6983 | 18.6984 | 193.79 | 193.81 | Yes |
| 70  | 31.4006 | 31.3969 | 65.98  | 75.81  | Yes | 200 | 18.6983 | 18.6983 | 192.99 | 193.01 | Yes |
| 71  | 18.7414 | 18.7444 | 232.5  | 235.72 | Yes | 201 | 18.7812 | 18.7808 | 180.49 | 180.06 | Yes |
| 72  | 18.704  | 18.706  | 219.98 | 222.51 | Yes | 202 | 18.7812 | 18.7807 | 179.55 | 179.12 | Yes |
| 73  | 18.6839 | 18.6849 | 206.43 | 208.21 | Yes | 203 | 18.7812 | 18.7805 | 178.64 | 178.2  | Yes |
| 74  | 18.6983 | 18.6982 | 191.24 | 192.25 | Yes | 204 | 18.7812 | 18.7805 | 177.72 | 177.29 | Yes |
| 75  | 18.7812 | 18.7802 | 174.07 | 174.38 | Yes | 205 | 18.7812 | 18.7804 | 176.83 | 176.39 | Yes |
| 76  | 19.0029 | 19.0009 | 154.99 | 155.61 | Yes | 206 | 19.0029 | 19.0015 | 161.42 | 161.8  | Yes |
| 77  | 19.5182 | 19.5152 | 134.47 | 134.2  | Yes | 207 | 19.0029 | 19.0014 | 160.37 | 160.75 | Yes |
| 78  | 20.7002 | 20.6967 | 113.23 | 113.75 | Yes | 208 | 19.0029 | 19.0013 | 159.33 | 159.71 | Yes |
| 79  | 23.5608 | 23.5568 | 91.17  | 94.15  | Yes | 209 | 19.0029 | 19.0012 | 158.31 | 158.68 | Yes |
| 80  | 31.4006 | 31.3963 | 65.23  | 72.82  | Yes | 210 | 19.5182 | 19.516  | 140.41 | 140.68 | Yes |
| 81  | 18.7415 | 18.7451 | 238.28 | 241.5  | Yes | 211 | 19.5182 | 19.5159 | 139.19 | 139.46 | Yes |
| 82  | 18.7414 | 18.7449 | 237.6  | 240.82 | Yes | 212 | 19.5182 | 19.5157 | 137.99 | 138.26 | Yes |
| 83  | 18.7414 | 18.7448 | 236.92 | 240.14 | Yes | 213 | 20.7002 | 20.6975 | 118.23 | 120.44 | Yes |
| 84  | 18.7414 | 18.7447 | 236.26 | 239.48 | Yes | 214 | 20.7002 | 20.6974 | 116.77 | 118.98 | Yes |
| 85  | 18.7414 | 18.7447 | 235.61 | 238.83 | Yes | 215 | 23.5608 | 23.5578 | 94.67  | 100.54 | Yes |
| 86  | 18.7414 | 18.7446 | 234.97 | 238.19 | Yes | 216 | 18.7414 | 18.7451 | 238.28 | 241.49 | Yes |
| 87  | 18.7414 | 18.7446 | 234.34 | 237.56 | Yes | 217 | 18.7414 | 18.7449 | 237.6  | 240.81 | Yes |
| 88  | 18.7414 | 18.7445 | 233.71 | 236.93 | Yes | 218 | 18.7414 | 18.7449 | 236.93 | 240.14 | Yes |
| 89  | 18.7414 | 18.7444 | 233.1  | 236.32 | Yes | 219 | 18.7414 | 18.7447 | 236.26 | 239.48 | Yes |
| 90  | 18.704  | 18.7067 | 225.48 | 228.02 | Yes | 220 | 18.7415 | 18.7448 | 235.61 | 238.83 | Yes |
| 91  | 18.704  | 18.7066 | 224.76 | 227.3  | Yes | 221 | 18.7414 | 18.7446 | 234.96 | 238.19 | Yes |
| 92  | 18.704  | 18.7065 | 224.05 | 226.58 | Yes | 222 | 18.7414 | 18.7446 | 234.34 | 237.56 | Yes |
| 93  | 18.704  | 18.7064 | 223.34 | 225.88 | Yes | 223 | 18.7414 | 18.7445 | 233.72 | 236.93 | Yes |
| 94  | 18.704  | 18.7063 | 222.65 | 225.18 | Yes | 224 | 18.7414 | 18.7444 | 233.11 | 236.32 | Yes |
| 95  | 18.704  | 18.7062 | 221.97 | 224.51 | Yes | 225 | 18.704  | 18.7067 | 225.49 | 228.02 | Yes |
| 96  | 18.704  | 18.7062 | 221.3  | 223.83 | Yes | 226 | 18.704  | 18.7066 | 224.76 | 227.3  | Yes |
| 97  | 18.704  | 18.7061 | 220.64 | 223.17 | Yes | 227 | 18.704  | 18.7065 | 224.05 | 226.59 | Yes |
| 98  | 18.6838 | 18.6854 | 211.65 | 213.43 | Yes | 228 | 18.704  | 18.7064 | 223.34 | 225.88 | Yes |
| 99  | 18.6839 | 18.6854 | 210.88 | 212.66 | Yes | 229 | 18.704  | 18.7063 | 222.65 | 225.19 | Yes |
| 100 | 18.6839 | 18.6853 | 210.11 | 211.89 | Yes | 230 | 18.704  | 18.7062 | 221.97 | 224.5  | Yes |
| 101 | 18.6838 | 18.6851 | 209.35 | 211.13 | Yes | 231 | 18.704  | 18.7061 | 221.3  | 223.83 | Yes |
| 102 | 18.6839 | 18.6851 | 208.61 | 210.39 | Yes | 232 | 18.704  | 18.7061 | 220.63 | 223.16 | Yes |
| 103 | 18.6838 | 18.685  | 207.87 | 209.65 | Yes | 233 | 18.6838 | 18.6854 | 211.66 | 213.43 | Yes |
| 104 | 18.6839 | 18.6849 | 207.15 | 208.93 | Yes | 234 | 18.6839 | 18.6854 | 210.88 | 212.66 | Yes |
| 105 | 18.6983 | 18.6988 | 196.15 | 197.16 | Yes | 235 | 18.6839 | 18.6853 | 210.11 | 211.89 | Yes |
| 106 | 18.6983 | 18.6987 | 195.3  | 196.31 | Yes | 236 | 18.6838 | 18.6852 | 209.35 | 211.14 | Yes |
| 107 | 18.6983 | 18.6986 | 194.47 | 195.48 | Yes | 237 | 18.6839 | 18.6851 | 208.61 | 210.39 | Yes |
| 108 | 18.6983 | 18.6985 | 193.65 | 194.66 | Yes | 238 | 18.6839 | 18.685  | 207.87 | 209.65 | Yes |
| 109 | 18.6983 | 18.6984 | 192.83 | 193.84 | Yes | 239 | 18.6838 | 18.6849 | 207.15 | 208.93 | Yes |
| 110 | 18.6983 | 18.6983 | 192.03 | 193.04 | Yes | 240 | 18.6983 | 18.6988 | 196.15 | 197.16 | Yes |
| 111 | 18.7813 | 18.7807 | 178.62 | 178.93 | Yes | 241 | 18.6983 | 18.6987 | 195.3  | 196.32 | Yes |
| 112 | 18.7812 | 18.7806 | 177.69 | 178    | Yes | 242 | 18.6983 | 18.6986 | 194.47 | 195.48 | Yes |
| 113 | 18.7812 | 18.7804 | 176.77 | 177.08 | Yes | 243 | 18.6983 | 18.6985 | 193.65 | 194.66 | Yes |
|     |         |         |        |        |     |     |         |         |        |        |     |

| 114 | 18.7812 | 18.7803 | 175.85 | 176.17 | Yes | 244 | 18.6983 | 18.6984 | 192.83 | 193.84 | Yes |
|-----|---------|---------|--------|--------|-----|-----|---------|---------|--------|--------|-----|
| 115 | 18.7812 | 18.7802 | 174.95 | 175.27 | Yes | 245 | 18.6983 | 18.6983 | 192.03 | 193.04 | Yes |
| 116 | 19.0029 | 19.0013 | 159.12 | 159.74 | Yes | 246 | 18.7812 | 18.7807 | 178.62 | 178.93 | Yes |
| 117 | 19.0029 | 19.0012 | 158.07 | 158.69 | Yes | 247 | 18.7812 | 18.7805 | 177.69 | 178    | Yes |
| 118 | 19.0029 | 19.0011 | 157.03 | 157.66 | Yes | 248 | 18.7812 | 18.7804 | 176.76 | 177.08 | Yes |
| 119 | 19.0029 | 19.0009 | 156    | 156.63 | Yes | 249 | 18.7812 | 18.7803 | 175.85 | 176.17 | Yes |
| 120 | 19.5182 | 19.5157 | 138.08 | 137.81 | Yes | 250 | 18.7812 | 18.7803 | 174.95 | 175.27 | Yes |
| 121 | 19.5182 | 19.5156 | 136.87 | 136.6  | Yes | 251 | 19.0029 | 19.0013 | 159.11 | 159.74 | Yes |
| 122 | 19.5182 | 19.5154 | 135.66 | 135.39 | Yes | 252 | 19.0029 | 19.0012 | 158.07 | 158.69 | Yes |
| 123 | 20.7002 | 20.6971 | 116.16 | 116.69 | Yes | 253 | 19.0029 | 19.001  | 157.03 | 157.66 | Yes |
| 124 | 20.7002 | 20.6969 | 114.69 | 115.21 | Yes | 254 | 19.0029 | 19.0009 | 156    | 156.63 | Yes |
| 125 | 23.5608 | 23.5571 | 93.06  | 96.04  | Yes | 255 | 19.5182 | 19.5157 | 138.08 | 137.81 | Yes |
| 126 | 18.7415 | 18.7445 | 233.69 | 236.39 | Yes | 256 | 19.5182 | 19.5156 | 136.86 | 136.6  | Yes |
| 127 | 18.7414 | 18.7443 | 233    | 235.7  | Yes | 257 | 19.5182 | 19.5154 | 135.66 | 135.39 | Yes |
| 128 | 18.7414 | 18.7442 | 232.33 | 235.03 | Yes | 258 | 20.7002 | 20.697  | 116.16 | 116.68 | Yes |
| 129 | 18.7413 | 18.7441 | 231.67 | 234.37 | Yes | 259 | 20.7002 | 20.6969 | 114.69 | 115.21 | Yes |
| 130 | 18.7415 | 18.7442 | 231.01 | 233.71 | Yes | 260 | 23.5608 | 23.5571 | 93.06  | 96.04  | Yes |

### ПРИЛОЖЕНИЕ.2

Скорость ветра и соответствующую нагрузки на узлы вантовых элементов и жестких элементов (для пилонов).

Cd- аэродинамический коэффициент; P in x – вектор усилий в направлении оси x; Угол атаки ветра-Ang Att

Скорость ветра на высоте Zi, V(zi)=2.5\*Vsv\*Alog( Zi/f),

If (Re(MN). LE. 0.6) Cd(MN)=1.2

If (Re(MN). GE. 0.6) Cd(MN)=0.9

\*\*\* Скорость ветра и соответствующую нагрузки на узлы вантовых элементов

| MN | Zi     | V(Zi) | Cd  | Re    | Ang<br>Att | Aexp | P in x |
|----|--------|-------|-----|-------|------------|------|--------|
| 1  | 116.36 | 27.06 | 0.9 | 3.336 | 90.0       | 0.12 | 0.091  |
| 2  | 116.36 | 27.06 | 0.9 | 3.336 | 90.0       | 0.12 | 0.091  |
| 3  | 114.1  | 26.97 | 0.9 | 3.325 | 90.0       | 0.12 | 0.09   |
| 4  | 114.1  | 26.97 | 0.9 | 3.325 | 90.0       | 0.12 | 0.09   |
| 5  | 111.78 | 26.89 | 0.9 | 3.315 | 90.0       | 0.12 | 0.089  |
| 6  | 111.78 | 26.89 | 0.9 | 3.315 | 90.0       | 0.12 | 0.089  |
| 7  | 109.38 | 26.79 | 0.9 | 3.303 | 90.0       | 0.12 | 0.089  |
| 8  | 109.38 | 26.79 | 0.9 | 3.303 | 90.0       | 0.12 | 0.089  |
| 9  | 106.86 | 26.69 | 0.9 | 3.291 | 90.0       | 0.12 | 0.089  |
| 10 | 106.86 | 26.69 | 0.9 | 3.291 | 90.0       | 0.12 | 0.089  |
| 11 | 104.17 | 26.59 | 0.9 | 3.278 | 90.0       | 0.12 | 0.089  |
| 12 | 104.17 | 26.59 | 0.9 | 3.278 | 90.0       | 0.12 | 0.089  |

| 13 | 101.2          | 26.46 | 0.9 | 3.263 | 90.0 | 0.12 | 0.09  |
|----|----------------|-------|-----|-------|------|------|-------|
| 14 | 101.2          | 26.46 | 0.9 | 3.263 | 90.0 | 0.12 | 0.09  |
| 15 | 97.75          | 26.32 | 0.9 | 3.244 | 90.0 | 0.12 | 0.095 |
| 16 | 97.75          | 26.32 | 0.9 | 3.244 | 90.0 | 0.12 | 0.095 |
| 17 | 93.33          | 26.12 | 0.9 | 3.22  | 90.0 | 0.12 | 0.106 |
| 18 | 93.33          | 26.12 | 0.9 | 3.22  | 90.0 | 0.12 | 0.106 |
| 19 | 86.5           | 25.8  | 0.9 | 3.18  | 90.0 | 0.12 | 0.138 |
| 20 | 86.5           | 25.8  | 0.9 | 3.18  | 90.0 | 0.12 | 0.138 |
| 21 | 116.36         | 27.06 | 0.9 | 3.336 | 90.0 | 0.12 | 0.091 |
| 22 | 116.36         | 27.06 | 0.9 | 3.336 | 90.0 | 0.12 | 0.091 |
| 23 | 114.1          | 26.97 | 0.9 | 3.325 | 90.0 | 0.12 | 0.09  |
| 24 | 114.1          | 26.97 | 0.9 | 3.325 | 90.0 | 0.12 | 0.09  |
| 25 | 111.78         | 26.89 | 0.9 | 3.315 | 90.0 | 0.12 | 0.089 |
| 26 | 111.78         | 26.89 | 0.9 | 3.315 | 90.0 | 0.12 | 0.089 |
| 27 | 109.38         | 26.79 | 0.9 | 3.303 | 90.0 | 0.12 | 0.089 |
| 28 | 109.38         | 26.79 | 0.9 | 3.303 | 90.0 | 0.12 | 0.089 |
| 29 | 106.86         | 26.69 | 0.9 | 3.291 | 90.0 | 0.12 | 0.089 |
| 30 | 106.86         | 26.69 | 0.9 | 3.291 | 90.0 | 0.12 | 0.089 |
| 31 | 100.80         | 26.59 | 0.9 | 3.278 | 90.0 | 0.12 | 0.089 |
| 32 | 104.17         | 26.59 | 0.9 | 3.278 | 90.0 | 0.12 | 0.089 |
| 33 | 104.17         | 26.46 | 0.9 | 3.263 | 90.0 | 0.12 | 0.089 |
| 34 |                |       |     |       |      |      |       |
|    | 101.2          | 26.46 | 0.9 | 3.263 | 90.0 | 0.12 | 0.09  |
| 35 | 97.75<br>07.75 | 26.32 | 0.9 | 3.244 | 90.0 | 0.12 | 0.095 |
| 36 | 97.75          | 26.32 | 0.9 | 3.244 | 90.0 | 0.12 | 0.095 |
| 37 | 93.33          | 26.12 | 0.9 | 3.22  | 90.0 | 0.12 | 0.106 |
| 38 | 93.33          | 26.12 | 0.9 | 3.22  | 90.0 | 0.12 | 0.106 |
| 39 | 86.5           | 25.8  | 0.9 | 3.18  | 90.0 | 0.12 | 0.138 |
| 40 | 86.5           | 25.8  | 0.9 | 3.18  | 90.0 | 0.12 | 0.138 |
| 41 | 50.91          | 23.54 | 0.9 | 2.903 | 90.0 | 0.12 | 0.069 |
| 42 | 51.7           | 23.61 | 0.9 | 2.911 | 90.0 | 0.12 | 0.069 |
| 43 | 52.67          | 23.69 | 0.9 | 2.92  | 90.0 | 0.12 | 0.069 |
| 44 | 53.88          | 23.78 | 0.9 | 2.932 | 90.0 | 0.12 | 0.07  |
| 45 | 55.43          | 23.9  | 0.9 | 2.947 | 90.0 | 0.12 | 0.071 |
| 46 | 57.5           | 24.06 | 0.9 | 2.966 | 90.0 | 0.12 | 0.073 |
| 47 | 60.4           | 24.27 | 0.9 | 2.992 | 90.0 | 0.12 | 0.076 |
| 48 | 64.75          | 24.56 | 0.9 | 3.029 | 90.0 | 0.12 | 0.083 |
| 49 | 72             | 25.02 | 0.9 | 3.084 | 90.0 | 0.12 | 0.098 |
| 50 | 86.5           | 25.8  | 0.9 | 3.18  | 90.0 | 0.12 | 0.138 |
| 51 | 50.91          | 23.54 | 0.9 | 2.903 | 90.0 | 0.12 | 0.069 |
| 52 | 51.7           | 23.61 | 0.9 | 2.911 | 90.0 | 0.12 | 0.069 |
| 53 | 52.67          | 23.69 | 0.9 | 2.92  | 90.0 | 0.12 | 0.069 |
| 54 | 53.88          | 23.78 | 0.9 | 2.932 | 90.0 | 0.12 | 0.07  |
| 55 | 55.43          | 23.9  | 0.9 | 2.947 | 90.0 | 0.12 | 0.071 |
| 56 | 57.5           | 24.06 | 0.9 | 2.966 | 90.0 | 0.12 | 0.073 |
| 57 | 60.4           | 24.27 | 0.9 | 2.992 | 90.0 | 0.12 | 0.076 |
| 58 | 64.75          | 24.56 | 0.9 | 3.029 | 90.0 | 0.12 | 0.083 |
| 59 | 72             | 25.02 | 0.9 | 3.084 | 90.0 | 0.12 | 0.098 |
| 60 | 86.5           | 25.8  | 0.9 | 3.18  | 90.0 | 0.12 |       |
|    |                |       |     |       |      |      |       |

| 61  | 50.91  | 23.54 | 0.9 | 2.903 | 90.0 | 0.12 | 0.069 |
|-----|--------|-------|-----|-------|------|------|-------|
| 62  | 51.7   | 23.61 | 0.9 | 2.911 | 90.0 | 0.12 | 0.069 |
| 63  | 52.67  | 23.69 | 0.9 | 2.92  | 90.0 | 0.12 | 0.069 |
| 64  | 53.88  | 23.78 | 0.9 | 2.932 | 90.0 | 0.12 | 0.07  |
| 65  | 55.43  | 23.9  | 0.9 | 2.947 | 90.0 | 0.12 | 0.071 |
| 66  | 57.5   | 24.06 | 0.9 | 2.966 | 90.0 | 0.12 | 0.073 |
| 67  | 60.4   | 24.27 | 0.9 | 2.992 | 90.0 | 0.12 | 0.076 |
| 68  | 64.75  | 24.56 | 0.9 | 3.029 | 90.0 | 0.12 | 0.083 |
| 69  | 72     | 25.02 | 0.9 | 3.084 | 90.0 | 0.12 | 0.098 |
| 70  | 86.5   | 25.8  | 0.9 | 3.18  | 90.0 | 0.12 | 0.138 |
| 71  | 50.91  | 23.54 | 0.9 | 2.903 | 90.0 | 0.12 | 0.069 |
| 72  | 51.7   | 23.61 | 0.9 | 2.911 | 90.0 | 0.12 | 0.069 |
| 73  | 52.67  | 23.69 | 0.9 | 2.92  | 90.0 | 0.12 | 0.069 |
| 74  | 53.88  | 23.78 | 0.9 | 2.932 | 90.0 | 0.12 | 0.07  |
| 75  | 55.43  | 23.9  | 0.9 | 2.947 | 90.0 | 0.12 | 0.071 |
| 76  | 57.5   | 24.06 | 0.9 | 2.966 | 90.0 | 0.12 | 0.073 |
| 77  | 60.4   | 24.27 | 0.9 | 2.992 | 90.0 | 0.12 | 0.076 |
| 78  | 64.75  | 24.56 | 0.9 | 3.029 | 90.0 | 0.12 | 0.083 |
| 79  | 72     | 25.02 | 0.9 | 3.084 | 90.0 | 0.12 | 0.098 |
| 80  | 86.5   | 25.8  | 0.9 | 3.18  | 90.0 | 0.12 | 0.138 |
| 81  | 109.09 | 26.78 | 0.9 | 3.302 | 90.0 | 0.12 | 0.089 |
| 82  | 101.82 | 26.49 | 0.9 | 3.266 | 90.0 | 0.12 | 0.087 |
| 83  | 94.55  | 26.17 | 0.9 | 3.227 | 90.0 | 0.12 | 0.085 |
| 84  | 87.27  | 25.83 | 0.9 | 3.185 | 90.0 | 0.12 | 0.083 |
| 85  | 80     | 25.46 | 0.9 | 3.139 | 90.0 | 0.12 | 0.08  |
| 86  | 72.73  | 25.06 | 0.9 | 3.089 | 90.0 | 0.12 | 0.078 |
| 87  | 65.45  | 24.61 | 0.9 | 3.034 | 90.0 | 0.12 | 0.075 |
| 88  | 58.18  | 24.11 | 0.9 | 2.973 | 90.0 | 0.12 | 0.072 |
| 89  | 50.91  | 23.54 | 0.9 | 2.903 | 90.0 | 0.12 | 0.069 |
| 90  | 106.3  | 26.67 | 0.9 | 3.288 | 90.0 | 0.12 | 0.088 |
| 91  | 98.5   | 26.35 | 0.9 | 3.248 | 90.0 | 0.12 | 0.086 |
| 92  | 90.7   | 26    | 0.9 | 3.205 | 90.0 | 0.12 | 0.084 |
| 93  | 82.9   | 25.62 | 0.9 | 3.158 | 90.0 | 0.12 | 0.081 |
| 94  | 75.1   | 25.2  | 0.9 | 3.106 | 90.0 | 0.12 | 0.079 |
| 95  | 67.3   | 24.73 | 0.9 | 3.049 | 90.0 | 0.12 | 0.076 |
| 96  | 59.5   | 24.21 | 0.9 | 2.984 | 90.0 | 0.12 | 0.073 |
| 97  | 51.7   | 23.61 | 0.9 | 2.911 | 90.0 | 0.12 | 0.069 |
| 98  | 103.33 | 26.55 | 0.9 | 3.273 | 90.0 | 0.12 | 0.087 |
| 99  | 94.89  | 26.19 | 0.9 | 3.229 | 90.0 | 0.12 | 0.085 |
| 100 | 86.44  | 25.79 | 0.9 | 3.18  | 90.0 | 0.12 | 0.082 |
| 101 | 78     | 25.36 | 0.9 | 3.126 | 90.0 | 0.12 | 0.08  |
| 102 | 69.56  | 24.87 | 0.9 | 3.066 | 90.0 | 0.12 | 0.077 |
| 103 | 61.11  | 24.32 | 0.9 | 2.998 | 90.0 | 0.12 | 0.073 |
| 104 | 52.67  | 23.69 | 0.9 | 2.92  | 90.0 | 0.12 | 0.069 |
| 105 | 100.13 | 26.42 | 0.9 | 3.257 | 90.0 | 0.12 | 0.086 |
| 106 | 90.88  | 26.01 | 0.9 | 3.206 | 90.0 | 0.12 | 0.084 |
| 107 | 81.63  | 25.55 | 0.9 | 3.15  | 90.0 | 0.12 | 0.081 |
| 108 | 72.38  | 25.04 | 0.9 | 3.087 | 90.0 | 0.12 | 0.078 |
|     |        |       |     |       |      |      |       |

| 109 | 63.13  | 24.46 | 0.9 | 3.015 | 90.0 | 0.12 | 0.074 |
|-----|--------|-------|-----|-------|------|------|-------|
| 110 | 53.88  | 23.78 | 0.9 | 2.932 | 90.0 | 0.12 | 0.07  |
| 111 | 96.57  | 26.26 | 0.9 | 3.238 | 90.0 | 0.12 | 0.086 |
| 112 | 86.29  | 25.79 | 0.9 | 3.179 | 90.0 | 0.12 | 0.083 |
| 113 | 76     | 25.25 | 0.9 | 3.112 | 90.0 | 0.12 | 0.079 |
| 114 | 65.71  | 24.63 | 0.9 | 3.036 | 90.0 | 0.12 | 0.075 |
| 115 | 55.43  | 23.9  | 0.9 | 2.947 | 90.0 | 0.12 | 0.071 |
| 116 | 92.5   | 26.08 | 0.9 | 3.215 | 90.0 | 0.12 | 0.086 |
| 117 | 80.83  | 25.51 | 0.9 | 3.145 | 90.0 | 0.12 | 0.082 |
| 118 | 69.17  | 24.85 | 0.9 | 3.063 | 90.0 | 0.12 | 0.078 |
| 119 | 57.5   | 24.06 | 0.9 | 2.966 | 90.0 | 0.12 | 0.073 |
| 120 | 87.6   | 25.85 | 0.9 | 3.187 | 90.0 | 0.12 | 0.086 |
| 121 | 74     | 25.13 | 0.9 | 3.099 | 90.0 | 0.12 | 0.082 |
| 122 | 60.4   | 24.27 | 0.9 | 2.992 | 90.0 | 0.12 | 0.076 |
| 123 | 81.25  | 25.53 | 0.9 | 3.147 | 90.0 | 0.12 | 0.089 |
| 124 | 64.75  | 24.56 | 0.9 | 3.029 | 90.0 | 0.12 | 0.083 |
| 125 | 72     | 25.02 | 0.9 | 3.084 | 90.0 | 0.12 | 0.098 |
| 126 | 109.09 | 26.78 | 0.9 | 3.302 | 90.0 | 0.12 | 0.089 |
| 127 | 101.82 | 26.49 | 0.9 | 3.266 | 90.0 | 0.12 | 0.087 |
| 128 | 94.55  | 26.17 | 0.9 | 3.227 | 90.0 | 0.12 | 0.085 |
| 129 | 87.27  | 25.83 | 0.9 | 3.185 | 90.0 | 0.12 | 0.083 |
| 130 | 80     | 25.46 | 0.9 | 3.139 | 90.0 | 0.12 | 0.08  |
| 131 | 72.73  | 25.06 | 0.9 | 3.089 | 90.0 | 0.12 | 0.078 |
| 132 | 65.45  | 24.61 | 0.9 | 3.034 | 90.0 | 0.12 | 0.075 |
| 133 | 58.18  | 24.11 | 0.9 | 2.973 | 90.0 | 0.12 | 0.072 |
| 134 | 50.91  | 23.54 | 0.9 | 2.903 | 90.0 | 0.12 | 0.069 |
| 135 | 106.3  | 26.67 | 0.9 | 3.288 | 90.0 | 0.12 | 0.088 |
| 136 | 98.5   | 26.35 | 0.9 | 3.248 | 90.0 | 0.12 | 0.086 |
| 137 | 90.7   | 26    | 0.9 | 3.205 | 90.0 | 0.12 | 0.084 |
| 138 | 82.9   | 25.62 | 0.9 | 3.158 | 90.0 | 0.12 | 0.081 |
| 139 | 75.1   | 25.2  | 0.9 | 3.106 | 90.0 | 0.12 | 0.079 |
| 140 | 67.3   | 24.73 | 0.9 | 3.049 | 90.0 | 0.12 | 0.076 |
| 141 | 59.5   | 24.21 | 0.9 | 2.984 | 90.0 | 0.12 | 0.073 |
| 142 | 51.7   | 23.61 | 0.9 | 2.911 | 90.0 | 0.12 | 0.069 |
| 143 | 103.33 | 26.55 | 0.9 | 3.273 | 90.0 | 0.12 | 0.087 |
| 144 | 94.89  | 26.19 | 0.9 | 3.229 | 90.0 | 0.12 | 0.085 |
| 145 | 86.44  | 25.79 | 0.9 | 3.18  | 90.0 | 0.12 | 0.082 |
| 146 | 78     | 25.36 | 0.9 | 3.126 | 90.0 | 0.12 | 0.08  |
| 147 | 69.56  | 24.87 | 0.9 | 3.066 | 90.0 | 0.12 | 0.077 |
| 148 | 61.11  | 24.32 | 0.9 | 2.998 | 90.0 | 0.12 | 0.073 |
| 149 | 52.67  | 23.69 | 0.9 | 2.92  | 90.0 | 0.12 | 0.069 |
| 150 | 100.13 | 26.42 | 0.9 | 3.257 | 90.0 | 0.12 | 0.086 |
| 151 | 90.88  | 26.01 | 0.9 | 3.206 | 90.0 | 0.12 | 0.084 |
| 152 | 81.63  | 25.55 | 0.9 | 3.15  | 90.0 | 0.12 | 0.081 |
| 153 | 72.38  | 25.04 | 0.9 | 3.087 | 90.0 | 0.12 | 0.078 |
| 154 | 63.13  | 24.46 | 0.9 | 3.015 | 90.0 | 0.12 | 0.074 |
| 155 | 53.88  | 23.78 | 0.9 | 2.932 | 90.0 | 0.12 | 0.07  |
| 156 | 96.57  | 26.26 | 0.9 | 3.238 | 90.0 | 0.12 | 0.086 |
|     |        |       |     |       |      |      |       |

| 157 | 86.29  | 25.79 | 0.9 | 3.179 | 90.0 | 0.12 | 0.083 |
|-----|--------|-------|-----|-------|------|------|-------|
| 158 | 76     | 25.25 | 0.9 | 3.112 | 90.0 | 0.12 | 0.079 |
| 159 | 65.71  | 24.63 | 0.9 | 3.036 | 90.0 | 0.12 | 0.075 |
| 160 | 55.43  | 23.9  | 0.9 | 2.947 | 90.0 | 0.12 | 0.071 |
| 161 | 92.5   | 26.08 | 0.9 | 3.215 | 90.0 | 0.12 | 0.086 |
| 162 | 80.83  | 25.51 | 0.9 | 3.145 | 90.0 | 0.12 | 0.082 |
| 163 | 69.17  | 24.85 | 0.9 | 3.063 | 90.0 | 0.12 | 0.078 |
| 164 | 57.5   | 24.06 | 0.9 | 2.966 | 90.0 | 0.12 | 0.073 |
| 165 | 87.6   | 25.85 | 0.9 | 3.187 | 90.0 | 0.12 | 0.086 |
| 166 | 74     | 25.13 | 0.9 | 3.099 | 90.0 | 0.12 | 0.082 |
| 167 | 60.4   | 24.27 | 0.9 | 2.992 | 90.0 | 0.12 | 0.076 |
| 168 | 81.25  | 25.53 | 0.9 | 3.147 | 90.0 | 0.12 | 0.089 |
| 169 | 64.75  | 24.56 | 0.9 | 3.029 | 90.0 | 0.12 | 0.083 |
| 170 | 72     | 25.02 | 0.9 | 3.084 | 90.0 | 0.12 | 0.098 |
| 171 | 109.09 | 26.78 | 0.9 | 3.302 | 90.0 | 0.12 | 0.089 |
| 172 | 101.82 | 26.49 | 0.9 | 3.266 | 90.0 | 0.12 | 0.087 |
| 173 | 94.55  | 26.17 | 0.9 | 3.227 | 90.0 | 0.12 | 0.085 |
| 174 | 87.27  | 25.83 | 0.9 | 3.185 | 90.0 | 0.12 | 0.083 |
| 175 | 80     | 25.46 | 0.9 | 3.139 | 90.0 | 0.12 | 0.08  |
| 176 | 72.73  | 25.06 | 0.9 | 3.089 | 90.0 | 0.12 | 0.078 |
| 177 | 65.45  | 24.61 | 0.9 | 3.034 | 90.0 | 0.12 | 0.075 |
| 178 | 58.18  | 24.11 | 0.9 | 2.973 | 90.0 | 0.12 | 0.072 |
| 179 | 50.91  | 23.54 | 0.9 | 2.903 | 90.0 | 0.12 | 0.069 |
| 180 | 106.3  | 26.67 | 0.9 | 3.288 | 90.0 | 0.12 | 0.088 |
| 181 | 98.5   | 26.35 | 0.9 | 3.248 | 90.0 | 0.12 | 0.086 |
| 182 | 90.7   | 26    | 0.9 | 3.205 | 90.0 | 0.12 | 0.084 |
| 183 | 82.9   | 25.62 | 0.9 | 3.158 | 90.0 | 0.12 | 0.081 |
| 184 | 75.1   | 25.2  | 0.9 | 3.106 | 90.0 | 0.12 | 0.079 |
| 185 | 67.3   | 24.73 | 0.9 | 3.049 | 90.0 | 0.12 | 0.076 |
| 186 | 59.5   | 24.21 | 0.9 | 2.984 | 90.0 | 0.12 | 0.073 |
| 187 | 51.7   | 23.61 | 0.9 | 2.911 | 90.0 | 0.12 | 0.069 |
| 188 | 103.33 | 26.55 | 0.9 | 3.273 | 90.0 | 0.12 | 0.087 |
| 189 | 94.89  | 26.19 | 0.9 | 3.229 | 90.0 | 0.12 | 0.085 |
| 190 | 86.44  | 25.79 | 0.9 | 3.18  | 90.0 | 0.12 | 0.082 |
| 191 | 78     | 25.36 | 0.9 | 3.126 | 90.0 | 0.12 | 0.08  |
| 192 | 69.56  | 24.87 | 0.9 | 3.066 | 90.0 | 0.12 | 0.077 |
| 193 | 61.11  | 24.32 | 0.9 | 2.998 | 90.0 | 0.12 | 0.073 |
| 194 | 52.67  | 23.69 | 0.9 | 2.92  | 90.0 | 0.12 | 0.069 |
| 195 | 100.13 | 26.42 | 0.9 | 3.257 | 90.0 | 0.12 | 0.086 |
| 196 | 90.88  | 26.01 | 0.9 | 3.206 | 90.0 | 0.12 | 0.084 |
| 197 | 81.63  | 25.55 | 0.9 | 3.15  | 90.0 | 0.12 | 0.081 |
| 198 | 72.38  | 25.04 | 0.9 | 3.087 | 90.0 | 0.12 | 0.078 |
| 199 | 63.13  | 24.46 | 0.9 | 3.015 | 90.0 | 0.12 | 0.074 |
| 200 | 53.88  | 23.78 | 0.9 | 2.932 | 90.0 | 0.12 | 0.07  |
| 201 | 96.57  | 26.26 | 0.9 | 3.238 | 90.0 | 0.12 | 0.086 |
| 202 | 86.29  | 25.79 | 0.9 | 3.179 | 90.0 | 0.12 | 0.083 |
| 203 | 76     | 25.25 | 0.9 | 3.112 | 90.0 | 0.12 | 0.079 |
| 204 | 65.71  | 24.63 | 0.9 | 3.036 | 90.0 | 0.12 | 0.075 |
|     |        |       | _   |       |      |      |       |

| 205 | 55.43  | 23.9  | 0.9 | 2.947 | 90.0 | 0.12 | 0.071 |
|-----|--------|-------|-----|-------|------|------|-------|
| 206 | 92.5   | 26.08 | 0.9 | 3.215 | 90.0 | 0.12 | 0.086 |
| 207 | 80.83  | 25.51 | 0.9 | 3.145 | 90.0 | 0.12 | 0.082 |
| 208 | 69.17  | 24.85 | 0.9 | 3.063 | 90.0 | 0.12 | 0.078 |
| 209 | 57.5   | 24.06 | 0.9 | 2.966 | 90.0 | 0.12 | 0.073 |
| 210 | 87.6   | 25.85 | 0.9 | 3.187 | 90.0 | 0.12 | 0.086 |
| 211 | 74     | 25.13 | 0.9 | 3.099 | 90.0 | 0.12 | 0.082 |
| 212 | 60.4   | 24.27 | 0.9 | 2.992 | 90.0 | 0.12 | 0.076 |
| 213 | 81.25  | 25.53 | 0.9 | 3.147 | 90.0 | 0.12 | 0.089 |
| 214 | 64.75  | 24.56 | 0.9 | 3.029 | 90.0 | 0.12 | 0.083 |
| 215 | 72     | 25.02 | 0.9 | 3.084 | 90.0 | 0.12 | 0.098 |
| 216 | 109.09 | 26.78 | 0.9 | 3.302 | 90.0 | 0.12 | 0.089 |
| 217 | 101.82 | 26.49 | 0.9 | 3.266 | 90.0 | 0.12 | 0.087 |
| 218 | 94.55  | 26.17 | 0.9 | 3.227 | 90.0 | 0.12 | 0.085 |
| 219 | 87.27  | 25.83 | 0.9 | 3.185 | 90.0 | 0.12 | 0.083 |
| 220 | 80     | 25.46 | 0.9 | 3.139 | 90.0 | 0.12 | 0.08  |
| 221 | 72.73  | 25.06 | 0.9 | 3.089 | 90.0 | 0.12 | 0.078 |
| 222 | 65.45  | 24.61 | 0.9 | 3.034 | 90.0 | 0.12 | 0.075 |
| 223 | 58.18  | 24.11 | 0.9 | 2.973 | 90.0 | 0.12 | 0.072 |
| 224 | 50.91  | 23.54 | 0.9 | 2.903 | 90.0 | 0.12 | 0.069 |
| 225 | 106.3  | 26.67 | 0.9 | 3.288 | 90.0 | 0.12 | 0.088 |
| 226 | 98.5   | 26.35 | 0.9 | 3.248 | 90.0 | 0.12 | 0.086 |
| 227 | 90.7   | 26    | 0.9 | 3.205 | 90.0 | 0.12 | 0.084 |
| 228 | 82.9   | 25.62 | 0.9 | 3.158 | 90.0 | 0.12 | 0.081 |
| 229 | 75.1   | 25.2  | 0.9 | 3.106 | 90.0 | 0.12 | 0.079 |
| 230 | 67.3   | 24.73 | 0.9 | 3.049 | 90.0 | 0.12 | 0.076 |
| 231 | 59.5   | 24.21 | 0.9 | 2.984 | 90.0 | 0.12 | 0.073 |
| 232 | 51.7   | 23.61 | 0.9 | 2.911 | 90.0 | 0.12 | 0.069 |
| 233 | 103.33 | 26.55 | 0.9 | 3.273 | 90.0 | 0.12 | 0.087 |
| 234 | 94.89  | 26.19 | 0.9 | 3.229 | 90.0 | 0.12 | 0.085 |
| 235 | 86.44  | 25.79 | 0.9 | 3.18  | 90.0 | 0.12 | 0.082 |
| 236 | 78     | 25.36 | 0.9 | 3.126 | 90.0 | 0.12 | 0.08  |
| 237 | 69.56  | 24.87 | 0.9 | 3.066 | 90.0 | 0.12 | 0.077 |
| 238 | 61.11  | 24.32 | 0.9 | 2.998 | 90.0 | 0.12 | 0.073 |
| 239 | 52.67  | 23.69 | 0.9 | 2.92  | 90.0 | 0.12 | 0.069 |
| 240 | 100.13 | 26.42 | 0.9 | 3.257 | 90.0 | 0.12 | 0.086 |
| 241 | 90.88  | 26.01 | 0.9 | 3.206 | 90.0 | 0.12 | 0.084 |
| 242 | 81.63  | 25.55 | 0.9 | 3.15  | 90.0 | 0.12 | 0.081 |
| 243 | 72.38  | 25.04 | 0.9 | 3.087 | 90.0 | 0.12 | 0.078 |
| 244 | 63.13  | 24.46 | 0.9 | 3.015 | 90.0 | 0.12 | 0.074 |
| 245 | 53.88  | 23.78 | 0.9 | 2.932 | 90.0 | 0.12 | 0.07  |
| 246 | 96.57  | 26.26 | 0.9 | 3.238 | 90.0 | 0.12 | 0.086 |
| 247 | 86.29  | 25.79 | 0.9 | 3.179 | 90.0 | 0.12 | 0.083 |
| 248 | 76     | 25.25 | 0.9 | 3.112 | 90.0 | 0.12 | 0.079 |
| 249 | 65.71  | 24.63 | 0.9 | 3.036 | 90.0 | 0.12 | 0.075 |
| 250 | 55.43  | 23.9  | 0.9 | 2.947 | 90.0 | 0.12 | 0.071 |
| 251 | 92.5   | 26.08 | 0.9 | 3.215 | 90.0 | 0.12 | 0.086 |
| 252 | 80.83  | 25.51 | 0.9 | 3.145 | 90.0 | 0.12 | 0.082 |
|     |        |       |     |       |      |      |       |

| 253 | 69.17 | 24.85 | 0.9 | 3.063 | 90.0 | 0.12 | 0.078 |
|-----|-------|-------|-----|-------|------|------|-------|
| 254 | 57.5  | 24.06 | 0.9 | 2.966 | 90.0 | 0.12 | 0.073 |
| 255 | 87.6  | 25.85 | 0.9 | 3.187 | 90.0 | 0.12 | 0.086 |
| 256 | 74    | 25.13 | 0.9 | 3.099 | 90.0 | 0.12 | 0.082 |
| 257 | 60.4  | 24.27 | 0.9 | 2.992 | 90.0 | 0.12 | 0.076 |
| 258 | 81.25 | 25.53 | 0.9 | 3.147 | 90.0 | 0.12 | 0.089 |
| 259 | 64.75 | 24.56 | 0.9 | 3.029 | 90.0 | 0.12 | 0.083 |
| 260 | 72    | 25.02 | 0.9 | 3.084 | 90.0 | 0.12 | 0.098 |

260 72 25.02 0.9 3.084 90.0 0.12 0.098 \*\*\* Скорость ветра и соответствующую нагрузки на жестких элементов (для пилонов)

| MN  | Zi    | V(Zi) | Cd | Re | Ang<br>Att | Aexp | P IN X |
|-----|-------|-------|----|----|------------|------|--------|
| 261 | 119   | 27.15 | 2  | 0  | 90.0       | 3    | 0.542  |
| 262 | 117   | 27.08 | 2  | 0  | 90.0       | 3    | 0.539  |
| 263 | 115   | 27.01 | 2  | 0  | 90.0       | 3    | 0.536  |
| 264 | 113   | 26.93 | 2  | 0  | 90.0       | 3    | 0.534  |
| 265 | 111   | 26.86 | 2  | 0  | 90.0       | 3    | 0.531  |
| 266 | 109   | 26.78 | 2  | 0  | 90.0       | 3    | 0.527  |
| 267 | 107   | 26.7  | 2  | 0  | 90.0       | 3    | 0.524  |
| 268 | 105   | 26.62 | 2  | 0  | 90.0       | 3    | 0.521  |
| 269 | 103   | 26.54 | 2  | 0  | 90.0       | 3    | 0.518  |
| 270 | 119   | 27.15 | 2  | 0  | 90.0       | 3    | 0.542  |
| 271 | 117   | 27.08 | 2  | 0  | 90.0       | 3    | 0.539  |
| 272 | 115   | 27.01 | 2  | 0  | 90.0       | 3    | 0.536  |
| 273 | 113   | 26.93 | 2  | 0  | 90.0       | 3    | 0.534  |
| 274 | 111   | 26.86 | 2  | 0  | 90.0       | 3    | 0.531  |
| 275 | 109   | 26.78 | 2  | 0  | 90.0       | 3    | 0.527  |
| 276 | 107   | 26.7  | 2  | 0  | 90.0       | 3    | 0.524  |
| 277 | 105   | 26.62 | 2  | 0  | 90.0       | 3    | 0.521  |
| 278 | 103   | 26.54 | 2  | 0  | 90.0       | 3    | 0.518  |
| 279 | 96.83 | 26.28 | 2  | 0  | 90.0       | 3    | 2.624  |
| 280 | 86.5  | 25.8  | 2  | 0  | 90.0       | 3    | 2.529  |
| 281 | 76.17 | 25.26 | 2  | 0  | 90.0       | 3    | 2.424  |
| 282 | 65.83 | 24.64 | 2  | 0  | 90.0       | 3    | 2.307  |
| 283 | 55.5  | 23.91 | 2  | 0  | 90.0       | 3    | 2.173  |
| 284 | 45.17 | 23.03 | 2  | 0  | 90.0       | 3    | 2.016  |
| 285 | 96.83 | 26.28 | 2  | 0  | 90.0       | 3    | 2.624  |
| 286 | 86.5  | 25.8  | 2  | 0  | 90.0       | 3    | 2.529  |
| 287 | 76.17 | 25.26 | 2  | 0  | 90.0       | 3    | 2.424  |
| 288 | 65.83 | 24.64 | 2  | 0  | 90.0       | 3    | 2.307  |
| 289 | 55.5  | 23.91 | 2  | 0  | 90.0       | 3    | 2.173  |
| 290 | 45.17 | 23.03 | 2  | 0  | 90.0       | 3    | 2.016  |
| 291 | 35    | 21.95 | 2  | 0  | 90.0       | 5    | 2.954  |
| 292 | 25    | 20.52 | 2  | 0  | 90.0       | 5    | 2.581  |
| 293 | 15    | 18.35 | 2  | 0  | 90.0       | 5    | 2.064  |
| 294 | 5     | 16.63 | 2  | 0  | 90.0       | 5    | 1.694  |
| 295 | 35    | 21.95 | 2  | 0  | 90.0       | 5    | 2.954  |
| 296 | 25    | 20.52 | 2  | 0  | 90.0       | 5    | 2.581  |
|     |       |       |    |    |            |      |        |

| 297 | 15 | 18.35 | 2 | 0 | 90.0  | 5 | 2.064 |
|-----|----|-------|---|---|-------|---|-------|
| 298 | 5  | 16.63 | 2 | 0 | 90.00 | 5 | 1.694 |

# **ПЕРЕЛОЖЕНИЕ 3** Акт внедрение



University of Mansoura Faculty of Engineering Department of Structural Engineering

#### **Declaration of Approval**

I hereby approve the dissertation results accomplished by the PhD student/ Basem Osami Saied Rageh, Dept. of Structural Mechanics, Saint-Petersburg State University of Architecture and Civil Engineering, Saint-Petersburg, Russia.

The additionally-suggested algorithms, developed and written in FORTRAN language by the author which were based on the written program developed by me, have demonstrated an approach which has shown to be of a scientific and creditable value.

Thus, based on the author's algorithms along with the achieved results, I recommend applying it to scientific research.

Prof. Dr/ Mohamed Naguib M. Abo El-Saad

**Professor of Theory of Structures** 

M. Naguilo

Former Head of Dept. Of Structural Engineering

Faculty of Engineering

**Mansoura University** 

Mansoura, Egypt

Date: 17/8/2014

Prof. Dr/ Zaki Mohamed Zidan

Dean of Faculty of Engineering

**Faculty of Engineering** 

Mansoura University

Mansoura, Egypt









# Мансурский университет

### Инженерный факультет

## Отделение строительных конструкций

### Декларация об апробировании

Я настоящим одобряю результаты выполненные аспирантом кафедры строительной механики Санкт-Петербургского архитектурно-строительного университета (Санкт-Петербург, Россия) **Басемом Рагех.** 

Дополнительно предлагаемые алгоритмы, разработанные и написанные на языке ФОРТРАН автором, основанные на написанной мною программе, продемонстрировали подход, который показал научную и перспективную ценность.

Таким образом, полученные автором результаты, основанные на его алгоритмах, я рекомендую использовать в научных исследованиях.

Проф. д. Mohamed Naguib M. Abo EI-Saad Проф. д. Zaki Mohamed Zidan

(подпись)

(подпись)

Профессор теории сооружений

Бывший зав. отделением

Строительных конструкций

Инженерный факультет

Мансуровский университет

Г. Мансура, Египет

(печать)

Дата: 17.08. 2014.

(На обороте еще три печати)

Декан инженерного факультета

Инженерный факультет

Мансуровский университет

г. Мансура, Египет